

b150628

การศึกษาอัตราเร็วการตกตะกอนและปริมาณการตกตะกอนจากการ
บำบัดตัวอย่างน้ำเสียคลองแสนแสบด้วยวิธี
การรวมกลุ่มตะกอนทางเคมี

ภัทรวาดี ภูมิภักดี

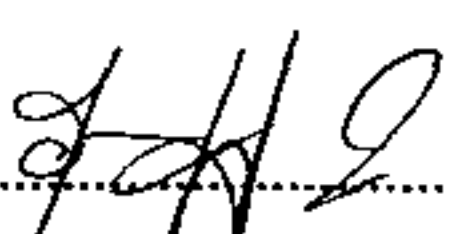
วิทยานิพนธ์นี้เป็นส่วนหนึ่งของการศึกษาตามหลักสูตร
วิทยาศาสตรมหาบัณฑิต (การจัดการสิ่งแวดล้อม)
คณะพัฒนาสังคมและสิ่งแวดล้อม
สถาบันบัณฑิตพัฒนบริหารศาสตร์

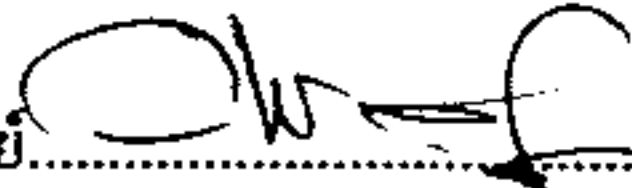
การศึกษาอัตราเร็วการตกลงใจและปริมาณการตกลงใจจากการ
นำบัดดี้อย่างน้ำเสียงคลองแส้นแบบด้วยวิธี
การรวมกลุ่มตกลงใจทางเคมี
กัทราวดี ภูมิภักดี
คณะพัฒนาสังคมและสิ่งแวดล้อม

คณะกรรมการสอนวิทยานิพนธ์ได้พิจารณาแล้วเห็นสมควรอนุมัติให้เป็นส่วนหนึ่งของ
การศึกษาตามหลักสูตรวิทยาศาสตร์มหาบัณฑิต (การจัดการสิ่งแวดล้อม)

ผู้ช่วยศาสตราจารย์..... วิสาขा ภู่บูล ประธานกรรมการ
(ดร. วิสาขा ภู่บูล)

ผู้ช่วยศาสตราจารย์..... สินคุغا จุ้ยจุลเจิม กรรมการ
(ดร. สินคุغا จุ้ยจุลเจิม)

ผู้ช่วยศาสตราจารย์.....  กรรมการ
(ดร. ธรรมชาติ มุกดิษฐรักษ์)

อาจารย์.....  คณบดี
(รุชัย รุปประจำต์)
วันที่ ๓๐ มกราคม พ.ศ. ๒๕๔๙

บทคัดย่อ

ชื่อวิทยานิพนธ์

การศึกษาอัตราเริ่วในการตกรตะกอนและปริมาณกากรตะกอน
จากการบำบัดด้วยอ่างน้ำเสียคลองแส้นแสบด้วยวิธีการรวม
กลุ่มตะกอนทางเคมี

ชื่อผู้เขียน

นางสาวภัทรารัติ ภูมิภักดี

ชื่อปริญญา

วิทยาศาสตรมหาบัณฑิต (การจัดการสิ่งแวดล้อม)

ปีการศึกษา

2549

การศึกษารังนี้เป็นการศึกษาเชิงทดลองเพื่อศึกษาอัตราเริ่วในการตกรตะกอนและปริมาณกากรตะกอนภายหลังการบำบัดด้วยอ่างน้ำเสียคลองแส้นแสบด้วยวิธีการรวมกลุ่มตะกอนทางเคมี โดยมีวัตถุประสงค์เพื่อเปรียบเทียบประสิทธิภาพการบำบัดด้วยอ่างน้ำเสียคลองแส้นแสบด้วยวิธีการรวมกลุ่มตะกอนโดยใช้สารส้ม (Alum) เฟอริคคลอไรต์ (FeCl_3) โพลีอิเล็กโตรไลท์ประจุบวก (Cationic polyelectrolyte) และ Micronized Chitosan เป็นสารรวมตะกอน ซึ่งได้ทำการศึกษาเปรียบเทียบค่าความชุ่นของด้วยอัตราเริ่วในการตกรตะกอนของกากรตะกอน (Flocculant Settling) และศึกษาเปรียบเทียบปริมาณการเกิดกากรตะกอน (Wet Sludge Volume) ทดลองโดยการเดิมสารรวมตะกอนแต่ละชนิดที่ความเข้มข้นแตกต่างกันและที่สภาวะ pH แตกต่างกัน

ผลการทดลองเพื่อเปรียบเทียบประสิทธิภาพการบำบัดความชุ่น พบว่า สารส้ม ให้ประสิทธิภาพการบำบัดความชุ่นสูงสุดเท่ากับ ร้อยละ 83.54 ที่ความเข้มข้น 500 มิลลิกรัมต่อลิตร pH เท่ากับ 6 เฟอริคคลอไรต์ ให้ประสิทธิภาพการบำบัดความชุ่นสูงสุดเท่ากับ ร้อยละ 90.75 ที่ความเข้มข้น 500 มิลลิกรัมต่อลิตร pH เท่ากับ 8 โพลีอิเล็กโตรไลท์ประจุบวก ให้ประสิทธิภาพการบำบัดความชุ่นสูงสุดเท่ากับ ร้อยละ 79.33 ความเข้มข้น 0.5 มิลลิกรัมต่อลิตร pH เท่ากับ 7 และMicronized Chitosan ให้ประสิทธิภาพการบำบัดความชุ่นสูงสุด ร้อยละ 84.28 ที่ความเข้มข้น 60 มิลลิกรัมต่อลิตร pH เท่ากับ 8 เมื่อเรียงลำดับประสิทธิภาพการบำบัดความชุ่นจากมากที่สุดไปน้อยสุดได้แก่ เฟอริคคลอไรต์ Micronized Chitosan สารส้มและโพลีอิเล็กโตรไลท์ประจุบวก ตามลำดับ ผลการทดลองเพื่อเปรียบเทียบอัตราเริ่วในการตกรตะกอนของกากรตะกอน พบว่า สารส้มให้อัตราเริ่วการตกรตะกอนเฉลี่ยสูงสุด เท่ากับ 1.56×10^{-4} เมตรต่อวินาที ที่ความเข้มข้น 500 มิลลิกรัมต่อลิตร pH เท่ากับ 8 เฟอริคคลอไรต์ให้อัตราเริ่วการตกรตะกอนเฉลี่ยสูงสุด เท่ากับ

(4)

2.71×10^{-4} เมตรต่อวินาที ที่ความเข้มข้น 700 มิลลิกรัมต่อลิตร pH เท่ากับ 9 โพลีอีเล็กโตรไอล์ฟ ประจุบวกให้อัตราเร็วการดักตะกอนเฉลี่ยสูงสุดเท่ากับ 3.38×10^{-4} เมตรต่อวินาที ที่ความเข้มข้น 0.5 มิลลิกรัมต่อลิตร pH เท่ากับ 6 และ Micronized Chitosan ให้อัตราเร็วการดักตะกอนเฉลี่ยสูงสุดเท่ากับ 1.70×10^{-4} เมตรต่อวินาที ที่ความเข้มข้น 100 มิลลิกรัมต่อลิตร pH เท่ากับ 4 เมื่อเรียงลำดับอัตราเร็วการดักตะกอนเฉลี่ยจากเร็วที่สุดไปช้าที่สุด คือ โพลีอีเล็กโตรไอล์ฟประจุบวก เฟอร์คลอไร์ด Micronized Chitosan และสารสัม ตามลำดับ ผลการทดลองเพื่อเปรียบเทียบปริมาณการเกิดกากระบก พบว่า เมื่อใช้สารสัมเป็นสารรวมตะกอน สารสัม ให้ปริมาณกากระบกน้ำสูด เท่ากับ 21.70 มิลลิลิตรต่อลิตร ที่ความเข้มข้น 500 มิลลิกรัมต่อลิตร pH เท่ากับ 6 และ 8 และที่ความเข้มข้น 800 มิลลิกรัมต่อลิตร pH เท่ากับ 6 เพื่อรักษาให้ปริมาณกากระบกน้ำสูดเท่ากับ 20.00 มิลลิลิตรต่อลิตร ที่ความเข้มข้น 700 มิลลิกรัมต่อลิตร pH เท่ากับ 8 โพลีอีเล็กโตรไอล์ฟประจุบวกให้ปริมาณกากระบกน้ำสูดคือ น้อยกว่า 5 มิลลิลิตรต่อลิตร ในทุกๆ สภาวะความเข้มข้นและทุกค่า pH ที่ทำการทดลอง และ Micronized Chitosan ให้ปริมาณกากระบกน้ำสูด ประมาณ 5 - 10 มิลลิลิตรต่อลิตร ในทุกๆ สภาวะความเข้มข้นและทุกค่า pH ที่ทำการทดลอง เมื่อเรียงลำดับปริมาณกากระบกที่เกิดขึ้นจากน้ำสูดไปสูงสุดของสารโคแยกกุลเคนท์ หั้ง 4 ชนิด ได้แก่ โพลีอีเล็กโตรไอล์ฟประจุบวก Micronized Chitosan เฟอร์คลอไร์ดและสารสัม ตามลำดับ

เมื่อนำผลการทดลองเปรียบเทียบจากหั้ง 3 ส่วนข้างต้นมาพิจารณาร่วมกับราคาน้ำยาบัวเดียว นำบัวเดียว 1 ลิตร ความเป็นมิตรต่อสิ่งแวดล้อมและ pH ภายหลังนำบัวเดียว พบว่า โพลีอีเล็กโตรไอล์ฟประจุบวก คือ ชนิดของสารโคแยกกุลเคนท์ที่เหมาะสมที่สุดในการนำบัวเดียวอย่างน้ำเสียคลองแสนแสบ ที่สภาวะความเข้มข้นเท่ากับ 0.5 มิลลิกรัมต่อลิตร pH เท่ากับ 6 โดยมีราคาน้ำยาบัวเดียว ประมาณ 1 ลิตร ถูกที่สุด นอกจากนี้ยังไม่มีสารประกอบที่เป็นสารก่อมะเร็งและมีผลกระทบต่อสิ่งแวดล้อมต่ำ รวมทั้งมีอัตราเร็วการดักตะกอนสูงสุดเท่ากับ 3.38×10^{-4} เมตรต่อวินาที ปริมาณกากระบกน้ำสูดคือ น้อยกว่า 5 มิลลิลิตรต่อลิตรและประสิทธิภาพการนำบัวเดียวซึ่งร้อยละ 72.89

ABSTRACT

| | |
|------------------------|---|
| Title of Thesis | The Study of Flocculant Settling and Wet Sludge Volume After Using a Coagulation Method on Wastewater Samples from The Klong San Saab |
| Author | Miss Pattarawadee Poomipug |
| Degree | Master of Science (Environmental Management) |
| Year | 2006 |

This is a study of the flocculant settling and wet sludge volume of wastewater samples from the Klong San Saab after using a coagulation method. The aim of these investigations was to compare the turbidity removal and flocculant settling as well as wet sludge volume when four coagulants were applied. The four coagulants were alum ($\text{Al}_2(\text{SO}_4)_3$), ferric chloride (FeCl_3), cationic polyelectrolyte and chitosan. Subsequently, the most suitable coagulant and the optimal condition would be investigated.

The results of the comparison of the turbidity removal indicated that alum with doses of 500 mg/l and at a pH of 6 could remove turbidity at about 83.54%. In addition, the turbidity removal using FeCl_3 was about 90.75% with doses of 500 mg/l and at a pH of 8, the turbidity removal when adding cationic polyelectrolyte with doses of 0.5 mg/l and at a pH of 7 was about 79.33% and when chitosan was applied with doses of 60 mg/l, and at a pH of 8, turbidity removal was about 84.28%. When the turbidity removal was compared from the highest efficiency to the lowest one, FeCl_3 gave the highest turbidity removal, followed by chitosan, alum and cationic polyelectrolyte, respectively. In the settling phase, a sludge level depth was observed. The result of the comparison for the flocculant settling illustrated that the average flocculant settling of alum was 1.56×10^{-4} m/s at doses of 500 mg/l and a pH of 8, that of FeCl_3 was 2.71×10^{-4} m/s when an addition of FeCl_3 of 700 mg/l and at pH of 9 was applied, and the average flocculant settling of cationic polyelectrolyte was about 3.38×10^{-4} m/s when doses of 0.5 mg/l and

at a pH of 6 were applied. When chitosan (doses of 100 mg/l and a pH of 4) was used, the flocculant settling was about 1.70×10^{-4} m/s. It can be concluded that the flocculant settling from the fastest to the slowest one was cationic polyelectrolyte, FeCl_3 , chitosan and alum, respectively. For the comparison of the volume sludge, the results showed that alum produced wet sludge equal to 21.70 ml/l when doses of 500 mg/l and at pH of 6 and 8 and with doses of 800 mg/l and a pH of 6 were employed. When FeCl_3 of 700 mg/l and a pH of 8 was added, wet sludge volume equal to 20.00 ml/l was produced. In addition, cationic polyelectrolyte produced wet sludge less than 5 ml/l in every condition studied and chitosan also produced wet sludge about 5 - 10 ml/l in every condition studied.

In summary, the results indicated that the cationic polyelectrolyte was the best coagulant for the Klong San Saab wastewater treatment with a condition of doses of 0.5 mg/l and at a pH of 6. It gave the fastest flocculant settling of 3.38×10^{-4} m/s, the lowest wet sludge production of less than 5 ml/l and turbidity removal of 72.89% was obtained. As the cationic polyelectrolyte was used in very small amounts, it is the cheapest coagulant when compared to the other three coagulants studied.

กิจกรรมประกาศ

วิทยานิพนธ์ฉบับนี้สำเร็จได้ด้วยดี เนื่องด้วยความอนุเคราะห์ช่วยเหลืออย่างดียิ่งจากผู้ช่วยศาสตราจารย์ ดร. วิสาขा ภู่จินดา ประธานกรรมการควบคุมวิทยานิพนธ์ และผู้ช่วยศาสตราจารย์ ดร. ชัยชัย ศุภดิษฐ์ ที่ได้ให้คำปรึกษาปรับปรุงวิทยานิพนธ์รวมถึงผู้ช่วยศาสตราจารย์ ดร. สินศุภा จุ้ยฉลเจิม กรรมการควบคุมวิทยานิพนธ์ ที่ได้ให้คำปรึกษาและคำแนะนำในการปรับปรุงวิทยานิพนธ์ฉบับนี้ให้มีความสมบูรณ์มากยิ่งขึ้นรวมทั้งการให้ความอนุเคราะห์ในการใช้ห้องปฏิบัติการทางเคมี ของคณะวิศวกรรมศาสตร์ สาขาวิศวกรรมเคมี มหาวิทยาลัยศรีนครินทร์วิโรฒ (องครักษ์)

ขอกราบขอบพระคุณอาจารย์ทุกท่าน ที่ได้อุทิศตนประสิทธิ์ประสาทวิชาความรู้และสนับสนุนให้การศึกษาอย่างเต็มความสามารถเสมอมาและขอบคุณเจ้าหน้าที่ทุกท่านที่ให้ความช่วยเหลือในการประสานงานระหว่างการศึกษาและจัดทำวิทยานิพนธ์เป็นอย่างดี

ขอบคุณ คุณเกสร บัวทอง ที่ได้ช่วยเหลือให้การทดลองในห้องปฏิบัติการทางเคมี ที่มหาวิทยาลัยศรีนครินทร์วิโรฒเป็นไปด้วยความราบรื่นตลอดการทดลอง และ คุณไพรวรณ์ ประทุมมาดย ที่ได้ให้ความอนุเคราะห์ในการใช้เครื่องมือตรวจวิเคราะห์ของห้องปฏิบัติการทางสิ่งแวดล้อม มหาวิทยาลัยเทคโนโลยีมหานคร

ขอบคุณพี่อนันต์ นักศึกษาการจัดการสิ่งแวดล้อมโดยเฉพาะอย่างยิ่ง คุณวรรณคณา สุขสมจินตน์ คุณปิติพันธ์ สุปัญจนันท์ และคุณยาภารัตน์ ทองนพคุณ ที่มีส่วนช่วยเหลือในการเก็บตัวอย่างน้ำ คลองแสนแสบและให้กำลังใจตลอดระยะเวลาที่เข้าพเจ้าได้ทำการศึกษาวิจัย

สุดท้ายนี้ ขอกราบขอบพระคุณ คุณพ่อและคุณแม่ที่ได้อุปการะและสนับสนุนข้าพเจ้า ในทุกๆ ด้านและขอบคุณพี่สาว พี่ชาย น้องชาย และหลานๆ ทุกคนที่เคยให้กำลังใจที่ดีเสมอมา

ภัทรวาตี ภูมิภักดี
กันยายน 2549

| | หน้า |
|---|--------|
| <u>บทคัดย่อ</u> | (3) |
| ABSTRACT | (5) |
| กิตติกรรมประกาศ | (7) |
| สารบัญ | (8) |
| สารบัญตาราง | (10) |
| สารบัญภาพ | (13) |
| <u>บทที่ 1 บทนำ</u> | 1 |
| 1.1 ที่มาและความสำคัญของปัญหา | 1 |
| 1.2 วัตถุประสงค์ในการศึกษา | 5 |
| 1.3 กรอบแนวคิดในการศึกษา | 6 |
| 1.4 ขอบเขตในการศึกษา | 7 |
| 1.5 สมมติฐานการศึกษา | 7 |
| 1.6 ประโยชน์ที่คาดว่าจะได้รับ | 8 |
| 1.7 นิยามศัพท์เฉพาะที่ใช้ในการศึกษา | 8 |
| <u>บทที่ 2 ทฤษฎีและงานวิจัยที่เกี่ยวข้อง</u> | 10 |
| 2.1 คุณสมบัติและลักษณะของน้ำเสีย | 10 |
| 2.2 หลักการบำบัดน้ำเสียทั่วไป | 16 |
| 2.3 หลักการบำบัดน้ำเสียโดยวิธีรวมกลุ่มตะกอนทางเคมี | 19 |
| 2.4 งานวิจัยที่เกี่ยวข้อง | 33 |
| <u>บทที่ 3 วิธีดำเนินการศึกษา</u> | 37 |
| 3.1 ประชากรและตัวอย่าง | 37 |
| 3.2 วิธีการทดลอง | 39 |
| 3.3 การวิเคราะห์ค่าพารามิเตอร์ | 50 |
| 3.4 วัสดุอุปกรณ์ | 50 |

| | |
|--|---------|
| 3.5 การวิเคราะห์ข้อมูล | 51 |
| บทที่ 4 ผลการทดลองและอภิปรายผล | |
| 4.1 คุณลักษณะของน้ำเสีย | 53 |
| 4.2 ประสิทธิภาพการบำบัดความชุ่น | 54 |
| 4.3 อัตราเร็วในการตกรดกอน | c4-2 90 |
| 4.4 ปริมาณการตกรดกอนคงเหลือภายหลังตกรดกอนโดยกระบวนการ โคลอฟลักชัน | 107 |
| 4.5 ความสมมั่นคงของปริมาณการตกรดกอนและความชุ่นภายหลังบำบัด | 124 |
| 4.6 สรุปภาพรวมผลการทดลอง | 128 |
| บทที่ 5 สรุปและข้อเสนอแนะ | 130 |
| 5.1 ผลการทดลองเพื่อหาประสิทธิภาพการบำบัดความชุ่น (Turbidity Removal) | 130 |
| 5.2 ผลการทดลองเพื่อหาอัตราเร็วการตกรดกอน (Flocculant Settling) | 132 |
| 5.3 ผลการทดลองเพื่อหาปริมาณการตกรดกอนคงเหลือ (Wet Sludge Volume) | 134 |
| 5.4 การพิสูจน์สมมติฐานการศึกษา | 136 |
| 5.5 การคำนวณค่าใช้จ่าย | 138 |
| 5.6 การเปรียบเทียบผลการทดลองเพื่อหาชนิดของสารรวมตกรดกอนที่เหมาะสม ในการบำบัดด้วยน้ำเสียคลองแสนแสบ | 139 |
| 5.7 ข้อจำกัดในการทดลอง | 144 |
| 5.8 ข้อเสนอแนะ | 144 |
| บรรณานุกรม | 145 |
| ภาคผนวก | 149 |
| ภาคผนวก ก การเตรียมสารละลาย | 150 |
| ภาคผนวก ข มาตรฐานและคุณภาพน้ำ | 153 |
| ภาคผนวก ค ข้อมูลจำเพาะของโพลีเมอร์และ Micronized Chitosan | 159 |
| ภาคผนวก ง การวิเคราะห์ข้อมูลทางสถิติ | 169 |
| ภาคผนวก จ ด้วยการคำนวณอัตราเร็วการตกรดกอนเฉลี่ย | 188 |
| ประวัติผู้เขียน | 190 |

สารบัญตาราง

| ตารางที่ | หน้า |
|--|------|
| 1.1 คุณภาพน้ำในคลองแสบเป็นพ.ศ. 2548 และ 2547 | 2 |
| 1.2 ปริมาณตะกอนน้ำเสียที่เกิดขึ้นภายหลังการบำบัดน้ำจากกิจกรรมประเภทต่างๆ | 4 |
| 3.1 พารามิเตอร์และวิธีทดสอบ/เครื่องมือ | 50 |
| 4.1 คุณลักษณะของน้ำเสียก่อนทดสอบ | 54 |
| 4.2 ประสิทธิภาพการบำบัดความชุ่นเมื่อใช้สารสัม (Alum) เป็นสารรวมตะกอนที่ปัจจัย pH แตกต่างกัน | 55 |
| 4.3 ประสิทธิภาพการบำบัดความชุ่นเมื่อใช้สารสัม (Alum) เป็นสารรวมตะกอนที่ปัจจัยความเข้มข้นแตกต่างกัน | 58 |
| 4.4 ประสิทธิภาพการบำบัดความชุ่นเมื่อใช้เฟอริคคลอไรด์ (FeCl_3) เป็นสารรวมตะกอนที่ปัจจัย pH แตกต่างกัน | 63 |
| 4.5 ประสิทธิภาพการบำบัดความชุ่นเมื่อใช้เฟอริคคลอไรด์ (FeCl_3) เป็นสารรวมตะกอนที่ปัจจัยความเข้มข้นแตกต่างกัน | 67 |
| 4.6 ประสิทธิภาพการบำบัดความชุ่นเมื่อใช้โพลีเมอร์ชนิด Cationic Polyelectrolyte เป็นสารรวมตะกอนที่ปัจจัย pH แตกต่างกัน | 72 |
| 4.7 ประสิทธิภาพการบำบัดความชุ่นเมื่อใช้โพลีเมอร์ชนิด Cationic Polyelectrolyte เป็นสารรวมตะกอนที่ปัจจัยความเข้มข้นแตกต่างกัน | 76 |
| 4.8 ประสิทธิภาพการบำบัดความชุ่นเมื่อใช้ Micronized Chitosan เป็นสารรวมตะกอนที่ปัจจัย pH แตกต่างกัน | 81 |
| 4.9 ประสิทธิภาพการบำบัดความชุ่นเมื่อใช้ Micronized Chitosan เป็นสารรวมตะกอนที่ปัจจัยความเข้มข้นแตกต่างกัน | 85 |

| | |
|---|-----|
| 4.10 อัตราเร็วการตกลงตะกอนเมื่อใช้สารส้ม (Alum) เป็นสารรวมตะกอน | 90 |
| 4.11 อัตราเร็วการตกลงตะกอนเมื่อใช้เฟอริคคลอไรด์ (FeCl_3) เป็นสารรวมตะกอน | 95 |
| 4.12 อัตราเร็วการตกลงตะกอนเมื่อใช้ Cationic Polyelectrolyte เป็นสารรวมตะกอน | 99 |
| 4.13 อัตราเร็วการตกลงตะกอนเมื่อใช้ Micronized Chitosan เป็นสารรวมตะกอน | 102 |
| 4.14 อัตราเร็วการตกลงตะกอนเฉลี่ยสูงสุดของสารรวมตะกอนแต่ละชนิด | 106 |
| 4.15 ปริมาณหากตะกอน (Wet Sludge Volume) ที่เวลา 60 นาที เมื่อใช้สารส้มเป็นสารรวมตะกอนที่ pH แตกต่างกัน | 107 |
| 4.16 ปริมาณหากตะกอน (Wet Sludge Volume) ที่เวลา 60 นาที เมื่อใช้สารส้มเป็นสารรวมตะกอนที่ความเข้มข้นแตกต่างกัน | 111 |
| 4.17 ปริมาณหากตะกอน (Wet Sludge Volume) ที่เวลา 60 นาที เมื่อใช้ FeCl_3 เป็นสารรวมตะกอนที่ pH แตกต่างกัน | 115 |
| 4.18 ปริมาณหากตะกอน (Wet Sludge Volume) ที่เวลา 60 นาที เมื่อใช้ FeCl_3 เป็นสารรวมตะกอนที่ความเข้มข้นแตกต่างกัน | 119 |
| 4.19 ปริมาณหากตะกอน (Wet Sludge Volume) ที่เวลา 60 นาที เมื่อใช้ Cationic Polyelectrolyte เป็นสารรวมตะกอน | 122 |
| 4.20 ปริมาณหากตะกอน (Wet Sludge Volume) ที่เวลา 60 นาที เมื่อใช้ Micronized Chitosan เป็นสารรวมตะกอน | 122 |
| 4.21 สรุปผลการทดลองเพื่อหาประสิทธิภาพการบำบัดความชื้นและอัตราเร็ว การตกลงตะกอนเฉลี่ยสูงสุดและปริมาณหากตะกอนต่ำสุดของสารรวม ตะกอนแต่ละชนิด | 128 |
| 5.1 ประสิทธิภาพการบำบัดความชื้นของสารรวมตะกอนแต่ละชนิด | 130 |
| 5.2 ประสิทธิภาพการบำบัดความชื้นสูงสุดของสารรวมตะกอนแต่ละชนิด | 131 |
| 5.3 อัตราเร็วการตกลงตะกอนเฉลี่ย (m^3/s) ของสารรวมตะกอนแต่ละชนิด | 132 |
| 5.4 อัตราเร็วการตกลงตะกอนเฉลี่ยสูงสุดของสารรวมตะกอนแต่ละชนิด | 133 |
| 5.5 ปริมาณหากตะกอนคงเหลือ (m^3/l) ของสารรวมตะกอนแต่ละชนิด | 134 |
| 5.6 ปริมาณหากตะกอนต่ำสุดของสารรวมตะกอนแต่ละชนิด | 135 |
| 5.7 เปรียบเทียบประสิทธิภาพการบำบัดความชื้นสูงสุด ของสารรวมตะกอนแต่ละชนิด | 136 |

(12)

| | |
|---|-----|
| 5.8 เปรียบเทียบอัตราเร็วการดักแดกอนเฉลี่ยสูงสุดของสารรวมตะกอนแต่ละชนิด | 137 |
| 5.9 เปรียบเทียบปริมาณกากตะกอนต่ำสุดที่เกิดขึ้นจากการเติมสารรวมตะกอนแต่ละชนิด | 138 |
| 5.10 ตัวอย่างการคำนวณค่าใช้จ่ายต่อหน่วยบำบัดน้ำ 1 ลิตร | 139 |
| 5.11 สรุปผลการทดลองเพื่อหาชนิดของสารรวมตะกอนที่เหมาะสมในการบำบัดตัวอย่างน้ำเสียคลองแสนแสบ | 140 |

สารบัญภาพ

| ภาคที่ | หน้า |
|--|------|
| 1.1 กรอบแนวคิดในการศึกษา | 6 |
| 2.1 กระบวนการโดยอกถูเขียนในระบบบำบัดน้ำเสีย | 20 |
| 2.2 ขนาดอนุภาคต่างๆที่เป็นสารแขวนลอยอยู่ในน้ำ | 21 |
| 2.3 แรงตึงดูดและแรงผลักระหว่างอนุภาคค่าลล้อยร์ | 21 |
| 2.4 สมการประจุไฟฟ้าที่ผิวของอนุภาคค่าลล้อยร์และศักย์ชีตา | 23 |
| 2.5 ลักษณะที่โพลีอิเล็กโทรไลต์ช่วยจับอนุภาค | 23 |
| 2.6 ลักษณะโครงสร้างของ Cationic Acrylamide Copolymers | 24 |
| 2.7 ลักษณะการจับตัวและความตัวเมื่อใส่โพลีเมอร์ | 26 |
| 2.8 โครงสร้างทางเคมีของ Micronized Chitosan | 27 |
| 2.9 เครื่องทดสอบเจาร์เตส (Jar Tester) | 29 |
| 2.10 เครื่องกวนสาร (Magnetic Stirrer) | 29 |
| 3.1 แผนภาพการเก็บตัวอย่างน้ำเสียคลองแสนแสบแบบผสมรวม ณ วันที่ 24 มีนาคม 2549 | 35 |
| 3.2 การเก็บน้ำตัวอย่างบริเวณด้านหลังโรงอาหารอาคารที่จอดรถ | 38 |
| 3.3 ขวดเก็บน้ำตัวอย่างโพลีเอทธิลีนมีฝาเกลี่ยปิด | 39 |
| 3.4 การกวนซ้ำเมื่อเติม FeCl_3 ในตัวอย่างน้ำเสีย | 40 |
| 3.5 ลักษณะทางกายภาพของสารสัม (Alum) | 41 |
| 3.6 เพอริคอลอไรด์จากบริษัท Merck | 42 |
| 3.7 โพลีอิเล็กโทรไลต์ประจุบวก – OPTIMER 9916 | 42 |
| 3.8 ลักษณะทางกายภาพของ Micronized Chitosan | 43 |
| 3.9 แผนภาพการทดลองเมื่อใช้สารสัมเป็นสารรวมตะกอน | 44 |
| 3.10 แผนภาพการทดลองเมื่อใช้ FeCl_3 เป็นสารรวมตะกอน | 44 |

| | | |
|------|---|----|
| 3.11 | แผนภาพการทดลองเมื่อใช้ Cationic Polyelectrolyte เป็นสารรวมตะกอน | 45 |
| 3.12 | แผนภาพการทดลองเมื่อใช้ Micronized Chitosan เป็นสารรวมตะกอน | 45 |
| 3.13 | ลักษณะการตกตะกอนในระบบอุ่นด้วง | 46 |
| 3.14 | ระยะทางที่ตะกอนเคลื่อนที่ไป (s_1 และ s_2) | 46 |
| 3.15 | กราฟระหว่างเวลาในการตกตะกอน (t) และความสูงของกาก (h) | 47 |
| 3.16 | กราฟแสดงระยะเวลาเคลื่อนที่ของตะกอน (s) ต่อเวลา (t) ที่ใช้ในการเคลื่อนที่ | 47 |
| 3.17 | แผนภาพสรุปขั้นตอนการทดลอง | 49 |
| 4.1 | ลักษณะทางกายภาพของด้วอย่างตัวอย่างน้ำเสียทดลองแสนแสบ | 53 |
| 4.2 | ประสิทธิภาพการนำบัดความชื้นเมื่อใช้สารส้มเป็นสารรวมตะกอนที่ pH 6 | 56 |
| 4.3 | ประสิทธิภาพการนำบัดความชื้นเมื่อใช้สารส้มเป็นสารรวมตะกอนที่ pH 7 | 56 |
| 4.4 | ประสิทธิภาพการนำบัดความชื้นเมื่อใช้สารส้มเป็นสารรวมตะกอนที่ pH 8 | 57 |
| 4.5 | เปรียบเทียบประสิทธิภาพการนำบัดความชื้นที่ pH แตกต่าง | 57 |
| 4.6 | ประสิทธิภาพการนำบัดความชื้นเมื่อใช้สารส้มเป็นสารรวมตะกอน ความเข้มข้น 500 มิลลิกรัมต่อลิตร | 59 |
| 4.7 | ประสิทธิภาพประสิทธิภาพการนำบัดความชื้นเมื่อใช้สารส้มเป็น สารรวมตะกอนความเข้มข้น 800 มิลลิกรัมต่อลิตร | 59 |
| 4.8 | ประสิทธิภาพการนำบัดความชื้นเมื่อใช้สารส้มเป็นสารรวมตะกอน ความเข้มข้นเท่ากับ 1,000 มิลลิกรัมต่อลิตร | 60 |
| 4.9 | เปรียบเทียบประสิทธิภาพการนำบัดความชื้นเมื่อใช้สารส้มเป็นสาร รวมตะกอนที่ความเข้มข้นแตกต่างกัน | 61 |
| 4.10 | ประสิทธิภาพการนำบัดความชื้นเมื่อใช้ FeCl_3 เป็นสารรวมตะกอนที่ pH 8 | 64 |
| 4.11 | ประสิทธิภาพการนำบัดความชื้นเมื่อใช้ FeCl_3 เป็นสารรวมตะกอนที่ pH 9 | 64 |
| 4.12 | ประสิทธิภาพการนำบัดความชื้นเมื่อใช้ FeCl_3 เป็นสารรวมตะกอนที่ pH 10 | 65 |
| 4.13 | เปรียบเทียบประสิทธิภาพการนำบัดความชื้นเมื่อใช้ FeCl_3 เป็นสารรวมตะกอน ที่ pH แตกต่างกัน | 66 |
| 4.14 | ประสิทธิภาพการนำบัดความชื้นเมื่อใช้ FeCl_3 ที่ความเข้มข้น 300 มิลลิกรัมต่อลิตร | 68 |
| 4.15 | ประสิทธิภาพการนำบัดความชื้นเมื่อใช้ FeCl_3 ที่ความเข้มข้น 500 มิลลิกรัมต่อลิตร | 68 |

| | |
|--|----|
| 4.16 ประสิทธิภาพการบำบัดความชุ่นเมื่อใช้ FeCl_3 ที่ความเข้มข้น 700 มิลลิกรัมต่อลิตร | 69 |
| 4.17 เปรียบเทียบประสิทธิภาพการบำบัดความชุ่นเมื่อใช้ FeCl_3 เป็นสารรวมตะกอนที่ความเข้มข้นแตกต่างกัน | 70 |
| 4.18 ประสิทธิภาพการบำบัดความชุ่นเมื่อใช้ Cationic Polyelectrolyte เป็นสารรวมตะกอนที่ pH 6 | 73 |
| 4.19 ประสิทธิภาพการบำบัดความชุ่นเมื่อใช้ Cationic Polyelectrolyte เป็นสารรวมตะกอนที่ pH 7 | 74 |
| 4.20 ประสิทธิภาพการบำบัดความชุ่นเมื่อใช้ Cationic Polyelectrolyte เป็นสารรวมตะกอนที่ pH 8 | 74 |
| 4.21 เปรียบเทียบประสิทธิภาพการบำบัดความชุ่นเมื่อใช้ Cationic Polyelectrolyte เป็นสารรวมตะกอนที่ pH แตกต่างกัน | 75 |
| 4.22 ประสิทธิภาพการบำบัดความชุ่นเมื่อใช้ Cationic Polyelectrolyte เป็นสารรวมตะกอนที่ความเข้มข้น 0.3 มิลลิกรัมต่อลิตร | 77 |
| 4.23 ประสิทธิภาพการบำบัดความชุ่นเมื่อใช้ Cationic Polyelectrolyte เป็นสารรวมตะกอนที่ความเข้มข้น 0.5 มิลลิกรัมต่อลิตร | 77 |
| 4.24 ประสิทธิภาพการบำบัดความชุ่นเมื่อใช้ Cationic Polyelectrolyte เป็นสารรวมตะกอนที่ความเข้มข้น 0.7 มิลลิกรัมต่อลิตร | 78 |
| 4.25 เปรียบเทียบประสิทธิภาพการบำบัดความชุ่นเมื่อใช้ Cationic Polyelectrolyte เป็นสารรวมตะกอนที่ความเข้มข้นแตกต่างกัน | 79 |
| 4.26 ประสิทธิภาพการบำบัดความชุ่นเมื่อใช้ Micronized Chitosan เป็นสารรวมตะกอนที่ pH เท่ากับ 4 | 82 |
| 4.27 ประสิทธิภาพการบำบัดความชุ่นเมื่อใช้ Micronized Chitosan เป็นสารรวมตะกอนที่ pH เท่ากับ 5 | 82 |
| 4.28 ประสิทธิภาพการบำบัดความชุ่นเมื่อใช้ Micronized Chitosan เป็นสารรวมตะกอนที่ pH เท่ากับ 6 | 82 |
| 4.29 เปรียบเทียบประสิทธิภาพการบำบัดความชุ่นเมื่อใช้ Micronized Chitosan เป็นสารรวมตะกอนที่ pH แตกต่างกัน | 84 |
| 4.30 ประสิทธิภาพการบำบัดความชุ่นเมื่อใช้ Micronized Chitosan เป็นสารรวมตะกอนความเข้มข้น 60 มิลลิกรัมต่อลิตร | 86 |

| | |
|---|-----|
| 4.31 ประสิทธิภาพการบ้าบัดความชุ่นเมื่อใช้ Micronized Chitosan เป็นสารรวมตะกอนที่ความเข้มข้นเท่ากับ 80 มิลลิกรัมต่อลิตร | 86 |
| 4.32 ประสิทธิภาพการบ้าบัดความชุ่นเมื่อใช้ Micronized Chitosan เป็นสารรวมตะกอนความเข้มข้น 100 มิลลิกรัมต่อลิตร | 87 |
| 4.33 เปรียบเทียบประสิทธิภาพการบ้าบัดความชุ่นเมื่อใช้ Micronized Chitosan เป็นสารรวมตะกอนที่ความเข้มข้นแตกต่างกัน | 88 |
| 4.34 ทิศทางและอัตราเร็วการตกตะกอนเมื่อใช้สารสัมเป็นสารรวมตะกอนที่ pH 6 | 90 |
| 4.35 ทิศทางและอัตราเร็วการตกตะกอนเมื่อใช้สารสัมเป็นสารรวมตะกอนที่ pH 7 | 91 |
| 4.36 ทิศทางและอัตราเร็วการตกตะกอนเมื่อใช้สารสัมเป็นสารรวมตะกอนที่ pH 8 | 92 |
| 4.37 ทิศทางและอัตราเร็วการตกตะกอนเมื่อใช้ FeCl_3 เป็นสารรวมตะกอนที่ pH 8 | 94 |
| 4.38 ทิศทางและอัตราเร็วการตกตะกอนเมื่อใช้ FeCl_3 เป็นสารรวมตะกอนที่ pH 9 | 95 |
| 4.39 ทิศทางและอัตราเร็วการตกตะกอนเมื่อใช้ FeCl_3 เป็นสารรวมตะกอนที่ pH 10 | 96 |
| 4.40 ทิศทางและอัตราเร็วการตกตะกอนเมื่อใช้ Cationic Polyelectrolyte เป็นสารรวมตะกอนที่ pH เท่ากับ 6 | 98 |
| 4.41 ทิศทางและอัตราเร็วการตกตะกอนเมื่อใช้ Cationic Polyelectrolyte เป็นสารรวมตะกอนที่ pH เท่ากับ 7 | 99 |
| 4.42 ทิศทางและอัตราเร็วการตกตะกอนเมื่อใช้ Cationic Polyelectrolyte เป็นสารรวมตะกอนที่ pH เท่ากับ 8 | 100 |
| 4.43 ทิศทางและอัตราเร็วการตกตะกอนเมื่อใช้ Micronized Chitosan เป็นสารรวมตะกอนที่ pH เท่ากับ 4 | 102 |
| 4.44 ทิศทางและอัตราเร็วการตกตะกอนเมื่อใช้ Micronized Chitosan เป็นสารรวมตะกอนที่ pH เท่ากับ 5 | 103 |
| 4.45 ทิศทางและอัตราเร็วการตกตะกอนเมื่อใช้ Micronized Chitosan เป็นสารรวมตะกอนที่ pH เท่ากับ 6 | 104 |
| 4.46 การตกตะกอนที่เกิดขึ้น ณ เวลา 60 นาทีจากการใช้สารสัมเป็นสารรวมตะกอน | 106 |
| 4.47 ปริมาณการตกตะกอนเมื่อใช้สารสัมความเข้มข้นต่างๆ ที่ pH เท่ากับ 6 | 107 |
| 4.48 ปริมาณการตกตะกอนเมื่อใช้สารสัมความเข้มข้นต่างๆ ที่ pH เท่ากับ 7 | 108 |
| 4.49 ปริมาณการตกตะกอนเมื่อใช้สารสัมความเข้มข้นต่างๆ ที่ pH เท่ากับ 8 | 108 |
| 4.50 ปริมาณการตกตะกอนเมื่อใช้สารสัมความเข้มข้นต่างๆ ที่ pH แตกต่างกัน | 109 |

| | | |
|------|---|-----|
| 4.51 | ปริมาณการตะกอนที่สภาวะ pH ต่างๆ ที่ความเข้มข้นของสารสัมเท่ากับ 500 มิลลิกรัมต่อลิตร | 110 |
| 4.52 | ปริมาณการตะกอนที่สภาวะ pH ต่างๆ ที่ความเข้มข้นของสารสัมเท่ากับ 800 มิลลิกรัมต่อลิตร | 111 |
| 4.53 | ปริมาณการตะกอนที่สภาวะ pH ต่างๆ ที่ความเข้มข้นของสารสัมเท่ากับ 1,000 มิลลิกรัมต่อลิตร | 111 |
| 4.54 | ปริมาณการตะกอนที่สภาวะ pH ต่างๆ เมื่อใช้สารสัมเป็นสารรวมตะกอนที่ความเข้มข้นแตกต่างกัน | 112 |
| 4.55 | ลักษณะการตะกอนเมื่อใช้ FeCl_3 เป็นสารรวมตะกอน | 114 |
| 4.56 | ปริมาณการตะกอนเมื่อใช้ FeCl_3 ที่ความเข้มข้นต่างๆ ที่ pH เท่ากับ 8 | 115 |
| 4.57 | ปริมาณการตะกอนเมื่อใช้ FeCl_3 ที่ความเข้มข้นต่างๆ ที่ pH เท่ากับ 9 | 115 |
| 4.58 | ปริมาณการตะกอนเมื่อใช้ FeCl_3 ที่ความเข้มข้นต่างๆ ที่ pH เท่ากับ 10 | 116 |
| 4.59 | ปริมาณการตะกอนเมื่อใช้ FeCl_3 ความเข้มข้นต่างๆ ที่ pH แตกต่างกัน | 117 |
| 4.60 | ปริมาณการตะกอนของ FeCl_3 ที่ pH ต่างๆ ที่ความเข้มข้น 300 มิลลิกรัมต่อลิตร | 118 |
| 4.61 | ปริมาณการตะกอนของ FeCl_3 ที่ pH ต่างๆ ที่ความเข้มข้น 500 มิลลิกรัมต่อลิตร | 119 |
| 4.62 | ปริมาณการตะกอนของ FeCl_3 ที่ pH ต่างๆ ที่ความเข้มข้น 700 มิลลิกรัมต่อลิตร | 119 |
| 4.63 | ปริมาณการตะกอนเมื่อใช้ FeCl_3 เป็นสารรวมตะกอนที่ความเข้มข้นแตกต่างกัน | 120 |
| 4.64 | ตัวอย่างปริมาณการตะกอนในระบบทอกรด เมื่อมีการเติมสารรวมตะกอนแค่ละชนิด | 123 |
| 4.65 | เปรียบเทียบปริมาณการตะกอนและความชุ่นหลังบำบัดเมื่อใช้สารสัมเป็นสารรวมตะกอน | 124 |
| 4.66 | ความสัมพันธ์ระหว่างค่าความชุ่นและปริมาณการตะกอนภายหลังบำบัดตัวอย่างน้ำเสียคลองแสนแสบเมื่อใช้สารสัมเป็นสารรวมตะกอน | 124 |
| 4.67 | เปรียบเทียบปริมาณการตะกอนและความชุ่นหลังบำบัดเมื่อใช้ FeCl_3 เป็นสารรวมตะกอน | 125 |

(18)

| | |
|--|-----|
| 4.68 ความสัมพันธ์ระหว่างค่าความชื้นและปริมาณแก๊สกอนภายในหลังป้าบัด | 126 |
| ตัวอย่างน้ำเสียคลองแสนแสบเมื่อใช้ FeCl_3 เป็นสารรวมตะกอน | |
| 5.1 สรุปผลการทดลองเพื่อหาสารรวมตะกอนที่เหมาะสมในการป้าบัด | 148 |
| ตัวอย่างน้ำเสียคลองแสนแสบ | |

บทที่ 1

บทนำ

1.1 ที่มาและความสำคัญของปัญหา

น้ำเสียในปัจจุบันเพิ่มปริมาณมากขึ้นจากการเพิ่มขึ้นของประชากรและการใช้ประโยชน์จากทรัพยากรน้ำอย่างขาดความตระหนักในการดูแลและอนุรักษ์ไว้ซึ่งแหล่งน้ำที่สะอาด สำหรับน้ำในคลองแส้นและน้ำเมื่อมองด้วยสายตาจะพบว่าลักษณะทางกายภาพมีลักษณะชุ่น มีสีดำ และบางช่วงยังส่งกลิ่นเหม็นมาก ซึ่งก่อให้เกิดหัสโนยภาพที่ไม่สวยงามแก่ผู้สัญจรทางน้ำและผู้อาศัยอยู่บริเวณริมคลอง จากการสำรวจความคิดเห็นของประชากรกลุ่มตัวอย่าง พบร้อยละ 58.3 เห็นว่าปัญหาและอุปสรรคในการเดินเรือ คือ สภาพน้ำในลำคลองเน่าเสีย ส่งกลิ่นเหม็น (สุจิตรา บุญเยรุดนพันธุ์ และคณะ, 2537: 3)

ในตารางที่ 1.1 แสดงคุณภาพน้ำในคลองแส้นปี พ.ศ. 2547 และ 2548 จากข้อมูลของกรุงเทพมหานคร พบร้า คุณภาพน้ำในคลองแส้นในปี พ.ศ. 2548 มีคุณภาพน้ำดีขึ้น เล็กน้อยจากปี พ.ศ. 2547 และพบว่า บริเวณส่วนใหญ่มีค่าปริมาณออกซิเจนที่ละลายในน้ำ (Dissolved Oxygen : DO) ค่อนข้างต่ำ คือ ต่ำกว่า 4 มิลลิกรัมต่อลิตร ซึ่งค่า DO ที่เหมาะสมแก่การหายใจของสัตว์น้ำและพืชน้ำคือ ควรมีค่าไม่ต่ำกว่า 4 มิลลิกรัมต่อลิตร (กรมควบคุมมลพิษ, 2548) อีกทั้ง ปริมาณ BOD ก็สูงเกินเกณฑ์มาตรฐานน้ำผิวดินและปริมาณสารแขวนลอยส่วนใหญ่มีค่าเกินกว่ามาตรฐานคือ 40 มิลลิกรัมต่อลิตร เมื่ออ้างอิงตามมาตรฐานควบคุมการระบายน้ำทึบจากอาคารซึ่งเป็นการบ่งชี้ได้ว่า คุณภาพน้ำในคลองแส้นน้ำ ยังมีคุณภาพต่ำกว่ามาตรฐานที่กำหนด

ตารางที่ 1.1 คุณภาพน้ำในคลองแสนแสบปี พ.ศ. 2547 และ 2548

| ชื่อคลอง | สถานที่เก็บน้ำ | DO | | BOD | | ปริมาณสาร | |
|------------|--|--------|--------|--------|--------|------------------------|------|
| | | (mg/l) | (mg/l) | (mg/l) | (mg/l) | แขวนลอย (SS) (mg/l) | |
| | | 2548 | 2547 | 2548 | 2547 | 2548 | 2547 |
| คลองแสนแสบ | ถนนอโศกติโนดแดง | 1.8 | 2.7 | 11.3 | 10.6 | 80 | 63.7 |
| คลองแสนแสบ | ปต.ร. แสนแสบ (ถ.เพชรบุรี ๗, ประสานมิตร) | 1.2 | 1.6 | 12.6 | 12.3 | 60 | 54.6 |
| คลองแสนแสบ | ซอยเทพลิลา | 0.5 | 0.9 | 18.7 | 15.7 | 57 | 74.8 |
| คลองแสนแสบ | สะพานบางกะปิ | 1.4 | 1.2 | 11.5 | 16.7 | 37 | 59.5 |
| คลองแสนแสบ | วัดบัวเพ็ญเหนือ | 2.0 | 2.7 | 7.3 | 9.4 | 32 | 32.3 |
| คลองแสนแสบ | มีนบุรี (รร. สตวิทยามีนบุรี) | 3.5 | 3.1 | 5.3 | 11.8 | 31 | 27.6 |
| คลองแสนแสบ | ปต.ร. แสนแสบ (ของกรมชล-ประทาน) | 4.7 | 3.6 | 7.5 | 11.5 | 31 | 29.6 |
| คลองแสนแสบ | สะพานประคุณ้ำเวลเกรดเชิ้นเดอร์ | 0.6 | 2.2 | 19.3 | 13.6 | 80 | 75 |

แหล่งที่มา: สำนักงานจัดการคุณภาพน้ำ กรุงเทพมหานคร, 2548.

ผู้ศึกษาวิจัยเห็นว่า การบำบัดน้ำเสียคลองแสนแสบมีหลายทางเลือก เช่น วิธีทางชีวภาพ กายภาพและเคมี การประยุกต์ใช้วิธีทางเคมีในการบำบัดน้ำเสียก็เป็นทางเลือกหนึ่งที่ให้ประสิทธิภาพการบำบัดค่อนข้างสูงรวมไปถึงเป็นวิธีที่ง่ายและรวดเร็ว ผู้ศึกษาวิจัยมีความสนใจที่จะศึกษาการบำบัดด้วยวิธีการรวมกลุ่มตะกอนด้วยการเติมสารรวมตะกอน ซึ่งเป็นการวิจัยเชิงทดลองในห้องปฏิบัติการ โดยเน้นศึกษาถึงการหาอัตราเร็วในการตกลงตะกอนของกาเกตตะกอน (Flocculant Settling) และปริมาณกาเกตตะกอน (Wet Sludge Volume) ที่เกิดขึ้นจากการใช้สารรวมตะกอน รวมทั้งค่าความชื้นของด้วยน้ำเสียที่ผ่านการบำบัดในขบวนการรวมกลุ่มตะกอนของสารแขวนลอยหรือกอลลอยด์ที่ปนเปื้อนอยู่ในน้ำคลอง

แสนแสบเพื่อหานิคของสารรวมตะกอนที่ให้ประสิทธิภาพการบำบัดตัวอย่างน้ำเสียที่ดีที่สุดและสภาวะที่เหมาะสมในการบำบัดตัวอย่างน้ำเสียคลองแสนแสบด้วยวิธีการรวมกลุ่มตะกอนทางเคมี (Coagulation)

ทั้งนี้งานวิจัยเรื่อง การศึกษาอัตราเร็วในการตกรตะกอนและปริมาณกากระกะอนจากการบำบัดตัวอย่างน้ำเสียคลองแสนแสบด้วยวิธีการรวมกลุ่มตะกอนทางเคมี นี้ เป็นการดำเนินการวิจัยต่อเนื่องจาก การวิจัยของ กิตยา นันหมื่น (2548) เรื่อง การบำบัดน้ำเสียจากคลองแสนแสบ โดยวิธีการรวมกลุ่มตะกอนทางเคมี ซึ่งการวิจัยเรื่องดังกล่าวมุ่งเน้นวิจัยถึงประสิทธิภาพของการบำบัดน้ำเสียด้วยวิธีการรวมกลุ่มตะกอนโดยการเติมสารรวมตะกอน 4 ชนิด ได้แก่ สารส้ม สารเฟอริคคลอร์ไรด์ โพลีอิเล็กโทรไลท์ประจุบวก (Cationic Polyelectrolyte, และ Micronized Chitosan โดยพิจารณาคุณภาพของน้ำจากค่าพารามิเตอร์ต่างๆ ได้แก่ ค่า Chemical Oxygen Demand (COD) ความชื้นและสีของน้ำภายหลังผ่านการบำบัด ด้วยการทดลองในห้องปฏิบัติการ แต่สำหรับการวิจัยเรื่อง การศึกษาอัตราเร็วในการตกรตะกอนและปริมาณกากระกะอนจากการบำบัดตัวอย่างน้ำเสียคลองแสนแสบด้วยวิธีการรวมกลุ่มตะกอนทางเคมี จะมุ่งเน้นศึกษาถึง อัตราเร็วการตกรตะกอนและปริมาณกากระกะอนที่เกิดขึ้นจากการเติมสารรวมตะกอนเพื่อหานิค ความเข้มข้นของสารรวมตะกอน และสภาวะความเป็นกรดและด่าง (pH) ที่เหมาะสมที่สุดในการบำบัดตัวอย่างน้ำเสียคลองแสนแสบและเพื่อประเมินประสิทธิภาพในการบำบัดน้ำเสียโดยสารรวมตะกอนแต่ละชนิดโดยมีพารามิเตอร์ที่ศึกษา คือ ความชื้นของตัวอย่างน้ำเสียที่ผ่านการบำบัด (Turbidity Removal) อัตราเร็วในการตกรตะกอนของกากระกะอน (Flocculant Settling) และปริมาณกากระกะอน (Wet Sludge Volume)

งานวิจัยเรื่อง การศึกษาอัตราเร็วในการตกรตะกอนและปริมาณกากระกะอนจากการบำบัดตัวอย่างน้ำเสียคลองแสนแสบด้วยวิธีการรวมกลุ่มตะกอนทางเคมี เน้นที่การศึกษาค่า ความชื้นของตัวอย่างน้ำเสียหลังการบำบัดและอัตราเร็วการตกรตะกอน รวมทั้งปริมาณกากระกะอน เนื่องจากในการบำบัดน้ำเสียส่วนใหญ่โดยเฉพาะอย่างยิ่งการบำบัดน้ำเสียทางเคมีและชีวภาพมักจะเกิดปริมาณกากระกะอนเป็นจำนวนมาก ซึ่งปริมาณกากระกะอนที่เกิดขึ้นภายหลังการบำบัดจากกิจกรรมรูปแบบต่าง ๆ แสดงได้ดังตารางที่ 1.2

ตารางที่ 1.2 ปริมาณตะกอนน้ำเสียที่เกิดขึ้นภายหลังการบำบัดน้ำจากกิจกรรมประกอบด้วย

| ชนิดของงาน | จำนวนโรงงาน | ระบบบำบัดน้ำเสียที่ใช้ | ปริมาณตะกอนน้ำเสีย (ตันปี) |
|---------------------------|-------------|------------------------|----------------------------|
| 1. สุขา | 34 | ระบบตะกอนเร่ง | 1,300 |
| 2. เปียร์ | 2 | ระบบตะกอนเร่ง | 10,800 |
| 3. น้ำอัคคลม | 8 | ระบบตะกอนเร่ง | 782 |
| 4. ผงชูรส | 3 | ระบบตะกอนเร่ง | 1,000 |
| 5. เยื่อกระดาษ | 44 | ระบบตะกอนเร่ง | 16,200 |
| 6. การบำบัดน้ำเสีย | 3 | ระบบตะกอนเร่ง | 7,680 |
| จากการเคละแห่งชาติ | | | |

แหล่งที่มา: ประยุร เพียดทะเนร, 2544: 7.

จากตารางที่ 1.2 จะพบว่า มีปริมาณตะกอนน้ำเสียค่อนข้างมากที่เกิดขึ้นภายหลังน้ำเสียได้ผ่านการบำบัดแล้ว ซึ่งหลังจากที่น้ำเสียผ่านกระบวนการรวมกสุ่มตะกอนแล้วตะกอนเหล่านี้ คือตะกอนของสิ่งสกปรกที่ปะปนมาในน้ำเสีย ส่วนน้ำใสที่ผ่านการบำบัดจะไหลออกไปผ่านกรร美化อีน ๆ ต่อไป แต่ส่วนที่เป็นตะกอนจะตกอยู่ที่ก้นบ่อตักตะกอนหรือถังตักตะกอน โดยปริมาณตะกอนจะมีจำนวนมากขึ้นตามปริมาณน้ำเสียที่เข้ามาทำการตักตะกอน (ประยุร เพียดทะเนร, 2544: 2)

อย่างไรก็ตามอัตราการตักตะกอนและปริมาณการตักตะกอนที่เกิดขึ้นอาจจะขึ้นอยู่กับชนิดความเข้มข้น และสภาวะการทำปฏิริยาของสารเคมีที่เติมลงไปในช่วงกระบวนการรวมกสุ่มตะกอน ด้วย หากจากนี้ตะกอนน้ำเสีย (Sludge) ยังอาจก่อให้เกิดปัญหากับระบบบำบัดน้ำเสียภายใต้ตักษณ์ตัวย (สนทยา เลขาธุร, 2535: 6) เช่น 1) ปัญหาตักตะกอนลอยที่ปนไปกับน้ำเสียที่ไหลออกนอกถังไปยังห้องต่อนต่อไปของกระบวนการบำบัดน้ำเสียให้ประสิทธิภาพการบำบัดลดลง 2) ปัญหาปริมาณตะกอนมากเกินไปและจมอยู่ที่ก้นถังซึ่งจะถูกหมักไวนานจนอาจทำให้เกิดตะกอนลอยตัวเนื่องจากการเกิดแก๊สในต่อเนื่นในสภาวะที่ไร้อาหารและอยู่ปะปนไปกับน้ำเสียหรือไหลออกนอกถังทำให้ประสิทธิภาพการบำบัดและคุณภาพน้ำลดลง 3) ปัญหาน้ำตักตะกอนมีความเข้มข้นของตะกอนต่ำทำให้การนำตะกอนไปกำจัดขึ้นสุดท้ายยุ่งยากและมีราคาในการกำจัดแพงขึ้น

จากปัญหาน้ำข้างต้นยังมีปัญหาอีน ๆ ที่เกิดขึ้นกับการกำจัดตักตะกอนน้ำเสียขึ้นสุดท้าย เพราะการทำจัดตักตะกอนขึ้นสุดท้าย โดยเฉพาะอย่างยิ่งหากตักตะกอนน้ำเสียที่มีสารปนเปื้อนสูงยกตัวอย่างเช่น มีการปนเปื้อนของโลหะหนักหรือสารพิษหรือสารที่อาจก่อให้เกิดโรคก็จะส่งผล

ให้มีค่าใช้จ่ายในการบำบัดสูงทั้งด้องเป็นกรรมวิธีในการกำจัดที่ต้องเน้นความปลอดภัย (Secured Landfill) หรือเทคโนโลยีเผา (Incinerator) ซึ่งมีราคาแพง รวมทั้งด้องใช้พื้นที่ในการกำจัดอีกด้วย

ดังนั้น การศึกษาเพื่อหาชนิดและความเข้มข้นของสารรวมตะกอนที่เหมาะสมที่สุดโดยวัดจากอัตราเร็วการแตกตะกอนและการเกิดปริมาณากากรตะกอนในการบำบัดน้ำเสีย จึงน่าจะเป็นทางเลือกที่ดีอย่างหนึ่งเพื่อลดภาระการกำจัดกากรตะกอนและยังคงประสิทธิภาพในการบำบัดน้ำเสียไว้ได้ด้วยดี รวมทั้ง ถ้าตะกอนมีอัตราการแตกตะกอนเร็วจะทำให้การบำบัดน้ำเสียช้าหรือน้ำเสียช้าและถังปฏิริยาจะมีขนาดเล็กลงซึ่งทำให้ประหยัดค่าใช้จ่ายในการก่อสร้างด้วย ทั้งนี้ เพราะจุดประสงค์ในการแตกตะกอนก็เพื่อจะลดปริมาณความชื้นในน้ำ (แวงค์ วุทธเสถียร, 2543: 95)

1.2 วัตถุประสงค์ในการศึกษา

1.2.1 วัตถุประสงค์ทั่วไป

เพื่อเปรียบเทียบประสิทธิภาพการบำบัดน้ำเสียในคลองแสนแสบด้วยวิธีการรวมกลุ่มตะกอน (Coagulation) โดยใช้สารสัมเพอริคคลอไทร์ด โพลีอิเล็กโตรไอล์บูร์กและ Micronized Chitosan

1.2.2 วัตถุประสงค์เฉพาะ

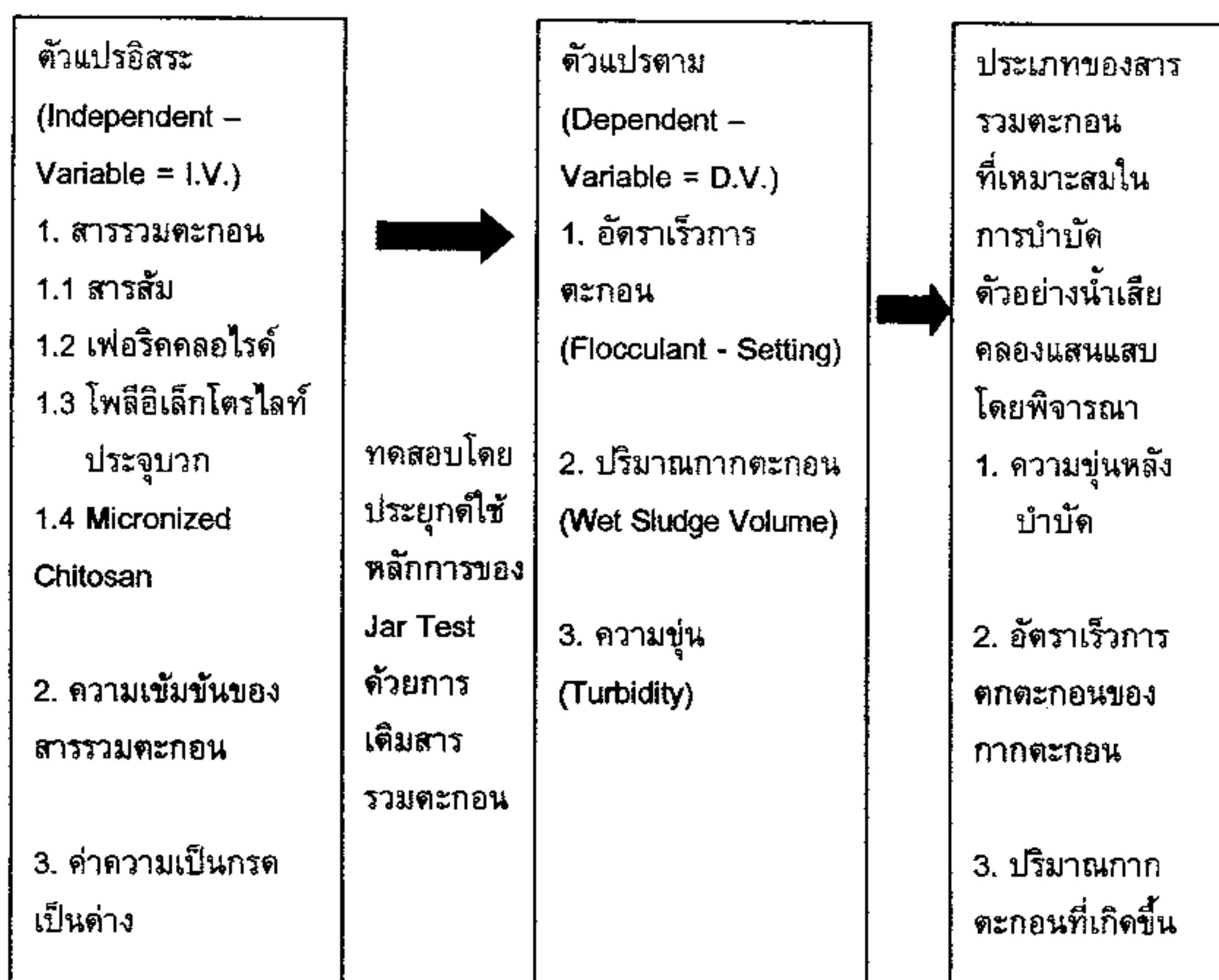
1.2.2.1 เพื่อศึกษาเปรียบเทียบค่าความชื้นของด้วอย่างน้ำเสียหลังการบำบัดโดยสารรวมตะกอน (Coagulants) ประเภทต่างๆ และสภาวะที่แตกต่าง

1.2.2.2 เพื่อศึกษาเปรียบเทียบอัตราเร็วในการแตกตะกอนของกากรตะกอน (Flocculant Settling) ในการบำบัดโดยเดิมสารรวมตะกอนประเภทต่างๆ (Coagulant) และสภาวะที่แตกต่าง

1.2.2.3 เพื่อศึกษาเปรียบเทียบปริมาณากากรตะกอน (Wet Sludge Volume) ภายหลังการเดิมสารรวมตะกอนประเภทต่างๆ (Coagulant) และสภาวะที่แตกต่าง

1.3 กรอบแนวคิดในการศึกษา

การวิจัยเชิงทดลอง เรื่อง การศึกษาอัตราเร็วการตกลงตะกอนและปริมาณการตกลงตะกอนภายหลังการบำบัดด้วยน้ำเสียคลองแส้นแสบด้วยวิธีการรวมกลุ่มตะกอนทางเคมี มีกรอบแนวคิดในการศึกษาซึ่งเขียนเป็นแผนภาพในการศึกษาได้ดังนี้



ภาพที่ 1.1 กรอบแนวคิดในการศึกษา

ในการศึกษาอัตราเร็วในการตกลงตะกอนและปริมาณการตกลงตะกอนภายหลังบำบัดด้วยน้ำเสีย คลองแส้นแสบด้วยวิธีการรวมกลุ่มตะกอนทางเคมี มีตัวแปรที่ต้องควบคุมในการทดสอบ ดังนี้
 1) อุณหภูมิ 2) ความเข้มข้นและชนิดของกรด - ต่างที่ใช้ปรับค่าความเป็นกรดเป็นด่าง (pH)
 3) ปริมาณและความเข้มข้นของน้ำเสียที่บำบัดแต่ละครั้ง 4) ความเร็วของและเวลาในการ กวนทึบการกวนข้าและการกวนเร็ว 5) ค่าความชุ่นก่อนบำบัด

1.4 ขอบเขตในการศึกษา

1.4.1 ขอบเขตด้านพื้นที่และประชากร

การศึกษารั้งนี้เป็นการศึกษาตัวอย่างน้ำคลองแสนแสบบริเวณด้านหลังโรงพยาบาลที่จอดรถ ของสถาบันบัณฑิตพัฒนบริหารศาสตร์ ที่ตั้ง 118 ถนนเสรีไทย แขวงคลองจั่น เขตบางกะปิ กรุงเทพมหานคร โดยทำการเก็บตัวอย่างน้ำเสียในวันที่ 24 มีนาคม พ.ศ.2549 แบบผสมรวม (Composite Sampling)

1.4.2 ขอบเขตด้านเนื้อหา

การศึกษารั้งนี้เป็นการวิจัยเชิงทดลองในห้องปฏิบัติการ โดยประกอบด้วยเนื้อหาในการศึกษา คือ

1.4.2.1 สารรวมตะกอน

สารรวมตะกอน ได้แก่ สารสัม เพอริคคลอไรด์ โพลีอิเล็กโทรไลท์ประจุบวก (Cationic - Polyelectrolyte) และ Micronized Chitosan ที่เป็นตัวแปรอิสระใช้ในการศึกษาโดยการเติมลงในน้ำเสียในปริมาณความเข้มข้นที่ต่างกันและสภาวะความเป็นกรด – ด่าง ที่ต่างกัน จากนั้นทำการทดสอบน้ำโดยประยุกต์ใช้ริชาร์จาร์-test (Jar Test) คือ มีการกวนข้าและกวนเร็ว เพื่อศึกษาอัตราเร็วในการตกละกอน (Flocculant Setting) และปริมาณกากตะกอน (Wet Sludge Volume) ภายหลังการบำบัดน้ำเสียด้วยวิธีการรวมกลุ่มตะกอน

1.4.2.2 ความสามารถในการบำบัดน้ำเสียของสารรวมตะกอนแต่ละชนิด โดยศึกษาถึงสภาวะที่เหมาะสมในการบำบัดน้ำเสีย ได้แก่ ความเข้มข้นของสารรวมตะกอน ค่าความเป็นกรดเป็นด่าง อัตราเร็วในการตกละกอนและปริมาณกากตะกอน

1.4.2.3 ความสามารถในการลดความชื้นของสารรวมตะกอนแต่ละชนิด

1.4.3 ขอบเขตด้านเวลา

ในการศึกษารั้งนี้ทำการศึกษาในช่วงเวลาตั้งแต่เดือนพฤษภาคม พ.ศ. 2548 จนถึงเดือนสิงหาคม พ.ศ. 2549

1.5 สมมติฐานการศึกษา

ในการศึกษาวิจัยเพื่อหาอัตราเร็วในการตกละกอนและปริมาณกากตะกอนภายหลังบำบัดตัวอย่างน้ำเสียคลองแสนแสบด้วยวิธีการรวมกลุ่มตะกอนทางเคมี มีสมมติฐานการศึกษาดังต่อไปนี้

สมมติฐานที่ 1 การบำบัดตัวอย่างน้ำเสียคลองแสนแสบด้วยวิธีการรวมกลุ่มตะกอนทางเคมีโดยสารโพลีเมอร์ (โพลีอิเล็กโทรไลท์ประจุบวกและ Micronized Chitosan) เป็นสาร

รวมตะกอน ให้ประสิทธิภาพการบำบัดความขุ่น (Turbidity Removal) สูงกว่าการใช้สารรวมตะกอนประเภทเกลืออนินทรีย์ (สารสัมและเพอร์คคลอไรต์)

สมมติฐานที่ 2 การบำบัดด้วยป่ากลองเสียคลองแสนแสบด้วยวิธีการรวมกลุ่มตะกอนทางเคมีโดยใช้สารโพลีเมอร์ (โพลีอิเล็กโตรไอล์ฟะรุบาก และ Micronized Chitosan) เป็นสารรวมตะกอนมีอัตราเร็วการตกตะกอน (Flocculant Settling) เร็วกว่า การใช้สารรวมตะกอนประเภทเกลืออนินทรีย์ (สารสัมและเพอร์คคลอไรต์)

สมมติฐานที่ 3 การบำบัดด้วยป่ากลองเสียคลองแสนแสบด้วยวิธีการรวมกลุ่มตะกอนทางเคมีโดยสารโพลีเมอร์(โพลีอิเล็กโตรไอล์ฟะรุบากและ Micronized Chitosan) เป็นสารรวมตะกอน ก่อให้เกิดกากตะกอน (Wet Sludge Volume) น้อยกว่า การใช้สารรวมตะกอนประเภทเกลืออนินทรีย์ (สารสัมและเพอร์คคลอไรต์)

1.6 ประโยชน์ที่คาดว่าจะได้รับ

- 1.6.1 ทราบถึงคุณภาพน้ำปัจจุบันของคลองแสนแสบ
- 1.6.2 ทราบถึงประสิทธิภาพในการบำบัดด้วยป่ากลองเสียคลองแสนแสบด้วยวิธีการทดลองทางเคมีโดยการรวมกลุ่มตะกอน (Coagulation)
- 1.6.3 ทราบถึงสภาวะที่เหมาะสมสำหรับรวมกลุ่มตะกอนแต่ละชนิดในการบำบัดด้วยป่ากลองเสียคลองแสนแสบ
- 1.6.4 ทราบถึงอัตราเร็วในการตกตะกอนและปริมาณการกักตะกอนที่เกิดขึ้นจากการเติมสารรวมกลุ่มตะกอนหรือสารรวมตะกอนแต่ละชนิดในการบำบัดด้วยป่ากลองเสียคลองแสนแสบด้วยวิธีการรวมกลุ่มตะกอนทางเคมี
- 1.6.5 เป็นข้อมูลพื้นฐานและทางเลือกในการบำบัดด้วยป่ากลองเสียคลองแสนแสบด้วยวิธีทางเคมี

1.7 นิยามศัพท์เฉพาะที่ใช้ในการศึกษา

- 1.7.1 น้ำเสีย คือ น้ำที่ผ่านการนำไปใช้ประโยชน์ในกิจกรรมต่าง ๆ แล้ว เช่น ชาระลัง สิ่งสกปรก ใช้ในครัวเรือน โรงงานอุตสาหกรรมหรือการเกษตร โดยน้ำดังกล่าวมีการปนเปื้อนของสิ่งสกปรก เช่น โลหะหนังสารพิษหรือสารที่อาจก่อให้เกิดโรคต่าง ๆ เป็นต้น
- 1.7.2 คอลloid (Colloids) คือ สารแขวนลอยซึ่งมีขนาดระดับไมโครอน (10^{-9} เมตร) ที่แขวนลอยอยู่ในน้ำแบ่งออกได้เป็น 2 ประเภท คือ พากหน่ายน้ำ (Hydrophobic) เช่น เศษตันโคลนในน้ำและพากขอบน้ำ (Hydrophilic) เช่น สารอินทรีย์ที่ทำให้เกิดสี

1.7.3 การรวมกลุ่มตะกอน (Coagulation) คือ กระบวนการหนึ่งของการทำให้ใสโดยเกิดจากกระบวนการรวมตัวของอนุภาคที่แขวนลอยแล้วเกิดการรวมตัว (Flocculation) ซึ่งกลไกเป็นอนุภาคที่ใหญ่ขึ้นและตกตะกอน (Sedimentation) เป็นการประสานอนุภาคคลออลลอยด์ซึ่งไม่สามารถแยกจากันได้โดยวิธีการตกตะกอนตามธรรมชาติ เนื่องจากอนุภาคมีขนาดเล็กเกินไป หลักการทำงาน Coagulation คือ การเติมสารรวมตะกอน (Coagulant) เช่น สารส้ม ลงในน้ำเสียทำให้ออนุภาคคลออลลอยด์จับตัวกันเป็นกลุ่ม (Floc) จนมีน้ำหนักมากขึ้นและสามารถตกตะกอนได้เร็วขึ้น

1.7.4 Van Der Waals Force คือ แรงดึงดูดเหนี่ยวย่ออ่อน ๆ ระหว่างโมเลกุลที่ไม่มีชาร์จ เช่น O₂, CO₂

1.7.5 Zeta Potential คือ ค่าศักย์ไฟฟ้าที่เกิดขึ้นเมื่ออนุภาคคลออลลอยด์เข้ามาอยู่ใกล้กัน จะเกิดการซ้อนทับระหว่าง Zeta Layer และ Diffuse Layer ซึ่งจะเกิดแรงผลักระหว่างอนุภาคและแรงผลักนี้สามารถถอดออกมายืนรูปศักย์ไฟฟ้าได้

1.7.6 สารรวมตะกอน (Coagulant) คือ สารเคมีที่ช่วยเพิ่มประสิทธิภาพในการตกตะกอน ได้แก่ สารส้ม (Alum) สารเฟอร์ริกคลอไรด์ (FeCl₃) Micronized Chitosan และโพลีเมอร์ หรือโพลีอะลูมิโนไฮดรอกซิลีบิวติเดน

1.7.7 Jar Test คือ วิธีในการทดสอบการตกตะกอน ซึ่งมีขั้นตอน คือ การกวนเรื้อร ภายน้ำ และการกึ่งให้ตกรตะกอน โดยนำด้วยป่างน้ำที่ต้องการทดสอบมาเติมสารเคมีช่วยเพิ่มประสิทธิภาพ การตกตะกอนในปริมาณชนิดที่แตกต่างกันแล้วนำไปผ่านขั้นตอนการกวนเรื้อร กวนซ้ำแล้วกึ่งให้ตกรตะกอนตามระยะเวลาที่กำหนดและนำน้ำส่วนที่ใส่ออกมารวบรวมคุณภาพ

1.7.8 อัตราเร็วการตกตะกอน คือ ระยะทางที่ตะกอนเคลื่อนที่ต่อระยะเวลาที่ใช้ในการเคลื่อนที่ของตะกอน

1.7.9 สารช่วยรวมตะกอน (Coagulant Aid) คือ สารเคมีที่เติมเพิ่มลงไปกับสารรวมตะกอนปฐมภูมิ (Primary Coagulant) เพื่อเพิ่มการจับตัวรวมตัวของตะกอนโดยจะทำหน้าที่ลดความเสถียรของอนุภาคและลดแรงผลักที่เกิดขึ้นระหว่างอนุภาค เช่น Bentonite Clay, NaCO₃ และ ซิลิกาเจล เป็นต้น

1.7.10 ภาคตะกอน คือ ภาคตะกอนเปียกที่เกิดขึ้นภายหลังการรวมตะกอนที่เวลา 60 นาที

1.7.11 ด้วยป่างน้ำเสียคล่องแสงและ คือ ด้วยป่างน้ำเสียที่ทำการเก็บ ณ วันที่ 24 มีนาคม พ.ศ. 2549 บริเวณด้านหลังโรงพยาบาลและการที่จอดรถ ภายในสถานบันบันพัฒนาบริหารศาสตร์

1.7.12 ประสิทธิภาพการปำบัด คือ ความสามารถในการปำบัดความชุ่นของสารรวมตะกอน โดยประสิทธิภาพวัดในรูปของร้อยละในการปำบัดความชุ่นของสารรวมตะกอนแต่ละชนิด อัตราเร็วในการตกตะกอนของภาคตะกอน (Flocculant Settling) และปริมาณภาคตะกอน (Wet Sludge Volume) ที่เกิดขึ้น

บทที่ 2

ทฤษฎีและงานวิจัยที่เกี่ยวข้อง

การวิจัยเชิงทดลองเรื่อง การศึกษาอัตราเร็วในการตัดตะกอนและปริมาณกากรตะกอนจากการบำบัดด้วยน้ำเสียคลองแสนแสบด้วยวิธีการรวมกลุ่มตะกอนทางเคมี ผู้วิจัยได้รวบรวมแนวคิดและหลักการรวมทั้งงานวิจัยต่าง ๆ ที่เกี่ยวข้องเพื่อเป็นแนวทางในการทดลองทางปฏิมาณสารรวมตะกอนและสภาวะที่เหมาะสมในการบำบัดด้วยน้ำเสียคลองแสนแสบ ได้แก่ ชนิดของสารรวมตะกอน ความเข้มข้นของสารรวมตะกอนและสภาวะความเป็นกรด - ด่าง โดยแบ่งออกเป็น

- 2.1 คุณสมบัติและลักษณะของน้ำเสีย
- 2.2 หลักการบำบัดน้ำเสียทั่วไป
- 2.3 หลักการบำบัดน้ำเสียโดยวิธีรวมกลุ่มตะกอนทางเคมี
- 2.4 งานวิจัยที่เกี่ยวข้อง

ซึ่งรายละเอียดและเนื้อหาที่กล่าวถึงมีดังต่อไปนี้

2.1 คุณสมบัติและลักษณะของน้ำเสีย

2.1.1 ความหมายของน้ำเสีย

ความหมายของน้ำเสียตามความในพระราชบัญญัติส่งเสริมและรักษาคุณภาพสิ่งแวดล้อมแห่งชาติ พ.ศ. 2535 ระบุว่า "น้ำเสีย" หมายความว่า ของเสียที่อยู่ในสภาพเป็นของเหลวรวมทั้งมลสารที่ปะปนหรือปนเปื้อนอยู่ในของเหลวนั้น และนอกจากนั้นยังมีผู้ให้ความหมายของน้ำเสียไว้อีกด้วย

น้ำเสีย (Wastewater) หมายถึง น้ำที่มีสิ่งเจือปนต่างๆ ในปริมาณสูงจนกระทั่งกระเด็นน้ำที่ไม่เป็นที่ต้องการและเป็นที่น่ารังเกียจของคนทั่วไปน้ำเสียก่อให้เกิดบัญชาต่างๆ แก่ลำน้ำซึ่งเป็นที่รองรับ เช่น ทำให้เกิดการเน่าเหม็นหรือเป็นอันตรายต่อสิ่งมีชีวิต เป็นต้น และสิ่งเจือปนต่างที่ทำให้น้ำกลายเป็นน้ำเสีย ได้แก่ สารอินทรีย์ต่างๆ กรด ค่าง ของแข็งหรือสารแขวนลอยและสิ่งที่ถอยปนอยู่ในน้ำ เช่น น้ำมัน ไขมัน เกลือและแร่ธาตุที่เป็นพิษ เช่น โลหะหนัก

สารที่ทำให้เกิดฟอง ความร้อน สารพิษ เช่น ยาฆ่าแมลง สี กลิ่นและสารกัมมันตรังสี เป็นต้น (สุชา ขาวเชียร, 2545: 5 - 1)

กรมควบคุมมลพิษ (2548) ให้คำจำกัดความว่า "น้ำเสีย" หมายถึง น้ำที่ไม่ต้องการใช้แล้ว และระบายน้ำทิ้ง ซึ่งนำ้ใช้แล้วจากชุมชนประกอบด้วยสิ่งเจือปนที่มาจากการท่อระบายน้ำอุตสาหกรรมและสถานบริการต่างๆ รวมกับน้ำได้ดิน น้ำผิวดินและน้ำฝน

โดยสรุปความหมายของน้ำเสียโดยทั่วไป หมายถึง น้ำที่ผ่านการนำไปใช้ประโยชน์ในกิจกรรมต่าง ๆ แล้ว เช่น ชำระล้างสิ่งสกปรกใช้ในครัวเรือน โรงงานอุตสาหกรรมหรือการเกษตร โดยนำ้ดังกล่าวมีการปนเปื้อนของสิ่งสกปรก เช่น โลหะหนัก สารพิษหรือสารที่อาจก่อให้เกิดโรคต่างๆ เป็นต้น

2.1.2 คุณลักษณะของน้ำเสีย

คุณลักษณะและสมบัติของน้ำเสียสามารถแบ่งออกได้ 3 ด้าน คือ คุณสมบัติค้านกายภาพ คุณสมบัติทางเคมีและคุณสมบัติทางชีววิทยาโดยจะมีลักษณะหรือคุณสมบัติที่แตกต่างกันออกไป วิชาภาษาไทย (2548: 30-35) ได้กล่าวไว้ดังนี้

2.1.2.1 คุณสมบัติทางกายภาพ

1) ความขุ่น (Turbidity) เกิดจากการที่น้ำประกอบไปด้วยสารแขวนลอยขนาดเล็ก เช่น เศษติน ฝุ่นละออง จุลินทรีย์ ซึ่งสารแขวนลอยที่มีขนาดเล็ก (Colloids) มีขนาดระดับไมโครเมตรและคุณลักษณะ ซึ่งทำให้เรามองเห็นว่าน้ำขุ่น ความขุ่นสามารถวัดโดยการเปรียบเทียบกับสารมาตรฐานชีลิกา ความขุ่นของชีลิกา 1 mg/l เทียบเท่ากับความขุ่น 1 TU (Turbidity Unit) ความขุ่น 5 TU สามารถสังเกตเห็นด้วยตาเปล่าได้

2) อุณหภูมิ (Temperature) มีผลต่อการละลายของออกซิเจนในน้ำ เช่น ที่อุณหภูมิสูงความสามารถในการละลายของออกซิเจนจะต่ำและเป็นอันตรายต่อพืชและสัตว์ขนาดเล็ก อุณหภูมิของน้ำทึ้งหรือน้ำเสียที่ปล่อยออกซิเจนน้ำธรรมชาติไม่ควรเกิน 40°C องศาเซลเซียส

3) สี, กลิ่น, รสชาต

สี ในน้ำอาจเกิดจาก 2 แหล่ง คือ Suspended Color และ Dissolved Color สีจะขัดขวางการสังเคราะห์แสงของพืช โดยมีวิธีการวัดสีซึ่งเรารสามารถวัดความเข้มข้นของสีโดยใช้ Spectrophotometric - Method

กลิ่น สามารถวัดได้โดยใช้ระบบทางเดินหายใจ การวัดกลิ่นเรียกว่า Threshold Odor Test ซึ่งทำได้โดยเจือจางน้ำที่มีกลิ่นด้วยน้ำบริสุทธิ์จนกระทั่งกลิ่นหมดไปจะแสดงผลเป็น The Minimum Detectable Threshold Odor Concentration (MDTOC) ซึ่งจะแสดงเป็นสัดส่วนของการเจือจางกับในน้ำเสียโดยมากกลิ่นก็มาจากกากไข่เน่าหรือไข่โคโรนาร์ส์ไฟฟ์ซึ่งเกิดจากกิจกรรมต่างๆ เช่น พิณอลจากอุตสาหกรรม สารอินทรีย์สังเคราะห์

รสชาด แบ่งได้เป็น 4 ประเภทคือ ขม เต็ม เปรี้ยว หวาน สามารถวัดได้ 3 วิธี ได้แก่

วิธีที่หนึ่ง Flavor Threshold Test ใช้วิธีการจ่อจางเหมือนการวัดกลิ่น
วิธีที่สอง Flavor Rating Assessment ใช้วิธีเทียบกับมาตรฐานนำ้ดื่ม
วิธีที่สาม Flavor Profile Analysis ใช้วิธีเทียบกับกลิ่นนำ้เสียงโดยผู้เชี่ยวชาญ

4) ปริมาณของแข็ง (Solid Contents) เป็นการวัดปริมาณสารต่างๆ ทั้งหมดที่อยู่ในตัวอย่างนำ้เสียง ซึ่งอาจเป็นสารอินทรีย์หรือสารอนินทรีย์ อาจจะละลายหรือไม่ ละลายน้ำก็ได้

(1) TS (Total Solids) เป็นการวิเคราะห์หาปริมาณของสารต่างๆ ทั้งหมดที่อยู่ในน้ำ โดยการระเหยนำ้ออกที่อุณหภูมิประมาณ 105°C

(2) TVS (Total Volatile Solids) เป็นการวิเคราะห์หาปริมาณของสารอินทรีย์ทั้งหมดที่อยู่ในตัวอย่างนำ้โดยนำ้ออกที่ได้จากการหา TS ไปเพาท์อุณหภูมิ 550°C นำ้หนักกากแห้งที่ถูกเผาไหม้จะเป็นค่า TVS

(3) SS (Suspended Solids) เป็นการทำปริมาณสารต่างๆ ที่แขวนลอย ในตัวอย่างนำ้โดยผ่านกระบวนการกรองแล้วนำ้กระดาษกรองไปอบแห้งที่อุณหภูมิ 105°C นำ้หนักกระดาษกรองที่เผาจนนำ้หนักกระดาษกรองก่อนใช้กรองจะเป็น SS

(4) TDS (Total Dissolved Solids) เป็นปริมาณของแข็งที่ละลายอยู่ในน้ำ อาจประกอบไปด้วยของแข็งที่สามารถละลายได้ที่อุณหภูมิ 600°C และของแข็งที่ไม่ละลายที่อุณหภูมิ 600°C

(5) DS (Dissolved Solids) เป็นปริมาณสารอินทรีย์และอนินทรีย์ที่อยู่ในรูปสารละลาย คำนวนได้จากผลต่างระหว่างค่า TS และ SS, $\text{DS} = \text{TS} - \text{SS}$

2.1.2.2 คุณสมบัติทางเคมี

1) Dissolved Oxygen (DO) เป็นพารามิเตอร์สำคัญในการกำหนดคุณภาพนำ้ ยิ่งมีออกซิเจนละลายในน้ำสูงเท่าใดน้ำยิ่งมีความสะอาดเท่านั้นซึ่งปริมาณออกซิเจนที่ละลายอยู่ในน้ำมีความสำคัญต่อการดำรงชีวิตของจุลินทรีย์ การตรวจสอบค่า DO ในระบบบำบัดนำ้เสียแบบใช้ออกซิเจน จะบ่งชี้ถึงประสิทธิภาพการบำบัด ค่า DO ของระบบบำบัดนำ้เสียแบบใช้ออกซิเจน จะบ่งชี้ถึงประสิทธิภาพการบำบัด ค่า DO ของระบบบำบัดนำ้เสียไม่ควรต่ำกว่า $1-2 \text{ mg/l}$ นำ้ในแหล่งนำ้ธรรมชาติควรมีค่า DO สูงกว่า 4 mg/l ค่า DO ต่ำจะบ่งชี้ว่ามีปริมาณสารอินทรีย์สูงในแหล่งน้ำนั้น ค่าออกซิเจนละลายในนำ้สามารถวัดได้โดยวิธี Iodometric Method ซึ่งเป็น Filtration Method หรือ The Electrometric Method ซึ่งเป็น Membrane Method ค่าการละลายของออกซิเจนในนำ้สามารถวัดได้จาก

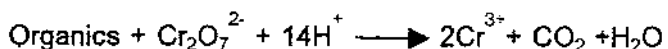
$$C_s = \frac{486}{(31.6 + T)}$$

โดย C_s = Solubility Oxygen in mg/l at One Atmosphere

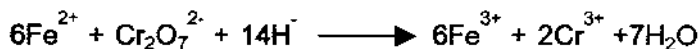
T = Temperature in °C

C_s (The Saturation Concentration) at 20 °C is about 9 mg/l

2) Chemical Oxygen Demand (COD) เป็นการวิเคราะห์หาปริมาณออกซิเจนที่ต้องการในการออกซิไดซ์สารอินทรีย์ต่างๆ ในน้ำเสีย โดยใช้สาร $K_2Cr_2O_7$ (Potassium Dichromate) ทำปฏิกิริยากับสารอินทรีย์ภายใต้สภาวะเป็นกรดโดยใช้ H_2SO_4 เช้มขันและทำการดั้ม Reflux เป็นเวลา 2 ชั่วโมง



ภายหลังการดั้มแล้วและทำให้เย็นตัวลง ทำการวิเคราะห์ปริมาณ K ที่เหลืออยู่ โดยทำการไดเรฟกับ Ammonium Ferrous Sulphate โดยมี Ferroin เป็นอินดิเคเตอร์ ดังปฏิกิริยา



3) Biochemical Oxygen Demand (BOD) เป็นการหาปริมาณออกซิเจนที่ต้องการโดยจุลินทรีย์ เพื่อการย่อยสารอินทรีย์ในน้ำเสีย จุลินทรีย์ซึ่งส่วนใหญ่จะเป็นแบคทีเรียจะใช้สารอินทรีย์ในด้วอย่างน้ำที่ทำการวิเคราะห์เป็นอาหารในการดำรงชีวิตอยู่ สภาวะที่กำหนดในการวิเคราะห์มีดังนี้

- (1) อุณหภูมิคงที่ 20 °C ตลอดช่วงการทดลอง
- (2) ระยะเวลาในการวิเคราะห์ (Incubation Time) 5 วัน
- (3) อยู่ในสภาพ Aerobic ตลอดช่วง 5 วัน (มีออกซิเจนละลายน)
- (4) อยู่ในสภาพเม็ด เพื่อป้องกันการสร้างออกซิเจนโดยสารร่าเรย
- (5) มีอาหารเสริมต่างๆ อย่างเพียงพอต่อการเจริญเติบโตของแบคทีเรีย
- (6) แบคทีเรียที่ใช้ในการวิเคราะห์ต้องมีปริมาณมากพอและคุ้นเคยกับสารอินทรีย์ในน้ำเสียนั้น

(7) ต้องไม่มีสารพิษเจือปนและค่า pH เป็นกลางและค่าต้องไม่เปลี่ยนแปลงตลอด 5 วัน ซึ่งการทำได้โดยเติมสารเคมีที่เป็น Buffer

ในการนี้ที่ไม่ต้องเติม Seed (ไม่เติมหัวเชื้อ)

$$BOD (\text{mg/l}) = \frac{(Do - Ds) - (Bo - Bs)}{P}$$

D_0 = ค่า DO ที่เริ่มต้น mg/l
 D_s = ค่า DO ที่ 5 วัน mg/l
 B_0 = ค่า DO ที่เริ่มต้นของขวดที่ใช้น้ำกลั่น mg/l
 B_s = ค่า DO ที่ 5 วันของขวดที่ใช้น้ำกลั่น mg/l
 P = สัดส่วนด้วยอย่างที่ใช้
 ในกรณีที่เติม Seed (เติมหัวเชื้อ)

$$\text{BOD (mg/l)} = \frac{(D_0 - D_s) - (B_0 - B_s)f}{P}$$

โดยค่า f = อัตราส่วนของ % Seed ในตัวอย่างน้ำเสียต่อ % Seed

ในขวด Blank

เครื่องมือวิเคราะห์ BOD คือ Monometric BOD Analyzer,

Bio Sensor หรือ Microbe Electrode, Electrolysis

ตัวอย่างค่าการประมาณค่า BOD เช่น น้ำเสียอุตสาหกรรม 1 ลิตร ต้องการออกซิเจนในการย่อยสลายสารอินทรีย์ 1500 มิลลิกรัม เพราจะนั้น ค่า BOD = 1500 mg/l

4) Total Organic Carbon (TOC) หมายถึง ปริมาณคาร์บอนที่มีอยู่ในน้ำ ประกอบด้วยสารอนินทรีย์คาร์บอน ได้แก่ คาร์บอนไดออกไซด์ ไบคาร์บอเนตและคาร์บอเนตในน้ำ และอินทรีย์คาร์บอน

5) ค่าความเป็นกรดเป็นด่าง (pH) เป็นค่าแสดงความเข้มข้นของอนุภาคไฮโดรเจนไอออนในน้ำ มีผลต่อการทำงานของระบบบำบัดน้ำเสีย ค่า pH มีความสำคัญมากต่อระบบบำบัดทางชีวภาพ เพราะจุลินทรีย์ในระบบจะทำงานได้ดีในช่วง pH 6.8-8 เท่านั้น น้ำเสียจากชุมชนค่อนข้างเป็นกลาง น้ำเสียจากโรงงานอุตสาหกรรมมีค่า pH หลากหลาย เช่น น้ำเสียจากโรงงานผลิตอาหารมีค่า pH ประมาณ 7 ส่วนน้ำเสียจากโรงงานชุบโลหะและอิเล็กทรอนิกส์ จะมีค่า pH เป็นกรด ซึ่งน้อยกว่า 7

6) ค่าความกระด้าง น้ำกระด้างมีส่วนประกอบของ Calcium Ion (Ca^{2+}) และ Magnesium Ion (Mg^{2+}) มักจะแสดงเป็น mg/l of CaCO_3 น้ำกระด้างจะดีเป็นความสามารถในการดักดกอนของสิ่งสกปรกมากจะใช้สูงปริมาณมากในการเกิดฟอง

7) Nitrogen Content อาจพบในหลายรูปแบบ ได้แก่ สารในโครงสร้างอินทรีย์ แอมโมเนีย ในโครงสร้างในน้ำเสียมักจะประกอบด้วย Complex Organic Molecule (Proteins) และแอมโมเนีย แบบที่เรียกว่า Break Down สารเหล่านี้ได้เป็นในโครงสร้างในตัวที่ซึ่งเรียกว่ากระบวนการ Nitrification

8) Phosphorus Content ปริมาณของฟอฟอรัสในรูปของฟอสเฟตเป็น

อาหารเสริมเช่นเดียวกับสารในโตรเจน ฟอสฟอรัสจะเป็นอาหารเสริมในการเติบโตของสาหร่าย ถ้าสาหร่ายเติบโตอย่างรวดเร็วมากจะก่อให้เกิด Eutrophication ซึ่งทำให้น้ำเกิดการเน่าเสีย น้ำทึบ ชุมชนมีค่าฟอสฟอรัสประมาณ 2 -20 มิลลิกรัมต่อลิตร

9) Iron (Fe) Copper (Cu) Zinc (Zn) และ Magnesium (Mn) มักไม่เป็นอันตรายต่ำสุขภาพแต่จะก่อให้เกิดรสมี Mn²⁺ สัมผัสถกับอากาศจะรวมตัวเป็น Insoluble Mn³⁺ ส่วน Cu และ Zn ที่ความเข้มข้นต่ำมักไม่ก่อให้เกิดผลเสียต่ำสุขภาพแต่ที่ความเข้มข้นสูง จะทำให้รศชาดของน้ำเปลี่ยนไปโดยเฉพาะ Zn จะทำให้น้ำขุน

10) Fluorides ปริมาณ Fluoride 1 mg/l ในน้ำดื่มจะช่วยป้องกันฟันผุและทำให้สุขภาพฟันดีในเด็ก ถ้าในน้ำดื่มมีปริมาณ Fluoride สูงเกินไปจะก่อให้เกิด Dental Fluorosis ในประเภทเขตขอบอุ่นค่า Maximum Allowable Level = 1.4 mg/l ส่วนในเมืองหนาวค่า Maximum Allowable Level = 2.4 mg/l

11) Chlorides พบรain胁ลงน้ำธรรมชาติ ดิน หินและชายฝั่ง ถ้าความเข้มข้นสูงจะก่อให้เกิดรสเค็ม

12) Chlorine Residual คลอรินมักจะใช้ในการ Disinfect เชื้อโรคในกระบวนการผลิตน้ำ ข้อดีคือ คลอรินสามารถอยู่ในระบบการส่งน้ำได้นาน หาซื้อง่ายและราคาถูก ข้อเสีย คือ คลอรินในน้ำจะสามารถทำปฏิกิริยากับสารอินทรีย์และนำาไปสู่สารพิษ เช่น Trihalomethanes

13) Sulfates ถ้าความเข้มข้นสูงจะก่อให้เกิดรศชาดที่เปลี่ยนไป

14) Oil and Grease มีผลกระทบต่อบรบบบำบัดน้ำเสียและต่อสัตว์ในแหล่งน้ำ เนื่องจาก ไขมันและน้ำมันจะแยกตัวลอยบนผิวน้ำจึงถูกย่อออกโดยจุลินทรีย์

15) Heavy Metals หรือ โลหะหนัก เช่น ตะกั่ว (Pb), สังกะสี (Cu), nickel (Ni), แคนเดเมียม (Cd), ปรอท (Hg) เป็นต้น ถ้ามีปริมาณสูงจะมีผลกระทบต่อจุลินทรีย์ในระบบบำบัดน้ำเสีย นอกจากนี้โลหะหนักจะมีผลต่ำสุขภาพ เช่น แคนเดเมียมสะสมที่ไตและตับ ปริมาณโลหะจะมีผลต่อการทำงานของจุลินทรีย์และการเลือกรบบบำบัดที่มีความเหมาะสม

16) สารประกอบกำมะถัน ก๊าซไฮโดรเจนชัลไฟด์ (H₂S) เกิดจากน้ำเสียชุมชน สิ่งปฏิกูล น้ำเสียจากการบวนการย่อยกระดาษ ซึ่งทำให้เกิดกลิ่นเหม็นและกัดกร่อนอุปกรณ์

17) Toxic Compounds สารพิษอื่นๆ เช่น PCB, DDT, Phenol, Chlorinated Hydrocarbons เป็นต้น

18) สารอินทรีย์และสารอนินทรีย์ ซึ่งสารอินทรีย์ได้แก่ คาร์บอไฮเดรต โปรตีน ไขมัน เช่น เศษข้าว น้ำแข็ง พิชผัก ซึ่งสามารถย่อยสลายได้โดยจุลินทรีย์ที่ใช้ออกซิเจน ส่วนสารอนินทรีย์ ได้แก่ กรด ด่าง เกลือชนิดต่างๆ โลหะและสารอื่นๆ ไม่ทำให้น้ำเน่าเหม็นแต่ทำให้สภาพน้ำปนเปื้อนและอาจเป็นพิษต่อสิ่งมีชีวิต น้ำเสียที่มีสารอนินทรีย์มักถูกปล่อยมาจากการเผาไหม้ การผลิตสารเคมี การผลิตเยื่อกระดาษ การชุบโลหะ

2.1.2.3 คุณสมบัติทางชีววิทยา

- 1) Microorganisms จุลินทรีย์ในน้ำ ได้แก่ แบคทีเรีย, สัตว์เซลลเดียว (Protozoa), รา (Fungi), ไวรัส (Virus) และสาหร่าย (Algae)
- 2) Coliform แบ่งออกเป็น Total Coliform เป็นค่าแสดงแบคทีเรียทั้งหมดในน้ำ ส่วน Fecal Coliform เป็นค่าแบคทีเรียที่มาจากการอุจจาระ

2.2 หลักการบำบัดน้ำเสียทั่วไป

การเลือกระบบบำบัดน้ำเสียขึ้นกับปัจจัยต่างๆ ได้แก่ ลักษณะของน้ำเสีย ระดับการบำบัดน้ำเสียที่ต้องการ สภาพทั่วไปของท้องถิ่น ค่าลงทุนก่อสร้างและค่าดำเนินการดูแลและบำรุงรักษา และขนาดของที่ดินที่ใช้ในการก่อสร้าง เป็นต้น ทั้งนี้เพื่อให้ระบบบำบัดน้ำเสียที่เลือกมีความเหมาะสม กับแต่ละท้องถิ่น ซึ่งมีสภาพแวดล้อมที่แตกต่างกัน โดยการบำบัดน้ำเสียสามารถแบ่งได้ตามกลไก ที่ใช้ในการกำจัดสิ่งเจือปนในน้ำเสีย (กรมควบคุมมลพิษ, 2548) ดังต่อไปนี้ 1) การบำบัดทางกายภาพ (Physical Treatment) เป็นวิธีการแยกเอาสิ่งเจือปนออกจากน้ำเสีย เช่น ของแข็งขนาดใหญ่ กระดาษ พลาสติก เศษอาหาร คราด ทรัพย์ ไขมันและน้ำมัน โดยใช้อุปกรณ์ในการบำบัดทางกายภาพ คือ ตะแกรงดักขยะ ถังดักกรดทรัพย์ ถังดักไขมันและน้ำมัน และถังตัดตะกอนซึ่งจะเป็นการลดปริมาณของแข็งทั้งหมดที่มีในน้ำเสียเป็นหลัก 2) การบำบัดทางเคมี (Chemical Treatment) เป็นวิธีการบำบัดน้ำเสียโดยใช้กระบวนการทางเคมีเพื่อกำจัดภัยร้ายกับสิ่งเจือปนในน้ำเสีย วิธีการนี้จะใช้สำหรับน้ำเสียที่มีส่วนประกอบอย่างโดยย่างหนึ่งดังต่อไปนี้ คือ ค่า pH สูงหรือต่ำเกินไป มีสารพิษ มีโลหะหนัก มีของแข็งแขวนลอยที่ติดตะกอนมาก มีไขมันและน้ำมันที่ละลายน้ำ มีในตอเรเจนหรือฟอสฟอรัสที่สูงเกินไปรวมทั้งมีเชื้อโรค ทั้งนี้อุปกรณ์ที่ใช้ในการบำบัดน้ำเสียด้วยวิธีทางเคมี เช่น ถังกวนรีว ถังกวนชา ถังตัดตะกอนรวมทั้งถังกรองและถังฆ่าเชื้อโรค วิธีในการบำบัดน้ำเสียด้วยวิธีทางเคมี ยกตัวอย่าง เช่น Neutralization Coagulation Disinfection Chlorination 3) การบำบัดทางชีวภาพ (Biological Treatment) เป็นวิธีการบำบัดน้ำเสียโดยใช้กระบวนการทางชีวภาพหรือใช้จุลินทรีย์ในการกำจัดสิ่งเจือปนในน้ำเสียโดยเฉพาะสารคาร์บอนอินทรีย์ ในตอเรเจนและฟอสฟอรัส โดยความสกปรกเหล่านี้จะถูกใช้เป็นอาหารและเป็นแหล่งพลังงาน ของจุลินทรีย์ในถังลีย়েงเชื้อเพื่อการเจริญเติบโตทำให้น้ำเสียมีค่าความสกปรกลดลง โดยจุลินทรีย์เหล่านี้อาจเป็นแบบใช้ออกซิเจน (Aerobic Organisms) หรือไม่ใช้ออกซิเจน (Anaerobic Organisms) ก็ได้ ระบบบำบัดน้ำเสียที่อาศัยหลักการทางชีวภาพ ได้แก่ ระบบแยกกิเวเด็ตสลัดจ์ (Activate Sludge, AS) ระบบแผ่นจานหมุนชีวภาพ (Rotating Biological Contactor, RBC) ระบบคลองวนเวียน (Oxidation Ditch, OD) ระบบบ่อเติมอากาศ (Aerated Lagoon, AL) ระบบโปรดักชัน (Trickling Filter) ระบบบ่อบำบัดน้ำเสีย (Stabilization Pond) ระบบบ่อเยอเรสบี

(Upflow Anaerobic Sludge Blanket, UASB) และ ระบบกรองไร์อากาศ (Anaerobic Filter, AF) เป็นต้น 4) การบำบัดทางกายภาพและเคมี (Physicochemical Treatment) เป็นการใช้วิธีทางกายภาพและเคมีร่วมกัน จะใช้ในการกำจัดสารอินทรีย์และสารอนินทรีย์ที่ละลายน้ำเสียเพื่อให้ได้คุณภาพน้ำที่ดีตามความต้องการในมาตรฐานสูง ได้แก่ การดูดซับด้วยถ่าน การบำบัดโดยแลกเปลี่ยนประจุ รีเวอร์สօสโโนชิส การแยกด้วยไฟฟ้า-เยื่อกรอง (Electrodialysis) การกรองละเอียด (Ultrafiltration) เป็นต้น

2.2.1 การเก็บน้ำตัวอย่าง

วิสาข ภูจินดา (2548: 35-36) กล่าวถึงการเก็บและรักษาตัวอย่างน้ำเสียเพื่อนำไปตรวจวิเคราะห์ ดังต่อไปนี้

2.2.1.1 การเก็บตัวอย่างแบบจั่งหรือ Grab Sampling เป็นการเก็บตัวอย่างน้ำที่เวลาหนึ่งเวลาใด ณ จุดเดียว ค่าที่ได้อาจจะมีความแปรผันมากซึ่งขึ้นกับช่วงเวลาที่ทำการเก็บตัวอย่างน้ำเสียว่ามีปริมาณน้ำเสียมากเท่าใดหรือมีการปล่อยกิ่งน้ำเสียจากกระบวนการผลิตอะไรหรือวิธีการเก็บตัวอย่างแบบนี้ไม่สามารถนำมาใช้เป็นตัวแทนของน้ำเสียได้ วิธีนี้เหมาะสมกับการเก็บน้ำเสียที่ผ่านการบำบัดแล้วมาวิเคราะห์โดยหมายเหตุวิเคราะห์หาปริมาณคลอรินที่เหลือ (Chlorine Residual), pH, Coliforms และ Dissolved Oxygen

2.2.1.2 การเก็บตัวอย่างแบบผสมรวมหรือ Composite Sampling เป็นการเก็บน้ำเสียที่เวลาต่างๆ ณ เช่น ทุกๆ ชั่วโมงตลอดทั้งวันแล้วนำมาผสมเป็นตัวอย่างเดียวกัน การเก็บน้ำเสียแบบนี้ ปริมาณน้ำที่เก็บจะต้องประมาณปริมาณของการไหลของน้ำเสีย ถ้าหากน้ำเสียไหลมากก็เก็บเป็นปริมาณมาก สามารถนำน้ำเสียที่เก็บได้มารวมกันก็สามารถใช้เป็นตัวแทนของน้ำเสียได้ น้ำเสียที่เก็บเป็นตัวอย่างแรกควรนำมาเข้าถังเย็นหรือแช่แข็งเพื่อควบคุมไม่ให้จุลินทรีย์เจริญเติบโตและทำให้คุณสมบัติของน้ำเปลี่ยนไป ถ้าเก็บเกิน 6 ชั่วโมงอาจจะต้องเติมสารเคมีขัดข้องวิธีนี้ คือ ทำให้ทราบว่า�้ำเสีย ณ จุดใดมีคุณสมบัติเป็นอย่างไร ควรนำมารวมหรือแยกบำบัด ส่วนข้อเสีย คือ ทำให้เสียเวลาและจะต้องวิเคราะห์น้ำเสียหลายตัวอย่าง

2.2.1.3 การเก็บตัวอย่างจากบ่อรวมหรือ Sump Sampling เป็นการเก็บน้ำเสียจากบ่อที่เป็นที่รวมของน้ำเสียจากแหล่งต่างๆ น้ำเสียจากบ่อรวมจัดได้ว่าเป็นตัวแทนของน้ำเสียได้ซึ่งมีข้อดี คือ เก็บง่าย ไม่ต้องเก็บหลายตัวอย่าง ส่วนข้อเสียคือ ไม่สามารถแยกน้ำเสียที่มีความเข้มข้นอยู่ก็ได้ เพราะไม่ทราบว่าจะแยกออก ณ จุดใด ทำให้ต้องบำบัดน้ำเสียปริมาณมากและค่าใช้จ่ายในการบำบัดสูง

2.2.1.4 ภาชนะที่เก็บน้ำเสียหรือ Sample Bottle ควรใช้ขาดแก้วปากกว้างล่างให้สะอาดหรือขวดพลาสติกที่มีคุณภาพดี ไม่ควรเก็บน้ำเสียจนเต็มขวด ควรมีที่ว่างให้อากาศหล่ออยู่ในขวดเพื่อให้จุลินทรีย์ที่ปะปนกับน้ำเสียยังอยู่เป็นปกติ

2.2.2 ผลกระทบของน้ำเสียต่อสิ่งแวดล้อม

ขวัญฤทธิ์ โชคชนาทวีวงศ์ (2545: 2 - 22) กล่าวถึงผลกระทบของมลพิษน้ำต่อสิ่งแวดล้อมไว้โดยแบ่งออกเป็น ผลกระทบต่อสุขภาพและสังคม ผลกระทบต่อแหล่งน้ำผิวดินและผลกระทบด้านอื่นๆ ดังนี้

2.2.2.1 ผลกระทบต่อสุขภาพและสังคม

1) รสและกลิ่นของน้ำเปลี่ยนไป ทำให้ผู้บริโภคได้รับความเดือดร้อน บางแห่งน้ำที่มีรสและกลิ่นเปลี่ยนไปยังอาจมีผลทำให้สัตว์น้ำที่อาศัยอยู่ในบริเวณนั้นมีรสและกลิ่นเปลี่ยนไปด้วย ทำให้ผู้บริโภคเกิดความรังเกียจ เช่น ปูม้าปูทะเลในบริเวณอำเภอครัวราช มีกลิ่นเปลี่ยนไปเนื่องจากของเสียที่ก็จากโรงกลั่นน้ำมัน เป็นต้น

2) การปนเปื้อนของเชื้อโรค เช่น แบคทีเรีย โปรดีซัวและไวรัส เป็นสาเหตุที่ทำให้เกิดโรคหิวạตกรโคร ไข้รากสาด บิด ดับอักเสบ ไข้สันหลังอักเสบ เป็นต้น อันมีแหล่งกำเนิดมาจากน้ำเสียจาก บ่อเกรอะ - บ่อชึม จากฟาร์มเลี้ยงสัตว์ เป็นต้น ซึ่งสามารถใช้การวิเคราะห์ค่าแบคทีเรียกลุ่มโคลิฟอร์มเป็นตัวชี้วัดทางอ้อม

3) ผลกระทบของวัตถุมีพิษจากการผ่านห่วงโซ่ออาหาร วัตถุมีพิษแม้จะได้รับในปริมาณ ที่น้อยมากก็อาจจะทำให้เกิดอาการที่เฉียบพลันหรืออาการเรื้อรังของร่างกาย นอกจากนี้จะมีการสะสมอยู่ในสิ่งมีชีวิตหากได้รับติดต่อกันเป็นระยะเวลานานๆ รวมทั้งร่างกายของคนที่อยู่ในตำแหน่ง ปลายสุดของห่วงโซ่ออาหาร สำหรับผลกระทบของวัตถุมีพิษต่อสุขภาพของคน สามารถสรุปได้ดังนี้

- (1) ผลกระทบของความเป็นพิษด้วยการดื่มน้ำที่มีมลพิษโดยตรง
- (2) ผลกระทบสำคัญความเป็นพิษด้วยการบริโภคปลาหรือผลิตภัณฑ์จากสัตว์น้ำซึ่งมีวัตถุมีพิษสะสมอยู่
- (3) ผลกระทบจากการบริโภคผลิตภัณฑ์จากการเกษตรซึ่งมีวัตถุมีพิษสะสมอยู่โดยทางน้ำที่ใช้รดหรือจากดินที่มีมลพิษ

2.2.2.2 ผลกระทบต่อแหล่งน้ำผิวดิน

ผลกระทบของน้ำทึ้งต่อสิ่งแวดล้อมในแหล่งน้ำผิวดินจะรุนแรงมากหรือน้อยขึ้นกับปัจจัยสำคัญ ดังต่อไปนี้

- 1) ปริมาณและความถี่ของฝน ถ้ามีฝนตกชุกมากจะเกิดการเจือจางได้มากขึ้นและทำให้ผลกระทบน้อยลง
- 2) ปริมาณและลักษณะของน้ำผิวดิน ถ้ามีมากก็จะเกิดการเจือจางได้มากขึ้น
- 3) ปริมาณการไหลของน้ำในแม่น้ำหรือแหล่งน้ำถ้ามากและเร็วก็จะทำให้เกิดการเจือจางได้ดีขึ้น
- 4) อุณหภูมิก้าสูงขึ้นก็อาจทำให้สารพิษบางชนิดมีความเป็นพิษสูงขึ้น

แสงแดดถ้ามีความเข้มข้นสูงก็อาจก่อให้เกิดการแพร่พันธุ์ของพืชน้ำเล็กๆได้อย่างรวดเร็ว ดังเช่น ในกระบวนการการย่อยฟิล์เม้นท์

5) กิจกรรมและกระแสลมในอ่าวใหญ่ๆ กิจกรรมและกระแสลมจะมีอิทธิพลมากต่อการไหลของกระแสน้ำในอ่าวและอัตราการไหลนี้จะมีบทบาทที่สำคัญในการนำพาหรือเจอจากน้ำทึ้งของโรงงานผลที่เกิดขึ้นตามมา เมื่อน้ำผิวดินได้รับการปนเปื้อนคือ เกิดการทำลายสภาพของแหล่งน้ำ ทำให้ปริมาณออกซิเจนในน้ำลดลงและเกิดการปนเปื้อนของตะกอนที่จะอยู่ได้น้ำ

2.2.2.3 ผลกระทบอื่นๆ

1) การใช้น้ำ เมื่อมีการปล่อยน้ำเสียลงสู่แหล่งน้ำตามธรรมชาติจะทำให้เป็นปัญหาต่อการใช้น้ำในการอุปโภคและบริโภค

2) ความสวยงามของแหล่งน้ำและการพักผ่อนหย่อนใจ หากมีสารมลพิษลงไปสู่แหล่งน้ำมากก็จะก่อความสามารถของแหล่งน้ำที่จะทำให้บริสุทธิ์ด้วยตัวเองได้ก็จะทำให้สมบูรณ์ของน้ำเกิดการเปลี่ยนแปลง เช่น ในเรื่องของสี กลิ่นและความชุ่ม เป็นต้น ซึ่งจะทำให้แหล่งน้ำขาดความสวยงามตามธรรมชาติไป

3) การคมนาคม น้ำเสียหรือน้ำเน่าอาจจะไม่มีผลกระทบโดยตรงต่อการคมนาคมมากนักแต่จะมีผลกระทบทางอ้อม ก่อให้เกิดการเจริญเติบโตของพืชน้ำอย่างมาก เช่น ผักตบชวา จนอาจเป็นอุปสรรคต่อการสัญจรทางน้ำได้

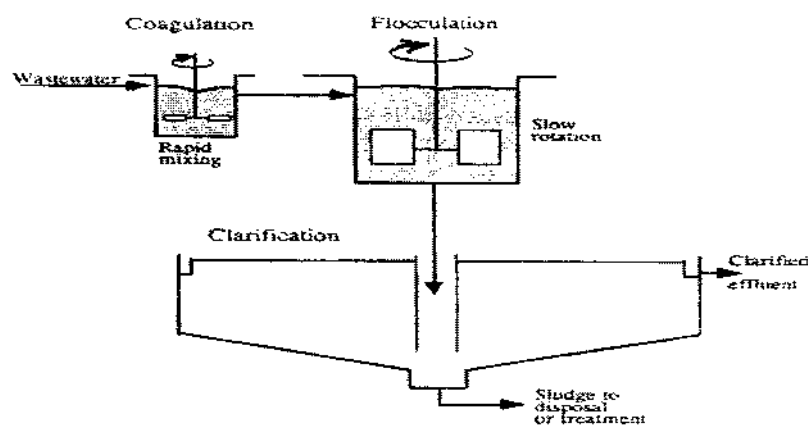
4) ด้านเศรษฐกิจ ของเสียที่ปล่อยลงสู่แหล่งน้ำอาจก่อให้เกิดผลกระทบต่อเศรษฐกิจในด้านต่างๆ เช่น ต้องสิ้นเปลืองค่าใช้จ่ายในการออกแบบและบำรุงรักษาระบบน้ำบ้าง น้ำเสีย ค่าใช้จ่ายในการป้องกัน ควบคุมและแก้ไขปัญหามลพิษทางน้ำ ค่าความเสียหายอันเนื่องมาจากการสูญเสียประโยชน์ของทรัพยากรและสิ่งมีชีวิตในน้ำ ค่าความเสียหายด้านสุขภาพอนามัยซึ่งประเมินเป็นตัวเงินได้ยาก

2.3 หลักการบำบัดน้ำเสียโดยวิธีรวมกลุ่มตะกอนทางเคมี

กระบวนการบำบัดน้ำเสียทางเคมีหมายความว่ารับน้ำเสียที่มีลักษณะอย่างใดอย่างหนึ่งดังต่อไปนี้ (สุชา ขาวเชียร์, 2545: 5 - 15) 1) มีกรดหรือด่างสูงเกินไป pH ต่ำหรือสูงเกินไป 2) มีโลหะหนักที่เป็นพิษ เช่น สังกะสี ดีบุก 3) มีสารแขวนลอยขนาดเล็กที่ติดตะกอนได้ยาก 4) มีสารประกอบอนินทรีย์ละลายน้ำที่เป็นพิษ เช่น ชัลไฟค์ 5) มีไขมันหรือน้ำมันละลายน้ำ

กระบวนการบำบัดน้ำเสียโดยวิธีการรวมกลุ่มตะกอนทางเคมีหรือเรียกว่าเป็นกระบวนการโคแยกกุเลชัน (Coagulation) เป็นกระบวนการประสานคอลลอยด์ โดยกระบวนการโคแยกกุเลชันซึ่งจะทำให้คอลลอยด์ที่มีขนาดอนุภาคอยู่ในช่วง 0.1 - 1 นาโนเมตร ซึ่งไม่สามารถแยกตัวออกจากน้ำได้โดยวิธีติดตะกอนตามธรรมชาติ เนื่องจากอนุภาคของคอลลอยด์มีขนาดเล็ก

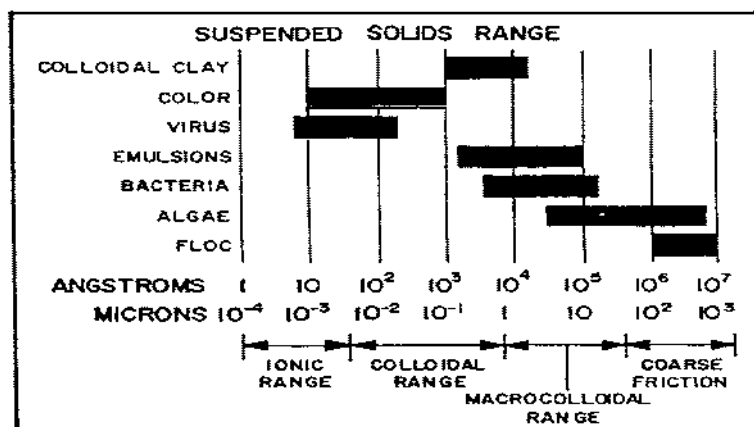
เกินไปรวมตัวและตกตะกอนโดยการเติมสารรวมตะกอน (Coagulant) เช่น สารสัมลงปีน้ำเสียเพื่อทำให้คลออลอยด์หลаяๆ อนุภาคจับตัวกันเป็นกลุ่ม เรียกว่า ฟล็อก (Floc) จนมีน้ำหนักมาก และสามารถตกตะกอนลงมาได้รวดเร็ว ดังนั้นสารรวมตะกอนจึงทำหน้าที่เสมือนเป็นตัวประสานให้ออนุภาคมารวมตัวกันเป็นฟล็อก (สุชา ขาวเชี่ยร, 2545: 5 - 15) ซึ่งกระบวนการโคแอกกูเลชันในระบบบำบัดน้ำเสียแสดงได้ดังภาพที่ 2.1



ภาพที่ 2.1 กระบวนการโคแอกกูเลชันในระบบบำบัดน้ำเสีย
แหล่งที่มา: Fisheries Department (FAO Corporate), 2549.

2.3.1 หลักการรวมกลุ่มตะกอน

การทำให้น้ำใส คือ กระบวนการที่พวงสารแขวนลอยต่างๆ เกิดการจับตัว (Coagulation) การรวมตัว (Flocculation) และการตกตะกอน (Sedimentation) มวลสารที่ก่อให้เกิดความชุ่นในน้ำจะมีดังแต่กรวด ทราย โคลน เลน เศษติน แบคทีเรียและอนุภาคคลออลอยด์ต่างๆ พวงกรวดหรือทรายซึ่งมีขนาดค่อนข้างใหญ่เมื่อเปรียบเทียบกับมวลสารที่ทำให้เกิดความชุ่นอื่นๆ จะจมตัวตกตะกอนได้เองในเวลาไม่นานนัก ภาพที่ 2.2 แสดงขนาดอนุภาคต่างๆ ที่แขวนลอยอยู่ในน้ำ นอกจากนั้นต้องใส่สารเคมีเพื่อช่วยในการตกตะกอน (ณรงค์ วุฒิเสถียร, 2543: 71)

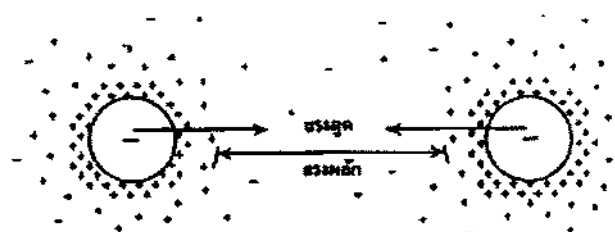


ภาพที่ 2.2 ขนาดอนุภาคต่างๆที่เป็นสารแขวนลอยอยู่ในน้ำ
แหล่งที่มา: ณรงค์ วุฒิเสถียร, 2543: 7.

ณรงค์ วุฒิเสถียร (2543: 7) ได้กล่าวถึงการทำให้น้ำใส่ด้วยกระบวนการรวมกลุ่มตะกอนไว้ดังนี้ คือ

2.3.1.1 การจับตัว (Coagulation)

อนุภาค colloidal ที่มีขนาด 1 - 500 มิลลิเมตรอนหั้งหลายเป็นส่วนหนึ่งของความชื้นที่ปราศจาก油ในน้ำ คอลลอลอยด์ แบ่งออกได้เป็น 2 ประเภท คือ จำพวกหน่ายน้ำ (Hydrophobic) เช่น เศษตินโคลนในน้ำและจำพวกชอบน้ำ (Hydrophilic) ซึ่งเป็นสารอินทรีย์ที่ทำให้เกิดสี แรงที่กระทำบนอนุภาคคอลลอลอยด์จะมีทั้งแรงดึงดูดและแรงผลัก ดังภาพที่ 2.3



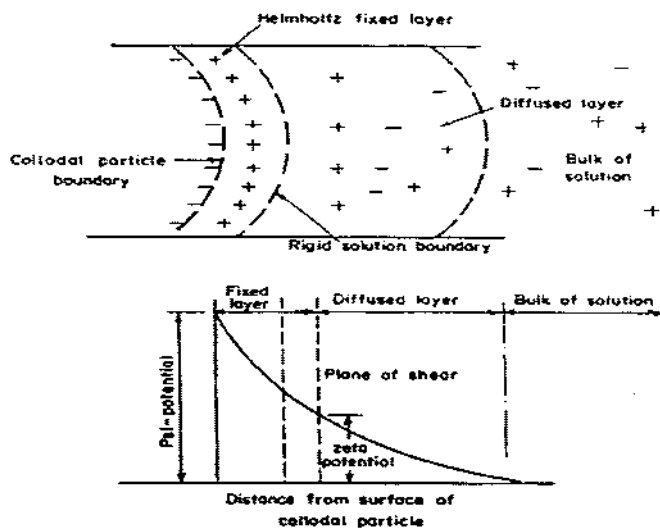
ภาพที่ 2.3 แรงดึงดูดและแรงผลักระหว่างอนุภาคคอลลอลอยด์
แหล่งที่มา: ณรงค์ วุฒิเสถียร, 2543: 73.

แรงดึงดูดเกิดจากแรงแวนเดอวัลซึ่งจะดูดให้อนุภาคที่อยู่ใกล้กันให้เข้าใกล้กันยิ่งขึ้น แรงผลักเกิดจากประจุบวกที่ปราศจากอนุภาคจะดึงดูดอนุภาคที่มีชั้นของประจุลบล้อมรอบอยู่จึงพยายามที่จะผลักตัวแยกออกจากกันโดยในสภาพปกติแรงผลักระหว่างอนุภาคจะมีค่ามากกว่าแรงดึงดูดมาก จึงทำให้อนุภาคคลอลลอยด์กระจายตัวอยู่ในน้ำได้ตลอดเวลา

การวัดศักย์ชีต้า (Zeta Potential) เป็นการวัดแรงที่อ่อนนุภาคกระทำต่อ กัน ถ้าสามารถกระทำการลดศักย์ชีต้าในระบบของเหลวให้ลดลงเป็นศูนย์หรือใกล้เคียงศูนย์จะทำให้อนุภาคต่างๆ จับตัวกันได้ดี น้ำที่มีค่าความเป็นกรด - ด่าง 5-8 จะมีศักย์ชีต้า -14 ถึง -30 มิลลิโวลต์ ถ้าค่านี้เป็นลบมากเท่าใดก็แสดงว่าอนุภาคมีประจุไฟฟ้าแรงซึ่ง เมื่อศักย์ชีต้าจับตัวกันได้ก็ย่อมจะมีมากขึ้น วิธีการทำลายแรงผลักระหว่างอนุภาคคลอลลอยด์หรือลดศักย์ชีต้า ทำได้โดยการเติมสารเคมีบางชนิด เช่น สารส้ม เหล็กชัลเฟต สารเหล่านี้จะแตกตัวในน้ำเป็นไอออนของโลหะที่มีประจุไฟฟ้าบวกซึ่งจะไปลดแรงผลักระหว่างอนุภาคคลอลลอยด์ โดยการลดชั้นประจุไฟฟ้า (Diffused-Double Layer) ที่ห่อหุ้มอนุภาคไว้ เมื่อลดแรงผลักระหว่างอนุภาค ถ้ามีการกวนเกิดขึ้นเพียงเล็กน้อยจะทำให้อนุภาคแตะกัน ซึ่งแรงดึงดูดจะดูดอนุภาคให้ติดกันทำให้เกิดการจับตัวเป็นกลุ่มใหญ่ขึ้นเรียกว่าฟลีค (Floc) โดย

Ma และ Pierre (1999: 6) ได้ทำการศึกษาการวัดศักย์ชีต้าของ Montmorillonite ในตัวอย่างน้ำที่ผสมกับ β -FeOOH หรือไฮดรอกซิเฟอริค (Hydroxoferric) ที่ความเข้มข้นและ pH แตกต่างกัน พบว่าศักย์ชีต้าเป็นลบในช่วง pH จาก 2 – 12 และศักย์ชีต้าลดลงเมื่อ pH ลดลงและเมื่อความเข้มข้นของ β -FeOOH เพิ่มขึ้นมีแนวโน้มว่าศักย์ชีต้าเป็นบวกเล็กน้อยเมื่อความเข้มข้นของ β -FeOOH เท่ากับ 14 mM ที่ pH เท่ากับ 2 จากผลการทดลองดังกล่าวปัจจัยที่ได้รับมาได้ว่า พฤติกรรม Electrokinetic ของ Montmorillonite จะถูกควบคุมโดยอนุภาคของ Hydroxoferric ที่ดูดดินบนผิวของอนุภาค Montmorillonite

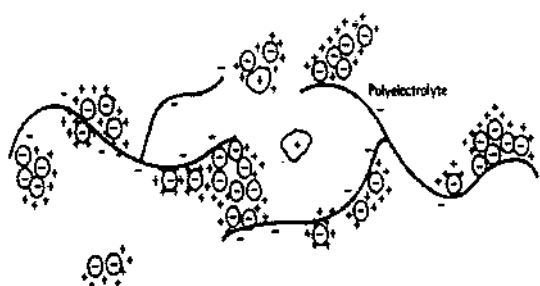
ในการปฏิบัติการกวนอย่างแรงและเร็วจะช่วยให้สารเคมีกระจายอย่างทั่วถึงในน้ำและทำให้อนุภาคมีโอกาสชนกันมากยิ่งขึ้น จะนั่นในน้ำที่มีความชุนต่ำจึงต้องมีการเติมเศษดินหรือนำเอกสารกอนกลับเข้ามาใส่ในน้ำอีกเพื่อเพิ่มโอกาสที่อนุภาคจะชนกันให้มากขึ้น ในการเติมสารช่วยตกลง (Coagulants) จะให้ไอออนประจุลบเพื่อไปลดศักย์ชีต้าที่เป็นลบ การจับตัวระหว่างอนุภาคจะเกิดได้เมื่อศักย์ชีต้ามีค่าเป็นลบบ้างเล็กน้อย จะนั่นจึงไม่จำเป็นต้องมีการสะเทินประจุให้เป็นกลางจนหมดสิ้น ถ้าใส่สารเคมีมากเกินไปไอออนประจุลบของสารเคมีที่แตกตัวจะไปเกาะอยู่ที่ผิวของอนุภาคจนทำให้อนุภาคมีศักย์ชีต้าเป็นบวก จะทำให้อนุภาคเกิดแรงผลักแยกออกจากกัน แทนที่จะจับตัวกันคงเป็นตากอน จะนั่นในการใช้สารเคมี เช่น สารส้ม ถ้าใส่มากเกินไปแทนที่น้ำจะใสก็จะขุ่นมากขึ้น ภาพที่ 2.4 แสดงสภาพประจุไฟฟ้าที่ผิวคลอลลอยด์และศักย์ชีต้า



ภาพที่ 2.4 สภาพประจุไฟฟ้าที่ผิวของอนุภาค colloidal และศักย์ซึ้ง
แหล่งที่มา: ณรงค์ วุทธเสถียร, 2543: 73.

2.3.1.2 การรวมตัว (Flocculation)

ฟลีอคที่เกิดจากการจับด้วยของอนุภาค colloidal นั้น ในบางครั้งจะมีขนาดไม่ใหญ่พอที่จะแตกตะกอนได้ในเวลาอันรวดเร็วจึงต้องมีการวนช้า (Slow Mixing) เพื่อให้ฟลีอคขนาดเล็กๆ มีโอกาสเข้าตัวรวมกันเป็นก้อนใหญ่ขึ้นไปอีก ถ้าหากการเร็วหรือแรงเกินไปจะเกิดแรงเฉือนทำให้ฟลีอคแตกออกได้ การใส่สารเคมีจำพวก Polymer หรือ Polyelectrolytes ซึ่งจัดเป็นพวาก Flocculants จะช่วยเพิ่มอัตราการรวมตัวเป็นฟลีอคขนาดใหญ่ได้โดยง่าย ดูภาพที่ 2.5

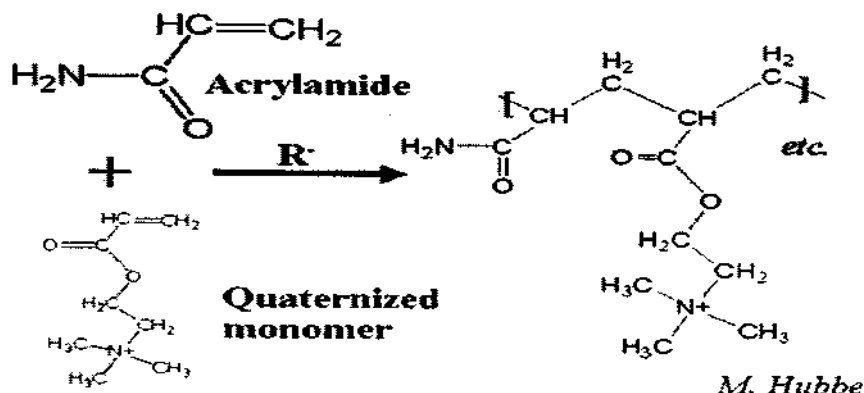


ภาพที่ 2.5 ลักษณะที่โพลีอิเล็กโทรไลต์ช่วยจับอนุภาค
แหล่งที่มา: ณรงค์ วุทธเสถียร, 2543: 75.

2.3.2 สารเคมีเพิ่มประสิทธิภาพการตอกตะกอน

ธรรม์ วุฒิเสถียร (2543: 89) กล่าวไว้ว่า ใน การตอกตะกอนด้วยสารเคมีเพื่อช่วยตอกตะกอนนั้นในบางครั้งจะพบปัญหาในเรื่องตอกตะกอนดกช้ำ ฟลีโคลจิงมีลักษณะเป็นอยู่ๆแตกง่ายเมื่อถูกน้ำพัดพาในถังตอกตะกอนหรือบางครั้งถ้ามีความชุนมากกว่าปกติเกินกำลังของอุปกรณ์ที่จะรับความชุนได้ จึงจำเป็นต้องใส่สารเคมีที่เป็นพลาสติก Polymers เพื่อเพิ่มประสิทธิภาพในการตอกตะกอน เพราะมีลักษณะเป็นเส้นยาว (Long Chain) และมีประจุไฟฟ้าด้วยซึ่งจะช่วยให้อ่อนนุ่มคอลลอยด์จับด้วยรวมตัวกันเป็นฟลีโคลเรวชันและยังช่วยให้ฟลีโคลเลกต์จับด้วยเป็นตะกอนเม็ดใหญ่ขึ้น ตั้งภาพที่ 2.5 และ 2.6 ตามลำดับ Polyelectrolyte ที่นิยมใช้กันอยู่ในปัจจุบันเป็นสารอินทรีย์สังเคราะห์ซึ่งมีน้ำหนักโมเลกุลสูงอยู่ในช่วง 10,000 – 1,000,000 หรือมากกว่าสารเหล่านี้ได้แก่ พลาสติก Polyacrylamides, Polyamines, Polyacrylates, Polyethyleneimine สารเหล่านี้มีโครงสร้างเป็นร่างแท่งและไม่เลกุล มีขนาดใหญ่สามารถแตกตัวในน้ำแสดงประจุไฟฟ้าได้ โดยจะมี Ionic Strength และ Absorption Activity ลักษณะโครงสร้างของ Cationic Acrylamide Copolymer แสดงได้ตั้งภาพที่ 2.6

Cationic Acrylamide Copolymers



ภาพที่ 2.6 ลักษณะโครงสร้างของ Cationic Acrylamide Copolymers

สำหรับ Polyelectrolytes มี 4 ชนิด คือ

Anionic มีประจุลบ

Cationic มีประจุบวก

Ampholytic มีทั้งประจุบวกและลบ

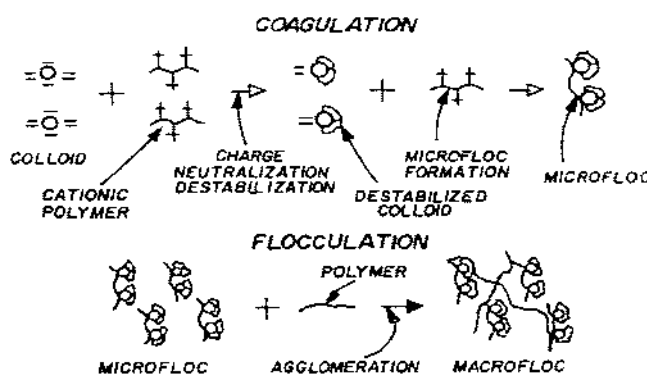
Non-ionic ไม่แสดงประจุไฟฟ้า

โดยพลาสติก Anionic และ Non-ionic Polyelectrolytes นิยมใช้ร่วมกับสารสัม เพื่อช่วยให้

ฟลีอคจับตัวได้รวดเร็วและมีขนาดใหญ่ยิ่งขึ้นออกจากนี้ยังช่วยลดปริมาณสารสัมที่ใช้งานได้อีก ด้วย ลักษณะการรวมตัวและการจับตัวเมื่อไสโพลีเมอร์แสดงได้ดังภาพที่ 2.7 นอกจากนั้นถ้าคิด ค่าใช้จ่ายรวมแล้วจะเป็นการประหยัดกว่าใช้สารสัมแต่เพียงอย่างเดียว นอกจากนั้นการใช้สาร Polyelectrolytes จะช่วยแก้ปัญหาในการนี้ที่น้ำดิบมีความชุ่นมากกว่าปกติหรืออัตราการไหลของ น้ำมากกว่าปกติ ดังเช่นงานวิจัยของ

Bolto และคณะ (2005, บทคัดย่อ) ได้ทำการวิจัยเพื่อประเมินประสิทธิภาพของ Cationic Polyelectrolyte เพื่อกำจัดสารอินทรีย์ในน้ำ พบว่า ประสิทธิภาพในกระบวนการกำจัด สารอินทรีย์ ขึ้นกับหลายปัจจัย กล่าวคือ ลักษณะทางธรรมชาติของสารอินทรีย์ ได้แก่ ขนาดโมเลกุล สภาพน้ำของสารอินทรีย์และความหนาแน่นประจุ รวมทั้งลักษณะเฉพาะของน้ำเสีย เช่น ความชุ่น ของน้ำและความกระด้าง ซึ่งในบางกรณีการใช้สารสัมบำบัดไม่พอเพียง จึงได้ศึกษาประสิทธิภาพ การกำจัดสารอินทรีย์ โดยการเติม Cationic Polyelectrolyte พบว่า สารอินทรีย์จำพวกหน่ายน้ำ สามารถกำจัดได้ง่ายโดยการใช้ Cationic Polyelectrolyte และประสิทธิภาพการกำจัด สารอินทรีย์ของ Cationic Polyelectrolyte เพิ่มขึ้นอย่างมีนัยสำคัญ เมื่อความหนาแน่นประจุ ของโพลีเมอร์เพิ่มขึ้นและน้ำหนักโมเลกุลสูงขึ้นและการทดลองโดยใช้สารสัมร่วมกับ Cationic Polyelectrolyte ให้ผลเป็นที่น่าพอใจมากในการทดลองครั้งนี้ นอกจากนั้น

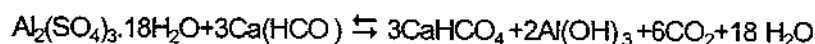
Kawamura (1991 อ้างถึงใน พรศักดิ์ สมรroiกรสรกิจ, 2548: 14 - 15) รายงานว่า การที่ นำโพลีอิเล็กโตร่ไลท์หรือโพลีเมอร์มาใช้เป็นสารสร้างตะกอนหรือสารช่วยเร่งให้คัดตะกอนกัน อย่างมาก เนื่องจาก การใช้โพลีเมอร์จะช่วยลดปริมาตรตะกอนที่เกิดขึ้นจากการบำบัด ได้ ซึ่งจะทำให้ได้กลุ่มตะกอนที่มีขนาดเล็กและแน่น เพราะตะกอนที่เกิดขึ้นจะมีน้ำเป็น องค์ประกอบน้อย เมื่อเปรียบเทียบกับตะกอนที่เกิดจากการใช้สารสัมหรือเกลือเฟอเริค นอกจากนี้ยังทำให้เกิดกลุ่มตะกอนรวดเร็วกว่าการใช้สารสัมหรือเกลือของเหล็กเป็นสารสร้าง ตะกอน ไม่เป็นพิษต่อผู้ใช้ สะดวกในการใช้ และ โพลีอิเล็กโตร่ไลท์จะทำลายหรือลดสภาพความ เป็นด่างน้อยกว่าการใช้สารสัมหรือเกลือของเหล็กในการสร้างตะกอน รวมถึงลดการตกค้างของ ซัลเฟตในน้ำลงด้วย



ภาพที่ 2.7 ลักษณะการจับตัวและรวมตัวเมื่อใส่โพลีเมอร์
แหล่งที่มา: ณรงค์ วุฒิเสถียร, 2543: 75.

และสารเคมีที่ช่วยเพิ่มประสิทธิภาพการตัดตะกอนอื่นๆ ได้แก่ สารสัม เพอร์ริคคลอไรต์ ปูนขาว และ Chitosan มีรายละเอียดมีดังนี้

2.3.2.1 สารสัมหรืออะลูมิเนียมชัลไฟด์ ($\text{Al}_2(\text{SO}_4)_3 \cdot 18\text{H}_2\text{O}$) โดยให้น้ำหนักประมาณ 600 g/mol กิโลกรัมในการใช้งาน เนื่องจากน้ำเสียโดยทั่วไปจะมีสาร Calcium Bicarbonate ($\text{Ca}(\text{HCO}_3)_2$) และสาร Magnesium-Bicarbonate ($\text{Mg}(\text{HCO}_3)_2$) ซึ่งเป็นสารที่ก่อให้เกิด Alkalinity เมื่อเดิมสารสัมจะเกิดปฏิกิริยากับต่างๆ ที่อยู่ในน้ำดังสมการ

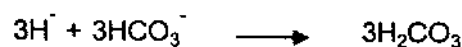


ผลที่เกิดจากปฏิกิริยาจะได้สารประกอบเชิงชั้นของ Aluminium Hydroxo หรือฟลีอกูนนาดเล็กเป็นคอลลอยด์ที่หนาแน่นฟลีอกูนนาดเล็กเหล่านี้มีประจุบวกจึงสามารถจับกับคอลลอยด์ที่มีประจุลบแล้วตัดตะกอนพاخของแข็งแขวนโดยที่อยู่ในน้ำเสียตัดตะกอนลงด้วยช่วง pH ที่เหมาะสมในการเกิดโดยแยกกุเล็กน้อยของสารสัมอยู่ในช่วง 5 – 7

2.3.2.2 เพอร์ริคคลอไรต์ ($\text{FeCl}_3 \cdot 6\text{H}_2\text{O}$) เมื่อเดิมเพอร์ริคคลอไรต์ลงในน้ำเสีย จะได้ตะกอนของเพอร์ริกไซด์ ($\text{Fe}(\text{OH})_3$) และการดักควนอนิคทำให้น้ำมี pH ลดลงดังสมการ

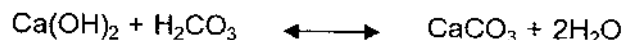


ปฏิกิริยาระหว่างกรดกับ Bicarbonate ในน้ำคือ



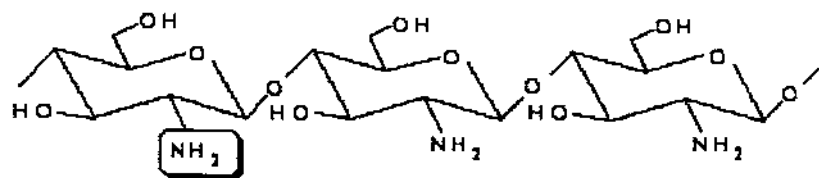
น้ำที่ผ่านการบำบัดด้วยเพอร์ซิคคลอไรต์มีสภาพเป็นกรดจึงต้องมีการปรับสภาพให้เป็นกลางก่อนปล่อยออกจากระบบ

2.3.2.3 ปูนขาว (Lime – $\text{Ca}(\text{OH})_2$) ในการใช้ปูนขาวเป็นสารทำให้ตกตะกอนผลึกเพื่อให้เกิดสาร Calcium Carbonate (CaCO_3) ซึ่งเป็นตะกอนลีขาวและสามารถถอดตะกอนได้ทันทีโดยปูนขาวจะทำปฏิกิริยากับกรดcarbonic acidและพากไบคาร์บอนเนต ดังสมการ



ถ้าใช้ปูนขาวเพียงอย่างเดียวต้องใช้ในปริมาณมากแต่ถ้านำเหล็กชัลเฟตมาช่วยเติมกับปูนขาวจะสามารถลดปริมาณการใช้ปูนขาวลงได้

2.3.2.4 ไคดินและ Micronized Chitosan เป็นส่วนหนึ่งของโครงสร้างที่ทำหน้าที่ให้ความแข็งแรงแก่ผนังเซลล์ ไคดินและ Micronized Chitosan เป็นสารองค์ประกอบของเซลล์ในลักษณะเส้นใย นอกจากนั้นยังพบว่าไคดินเป็นสารโพลิเมอร์ธรรมบดีเป็นอันดับสองของโลก รองจากเซลลูลอสส่วน Micronized Chitosan มีคุณสมบัติเป็นโพลิเมอร์ประจุบวกและมีคุณสมบัติพิเศษในการดูดซับทั้งไอออนบวกและไอออนลบได้จึงถูกนำมาใช้ในการดูดซับไอออนต่างๆ ในสารละลายโดยเฉพาะอย่างยิ่งในกระบวนการบำบัดน้ำเสียอุตสาหกรรม ได้แก่ กระบวนการสร้างตะกอนและตกตะกอน Micronized Chitosan เป็นสารโพลิเมอร์ที่แตกจากไคดินซึ่งเป็นโครงสร้างของเปลือกครัสเตเชียน กระดองปู แغانปลาหมึกและผนังเซลล์ของเห็ด รา บางชนิด โดย Micronized Chitosan มีสูตรโครงสร้างทางเคมีดังภาพที่ 2.8



โครงสร้างทางเคมีของไคดิน

ภาพที่ 2.8 โครงสร้างทางเคมีของ Micronized Chitosan
แหล่งที่มา: ประวัติศาสตร์ สุรัตนนารารณ, 2549: 1.

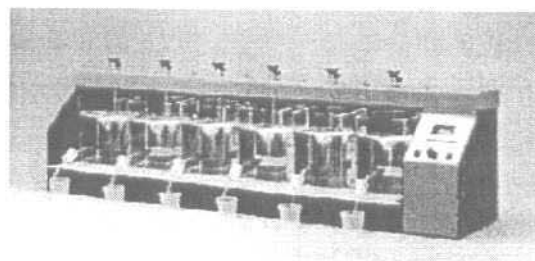
เนื่องจาก Micronized Chitosan เป็นไบโอโพลีเมอร์ที่ปลดภัยต่อสิ่งแวดล้อม ดังนั้นจึงมีนักวิจัยหลายคนพยายามที่จะศึกษาประสิทธิภาพการบำบัดน้ำโดยใช้ Micronized Chitosan เป็นสารรวมตะกอนดังเช่น

Roussy และคณะ (2005: บทคัดย่อ) ได้ทำการศึกษาเพื่อใช้สารไบโอโพลีเมอร์หรือ Micronized Chitosan ในการบำบัดน้ำเสียที่ปนเปื้อนหมึกพิมพ์โดยกระบวนการโคลอแกกูเลชัน/ฟลีอคคูเลชัน พบว่า ประสิทธิภาพการบำบัดเกิดได้ดีที่สภาวะ pH ต่ำหรือเป็นกรด โดยที่ pH เท่ากับ 5 ใช้ความเข้มข้นของ Micronized Chitosan น้อยแต่ให้ประสิทธิภาพการบำบัดที่ดี และสภาวะที่เหมาะสมในการกำจัดสีคือที่ pH 5 โดยใช้ Micronized Chitosan ที่มีน้ำหนักโมเลกุลสูง ที่ความเข้มข้นใกล้กับ 20 มิลลิกรัมต่อลิตร

JiangMing และคณะ (2005: บทคัดย่อ) ได้ทำการศึกษาพัฒนาระบบของ Micronized Chitosan และผลกระทบจากการใช้ Micronized Chitosan ร่วมกับสารรวมตะกอนที่เป็นสารอนินทรีย์ในกระบวนการฟลีอคคูเลชัน กล่าวไว้ว่า Micronized Chitosan มีศักยภาพในการบำบัดและสามารถนำมาใช้เป็นสารรวมตะกอนทดแทนสารสัมและโพลีอิเล็กโทรไลท์ ได้ทั้งนี้มีข้อดีหลายประการคือ 1) เพื่อหลีกเลี่ยงผลกระทบต่อสุขภาพจากการดักค้างของ Aluminium (III) และโพลีเมอร์สังเคราะห์ 2) ให้หากตะกอนที่เป็นตะกอนชีวภาพ 3) เป็นการใช้ทรัพยากรที่มีคุณภาพจากการสกัด Micronized Chitosan จากเปลือกหอยเหลืองทึ้งให้มีประโยชน์ จากการทดลองพบว่าหากตะกอนที่เกิดจากการใช้ Micronized Chitosan นั้นรวมตัวกันแน่นและอัตราการดักคักตะกอนค่อนข้างเร็วแต่สภาวะที่เหมาะสมในการบำบัดความชุ่นและสารอินทรีย์แตกต่างกัน กล่าวคือใช้ Micronized Chitosan เพียงลำพังไม่สามารถที่จะบำบัดความชุ่นและสารอินทรีย์ได้พร้อมกันซึ่งเป็นข้อจำกัดของ Micronized Chitosan และเมื่อใช้ Micronized Chitosan ร่วมกับ Polymeric Aluminium Ferric ให้ประสิทธิภาพการบำบัดความชุ่นสูงสุดเท่ากับ ร้อยละ 97

2.3.3 การทดสอบการดักตะกอน

เนื่องจากคุณภาพน้ำแต่ละแห่งหรือแห่งเดียวกันในถูกุกากลที่ต่างกันคุณสมบัติก็แตกต่างกันได้ การใช้สารเคมีจำพวกสารสัมหรือ Polyelectrolytes จึงต้องหาปริมาณการใช้ที่เหมาะสมที่จะทำให้มีการดักตะกอนเกิดขึ้นได้ดีที่สุดโดยทำให้เสียค่าใช้จ่ายต่ำที่สุดเพื่อการใช้สารเคมีเหล่านี้มากเกินไป นอกจากจะสิ้นเปลืองค่าใช้จ่ายแล้วยังได้น้ำที่ไม่ใสเพียงพอ ฉะนั้นจึงควรมีการทดสอบการดักตะกอนในอุปกรณ์ที่เรียกว่า Jar Test ตั้งภาพที่ 2.9 โดยใส่สารเคมีในอัตราต่างๆ กัน เพื่อหาปริมาณการใช้ที่ดีที่สุดที่ช่วง pH หนึ่งๆ ในบางกรณี ต้องไม่มีเครื่อง Jar Test ก็สามารถดัดแปลงโดยการใช้ระบบอกรดวนแบบมีจุกปิดเป็นอุปกรณ์ทดลองหรือประยุกต์ใช้ Magnetic Stirrer เพื่อกวนให้เกิดการสัมผัสได้ผล เช่นกันดังภาพที่ 2.10



ภาพที่ 2.9 เครื่องทดสอบ Jarvis (Jar Tester)

แหล่งที่มา: Lafleur, 2548: 1.



ภาพที่ 2.10 เครื่องกวนสาร (Magnetic Stirrer)

2.3.3.1 การกวนเร็ว (Rapid Mix)

การกวนอย่างเร็วในขณะที่เติมสารเคมี เช่น สารสัมภาระเพื่อทำให้เกิดความปั่นป่วนในน้ำเพื่อให้เกิดกระแสเอ็ดดี้ (Eddy Current) ขนาดเล็ก ซึ่งจะสลายตัวได้อย่างรวดเร็ว ทำให้สารเคมีที่ส่องไปสามารถกระจายตัวในน้ำได้อย่างสม่ำเสมอและทั่วถึง เพราะฟลักซ์จะเกิดขึ้นทันทีสารเคมีสัมผัสกับน้ำในการผสมเร็วขึ้นกับค่า Velocity Gradients เป็นอย่างมาก ค่านี้มีความหมายถึงความเร็วสัมพัทธ์ของอนุภาค 2 อนุภาคหารด้วยระยะห่างระหว่างอนุภาค เช่น อนุภาคสองอนุภาคในน้ำอยู่ห่างกัน 0.1 พุ่ตและถ่างกันเพียง 0.1 ไมล์ แต่เมื่อวัดความเร็วสัมพัทธ์ระหว่างอนุภาคทั้งสองได้ความเร็ว 1 พุ่ตต่อวินาที เพราะฉะนั้น Velocity Gradient คือ 10 พลังงานที่ใช้กวนน้ำจะอยู่ประมาณ 1-2 แรงม้า อัตราไหลของน้ำ 1 ลูกบาศก์พุ่ตต่อวินาที (375 gpm) การคำนวณหาพลังงานที่ใช้ในการกวนเป็นไปตามสูตร

$$G = \sqrt{550PV\mu}$$

G = Velocity Gradient, หน่วย 1 วินาที

μ = ความหนืดของน้ำ, ปอนด์ – วินาที/อัตราการฟุต
(แปลงเป็น Centipoise โดยคูณกับ 2.088×10^{-5})

V = ปริมาตรของถังผสมเร็ว, ลูกบาศก์ฟุต

P = พลังงานที่ใช้กวนน้ำ, แรงม้า

ถ้ามีการผสมเร็วเกิดขึ้นช้าเกินไป น้ำบางส่วนจะสัมผัสกับสารเคมีมากเกินไปและบางส่วนจะไม่สัมผัสกับสารเคมีเลย ถ้ากวนแรงมากไป ฟลีอคที่เกิดขึ้นแล้วจะแตกออกเป็นอนุภาคตลอดอยู่ดี

| เวลาการผสมเร็ว | ค่า G |
|-------------------|-------|
| 20 วินาที | 1000 |
| 30 วินาที | 900 |
| 40 วินาที | 790 |
| มากกว่า 40 วินาที | 700 |

2.3.3.2 การกวนช้า (Flocculation)

ในการกวนช้า อัตราการเกิดการรวมตัวของฟลีอคเล็กๆ ให้เป็นฟลีอคหรือตะกอนขนาดใหญ่ขึ้นกับปัจจัยต่างๆ กันดังนี้คือ

- 1) จำนวนฟลีอคหรือความเข้มข้นของฟลีอคในน้ำ
- 2) ปริมาตรของฟลีอคในน้ำ
- 3) ความแรงของการกวนช้า ซึ่งก็คือ ค่า G

ในถังกวนช้าจะมีการกวนอย่างช้าๆ เพื่อให้ตะกอนรวมตัวกันถ้ากวนแรงเกินไปตะกอนจะแตกເื่องໄข่ในการออกแบบถังกวนช้าขึ้นกับค่า GCt (ธรรม วุฒเสถียร, 2543: 94) โดย

$$G = \text{Velocity Gradient, } 1/\text{วินาที}$$

C = ปริมาตรตะกอน/ปริมาตรน้ำ

t = เวลาในการกวนช้าวินาที

การกวนช้าที่ดีจะต้องมีค่า GCt อยู่ระหว่าง 50 -200 ซึ่งค่านี้ใช้ได้กับถังกวนช้าแบบปกติและแบบน้ำอะกอนหมุนเวียนกลับมาใช้ ถังกวนช้ามีทั้งแบบใช้ใบพัดกวนและแบบก้นเป็นช่อง (Baffle) ให้น้ำไหลวนไปวนมา แต่แบบนี้ไม่เป็นที่นิยมกัน เพราะขนาดถังต้องมีขนาดใหญ่ แบบที่ใช้ใบพัด มีทั้งแบบที่มีใบพัดอยู่ในแนวตั้งและแนวนอนและถ้าใช้ถังกวนช้ามาต่ออนุกรรมกันเข้าหากลายๆ ถังเพื่อจะได้กวนโดยมีค่า Velocity Gradient ต่ำ จะทำให้ได้ฟลีอคหรือตะกอนที่มีเนื้อแน่นและหนัก ตะกอนจะได้ตกอย่างรวดเร็ว

2.3.4 การตกตะกอน (Sedimentation)

จุดประสงค์ในการตกตะกอนก็เพื่อลดปริมาณความชุ่นในน้ำก่อนจะเข้าเครื่องกรองน้ำ เป็นการลดภาระ (Load) ของเครื่องกรองน้ำที่ไม่มีมากเกินไป ถ้าหากน้ำมีความชุ่นมากกว่า 50 พีทีเอม ก็ควรจะมีการตกตะกอนก่อนเข้ากรอง

การตกตะกอนเกิดจากแรงตึงดูดของโลกที่กระทำต่ออนุภาคความชุ่น ซึ่งมีความหนาแน่นมากกว่า 1.0 อนุภาคจะตกจนกระทั่งแรงด้านทันของน้ำเท่ากับน้ำหนักอนุภาค เพราะฉะนั้นความเร็วในการรวมตัว (Flocculant Settling) จะคงที่และขึ้นกับขนาด รูปร่าง ความหนาแน่นของอนุภาคและความหนืดของน้ำ

การตกตะกอนจำแนกได้ 4 ประเภทตามดังดับความเข้มข้นและลักษณะสมบัติของขึ้นปั้นที่อยู่ในน้ำ (มั่นสิน ตันตระเวศม์, 2537: 213) ดังนี้ 1) การตกตะกอนแบบโดด (Discrete Settling) น้ำที่มีความเข้มข้นของตะกอนแขวนลอยต่ำอาจตกตะกอนเป็นแบบโดดหรือรวมกลุ่มก็ได้ หั้งนี้ขึ้นอยู่กับลักษณะสมบัติของตะกอนหรืออนุภาค ถ้าตะกอนแขวนลอยไม่สามารถจับตัวเป็นกลุ่ม การตกตะกอนจะเป็นแบบโดด ตัวอย่างของการตกตะกอนแบบนี้ได้แก่ การตกตะกอนของเม็ดกรวดหรือทรายขนาดต่างๆ 2) การตกตะกอนแบบแบ่งชั้น (Zone Settling) น้ำที่มีตะกอนแขวนลอยอยู่ในระดับปานกลางหรือสูง (เช่น มีความเข้มข้นสูงกว่า 1,000 – 2,000 mg/l) มักมีการตกตะกอนแบบแบ่งชั้น หั้งนี้เนื่องจากอนุภาคแต่ละเม็ดอยู่ติดกัน และเคลื่อนที่ลงด้วยอัตราเร็วเดียวกันทำให้เห็นเป็นชั้นแยกกันระหว่างน้ำใสและอนุภาค เช่น การตกตะกอนของ Activated Sludge 3) การตกตะกอนแบบอัดตัว (Compression Settling) มักเกิดขึ้นเมื่อน้ำมีตะกอนแขวนลอยอยู่ในระดับสูงมากและมักเกิดขึ้นที่กันลังตกตะกอน การตกตะกอนแบบอัดตัวอาจถือว่าเกิดขึ้นหลังจากที่การตกตะกอนแบบอื่นๆ ได้เกิดขึ้นแล้ว การอัดตัว (Compression) เกิดขึ้นเนื่องจากอนุภาคต่างๆ วางช้อนกันในลักษณะที่มีการถ่ายเทน้ำหนักให้กับอนุภาคที่อยู่ข้างล่าง 4) การตกตะกอนแบบรวมกลุ่ม (Flocculant Settling) ในการนีที่การตกตะกอนของอนุภาคต่างๆ มีความสามารถกันเป็นกลุ่มก้อนที่มีขนาดใหญ่และมีน้ำหนักมากขึ้น ความเร็วในการตกตะกอนจะเพิ่มขึ้นทำให้ วิถีการตกตะกอนเป็นเส้นโค้งการตกตะกอนของสารสัมหรือตะกอนที่เกิดจากกระบวนการการโคลอกถูเจียนจัดว่าเป็นการตกตะกอนแบบรวมกลุ่ม (Flocculant Settling)

2.3.5 ปัจจัยต่างๆ ที่มีผลต่อการจับและรวมตัวเป็นฟลี๊ค

2.3.5.1 ความเป็นกรด – ด่าง การใช้สารสัมจะได้ผลดีเมื่อ pH อยู่ในช่วง 6.0 – 7.8 และที่ pH เท่าใดจึงจะให้ผลสูงสุดนั้น ขึ้นกับสภาพน้ำแต่ละชนิดซึ่งต้องทดสอบจึงจะทราบแน่ชัด เช่น หากมีการใส่สารสัมลงไปให้มากเพื่อพยายามเร่งให้น้ำตกตะกอนได้ดียิ่งขึ้นก็จะทำให้น้ำมีสภาพเป็นกรดมากขึ้น จึงไม่อยู่ในช่วง pH ที่ดีที่สุดสำหรับการตกตะกอน เป็นดัง

2.3.5.2 เกลือแร่ต่างๆ การมีอนุมูลชัลเฟดหรือฟอสเฟดจะมีผลทำให้ประสิทธิภาพการจับตัวกันเป็นฟลีอคเปลี่ยนแปลงไป ผลกระทบไอออนชนิดต่างๆ ต่อการจับตัวเป็นฟลีอคจะทำให้เกิดการเปลี่ยนแปลงดังนี้

- 1) เปลี่ยนแปลงช่วง pH ที่ดีที่สุดในการเกิดฟลีอค
- 2) เปลี่ยนแปลงระยะเวลาในการเกิดฟลีอค
- 3) ปริมาณที่เหมาะสมของสารเคมีช่วยดักตะกอนสำหรับการเกิดฟลีอคจะเปลี่ยนแปลงไป

4) ปริมาณสารเคมีช่วยดักตะกอนที่เหลือในน้ำเปลี่ยนแปลงไปพวกอนุมูลประจุลบ เช่น ชัลเฟตและฟอสเฟต สามารถเปลี่ยนแปลงช่วง pH ที่เหมาะสมสำหรับการดักตะกอนให้กว้างขึ้นได้ เช่น ถ้าใช้สารสัมและมีอนุมูลชัลเฟดอยู่ 125 มิลลิกรัมต่อลิตร ช่วงที่จับตัวการดักตะกอนจะเป็น pH 5.0 – 7.8 แทน เพราะพวกอนุภาคเหล่านี้จะไปทำหน้าที่แทนอนุมูล ไฮดรอกไซด์ที่เกิดจากสารสัม (ณรงค์ วุฒิเสถียร, 2543: 92)

2.3.5.3 คุณสมบัติของความชุน ความชุนในน้ำเกิดจากเศษดินและแร่ธาตุต่างๆ ซึ่งมีขนาดตั้งแต่ 0.002 – 0.005 มิลลิเมตร อนุภาคเหล่านี้จะดักตะกอนอนกันได้เองถ้ามีเวลามากพอ การใส่สารเคมีช่วยดักตะกอนจะทำให้เกิดฟลีอคได้ง่ายและรวดเร็วเพียงแค่ปรับค่า pH ให้เหมาะสมและปฏิบัติตามนี้

1) ควรใส่สารช่วยดักตะกอนเพิ่มขึ้นตามความชุนที่เพิ่มขึ้นแต่การเพิ่มของสารเคมีไม่ได้เป็นสัดส่วนโดยตรงกับความชุนที่เพิ่มขึ้น

2) ถ้าน้ำมีความชุนมากควรใส่สารช่วยดักตะกอนเพียงเล็กน้อย เพราะโอกาสที่อนุภาคต่างๆ จะมาชนกันและจับตัวกันมีมาก ในบางองค์เดียวถ้าถ้าที่มีความชุนต่ำจะจับตัวดักตะกอนได้ยากกว่า

2.3.5.4 ชนิดของสารเคมีช่วยดักตะกอน โดยปกติมักนิยมใช้สารสัม เพราะมีราคาถูก และหาซื้อด้วยก็มีข้อจำกัดอยู่บางประการ เช่น ถ้าน้ำมีสภาพค่อนไปทางด่าง สารสัมจะแตกตัวเกิดเป็นอะลูมิเนดไอออนที่ละลายน้ำได้ จึงไม่มีผลช่วยในการจับตัวเป็นฟลีอคสำหรับเฟอร์ริกชัลเฟต ($\text{Fe}_2(\text{SO}_4)_3$) ใช้งานได้ในช่วง pH 5.5 - 8.8 จึงนิยมในการขัดสีในน้ำ เพราะดักตะกอนอนุภาคคลออลลอยด์ที่ทำให้เกิดสี จะเกิดได้ที่ pH 5.6 ถ้าน้ำมีสภาพเป็นด่าง เฟอร์ริกไฮดรอกไซด์ที่เกิดขึ้นจากการแตกตัวก็ไม่ละลายในน้ำ จึงสามารถใช้งานได้ในช่วงที่เป็นด่าง

2.3.5.5 อุณหภูมิ เมื่ออุณหภูมิลดลง ความหนืด (Viscosity) ของน้ำจะเพิ่มขึ้น อัตราการดักตะกอนของฟลีอคย่อมจะช้าลง เพราะมีแรงเสียดทานเพิ่มขึ้นเนื่องจากความหนืดของน้ำเพิ่มขึ้น นอกจากนี้ค่า pH ก็จะเปลี่ยนแปลงไปเมื่ออุณหภูมิเปลี่ยนแปลง ซึ่งจะมีผลมากในกรณีที่ใส่สารเคมีช่วยดักตะกอนในปริมาณต่ำและเมื่ออุณหภูมิลดลง อัตราการเกิดปฏิกิริยาต่างๆ ของสารเคมีในน้ำย่อมลดลงไปด้วย

2.3.5.6 การกวน เพื่อให้เกิดความปั่นป่วนขึ้นในน้ำ ในตอนแรกจะเป็นการกวนเริ่วในขณะที่มีการเติมสารเคมีช่วยดักตะกอนเพื่อให้สารเคมีกระจายตัวในน้ำอย่างทั่วถึงและช่วยเพิ่มอัตราการชนกันระหว่างอนุภาคความชุนกับสารเคมีใหมากขึ้น โดยสถานที่จะจับตัวเป็นฟลีโคลกีจะเพิ่มขึ้น ระยะเวลาที่ใช้ในการกวนเริ่วอยู่ประมาณ 30 -60 วินาที การกวนช้าก็เพื่อให้ฟลีโคลคเล็กๆที่เกิดขึ้นจากการกวนเริ่วมีโอกาสที่จะชนกันเพิ่มมากขึ้นเพื่อจับตัวรวมกันเป็นฟลีโคลคที่มีขนาดใหญ่มากขึ้น การกวนนี้ต้องการเพียงแค่ให้ฟลีโคลคลอยตัวอยู่ในน้ำได้โดยไม่ตกร่อง ก่อนที่จะมีการกวนจะต้องแยกออกเพื่อระบายแล้วเทลงในร่อง เนื่องจากเวลาที่เหมาะสมในการกวนช้าอยู่ประมาณ 30 – 60 นาที

2.3.5.7 อัตราการเกิดฟลีโคล ในระยะแรกของการเกิดฟลีโคล จะมีอนุภาคชนกันมากเท่าใด อัตราการเกิดการจับตัวเป็นฟลีโคลคจะมีมากขึ้นเท่านั้น ซึ่งนอกจากจะช่วยเพิ่มจำนวน ฟลีโคลคแล้วยังเพิ่มน้ำหนักและขนาดฟลีโคลคอีกด้วย ทำให้จับตัวได้ง่ายยิ่งขึ้น ถ้าหากเป็นน้ำที่มีความชุนน้อยจะพบปัญหาว่าเกิด ฟลีโคลคยากและตกร่องตากองช้า ปัญหานี้แก้ไขได้โดยนำน้ำตากองที่ตกร่องแล้วส่วนหนึ่งหมุนเวียนกลับมาใช้เพื่อเพิ่มโอกาสที่อนุภาคและฟลีโคลคจะชนกันให้เพิ่มมากขึ้น

2.4 งานวิจัยที่เกี่ยวข้อง

การศึกษาการบำบัดน้ำเสียโดยวิธีโคแอกูเลชันได้มีผู้ดำเนินการศึกษาระบบการน้ำสำหรับบำบัดน้ำทึ้งประเภทต่างๆ เช่น น้ำระบบน้ำมูลฟ้อย น้ำเสียครัวเรือนและน้ำเสียปนเปื้อนโลหะหนัก เป็นต้น โดยผลการศึกษาของแต่ละเรื่องที่กล่าวถึงมีดังต่อไปนี้

นาง วัฒนยง (2544: บทคัดย่อ) ได้ทำการศึกษาประสิทธิภาพการกำจัดฟอสฟอรัสในน้ำทึ้งชุมชนที่ผ่านการบำบัดขั้นที่ 2 จากโรงบำบัดน้ำเสียสี่พระยาซึ่งมีปริมาณօโซฟอสเฟต 2.27 มิลลิกรัมต่อลิตร โดยกระบวนการโคแอกูเลชันด้วยสารสัมร่วมกับ ไคโอดีไซน์เป็นสารสร้างตะกอนพบว่าการดักตะกอนโดยใช้สารสัมเมลี่ย 188.43 มิลลิกรัมต่อลิตร (คิดเป็นร้อยละ 50 ของปริมาณสารสัมเมลี่ย) ร่วมกับไคโอดีไซน์ 39.84 มิลลิกรัมต่อลิตร ที่ pH ก่อนทำการโคแอกูเลชัน 7.10 ให้ประสิทธิภาพการกำจัดฟอสฟอรัสดีที่สุด โดยสามารถกำจัดปริมาณสารօโซฟอสเฟตได้ร้อยละ 94.36 และกำจัดฟอสฟอรัสทั้งหมด ความชุนและ TKN ได้ร้อยละ 92.29 42.79 และ 61.60 ตามลำดับ

ประชาดิ จุลพันธุ์ (2544: บทคัดย่อ) ได้ทำการศึกษาการบำบัดน้ำระบบน้ำมูลฟ้อยโดยวิธีการดักตะกอนด้วยเบนโทไนเตอร์เปรียบเทียบกับการบำบัดโดยสารสร้างตะกอนที่ใช้ออยูในปัจจุบันคือ สารสัมม โพลิอูมิเนียมคลอไรด์และปูนขาว ผลการทดลองพบว่า เบนโทไนเตอร์มีความสามารถกำจัดสีได้เฉลี่ยร้อยละ 24.75 บำบัดความชุนได้เฉลี่ยร้อยละ 63.52 กำจัดเชื้อได้

เฉลี่ยร้อยละ 20.34 กำจัดบีโอดีได้ร้อยละ 39.44 กำจัดในดรอเจนและฟอสฟอรัสได้เฉลี่ยร้อยละ 6.59 และ 30.92 ตามลำดับ แต่ไม่สามารถกำจัดของแข็งในรูปต่าง ๆ ได้ โดยปริมาณเบนโทไนท์ที่เหมาะสม คือ 5,500 – 7,500 มิลลิกรัมต่อลิตร pH ที่เหมาะสมคือ 4.0 ส่วนสารสร้างตะกอนที่มีความเหมาะสมที่สุดสำหรับการบำบัดน้ำเสียจากกองขยะ คือ สารสัมบูรณ์สามารถกำจัดได้เฉลี่ยร้อยละ 71.50 บำบัดความชื้นได้เฉลี่ยร้อยละ 92.66 กำจัดบีโอดีได้เฉลี่ยร้อยละ 39.77 กำจัดบีโอดีได้เฉลี่ย 42.46 กำจัดของแข็งแขวนลอยได้เฉลี่ยร้อยละ 87.04 แต่ไม่สามารถกำจัดของแข็งทั้งหมดและของแข็งที่ละลายได้ทั้งหมด ที่ปริมาณสารสัมบูรณ์เหมาะสม 7,000 – 11,000 มิลลิกรัมต่อลิตร และ pH ที่เหมาะสมคือ 6.0 -6.5

ชาญวิทย์ ศรีแก้ว (2544: บทคัดย่อ) ได้ทำการศึกษาการกำจัดลิกนินในน้ำเสียจากถังตักตะกอนขันดันและถังตักตะกอนขันที่ 2 ของระบบบำบัดน้ำเสียโรงงานผลิตเยื่อกระดาษด้วยวิธีจาร์เทส โดยสารรวมตะกอนที่ใช้คือ ไคโตเซน พบว่า บริษัท Micronized Chitosan และ pH ที่เหมาะสม สำหรับการกำจัดลิกนินในน้ำเสียจากถังตักตะกอนขันดัน เท่ากับ 250 มิลลิกรัมต่อลิตร และ 8.0 ตามลำดับ โดยสามารถกำจัดลิกนินได้ร้อยละ 51 และปริมาณ Micronized Chitosan และ pH ที่เหมาะสมในการกำจัดลิกนินในน้ำเสียจากถังตักตะกอนขันที่ 2 เท่ากับ 300 มิลลิกรัมต่อลิตร และ 8.0 ตามลำดับ โดยสามารถกำจัดลิกนินได้ร้อยละ 71

รัชชัย วิเชียรเครือ (2544: บทคัดย่อ) ได้ทำการศึกษาการบำบัดน้ำระบายน้ำจากสถานที่ฝังกลบของเทศบาลครุอุดรธานีด้วยสารโพลีเฟอร์ริคซัลเฟตด้วยกระบวนการโดยแยกกุเลชั่น ผลการศึกษาพบว่า ที่ความเข้มข้นของสารโพลีเฟอร์ริคซัลเฟต 400 มิลลิกรัมต่อลิตร และที่ pH 12 มีประสิทธิภาพการกำจัดของแข็งแขวนลอยสูงสุดร้อยละ 82.58 ส่วนการหาปริมาณตะกอนที่เกิดขึ้นในแต่ละ pH ของ Optimum Dose พบว่า ที่ pH 12 มีปริมาณมากตะกอนมาก ส่วนที่ pH 6 มีปริมาณมากตะกอนน้อยที่สุด

ชลทิศ แก้วลี (2547: บทคัดย่อ) ได้ศึกษาการกำจัดโลหะหนักในน้ำเสียสังเคราะห์ 3 ชนิด คือ นิกเกิล โครเมียมและสังกะสี โดยใช้ตะกอนสารสัมบูรณ์จากการผลิตน้ำประปา จากผลการวิจัยพบว่าการกำจัดโลหะหนักทั้ง 3 ชนิดดังกล่าวมีประสิทธิภาพการกำจัดที่ดีที่สุด เมื่อใช้ปริมาณตะกอนสารสัมบูรณ์ 180 กรัมต่อลิตร โดยสามารถกำจัดนิกเกิลได้ร้อยละ 91.50 กำจัดโครเมียมได้ร้อยละ 80.31 และกำจัดสังกะสีได้ร้อยละ 68.59 โดย pH เริ่มต้นไม่มีการปรับ pH เป็น 7.30 ,2.82 และ 5.52 ตามลำดับ และค่าความชื้นที่ได้มีค่าประมาณ 20 -30 NTU ซึ่งไม่ได้ปรับตามปริมาณตะกอนสารสัมบูรณ์ที่ใช้

ชัยวัฒน์ บัญญัติศรีสกุล (2547: บทคัดย่อ) ทำการศึกษาการกำจัดทองแดงและนิกเกิลออกจากน้ำเสียสังเคราะห์โดยกระบวนการสร้างตะกอนด้วยโซดาไฟขณะทำการกรองเริ่มในช่วง pH 7.5 -11.0 และรวมตะกอนด้วยสารรวมตะกอนชนิดต่างๆ ได้แก่ ACCLOFLOC ชนิด A95, A110, A120 และ OXYFLOC 106 จากการศึกษาพบว่า pH ที่เหมาะสมในการกำจัดทองแดงที่ความเข้มข้นเริ่มต้นในช่วง 10 - 200 มิลลิกรัมต่อลิตร ด้วยกระบวนการสร้างตะกอนคือ 11.0 ทำให้

ปริมาณทองแดงเหลืออยู่ในช่วง 1.10 – 2.19 มิลลิกรัมต่อลิตร และพบว่าสารรวมตะกอนที่เหมาะสมในการกำจัดทองแดงคือ ACCLOFLOC A 95 ที่ปริมาณ 0.4 - 1.2 มก/ล โดยปริมาณทองแดงลดลงเหลือประมาณ 0.15 – 0.28 มิลลิกรัมต่อลิตร ส่วน pH ที่เหมาะสมในการกำจัดนิกเกิลที่ความเข้มข้นเริ่มต้นในช่วง 10 - 200 มิลลิกรัมต่อลิตร ด้วยกระบวนการสร้างตะกอนคือ 11.0 ทำให้ปริมาณนิกเกิลคงเหลืออยู่ในช่วง 3.19 – 5.12 มิลลิกรัมต่อลิตร สำหรับสารรวมตะกอนที่เหมาะสมในการกำจัดนิกเกิลคือ ACCLOFLOC A 95 ที่ปริมาณ 0.4 - 2.0 มิลลิกรัมต่อลิตร ทำให้ปริมาณนิกเกิลลดลงเหลืออยู่ในช่วง 0.063 – 0.16 มิลลิกรัมต่อลิตร จากผลการศึกษาสามารถสรุปได้ว่า การใช้กระบวนการสร้างตะกอนเพียงอย่างเดียวสามารถลดได้เฉพาะปริมาณทองแดงให้มีค่าต่ำกว่ามาตรฐานน้ำทึบของกระทรวงอุตสาหกรรม ขณะที่การเสริมประสิทธิภาพด้วยการ加วน้ำและการใช้สารรวมตะกอนที่เหมาะสมสามารถลดทั้งปริมาณทองแดงและนิกเกิลให้มีค่าต่ำกว่ามาตรฐานได้

Al-Mutairi, Hamoda และ Ghusain (2004: บทคัดย่อ) ได้ทำการศึกษาการบำบัดน้ำเสียจากโรงฝ่าสัตว์ด้วยกระบวนการโดยแยกกุเลชัน โดยใช้สารสัมและสารโพลีเมอร์เป็นสารรวมตะกอนพบว่า ความเข้มข้นของ สารสัมและโพลีเมอร์ เท่ากับ 400 มิลลิกรัมต่อลิตร และ 30 มิลลิกรัมต่อลิตร ตามลำดับ ให้ประสิทธิภาพในการบำบัดสารแขวนลอยสูงถึง ร้อยละ 99 สำหรับสารสัม และ ร้อยละ 96 สำหรับโพลีเมอร์ แต่สารสัมผลิตภัณฑ์ของตะกอนที่อัดตัวกันแน่นมากกว่าโพลีเมอร์ โดยจากการทดลองพบว่า เมื่อความเข้มข้นของสารสัมเพิ่มขึ้นปริมาณการกำจัดลดลงแต่ให้ปริมาณสารแขวนลอยสูงขึ้น ส่วนโพลีเมอร์ เมื่อความเข้มข้นสูงขึ้น ปริมาณการกำจัดก็จะลดลง ซึ่งอธิบายได้ว่า ปริมาณการกำจัดและปริมาณสารแขวนลอย มีความสัมพันธ์กันกับความเข้มข้นของสารสัมและโพลีเมอร์

Aboulhassan และคณะ (2005: บทคัดย่อ) ได้ทำการศึกษาการบำบัดน้ำเสียจากอุตสาหกรรมหอยฝาโดยใช้สารรวมตะกอนที่สกัดจากธรรมชาติ ซึ่งมีส่วนประกอบของแทนนินิก คือ Polysep3000 พบว่า Polysep3000 ให้ประสิทธิภาพการบำบัดในช่วง Ph ที่กว้างคือ อยู่ในช่วง pH น้อยกว่า หรือเท่ากับ 10 และให้ประสิทธิภาพการบำบัดสูงสุด ร้อยละ 96 เมื่อเปรียบเทียบการเกิดกาก (Sludge Production) ระหว่างบำบัดด้วย Polysep3000 กับ สารสัมและเฟอริคคลอไรร์ด พบร่วม Polysep3000 ให้ปริมาณกากตะกอนน้อยกว่า

Ahmad, Sumathi และ Hameed (2005: บทคัดย่อ) ได้ศึกษาการบำบัดน้ำมันดกค้าง (Residue Oil) และสารแขวนลอยจากโรงงานน้ำมันปาล์มโดยใช้ Micronized Chitosan สารสัม และโพลีอะลูมิเนียมคลอไรร์ (PAC) เมื่อเปรียบเทียบประสิทธิภาพการบำบัดของ Micronized Chitosan กับสารสัมและ PAC ใน การบำบัดน้ำด้วยตัวอย่างที่มีสารแขวนลอยเข้มข้น 10,000 มิลลิกรัมต่อลิตร และมี Residue Oil 2,000 มิลลิกรัมต่อลิตร พบร่วม ที่ความเข้มข้นเท่ากับ 0.5 มิลลิกรัมต่อลิตร pH เท่ากับ 4 เวลาในการสัมผัส 15 นาที ความเร็ว 100 รอบต่อนาที เวลา ตกตะกอน 20 นาที มีประสิทธิภาพการบำบัดดีกว่า สารสัม และ PAC โดยมีประสิทธิภาพการ

บำบัดสารแขวนลอยและ Residue Oil มากกว่า ร้อยละ 95 และลักษณะของฟลีโคลที่เกิดจาก Micronized Chitosan เกิดขึ้นเร็วและรวมตัวกันเป็นฟลีโคลขนาดใหญ่ สามารถตอกตะกอนได้ง่าย ซึ่งลักษณะของฟลีโคลเป็นเส้นใยคล้ายกับไยแมงมุม ซึ่งสันนิษฐานได้ว่า เกิดจากกลไก Bridging แต่เมื่อเพิ่มความเข้มข้นสูงเกินจุด Optimum ส่งผลให้ปริมาณสารแขวนลอยเพิ่มขึ้น

ณัฐพล เอี่ยมอัน (2549: บทคัดย่อ) ได้ทำการศึกษาการบำบัดน้ำเสียด้วยน้ำสกัดชีวภาพ จากกากระหลาหมัก: กรณีศึกษานำตัวอย่างจากคลองแสนแสบ มีวัตถุประสงค์เพื่อศึกษา ผลการใช้น้ำสกัดชีวภาพจากกากระหลาหมักในการบำบัดคุณภาพน้ำตัวอย่าง จากคลองแสนแสบ จากผลการศึกษาพบว่า น้ำสกัดชีวภาพจากกากระหลาหมักชนิดต่าง ๆ ไม่มีส่วนช่วยในการ บำบัดคุณภาพของตัวอย่าง เนื่องจากค่า pH ปี奥地 ปริมาณสารแขวนลอย ตะกั่ว แคดเมียม ปรอท และแบคทีเรียกลุ่มโคลิฟอร์มทั้งหมด ที่ผ่านการบำบัดด้วยน้ำสกัดชีวภาพ จากกากระหลาหมัก ชนิดต่าง ๆ ส่วนใหญ่ได้พ่อไม่แตกต่างกันกับการเติมน้ำกัลลันเข้าไปในตัวอย่างน้ำเสีย

อัครเดช จันทรพิพัฒน์ (2549: บทคัดย่อ) ได้ศึกษาการแยกโลหะนิกเกิล ออกจากน้ำเสีย โรงงานอุตสาหกรรมผลิตอาหาร โดยวิธีการตอกตะกอน รวมกลุ่มตะกอนทางเคมี กรณีศึกษา: บริษัทอุตสาหกรรมเคมีคอล์ฟ อินดัสตรี (ประเทศไทย) จำกัด โดยมีวัตถุประสงค์เพื่อศึกษาชนิด ปริมาณ และสภาวะที่เหมาะสมในการตอกตะกอน และการรวมกลุ่มตะกอนโลหะนิกเกิลจากน้ำเสีย โดยวิธีทางเคมี โดยนำตัวอย่างน้ำเสียที่ผ่านการสังเคราะห์แล้วในปริมาณตัวอย่างละ 500 มิลลิลิตร และมีโลหะนิกเกิลปานเปื้อนในรูปของสารละลายเฉลี่ย 621 มิลลิกรัมต่อลิตร มาทำการทดลอง โดยใช้สารเคมี NaOH ความเข้มข้น 50 % ที่ pH 14+ FeSO₄ และโพลีเมอร์ประจุลบ "Kurita C-0320" ให้ผลในการตอกตะกอน และการรวมกลุ่มตะกอนได้เหมาะสมที่สุด โดยการปรับ pH ที่ 10 ด้วย NaOH เป็นค่าที่เหมาะสมในการตอกตะกอน และการเติม FeSO₄ ตั้งแต่ 800 มิลลิกรัมต่อลิตรขึ้นไป จะช่วยให้การตอกตะกอนเร็วขึ้น อีกทั้งการเติม Polymer ประจุลบที่ 8 มิลลิกรัมต่อลิตร จะช่วยให้การจับตัวของกลุ่มตะกอนดีขึ้น โดยเวลาที่เหมาะสมอยู่ในช่วง 15 – 20 นาที และจากการวิเคราะห์น้ำหลังตอกตะกอน พบร่วมมิภิกเกิลปานเปื้อนอยู่ในช่วง 0.36 – 0.72 มิลลิกรัมต่อลิตร ซึ่งอยู่ในเกณฑ์ที่กฎหมายกำหนดที่ไม่เกิน 1.0 มิลลิกรัมต่อลิตร

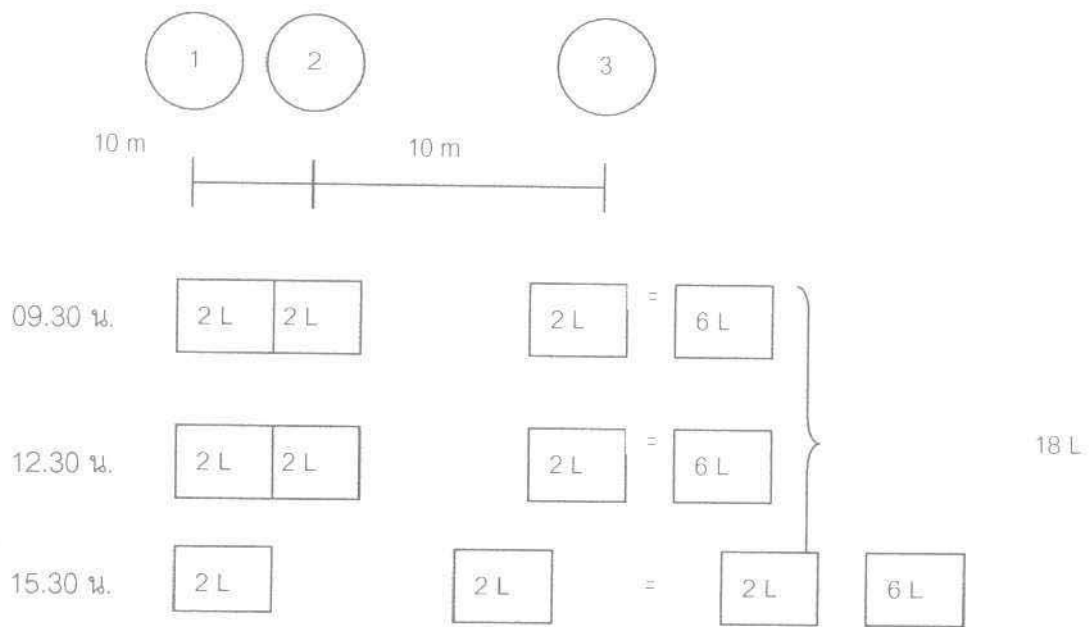
บทที่ 3

วิธีดำเนินการศึกษา

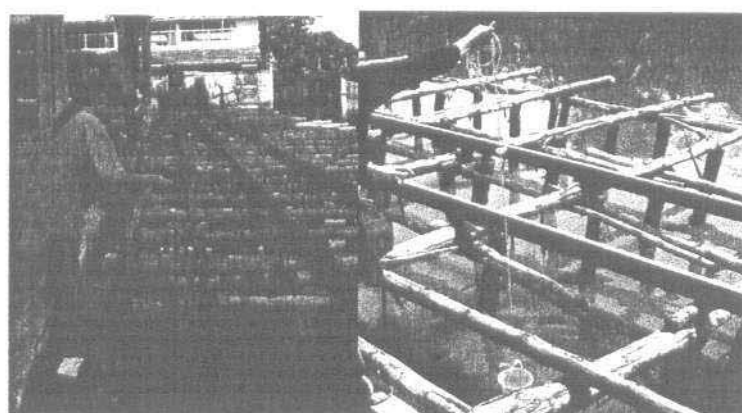
การศึกษาครั้งนี้เป็นการวิจัยเชิงทดลองเพื่อศึกษาการนำบัดดี้ตัวอย่างน้ำเสียคลองแสนแสบโดยมุ่งศึกษาถึงอัตราเร็วในการตกรดกอนรวมทั้งปริมาณกากรตกรดกอนภายหลังการเติมสารรวมตกรดกอนแต่ละชนิดในการนำบัดดี้ตัวอย่างน้ำเสียคลองแสนแสบด้วยวิธีการรวมก่อนและกอน หรือการทำโคลอแก๊สเข้าชั้น นอกเหนือจากการศึกษาอัตราเร็วการตกรดกอนและปริมาณกากรตกรดกอนจะทำการศึกษาคุณภาพน้ำและประสิทธิภาพการนำบัดดี้ตัวอย่างน้ำเสียคลองแสนแสบเมื่อใช้สารรวมตกรดกอนแต่ละชนิดด้วย โดยกำหนดให้พารามิเตอร์ความขุ่น (Turbidity Removal) เป็นตัวชี้วัดประสิทธิภาพ

3.1 ประชากรและตัวอย่าง

ในการเก็บตัวอย่างน้ำเสียคลองแสนแสบใช้วิธีการเก็บตัวอย่างแบบผสมรวม (Composite Sampling) โดยแบ่งจุดเก็บน้ำตัวอย่างเป็น 3 จุด ระยะห่างกันระหว่างจุดเก็บตัวอย่างประมาณ 10 เมตร ซึ่งดำเนินการเก็บทุกช่วงในปริมาณที่เท่ากันคือ 6 ลิตรต่อช่วงเวลา ในช่วงเวลา 9:30, 12:30, 15:30 นาฬิกา ที่ระยะความลึกประมาณ 30 – 60 เซนติเมตรจากผิวน้ำ โดยอันนิษฐาน (Assume) ว่าตัวอย่างน้ำเสียบริเวณที่ศึกษามีอัตราการไหลเท่ากันของวันที่เก็บตัวอย่างแล้วนำมาผสมรวมกันทั้งหมดจำนวน 18 ลิตร ดัง ภาพที่ 3.1 และ ภาพที่ 3.2



ภาพที่ 3.1 แผนภาพการเก็บตัวอย่างน้ำเสียคลองแสบแนวบ่อสมรรวม
ณ วันที่ 24 มีนาคม 2549



ภาพที่ 3.2 การเก็บน้ำตัวอย่างบริเวณด้านหลังโรงอาหารอาคารที่จอดรถ

หลังจากนั้นทำการกรองเอาเศษขยะและเศษใบไม้ออกก่อนที่จะทำการบรรจุในอุปกรณ์เก็บตัวอย่าง ซึ่งอุปกรณ์ที่ใช้เก็บน้ำตัวอย่างคือ ขวดโพลีเอธิลีน ที่สะอาดและมีฝ่าเกลี่ยวนิปดสนิท ดังภาพที่ 3.3



ภาพที่ 3.3 ขวดเก็บน้ำตัวอย่าง (โพลีเอธิลลีน) มีฝาเกลี่ยบปิด

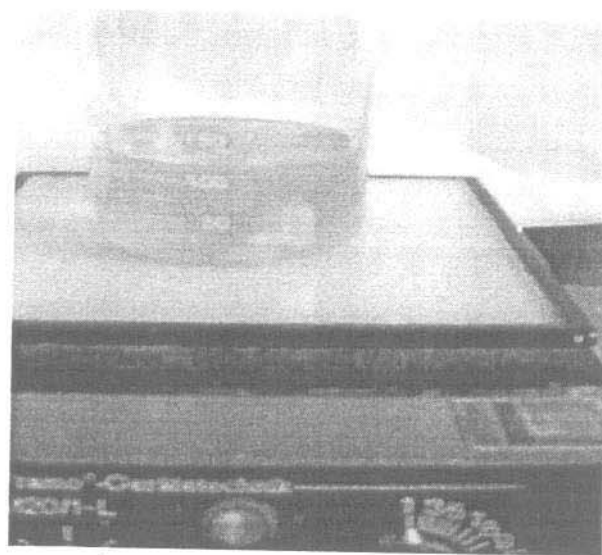
3.2 วิธีการทดลอง

3.2.1 ทดสอบน้ำก่อนการบำบัด

โดยจะทำการศึกษาคุณภาพน้ำด้านกายภาพด้วยการวัดค่าความเป็นกรด - ด่าง (pH) อุณหภูมิ (Temperature) และ ความขุ่น (Turbidity)

3.2.2 ทดสอบน้ำโดยประยุกต์ใช้หลักการจาร์เรส

โดยนำตัวอย่างน้ำเสียที่ต้องการทดสอบมาเติมสารเคมีเพื่อช่วยเพิ่มประสิทธิภาพการรวมกลุ่มตะกอนในปริมาณและชนิดของสารเคมีที่แตกต่างกันและให้น้ำเสียดังกล่าวผ่านขบวนการกรองเร็ว-การแข็งด้วยเครื่องกรองสาร (Magnetic Stirrer) ดังภาพที่ 3.4



ภาพที่ 3.4 การงานซ้ำเมื่อเติม FeCl_3 ในด้วยอย่างน้ำเสีย

โดยค่า pH เริ่มต้นที่เหมาะสมทั้งหมด 3 ค่า ได้แก่ ค่า pH ของสารส้ม และ Cationic Polyelectrolyte คือ pH เท่ากับ 6,7 และ 8 ทั้งนี้มีผู้ได้ศึกษาเกี่ยวกับ pH ที่เหมาะสมสำหรับการตอกตะกอนไว้ ดังนี้

Amirtharajah และ Mill (1982 อ้างถึงใน พรศักดิ์ สมรไกรสรกิจ, 2548: 8) กล่าวว่าสารส้ม จะตอกตะกอนและทำปฏิกิริยากับ colloidal ในน้ำได้ดีในช่วงสภาวะพีเอช คือ 6.8 – 8.2

มั่นสิน ดันทุลเวศน์ (2537: 181) กล่าวว่า pH ที่เหมาะสมในการตอกตะกอนด้วยสารส้ม คือ ช่วง 6 - 7

Koprivanac และคณะ (1993 อ้างถึงใน พรศักดิ์ สมรไกรสรกิจ, 2548: 14) ได้ทำการทดลองเพื่อบำบัดน้ำเสียจากโรงงานผลิตสีโดยใช้โพลีเมอร์ประจุบวก พบร่ว่า ช่วง pH ที่เหมาะสม ในการตอกตะกอนของสาร โพลีเมอร์ประจุบวก คือ 6.0 - 7.0

สำหรับเฟอร์ริคลอไรด์ จะทำการทดลองที่ pH เท่ากับ 8, 9 และ 10 โดยมีผู้ศึกษา เกี่ยวกับ pH ที่เหมาะสมในการตอกตะกอนของเฟอร์ริคลอไรด์ ไว้ดังนี้

วิโรจน์ ทรัพย์สัตย์ (2544: 74) ได้ศึกษาการใช้เฟอร์ริคลอไรด์ในการบำบัดความชุ่นในน้ำดิบ ที่มีค่าความชุ่นเริ่มต้น 11.09 NTU จนถึง ความชุ่นสูงสุดเท่ากับ 44.20 NTU พบร่ว่าช่วง pH ของเฟอร์ริคลอไรด์ เท่ากับ 7.0 – 9.5 ให้ประสิทธิภาพการบำบัดความชุ่นและตอกตะกอนได้ดี พอยู่ กัน

มั่นสิน ดันทุลเวศน์ (2537: 181) กล่าวว่า pH ที่เหมาะสมในการตอกตะกอนด้วยเฟอร์ริคลอไรด์ คือ ช่วง pH 5 - 7

Lenntech (2006: 1) กล่าวว่าช่วง pH ที่เหมาะสมในการควบคุมกระบวนการโดยแยก เกลเซ็น-ฟลีอคคูลเซ็น ด้วย Fe^{3+} คือ pH ควรมากกว่า 5

สำหรับ Micronized Chitosan ทดลองที่ pH เท่ากับ 4, 5 และ 6 ตามลำดับ โดยมีผู้ศึกษา เกี่ยวกับ pH ที่เหมาะสมในการตัดตอนของ Micronized Chitosan ดังนี้

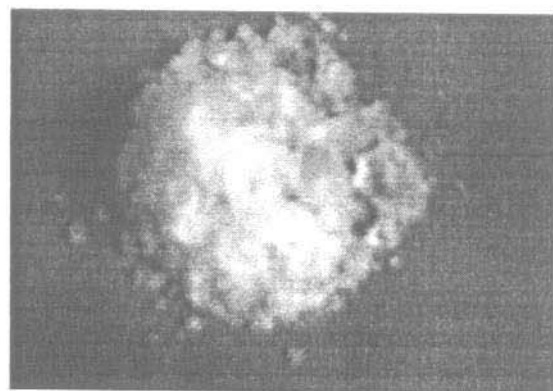
Roussy และคณะ (2005: บทคัดย่อ) กล่าวไว้ว่า Micronized Chitosan จะเกิดการรวม ตะกอนได้ดีที่ pH ช่วงต่ำและได้ทำการศึกษาการใช้ Micronized Chitosan บำบัดน้ำเสียที่ปนเปื้อน หมึกพิมพ์ พบร่วมกับ pH 5 ความเข้มข้นใกล้กับ 20 มิลลิกรัมต่อลิตร ให้ประสิทธิภาพการบำบัดสูง ที่สุด

ส่วนค่าความเข้มข้น (mg/l) ของสารรวมตะกอนแต่ละชนิดแยกเป็น สารสัมเท่ากับ 500 800 และ 1,000 mg/l เพื่อรีบคลอไรด์เท่ากับ 300 500 และ 700 mg/l, Micronized Chitosan มีค่าความเข้มข้นที่ใช้ในการทดลองคือ 60 80 และ 100 mg/l และ Cationic- Polyelectrolyte ทดลองที่ค่าความเข้มข้น เท่ากับ 0.3 0.5 และ 0.7 mg/l

การที่ใช้ช่วง pH แตกต่างกันในการทดลองของสารรวมตะกอนแต่ละชนิด เนื่องจากสาร รวมตะกอนแต่ละชนิดมีคุณสมบัติในการทำให้เกิดตะกอนได้ในสภาพ pH แตกต่างกันและ นอกเหนือไปจากค่า pH และ ค่าความเข้มข้นของสารรวมตะกอนเหล่านี้อ้างอิงต่อเนื่องจากการศึกษาเรื่อง การบำบัดน้ำเสียจากคลองแสลงและโดยวิธีการรวมกลุ่มตะกอนทางเคมี (กิตยา นันหมื่น, 2548: 75)

3.2.2.1 สารเคมีที่ใช้เป็นสารรวมตะกอน

1) สารสัม (Alum) มีสูตรทางเคมี คือ $Al_2(SO_4)_3 \cdot 14H_2O$ ชนิดใส - ผง จาก บริษัท เจมอน จำกัด ลักษณะทางกายภาพของสารสัมที่ใช้เป็นสารรวมตะกอนแสดงได้ ดังภาพที่ 3.5



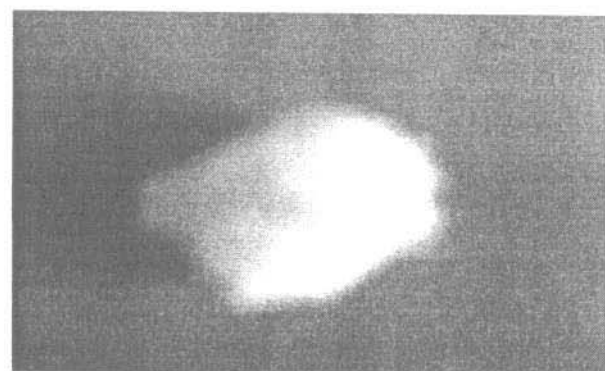
ภาพที่ 3.5 ลักษณะทางกายภาพของสารสัม (Alum)

2) เฟอริคคลอไรด์ ซึ่งมีสูตรทางเคมีคือ FeCl_3 จาก บริษัท Merck
ลักษณะทางกายภาพของเฟอริคคลอไรด์แสดงได้ดัง ภาพที่ 3.6



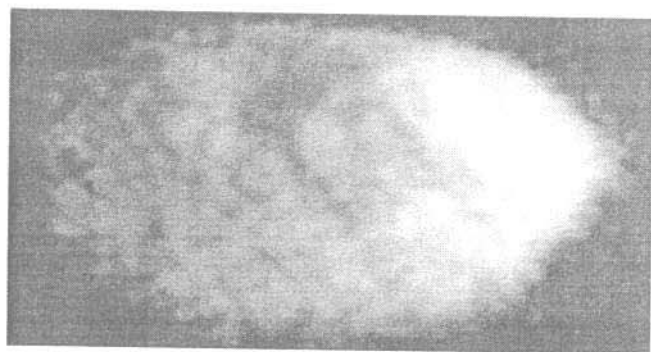
ภาพที่ 3.6 เฟอริคคลอไรด์จากบริษัท Merck

3) Cationic Polyelectrolyte จากบริษัท Nalco ชนิด OPTIMER 9916
(Dry Cationic Flocculant) มีส่วนประกอบเป็น Acrylamide Co-Polymer, High Cationic Charge
มีลักษณะทางกายภาพแสดงได้ดังภาพที่ 3.7



ภาพที่ 3.7 โพลีอิเล็กโทรไลท์ประจุบวก – OPTIMER 9916

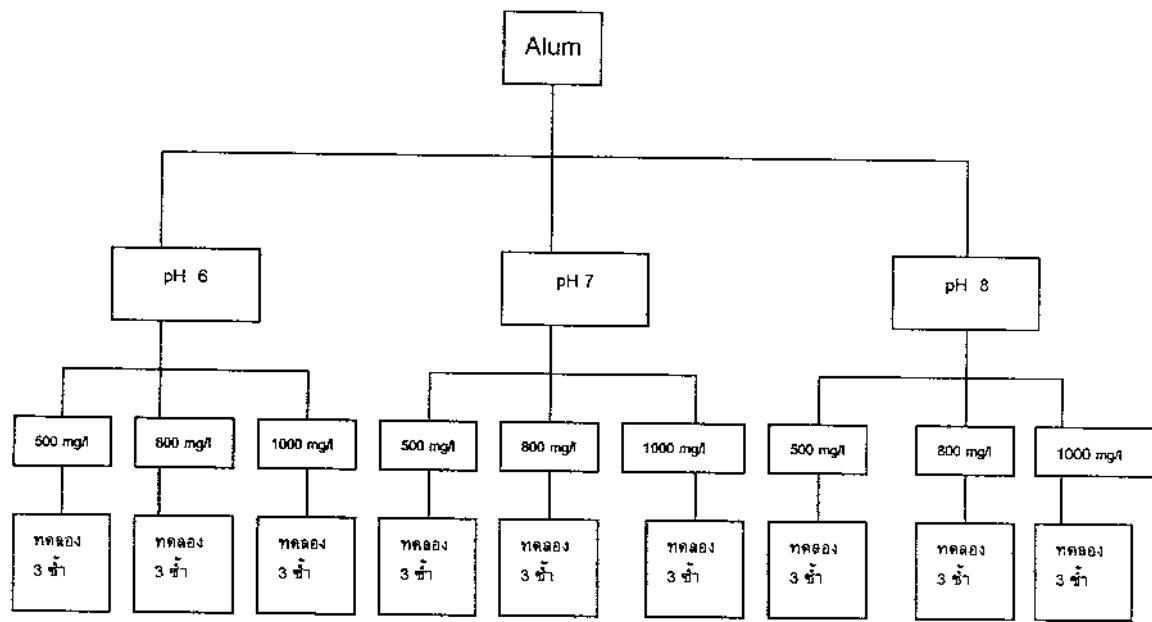
4) Micronized Chitosan จากบริษัท EL และ Corporation LTD. ชนิด Micronized Chitosan ผลิตจากกุ้งและเปลือกหอย ความชื้นสูงสุดร้อยละ 10 มีความหนืด (1% Solution / 1% Acid) เท่ากับ 50 cps, Deacetylation Degree เท่ากับ 90% \pm 5 มีลักษณะทางกายภาพแสดงได้ดังภาพที่ 3.8



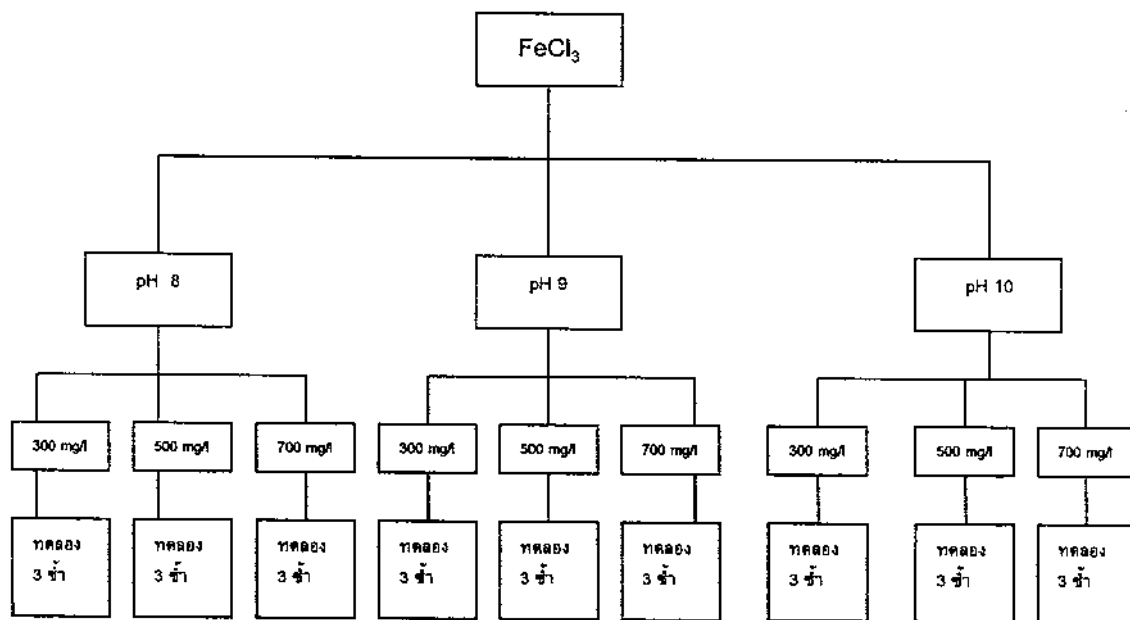
ภาพที่ 3.8 ลักษณะทางกายภาพของ Micronized Chitosan

3.2.3 การตอกตะกอน

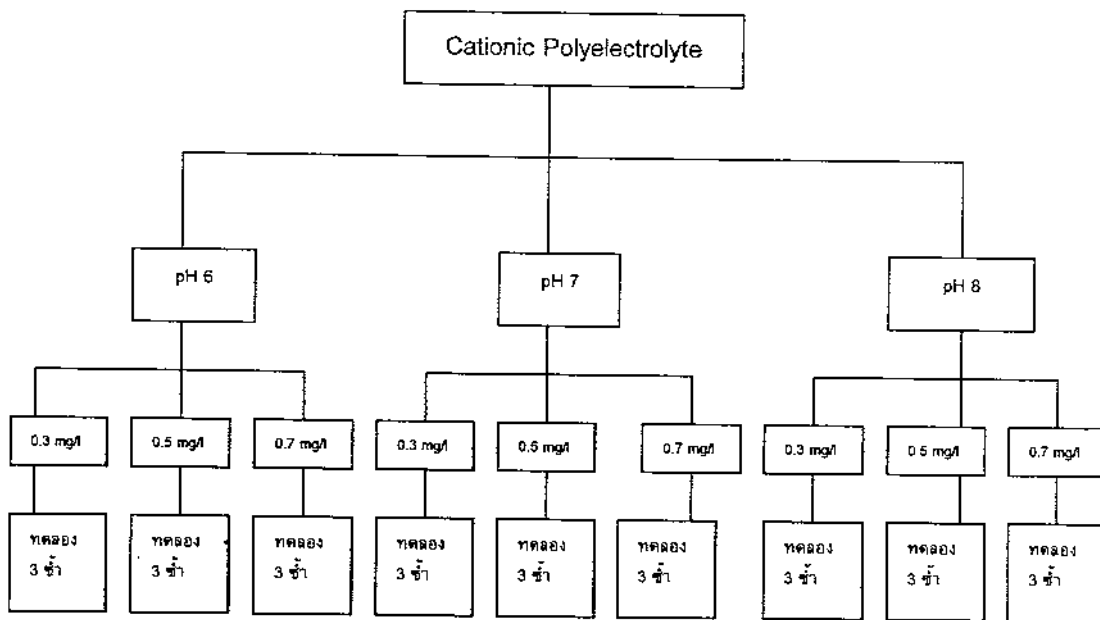
เมื่อทำการเดิมสารรวมตะกอนและผ่านการกรองแล้ว ตามข้อ 3.2.2 จากนั้น ทิ้งให้ตอกตะกอนและทำการจับเวลาเพื่อหาอัตราเร็วในการตอกตะกอนและปริมาณกากรตอกตะกอนที่เกิดขึ้นและนำส่วนที่สองมาตรวจสอบคุณภาพโดยเลือกมาเพียงพารามิเตอร์เดียวคือ ความชุ่น (Turbidity) โดยใช้แผนกราฟทดลองที่กำหนด ดังแผนภาพในภาพที่ 3.10 - 3.13 ซึ่ง ความหมายของแผนภารทดลอง แสดงได้ดัง ภาพที่ 3.9



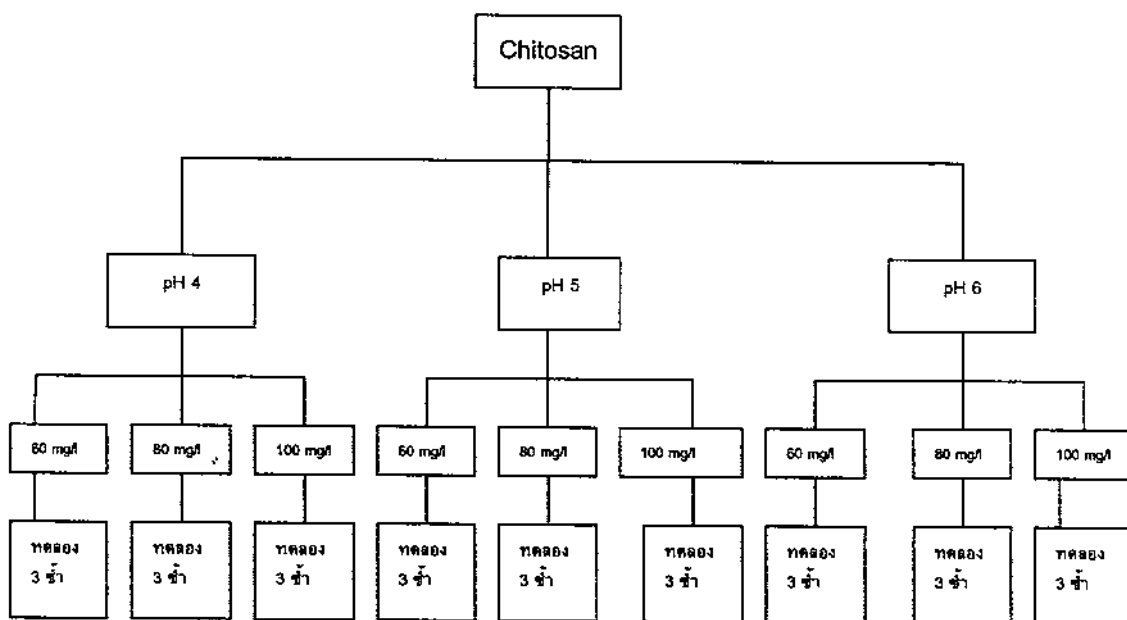
ภาพที่ 3.9 แผนภาพการทดลองเมื่อใช้สารสัมเป็นสารรวมตะกอน



ภาพที่ 3.10 แผนภาพการทดลองเมื่อใช้ FeCl_3 เป็นสารรวมตะกอน



ภาพที่ 3.11 แผนภาพการทดลองเมื่อใช้ Cationic Polyelectrolyte เป็นสารรวมตะกอน

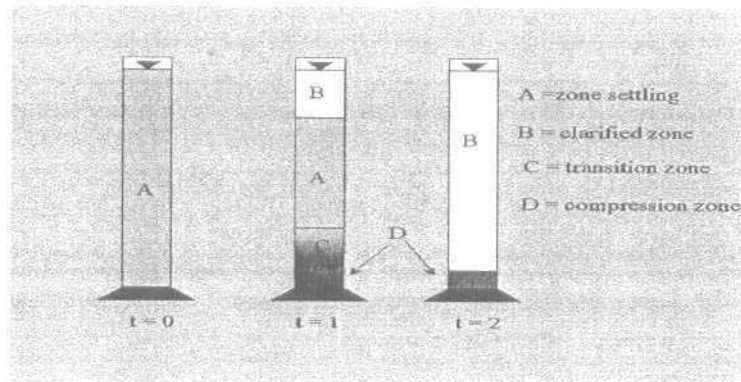


ภาพที่ 3.12 แผนภาพการทดลองเมื่อใช้ Micronized Chitosan เป็นสารรวมตะกอน

3.2.4 การทดสอบหาค่าอัตราเร็วในการแตกตะกอนและวัดปริมาณการตะกอน

3.2.4 การทดสอบหาค่าอัตราเร็วในการตกตะกอนและวัดปริมาณหากตะกอน

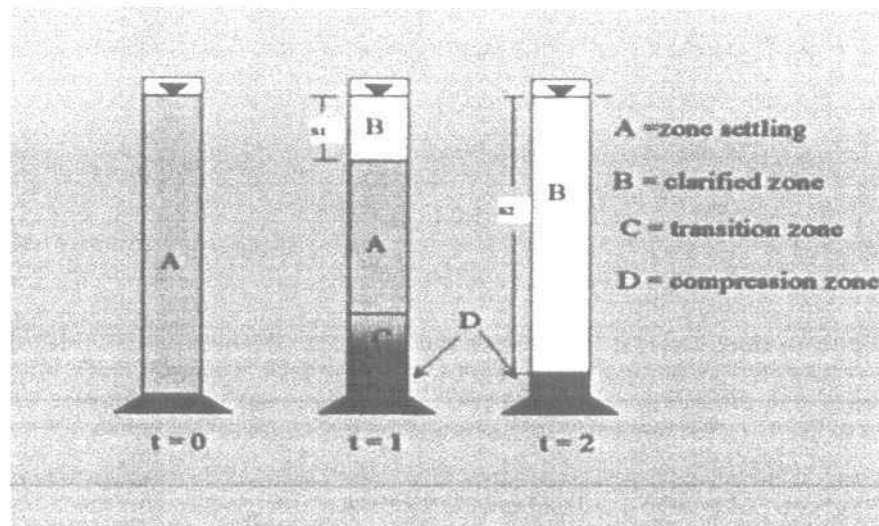
การทดสอบเพื่อหาค่าอัตราเร็วในการตกตะกอนและหาปริมาณหากตะกอนที่เกิดขึ้นภายหลังการเติมสารรวมตะกอนที่ความเข้มข้นและที่สูงกว่าความเป็นกรด - ด่างที่แตกต่างกัน ณ เวลา 60 นาที โดยตัวอย่างของลักษณะการตกตะกอนและบริเวณหากตะกอนในระบบอกรดวิงในการทดสอบ แสดงได้ดังภาพที่ 3.13



ภาพที่ 3.13 ลักษณะการตกตะกอนในระบบอกรดวิง

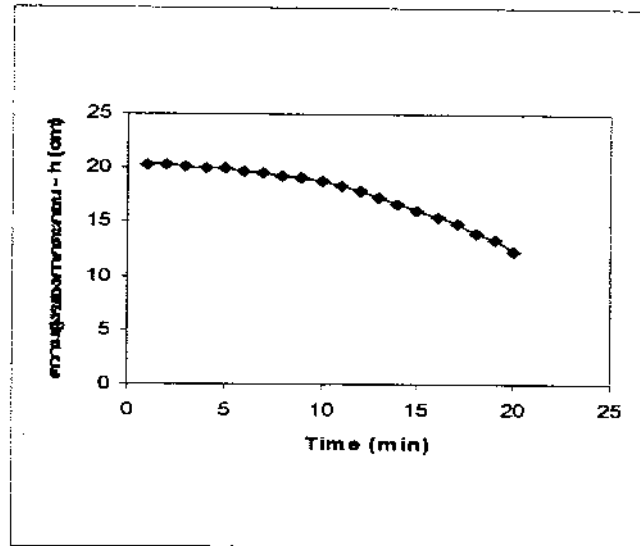
3.2.4.1 การหาค่าอัตราเร็วการตกตะกอน

จะได้ค่าของเวลาที่ตกตะกอน (t) และความสูงของปริมาณหากตะกอน (h) หรือระยะทางที่ตะกอนเคลื่อนที่ไป (s) แสดงในภาพที่ 3.14

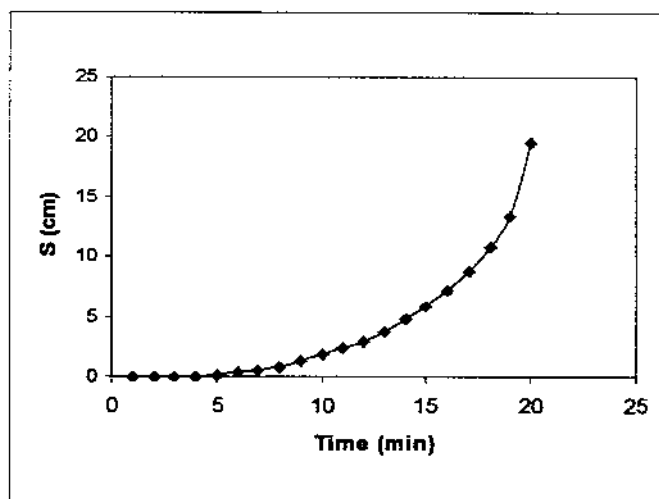


ภาพที่ 3.14 ระยะทางที่ตะกอนเคลื่อนที่ไป (s_1 และ s_2)

เมื่อได้ข้อมูลของระยะทางที่ตะกอนเคลื่อนที่ไป (s) และเวลาในการดักตะกอน (t) แล้ว สามารถนำไปพิสูจน์กราฟได้ดังตัวอย่างกราฟใน ภาพที่ 3.15 หรือสามารถพิสูจน์กราฟระหว่างระยะทางที่ตะกอนเคลื่อนที่ไป (s) กับเวลาที่ใช้ในการเคลื่อนที่ (t) จะได้กราฟ ระหว่าง s กับ t ดังภาพที่ 3.16



ภาพที่ 3.15 กราฟระหว่างเวลาในการดักตะกอน (t) และความสูงของกาก (h)



ภาพที่ 3.16 กราฟแสดงระยะการเคลื่อนที่ของตะกอน (s) ต่อเวลา (t) ที่ใช้ในการเคลื่อนที่

และสามารถนำมาคำนวณหาอัตราเร็วได้ ดังสมการ

$$\text{อัตราเร็ว}(v) = \frac{\Delta h}{\Delta t} = \frac{\Delta s}{\Delta t} = \frac{s_2 - s_1}{t_2 - t_1}$$

โดยที่

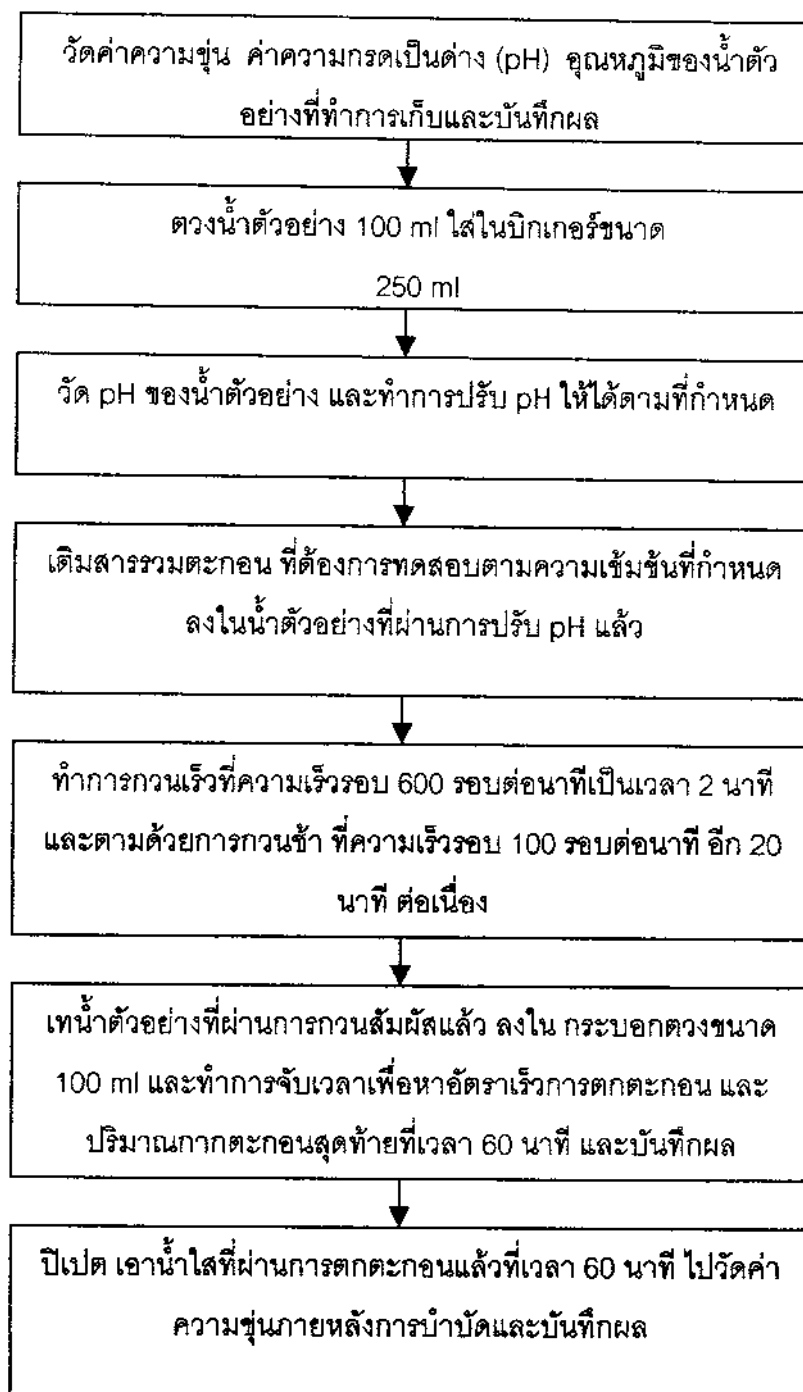
s_1 = ระยะทางการเคลื่อนที่ของภาคตะกอนตำแหน่งที่ 1

s_2 = ระยะทางการเคลื่อนที่ของภาคตะกอนตำแหน่งที่ 2

t_1 = เวลาที่ภาคตะกอนเคลื่อนที่ไปตำแหน่งที่ 1

t_2 = เวลาที่ภาคตะกอนเคลื่อนที่ไปตำแหน่งที่ 2

ซึ่งขั้นตอนการทดลองทั้งหมดสรุปได้ดังนี้



ภาพที่ 3.17 แผนภาพสรุปขั้นตอนการทดสอบ

3.3 การวิเคราะห์ค่าพารามิเตอร์

ตารางที่ 3.1 พารามิเตอร์และวิธีทดสอบ/เครื่องมือ

| พารามิเตอร์ | วิธีทดสอบ/เครื่องมือ | รุ่น |
|------------------------|----------------------|--------------------------|
| 1. ค่าความเป็นกรด-ด่าง | pH Miter | HANNA HI 98107 |
| 2. อุณหภูมิ | เทอร์โมมิเตอร์ | ปراอท/SM องศา 1/1 |
| 3. ความชุ่น | Turbidity Meter | 2100PTurbidimeter (HACH) |

3.4 วัสดุอุปกรณ์

3.4.1 การทำjar-test (Jar Test)

3.4.1.1 Magnetic Stirrer รุ่น Framo-M20/1 - L

3.4.1.2 กระบอกตวงขนาด 100 ml

3.4.1.3 บิกเกอร์ขนาด 250 ml

3.4.1.4 นาฬิกาจับเวลา

3.4.2 pH มิเตอร์

3.4.3 เครื่องมือวัดความชุ่น

3.4.4 เครื่องซั่งละเอียด

3.4.5 เครื่องแก้ว

3.4.6 สารละลายที่ใช้ในการปรับ pH ได้แก่ 0.1N NaOH และ 0.1N H₂SO₄

3.4.7 สารเคมี ได้แก่

3.4.7.1 สารสัมประสิมาณ 7 กรัม

3.4.7.2 เพอร์คคลอไรด์ประมาณ 4.5 กรัม

3.4.7.3 Micronized Chitosan ปริมาตร 22 มิลลิลิตร

3.4.7.4 Cationic Polyelectrolyte ปริมาตร 1.5 มิลลิลิตร

3.5 การวิเคราะห์ข้อมูล

ในการวิเคราะห์ข้อมูลการศึกษาทดลองครั้งนี้ แบ่งได้ดังนี้

3.5.1 รวมรวมข้อมูลที่ได้จากการทดลองแล้วนำมาหาค่าเฉลี่ย (Mean) และ ส่วนเบี่ยงเบนมาตรฐาน (Standard Deviation) และนำมาคำนวณความสัมพันธ์โดยการพล็อตกราฟ และ Scatterplot เพื่อหาจุดเด焉ะสมของแต่ละปัจจัยที่ทำการทดสอบ

3.5.2 การวิเคราะห์ข้อมูลเปรียบเทียบค่าความชุ่นหลังผ่านการบำบัดและอัตราเรื้อง การทดลองเหลี่ยจากการใช้สารรวมตระกอนแต่ละชนิดโดยใช้โปรแกรมวิเคราะห์สำเร็จรูป SPSS Version 13 สถิติวิเคราะห์ความแปรปรวน (Analysis of Variance, ANOVA) ปริมาณ กากตะกอน ใช้สถิติวิเคราะห์ Friedman Test – Test for Several Related Sample

บทที่ 4

ผลการทดลองและอภิปรายผล

ผลการทดลองการศึกษาอัตราเร็วในการตกรดตะกอนและปริมาณหากตะกอนภายหลังการบำบัดด้วยน้ำเสียคลองแสนแสบด้วยวิธีการรวมกลุ่มตะกอนทางเคมี ใช้สารรวมตะกอน (Coagulants) แต่ละชนิดได้แก่ สารส้ม (Alum), เฟอริคคลอไรต์ (FeCl_3), โพลีอิเล็กโตรไอล์ฟ์ ประจุบวก (Cationic Polyelectrolyte) จากบริษัท Nalco (OPTIMER 9916) และ Micronized Chitosan จากบริษัท ELAND Corporation ในการตกรดตะกอนด้วยน้ำเสียจากคลองแสนแสบ โดยด้วยน้ำเสียคลองแสนแสบที่ศึกษาเป็นน้ำด้วยน้ำเสียจากคลองแสนแสบ โดยด้วยน้ำเสียคลองแสนแสบที่ศึกษาเป็นน้ำด้วยน้ำเสียจากด้านหลังโรงพยาบาลที่จังหวัดราชบุรีในสถาบันบัณฑิตพัฒนบริหารศาสตร์ ซึ่งทำการเก็บ ณ วันที่ 24 มีนาคม 2549

การทดลองนี้เป็นการทดลองในห้องปฏิบัติการที่อุณหภูมิห้อง ($30 \pm 2^\circ\text{C}$) เพื่อศึกษาประสิทธิภาพการรวมกลุ่มตะกอนของสารเคมีแต่ละชนิดโดยวิธีโคแยกกุเลชั่น ซึ่งพิจารณาจาก การบำบัดความ浑浊 (Turbidity Removal) อัตราเร็วในการตกรดตะกอน (Flocculant Settling) และ ปริมาณหากตะกอน (Wet Sludge Volume) เป็นวัตถุประสงค์หลัก โดยในแต่ละสารรวมตะกอน ที่ทำการทดลอง ได้ทำการทดลองในช่วงสภาวะความเป็นกรดเป็นด่าง (pH) และความเข้มข้น ที่แตกต่างกัน ได้แก่

สารส้ม ทดลองที่ pH 6.7 และ 8 ความเข้มข้นของสารส้มเท่ากับ 500, 800 และ 1,000 มิลลิกรัมต่อลิตร โดย Amirtharajah and Mill (1982 ยังถึงใน พระศักดิ์ สมรไกรสรกิจ, 2548: 8) กล่าวว่าสารส้มจะตกรดตะกอนและทำปฏิกิริยากับคลอロอยด์ในน้ำได้ดีในช่วงสภาวะ pH คือ ช่วง 6.8 – 8.2

สำหรับเฟอริคคลอไรต์ ทดลองที่ pH 8, 9 และ 10 ความเข้มข้นของสารเฟอริคคลอไรต์ เท่ากับ 300, 500 และ 700 มิลลิกรัมต่อลิตร โดย Lenntech (2006: 1) กล่าวว่าช่วง pH ที่เหมาะสมในการควบคุมกระบวนการโคแยกกุเลชั่น-ฟล็อกคุเลชั่นด้วยเฟอริคคลอไรต์ คือ ความต่ำ pH มากกว่า 5 เมื่อเดิม Cationic Polyelectrolyte ทำการทดลองที่ pH 6, 7 และ 8 ความเข้มข้น ของ Cationic Polyelectrolyte เท่ากับ 0.3, 0.5 และ 0.7 มิลลิกรัมต่อลิตร โดย Koprivanac และคณะ (1993 ยังถึงใน พระศักดิ์ สมรไกรสรกิจ, 2548: 14) ได้ทำการทดลองเพื่อบำดันน้ำเสียจากโรงงาน

ผลิตสีโดยใช้โพลีเมอร์ประจุบวก พบว่า ช่วง pH ที่เหมาะสมในการตอกตะกอนของสารโพลีเมอร์ประจุบวก คือ 6.0 -7.0 เมื่อเติม Micronized Chitosan ทดลองที่ pH 4, 5 และ 6 ความเข้มข้นของ Micronized Chitosan เท่ากับ 60, 80 และ 100 มิลลิกรัมต่อลิตร ตามลำดับ โดย Roussy และคณะ (2005: บทคัดย่อ) กล่าวไว้ว่า Micronized Chitosan จะเกิดการรวมตะกอนได้ดีที่ช่วง pH ต่ำและได้ทำการศึกษาการใช้ Micronized Chitosan บำบัดน้ำเสียที่ปนเปื้อนหมึกพิมพ์ พบว่า ที่ pH 5 ความเข้มข้นใกล้กับ 20 มิลลิกรัมต่อลิตร ให้ประสิทธิภาพการบำบัดสีที่ดีที่สุดและเนื่องจากการศึกษาวิจัยชุดนี้เป็นการทดลองต่อเนื่องจากงานวิจัยเรื่อง การบำบัดน้ำเสียจากคลองแสนแสบโดยวิธีการรวมกลุ่มตะกอนทางเคมี (ทิตยา นันหมื่น, 2548: 75) จึงได้มีการอ้างอิงค่า pH และความเข้มข้นของสารรวมตะกอนในการทดลองต่อเนื่องจากงานวิจัยชุดดังกล่าวโดยทำการทดลองซ้ำ 3 ครั้ง ในแต่ละสภาวะ pH และความเข้มข้นต่างๆ ดังแผนการทดลองใน ภาพที่ 3.9 – 3.12

4.1 คุณลักษณะของน้ำเสีย

ลักษณะของน้ำเสียที่ใช้ในการทดลองครั้งนี้เป็นน้ำเสียจากคลองแสนแสบด้านหลังโรงพยาบาลที่จังหวัด สถาบันบัณฑิตพัฒนบริหารศาสตร์ ซึ่งทำการเก็บโดยวิธีผสานรวมมีลักษณะทางกายภาพของน้ำเสียที่นำมาใช้ในการทดลองดังภาพที่ 4.1 และ ผู้วิจัยได้ทำการวัดคุณลักษณะของน้ำเสียแต่ละพารามิเตอร์ ได้แก่ pH, ความขุ่น, และ อุณหภูมิ โดยวัด 3 ชั้น แล้วจึงหาค่าเฉลี่ย ซึ่งคุณลักษณะของน้ำเสียก่อนการทดลองแสดงผลได้ดังตารางที่ 4.1



ภาพที่ 4.1 ลักษณะทางกายภาพของตัวอย่างน้ำเสียคลองแสนแสบ

ตารางที่ 4.1 คุณลักษณะของน้ำเสียก่อนบำบัด

| พารามิเตอร์ | ค่าต่ำสุด (Min) | ค่าสูงสุด (Max) | ค่าเฉลี่ย (Mean) | ส่วนเบี่ยงเบน มาตรฐาน (S.D) |
|-----------------------------|--------------------|--------------------|---------------------|-----------------------------------|
| 1. ค่าความเป็นกรด-ด่าง (pH) | 7.50 | 7.80 | 7.60 | 0.146 |
| 2. ค่าความชุ่น (Turbidity) | 7.90 | 8.34 | 8.08 | 0.194 |
| 3. อุณหภูมิ (Temperature) | 27.00 | 32.00 | 29.81 | 2.044 |

4.2 ประสิทธิภาพการบำบัดความชุ่น

ประสิทธิภาพการบำบัดความชุ่นของสารรวมตะกอนแต่ละชนิดวัดในรูปของร้อยละการบำบัดความชุ่นที่สภาวะต่างๆ มีสูตรคำนวณดังนี้

$$\% \text{ Turbidity Removal} = \frac{(T_1 - T_2)}{T_1} \times 100$$

โดย T_1 = ความชุ่นก่อนบำบัด

T_2 = ความชุ่นหลังบำบัด

โดยสามารถใช้บายผลการทดลองได้ดังต่อไปนี้

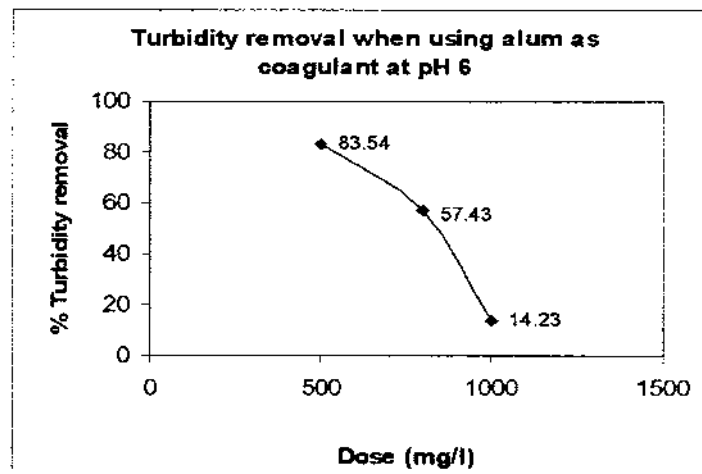
4.2.1 ประสิทธิภาพการบำบัดความชุ่นออกจากตัวอย่างน้ำเสียคลองแสนแสบ (Turbidity Removal) เมื่อใช้สารสัม (Alum) เป็นสารรวมตะกอนภายหลังประยุกต์ใช้หลักการจาร์เกส์

ประสิทธิภาพการบำบัดความชุ่นออกจากตัวอย่างน้ำเสียคลองแสนแสบ (Turbidity Removal) เมื่อใช้สารสัม (Alum) เป็นสารรวมตะกอนภายหลังประยุกต์ใช้หลักการจาร์เกส์ และแสดงผลได้ดังตารางที่ 4.2

ตารางที่ 4.2 ประสิทธิภาพการบำบัดความชุ่นเมื่อใช้สารสัม (Alum) เป็นสารรวมตะกอนที่ปัจจัย pH แตกต่างกัน

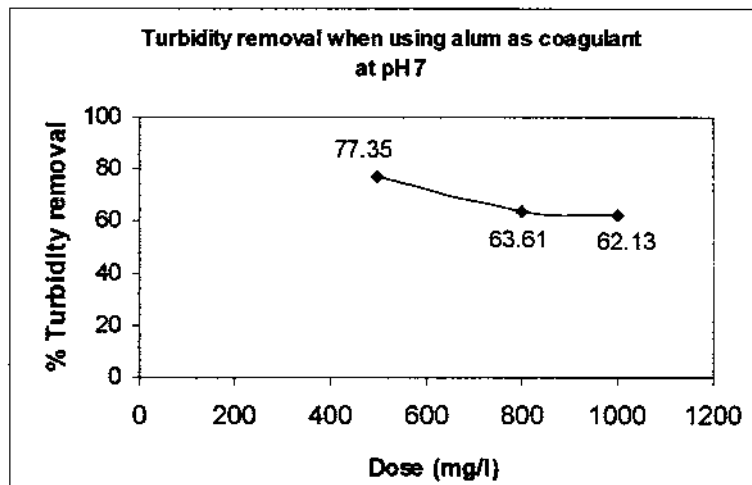
| สารรวมตะกอน (Coagulant) | ความเข้มข้นของสารรวมตะกอน (Dose) (mg/l) | pH | pH หลังบำบัด | ความชุ่นก่อนบำบัด (Turbidity Before Treated) (NTU) | ความชุ่นหลังบำบัด (Turbidity After Treated) (NTU) | ประสิทธิภาพการบำบัด (Turbidity Removal) (%) |
|-------------------------|---|------|--------------|--|---|---|
| สารสัม (Alum) | 500 | 4.20 | | 1.333 | 83.54 | |
| | 800 | 6 | 4.00 | 3.440 | 57.43 | |
| | 1000 | | 4.00 | 6.933 | 14.23 | |
| | | 500 | 6.07 | 1.830 | 77.35 | |
| | | 800 | 4.33 | 8.08 | 2.940 | 63.61 |
| | | 1000 | 4.06 | | 3.060 | 62.13 |
| | | 500 | 6.77 | 2.097 | 74.04 | |
| | | 800 | 5.90 | 8.08 | 2.403 | 70.29 |
| | | 1000 | 4.13 | | 3.633 | 55.07 |

จากตารางที่ 4.2 พบว่าที่ pH 6 ความเข้มข้น 500 มิลลิกรัมต่อลิตร มีประสิทธิภาพการบำบัดความชุ่นสูงสุดเท่ากับ ร้อยละ 83.54 ที่ pH 7 ความเข้มข้น 500 มิลลิกรัมต่อลิตร ประสิทธิภาพการบำบัดความชุ่นสูงสุดเท่ากับ ร้อยละ 77.35 และที่ pH 8 ความเข้มข้น 500 มิลลิกรัมต่อลิตร มีประสิทธิภาพการบำบัดความชุ่นสูงสุดเท่ากับ ร้อยละ 74.04



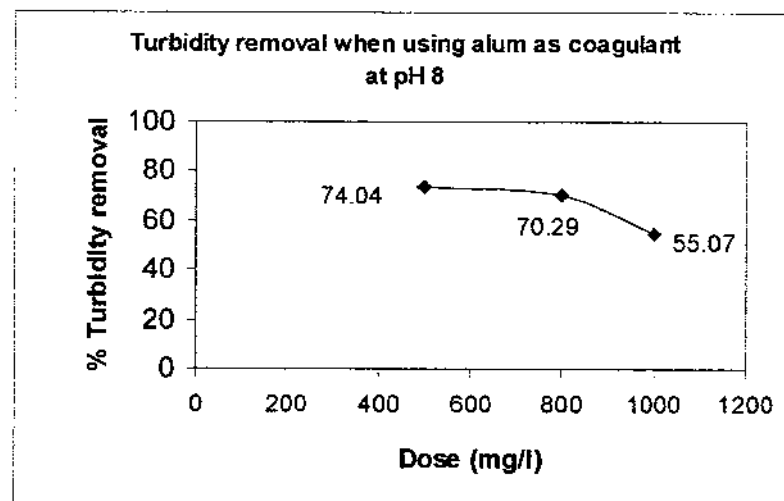
ภาพที่ 4.2 ประสิทธิภาพการบำบัดความชุ่นเมื่อใช้สารสัมเป็นสารรวมตะกอนที่ pH 6

จากภาพที่ 4.2 พบร่วมกับ pH 6 ประสิทธิภาพการบำบัดความชุ่นจะลดลงอย่างต่อเนื่อง เมื่อความเข้มข้นของสารสัมเพิ่มขึ้นจาก 500 เป็น 800 และ 1,000 มิลลิกรัมต่อลิตร ตามลำดับ โดยมีประสิทธิภาพการบำบัดความชุ่นเท่ากับ ร้อยละ 83.54, 57.43 และ 14.23 ตามลำดับ



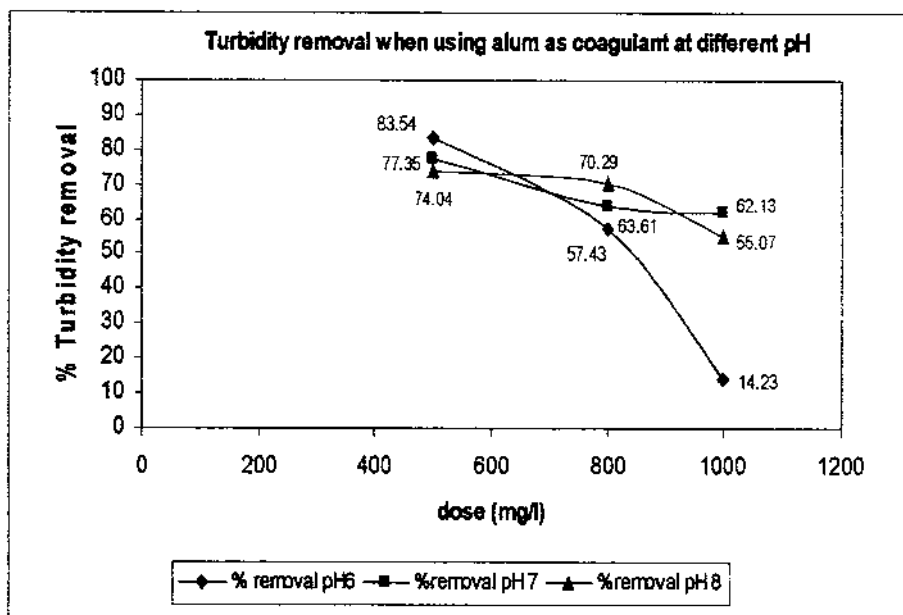
ภาพที่ 4.3 ประสิทธิภาพการบำบัดความชุ่นเมื่อใช้สารสัมเป็นสารรวมตะกอนที่ pH 7

จากภาพที่ 4.3 พบร่วมกับ pH 7 ประสิทธิภาพการบำบัดความชุ่นจะลดลงเมื่อความเข้มข้นของสารสัมเพิ่มขึ้นจาก 500 เป็น 800 โดยมีประสิทธิภาพการบำบัดความชุ่นเท่ากับ ร้อยละ 77.35 และ 63.61 ตามลำดับ และเมื่อความเข้มข้นเพิ่มเป็น 1,000 มิลลิกรัมต่อลิตร ประสิทธิภาพการบำบัดความชุ่นลดลงเพียงเล็กน้อยหรืออาจกล่าวได้ว่าไม่เปลี่ยนแปลง คือ ร้อยละ 62.13



ภาพที่ 4.4 ประสิทธิภาพการนำบัดความขุ่นเมื่อใช้สารสัมเป็นสารรวมตะกอนที่ pH 8

จากภาพที่ 4.4 พบว่าที่ pH 8 ประสิทธิภาพการนำบัดความขุ่นจะลดลงเมื่อความเข้มข้นของสารสัมเพิมขึ้นจาก 500 เป็น 800 และ 1,000 มิลลิกรัมต่อลิตร ตามลำดับ โดยมีประสิทธิภาพการนำบัดความขุ่นเท่ากับ ร้อยละ 74.04, 70.29 และ 55.07 ตามลำดับ



ภาพที่ 4.5 เปรียบเทียบประสิทธิภาพการนำบัดความขุ่นที่ pH แตกต่าง

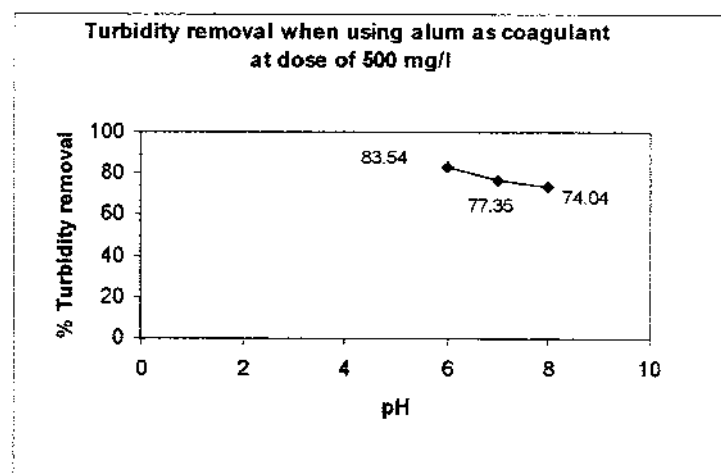
จากภาพที่ 4.5 เมื่อพิจารณาประสิทธิภาพในการบำบัดความชุ่นในด้วยป่าสีคอลอง แสนแสบ ซึ่งมีค่าความชุ่นก่อนการบำบัดเท่ากับ 8.08 NTU ดังตารางที่ 4.2 พบว่าในทุกๆ ค่า pH ได้แก่ 6 7 และ 8 ประสิทธิภาพในการบำบัดความชุ่นมีแนวโน้มลดลงเมื่อปริมาณสารสัมหรือความเข้มข้นของสารสัมเพิ่มขึ้นจากเริ่มต้น 500 เป็น 800 และ 1,000 มิลลิกรัมต่อลิตร ตามลำดับ

เมื่อพิจารณาที่ปัจจัยความเข้มข้นแตกต่างกันผลการทดลองสามารถอธิบายได้ดังตารางที่ 4.3 และ ภาพที่ 4.6 ภาพที่ 4.8 ต่อไปนี้

ตารางที่ 4.3 ประสิทธิภาพการบำบัดความชุ่นเมื่อใช้สารสัม (Alum) เป็นสารรวมตะกอนที่ปัจจัยความเข้มข้นแตกต่างกัน

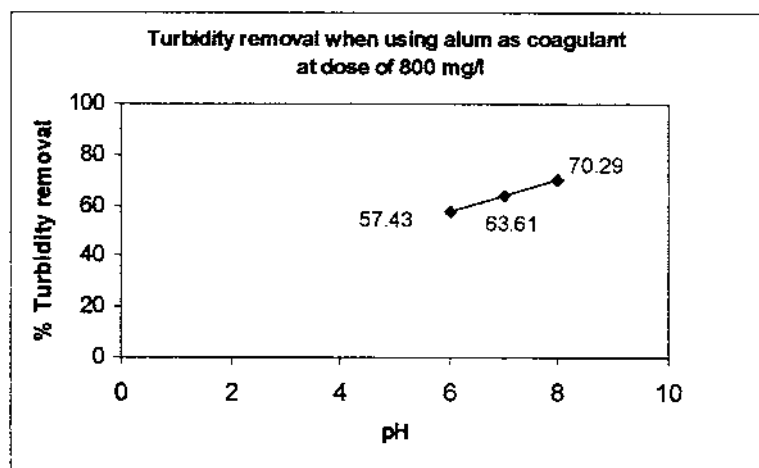
| สารรวมตะกอน (Coagulant) | ความเข้มข้น (Dose) (mg/l) | pH ของสารรวมตะกอน | pH หลังบำบัด | ความชุ่นก่อนบำบัด (Turbidity Before Treated) (NTU) | ความชุ่นหลังบำบัด (Turbidity After Treated) (NTU) | ประสิทธิภาพการบำบัด (Turbidity Removal) (%) |
|-------------------------|------------------------------|----------------------|-----------------|--|---|---|
| สารสัม (Alum) | 500 | 6 | 4.20 | 1.333 | 1.830 | 83.54 |
| | | 7 | 6.07 | | | |
| | | 8 | 6.77 | | 2.079 | 74.04 |
| | 800 | 6 | 4.00 | 3.440 | 2.940 | 57.43 |
| | | 7 | 4.33 | | | |
| | | 8 | 5.90 | | 2.403 | 70.29 |
| | 1000 | 6 | 4.00 | 6.933 | 3.060 | 14.23 |
| | | 7 | 4.06 | | | |
| | | 8 | 4.13 | | 3.633 | 55.07 |

จากตารางที่ 4.3 พบว่าที่ความเข้มข้น 500 มิลลิกรัมต่อลิตร pH 6 มีประสิทธิภาพการบำบัดความชุ่นสูงสุดเท่ากับ ร้อยละ 83.54 ที่ความเข้มข้น 800 มิลลิกรัมต่อลิตร ให้ประสิทธิภาพการบำบัดสูงสุดที่ pH 8 เท่ากับ ร้อยละ 70.29 ส่วนที่ความเข้มข้น 1,000 มิลลิกรัมต่อลิตร ให้ประสิทธิภาพการบำบัดความชุ่นสูงสุดที่ pH 7 เท่ากับ ร้อยละ 62.13



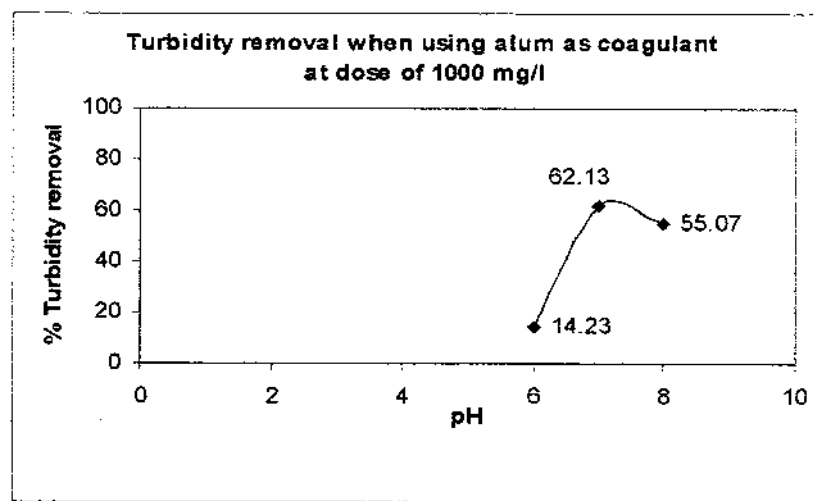
ภาพที่ 4.6 ประสิทธิภาพการบำบัดความชุ่นเมื่อใช้สารสัมเป็นสารรวมตะกอนที่ความเข้มข้น 500 มิลลิกรัมตอลิตร

จากภาพที่ 4.6 พบร้า ที่ความเข้มข้น 500 มิลลิกรัมตอลิตร ประสิทธิภาพการบำบัดความชุ่นลดลงอย่างต่อเนื่องเมื่อ pH เพิ่มขึ้นจาก 6 เป็น 7 และ 8 ตามลำดับ โดยมีประสิทธิภาพการบำบัดความชุ่นเท่ากับ ร้อยละ 83.54, 77.35 และ 74.04 ตามลำดับ



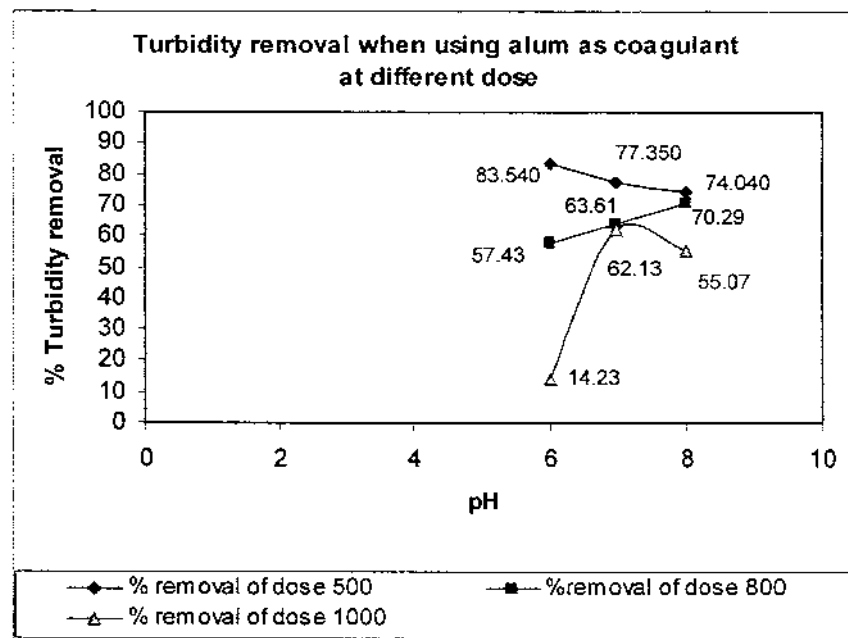
ภาพที่ 4.7 ประสิทธิภาพการบำบัดความชุ่นเมื่อใช้สารสัมเป็นสารรวมตะกอนที่ความเข้มข้น 800 มิลลิกรัมตอลิตร

จากภาพที่ 4.7 พบร้า ที่ความเข้มข้นของสารสัม 800 มิลลิกรัมตอลิตร ประสิทธิภาพการบำบัดความชุ่นเพิ่มขึ้นอย่างต่อเนื่องเมื่อค่า pH เพิ่มขึ้นเริ่มต้นจาก 6 เป็น 7 และ 8 ตามลำดับ โดยมีประสิทธิภาพการบำบัดความชุ่นเท่ากับ ร้อยละ 57.43, 63.61 และ 70.29 ตามลำดับ



ภาพที่ 4.8 ประสิทธิภาพการบ้าดความชุ่นเมื่อใช้สารสัมเป็นสารรวมตะกอนที่ความเข้มข้น 1,000 มิลลิกรัมต่อลิตร

จากภาพที่ 4.8 พบว่า ที่ความเข้มข้นของสารสัม 1,000 มิลลิกรัมต่อลิตร ประสิทธิภาพการบ้าดความชุ่นเพิ่มขึ้นเมื่อค่า pH เพิ่มขึ้นเริ่มต้นจาก 6 เป็น 7 โดยมีประสิทธิภาพการบ้าดความชุ่น ร้อยละ 14.23 และ 62.13 ตามลำดับ แต่ที่ pH 8 ประสิทธิภาพการบ้าดความชุ่นลดลงเป็น ร้อยละ 55.07



ภาพที่ 4.9 เปรียบเทียบประสิทธิภาพการบำบัดความ浑浊เมื่อใช้สารสัมเป็นสารรวมตะกอนที่ค่า pH แตกต่าง

จากภาพที่ 4.9 พนวจว่าที่ความเข้มข้น 500 มิลลิกรัมต่อลิตร ประสิทธิภาพการบำบัดความ浑浊มีแนวโน้มลดลงอย่างต่อเนื่องเมื่อ pH เพิ่มขึ้นจาก 6 เป็น 7 และ 8 ตามลำดับ ที่ความเข้มข้น 800 มิลลิกรัมต่อลิตร ประสิทธิภาพการบำบัดความ浑浊มีแนวโน้มสวนทางกันกับที่ความเข้มข้น 500 มิลลิกรัมต่อลิตร กล่าวคือ ประสิทธิภาพการบำบัดความ浑浊เพิ่มขึ้นอย่างต่อเนื่องเมื่อ pH เพิ่มขึ้น ส่วนที่ความเข้มข้น 1,000 มิลลิกรัมต่อลิตร ประสิทธิภาพการบำบัดความ浑浊เพิ่มขึ้นมากเมื่อ pH เพิ่มขึ้นจากเริ่มต้น 6 เป็น 7 แต่ประสิทธิภาพจะลดลงเมื่อ pH เพิ่มเป็น 8

เมื่อนำค่าประสิทธิภาพการบำบัดความ浑浊มาทดสอบทางสถิติโดยใช้ One Way Analysis of Variance เปรียบเทียบความแตกต่างของค่าความ浑浊ของด้วยกันที่มีความคล้ายคลึงกันทุกกลุ่ม (Within Group) พนวจว่าค่าความ浑浊ทั้งสามบำบัดไม่แตกต่างกันอย่างมีนัยสำคัญทางสถิติ ($P\text{-Value} > 0.05$) แต่มีแนวโน้มที่จะทำให้ค่าความ浑浊เปลี่ยนแปลงไป

ทั้งนี้โดยภาพรวมอธิบายได้ว่า ที่ทุก ๆ ค่า pH ความเข้มข้นของสารสัมจะมีผลต่อประสิทธิภาพการลดความ浑浊 ในลักษณะดังนี้คือ เมื่อเติมสารสัมในน้ำ สารสัมจะแตกตัวให้ไอออนบวกและลบดังปฏิกิริยา $\text{Al}_2(\text{SO}_4)_3 \longrightarrow 2\text{Al}^{+3} + 3\text{SO}_4^{-2}$ หลังจากนั้นอะลูมิเนียมไอออนจาก $\text{Al}_2(\text{SO}_4)_3$ จะถูกล้อมรอบด้วยโมเลกุลของน้ำได้ $\text{Al}(\text{H}_2\text{O})_6^{+3}$ หรือ Al^{+3} ปฏิกิริยาไฮโดรไลซิสของ Al^{+3} จะเกิดขึ้นทันทีโดยไฮడ্রօքานเดชันิดต่างๆที่อยู่ในน้ำ โดยเฉพาะอย่างยิ่ง OH^- จะเข้าแทนที่

ไม่เลกุลของน้ำเกิดเป็นสารประกอบเชิงช้อนระหว่างอโซมิเนียมกับไฮดรอกไซด์ไอออน เช่น $\text{Al}_7(\text{OH})_{17}^{+4}$, $\text{Al}(\text{OH})_2^+$ และปฏิกิริยาไฮโดรไลซิสจะดำเนินต่อไปจนได้ผลของปฏิกิริยาสุดท้าย เป็นผลึก $\text{Al}(\text{OH})_3$ ดังปฏิกิริยา $\text{Al}^{+3} + 3\text{H}_2\text{O} \longrightarrow \text{Al}(\text{OH})_3$ เมื่อเติมปริมาณสารสัมมาก พ่อจะทำให้ผลึก $\text{Al}(\text{OH})_3$ ซึ่งมีลักษณะเหมือนยาสามารถห่อหุ้มอนุภาคและทำให้ผิวของอนุภาคมี ความเหนียวแน่นไม่แสดงอิทธิพลทางประจุไฟฟ้า $\text{Al}(\text{OH})_3$ จึงทำหน้าที่สร้างเป้าสัมผัสอนุภาค คอลลอยด์จนมีขนาดใหญ่และสามารถตกลงลงมาได้เอง (พระศักดิ์ สมรไกรสารกิจ, 2548: 6 - 7) จากผลการทดลองพบว่าที่ทุกๆ สภาวะ pH เมื่อความเข้มข้นของสารสัมเพิมขึ้นจะทำให้ประสิทธิภาพ การบัดดความชุนลดลง สันนิษฐานได้ว่า เนื่องจากปริมาณของสารสร้างตะกอนมีจำนวนมาก ก็เป็นไปหรืออาจจะเรียกว่าความเข้มข้นของสารสัมเพิมอย่างน้ำเสียมากเกินจุด Optimum (Over Optimum Dose) ที่ความเข้มข้นเท่ากับ 500 มิลลิกรัมต่อลิตร จึงทำให้สารคอมเพล็กซ์ที่มีอะโซมินัม ที่เป็นประจุบวก หรือ Polymeric Hydroxo Complex เช่น $\text{Al}_7(\text{OH})_{17}^{+4}$ $\text{Al}_8(\text{OH})_{20}^{+4}$ เพิ่มขึ้นเป็น จำนวนมากซึ่งไอออนคอมเพล็กซ์ที่มีหมุนของไฮดรอกซิลตั้งกล่าวพร้อมที่จะดูดดูดผิวอนุภาค คอลลอยด์และห่อหุ้มอนุภาคคอลลอยด์ไว้ได้แต่ถ้าไอออนมีประจุตรงกันข้ามและมากกว่า คอลลอยด์ส่งผลให้คอลลอยด์ในระบบคอลลอยด์ที่สูญเสียเสถียรภาพแล้วจะกลับมาเมื่อเสถียรภาพ อีกครั้งการรวมตัวของอนุภาคเพื่อตกลงบนน้ำเกิดขึ้นได้น้อยลง

จากการทดลองพบว่าค่า pH ภายหลังบัดดมีค่าลดลงในทุกสภาวะการทดลอง ซึ่งการ ลดลงของ pH หลังบัดด อาจเกิดจากการแตกตัวของ $\text{Al}_2(\text{SO}_4)_3$ ทำให้ได้ประจุบวก คือ 2Al^{+3} และประจุลบ คือ 3SO_4^{2-} และเมื่อทำปฏิกิริยากับน้ำก่อให้เกิดไฮดรเจนไอออนและ SO_4^{2-} จึง แสดงสภาวะความเป็นกรดออกما ดังสมการ $\text{Al}_2(\text{SO}_4)_3 + 6\text{H}_2\text{O} \longrightarrow 2\text{Al}(\text{OH})_3 + 6\text{H}^+ + 3\text{SO}_4^{2-}$

นอกจากนี้ $\text{Al}(\text{OH})_3$ จะเกิดขึ้นได้เมื่อ pH เข้าใกล้ความเป็นกลาง ดังนั้นการทำโคลเอก ภูแลชั้นด้วยสารสัมจังควร มี pH เป็นกลางหรือกรดเล็กน้อย (6.0 – 7.5) โดยจากการทดลอง ครั้นนี้ประสิทธิภาพในการบัดดความชุนที่สูงที่สุดคือที่ pH 6 เท่ากับร้อยละ 83.54 ที่ความเข้มข้น ของสารสัม 500 มิลลิกรัมต่อลิตร

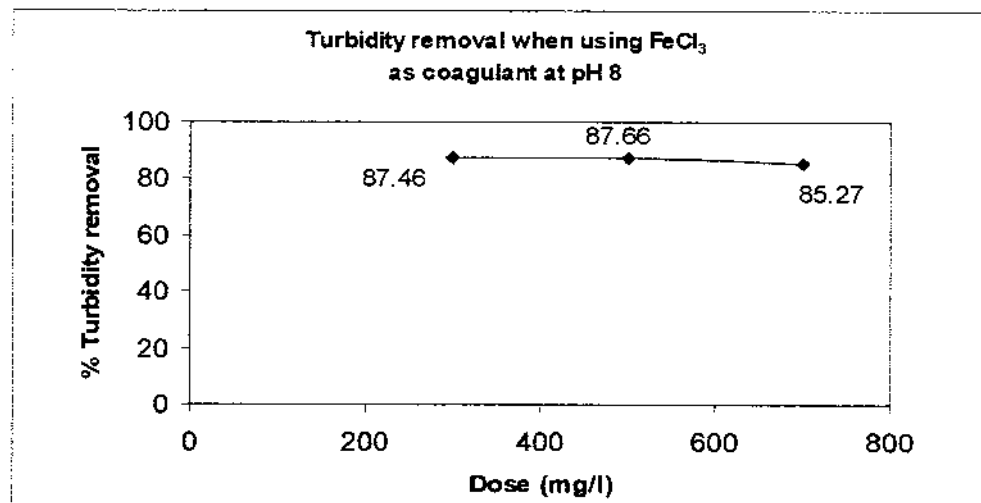
4.2.2 ประสิทธิภาพในการบัดดความชุนออกจากตัวอย่างน้ำเสียคลองแส้นแสบ (Turbidity Removal) เมื่อใช้เฟอริคคลอไรด์ (FeCl_3) เป็นสารรวมตะกอนภายหลังบัดด โดยประยุกต์ใช้หลักการจาร์เทส

ประสิทธิภาพในการบัดดความชุนออกจากตัวอย่างน้ำเสียคลองแส้นแสบ (Turbidity Removal) เมื่อใช้เฟอริคคลอไรด์ (FeCl_3) เป็นสารรวมตะกอนภายหลังบัดดโดยประยุกต์ใช้ หลักการจาร์เทสแสดงผลได้ดังนี้

ตารางที่ 4.4 ประสิทธิภาพการบำบัดความ浑เมื่อใช้เฟอริคลอไรต์ (FeCl_3) เป็นสารรวมตะกอนที่ปัจจัย pH แตกต่างกัน

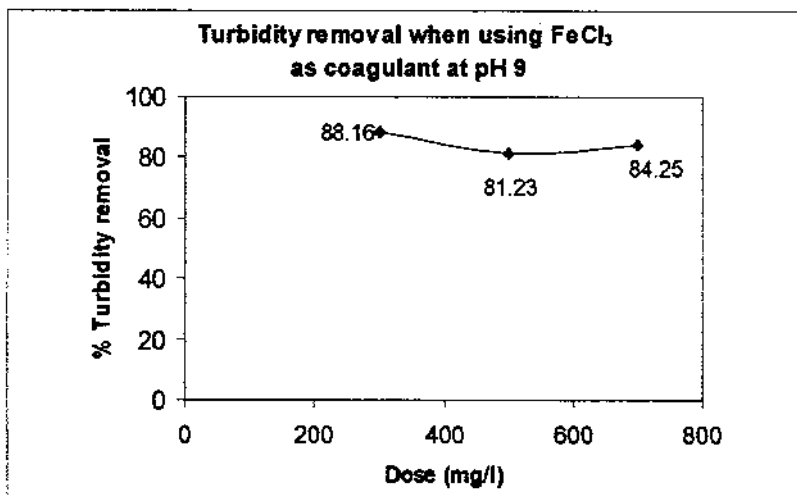
| สารรวม ตะกอน (Coagulant) | pH ทดลอง | pH หลังบำบัด | ความเข้มข้น ของสาร รวมตะกอน (Dose) (mg/l) | ความ浑 ก่อนบำบัด (Turbidity Before Treated) (NTU) | ความ浑 หลังบำบัด (Turbidity After Treated) (NTU) | ประสิทธิภาพ การบำบัด (Turbidity Removal) (%) |
|--------------------------------|-------------|-----------------|---|---|--|--|
| FeCl_3 | 8 | 6.70 | 300 | | 1.013 | 87.46 |
| | | 4.70 | 500 | 8.08 | 0.997 | 87.66 |
| | | 2.43 | 700 | | 1.190 | 85.27 |
| | 9 | 7.23 | 300 | | 0.957 | 88.16 |
| | | 6.13 | 500 | 8.08 | 1.517 | 81.23 |
| | | 2.83 | 700 | | 1.273 | 84.25 |
| | 10 | 7.73 | 300 | | 1.753 | 78.30 |
| | | 7.00 | 500 | 8.08 | 0.747 | 90.75 |
| | | 5.53 | 700 | | 0.877 | 89.15 |

จากตารางที่ 4.4 พบร่วมกับ pH 8 ความเข้มข้นของ FeCl_3 เท่ากับ 500 มิลลิกรัมต่อลิตร สามารถบำบัดความ浑ได้สูงสุดร้อยละ 87.66 ส่วนที่ pH 9 ความเข้มข้นของ FeCl_3 เท่ากับ 300 มิลลิกรัมต่อลิตร บำบัดความ浑ได้สูงสุดร้อยละ 88.16 และที่ pH 10 ความเข้มข้นของ FeCl_3 เท่ากับ 500 มิลลิกรัมต่อลิตร สามารถบำบัดความ浑ได้สูงสุดร้อยละ 90.75



ภาพที่ 4.10 ประสิทธิภาพการบำบัดความชุ่นเมื่อใช้ FeCl_3 เป็นสารรวมตะกอนที่ pH 8

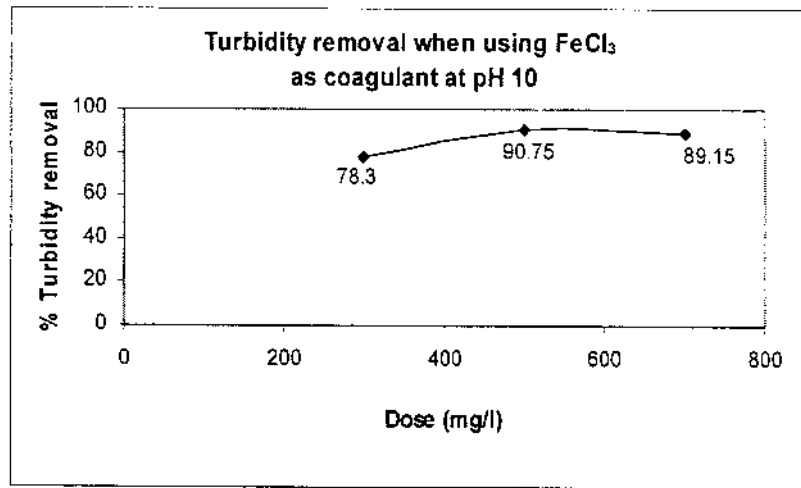
จากภาพที่ 4.10 พบว่าที่ pH 8 ประสิทธิภาพการบำบัดความชุ่นไม่แตกต่างกันเมื่อความเข้มข้นเพิ่มขึ้นจาก 300 เป็น 500 และ 700 มิลลิกรัมต่อลิตร ตามลำดับ โดยมีประสิทธิภาพการบำบัดความชุ่นเท่ากับ ร้อยละ 87.46, 87.66 และ 85.27 ตามลำดับ



ภาพที่ 4.11 ประสิทธิภาพการบำบัดความชุ่นเมื่อใช้ FeCl_3 เป็นสารรวมตะกอนที่ pH 9

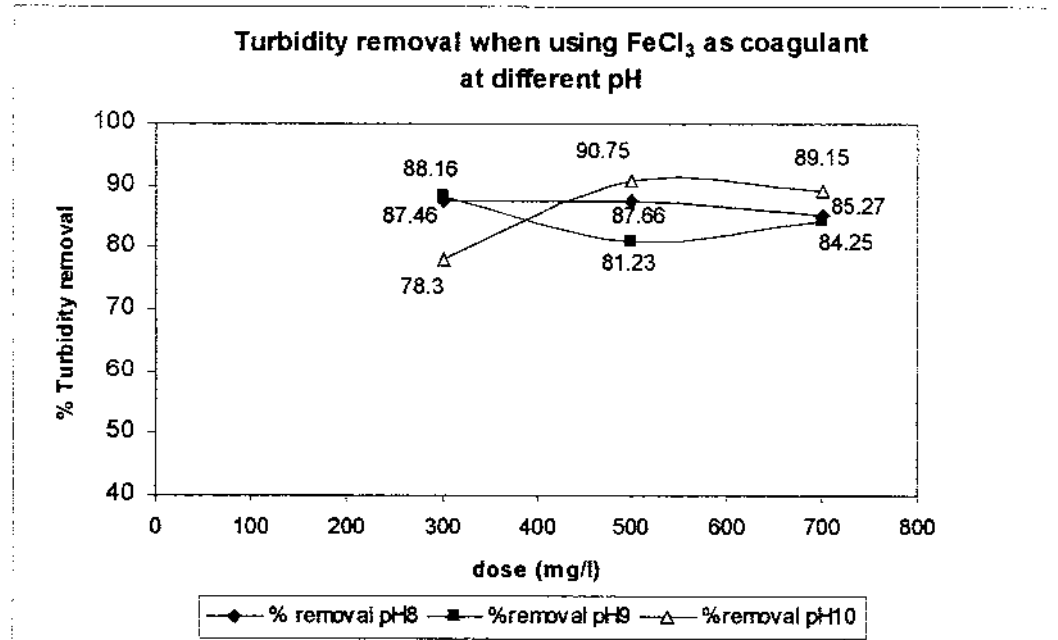
จากภาพที่ 4.11 พบว่าพบว่าที่ pH 9 ประสิทธิภาพการบำบัดความชุ่นจะลดลงเมื่อระดับความเข้มข้นของ FeCl_3 เพิ่มจาก 300 เป็น 500 มิลลิกรัมต่อลิตร โดยมีประสิทธิภาพการ

นำบัดความชุ่น ร้อยละ 88.16 และ 81.23 ตามลำดับ แต่ประสิทธิภาพการนำบัดจะเพิ่มขึ้นเพียงเล็กน้อยเมื่อความเข้มข้นของ FeCl_3 เพิ่มเป็น 700 มิลลิกรัมต่อลิตร คือ ร้อยละ 84.25



ภาพที่ 4.12 ประสิทธิภาพการนำบัดความชุ่นเมื่อใช้ FeCl_3 เป็นสารรวมตะกอนที่ pH 10

จากภาพที่ 4.12 พบว่าที่ pH 10 ประสิทธิภาพการนำบัดความชุ่นจะเพิ่มขึ้นจากระดับความเข้มข้นของ FeCl_3 ตั้งแต่ 300 ถึง 500 มิลลิกรัมต่อลิตร โดยมีประสิทธิภาพการนำบัดเท่ากับร้อยละ 78.3 และ 90.75 ตามลำดับ แต่ประสิทธิภาพการนำบัดไม่เปลี่ยนแปลง เมื่อความเข้มข้นของ FeCl_3 เพิ่มจาก 500 เป็น 700 มิลลิกรัมต่อลิตร คือ ร้อยละ 89.15



ภาพที่ 4.13 เปรียบเทียบประสิทธิภาพการบำบัดความชุ่นเมื่อใช้ FeCl_3 เป็นสารรวมตะกอนที่ pH แตกต่างกัน

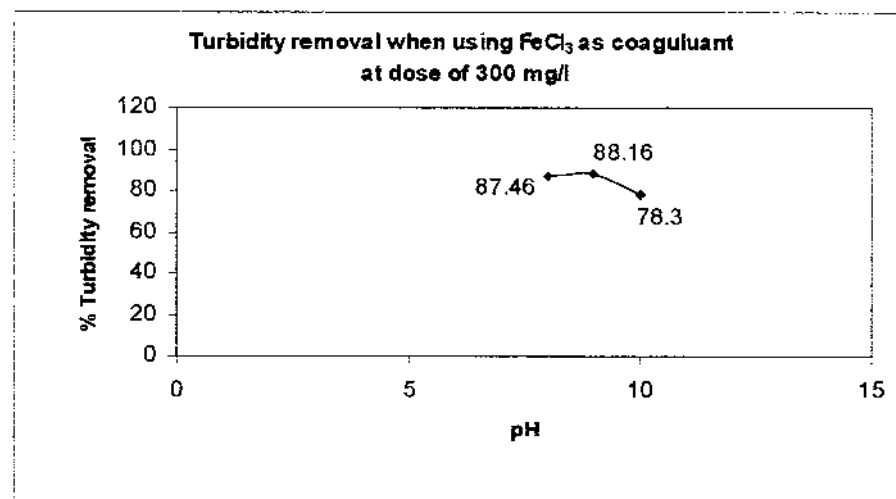
จากภาพที่ 4.13 เมื่อพิจารณาประสิทธิภาพในการบำบัดความชุ่นในตัวอย่างน้ำเสียคลองแสลงแสน ซึ่งมีค่าความชุ่นก่อนการบำบัดเท่ากับ 8.08 NTU ดังตารางที่ 4.6 พบว่าที่ pH 8 ประสิทธิภาพการบำบัดความชุ่นไม่เปลี่ยนแปลงเมื่อความเข้มข้นของเพอริคลอไรด์เพิ่มขึ้นจาก 300 เป็น 500 และ 700 มิลลิกรัมต่อลิตร ส่วนที่ pH 9 ประสิทธิภาพการบำบัดความชุ่นลดลงเมื่อความเข้มข้นของเพอริคลอไรด์เพิ่มขึ้นจาก 300 เป็น 500 และประสิทธิภาพการบำบัดความชุ่นเพิ่มขึ้นเพียงเล็กน้อยเมื่อความเข้มข้นของเพอริคลอไรด์เพิ่มจาก 500 เป็น 700 มิลลิกรัมต่อลิตร ส่วนที่ pH 10 เมื่อความเข้มข้นของเพอริคลอไรด์เพิ่มจาก 300 เป็น 500 มิลลิกรัมต่อลิตร ประสิทธิภาพการบำบัดความชุ่นเพิ่มขึ้นอย่างชัดเจนแต่เมื่อความเข้มข้นเพิ่มเป็น 700 มิลลิกรัมต่อลิตร ประสิทธิภาพการบำบัดความชุ่นลดลงเพียงเล็กน้อยซึ่งอาจกล่าวได้ว่ามีการเปลี่ยนแปลงน้อยมาก

เมื่อพิจารณาประสิทธิภาพการบำบัดความชุ่นที่ปัจจัยความเข้มข้นแตกต่างกันเป็นดังต่อไปนี้

ตารางที่ 4.5 ประสิทธิภาพการบำบัดความ浑浊เมื่อใช้เฟอริคลอยไฮด์ (FeCl_3) เป็นสารรวมตะกอนที่ปัจจัยความเข้มข้นแตกต่างกัน

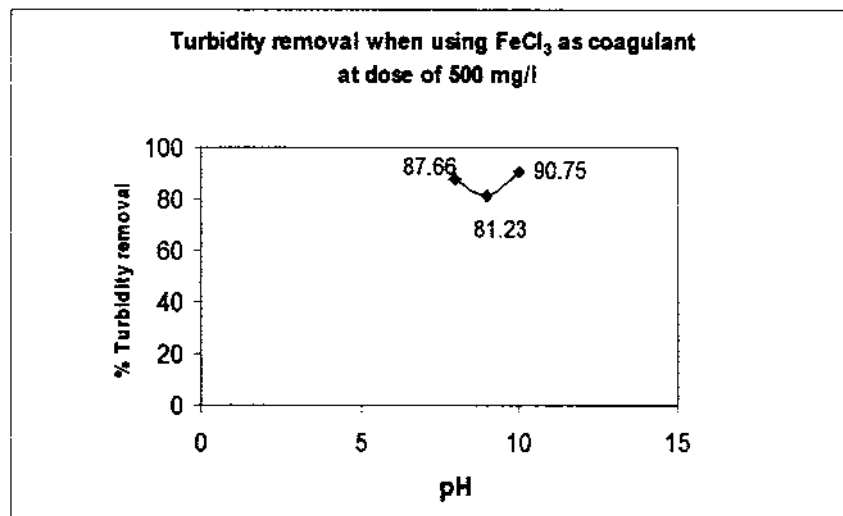
| สารรวมตะกอน (Coagulant) | ความเข้มข้น (mg/l) | pH ของสารรวมตะกอน (Dose) | pH หลังบำบัด | ความ浑浊ก่อนบำบัด (Turbidity Before Treated) | ความ浑浊หลังบำบัด (Turbidity After Treated) | ประสิทธิภาพการบำบัด (Turbidity Removal %) |
|-------------------------|--------------------|--------------------------|--------------|--|---|---|
| FeCl_3 | 300 | 8 | 6.7 | | 1.013 | 87.46 |
| | | 9 | 7.23 | 8.08 | 0.957 | 88.16 |
| | | 10 | 7.73 | | 1.753 | 78.30 |
| | 500 | 8 | 4.70 | | 0.997 | 87.66 |
| | | 9 | 6.13 | 8.08 | 1.517 | 81.23 |
| | | 10 | 7.00 | | 0.747 | 90.75 |
| | 700 | 8 | 2.43 | | 1.190 | 85.27 |
| | | 9 | 2.83 | 8.08 | 1.273 | 84.25 |
| | | 10 | 5.53 | | 0.877 | 89.15 |

จากตารางที่ 4.5 พบว่าที่ความเข้มข้น 300 มิลลิกรัมต่อลิตร ให้ประสิทธิภาพการบำบัดความ浑浊สูงสุดที่ pH 9 เท่ากับ ร้อยละ 88.16 ที่ความเข้มข้น 500 มิลลิกรัมต่อลิตร ให้ประสิทธิภาพการบำบัดความ浑浊สูงสุดที่ pH 10 เท่ากับ ร้อยละ 90.75 และที่ความเข้มข้น 700 มิลลิกรัมต่อลิตร ให้ประสิทธิภาพการบำบัดความ浑浊สูงสุดที่ pH 10 เท่ากับ ร้อยละ 89.15



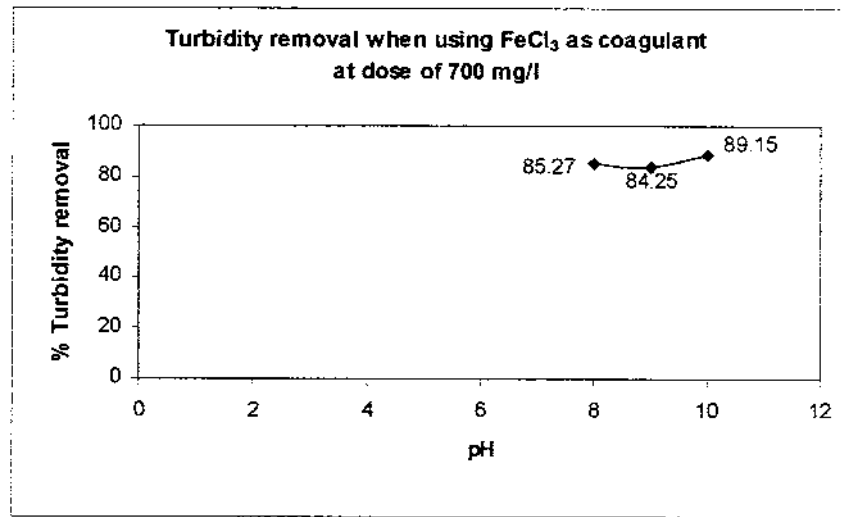
ภาพที่ 4.14 ประสิทธิภาพการบำบัดความชุนเมื่อใช้ FeCl_3 ที่ความเข้มข้น 300 มิลลิกรัมต่อลิตร

จากภาพที่ 4.14 พบร่วมกับความเข้มข้นของ FeCl_3 เท่ากับ 300 มิลลิกรัมต่อลิตร ประสิทธิภาพการบำบัดความชุนไม่เปลี่ยนแปลงเมื่อ pH เพิ่มขึ้นจาก 8 เป็น 9 โดย มีประสิทธิภาพในการบำบัดความชุน ร้อยละ 87.46 และ 88.16 ตามลำดับ แต่ประสิทธิภาพการบำบัดความชุนจะลดลงเมื่อ pH เพิ่มเป็น 10 คือ ร้อยละ 78.3



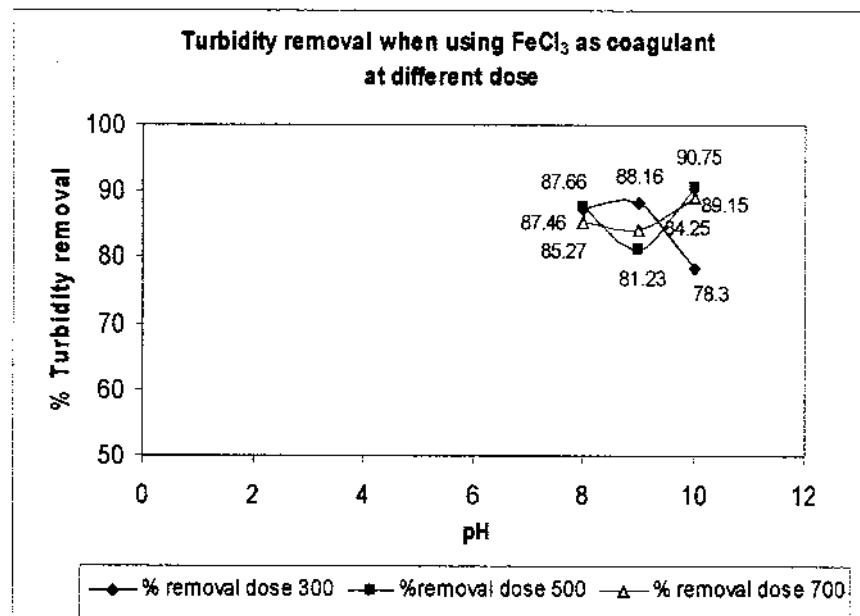
ภาพที่ 4.15 ประสิทธิภาพการบำบัดความชุนเมื่อใช้ FeCl_3 ที่ความเข้มข้น 500 มิลลิกรัมต่อลิตร

จากภาพที่ 4.15 พบว่าที่ความเข้มข้น 500 มิลลิกรัมต่อลิตร ประสิทธิภาพการบำบัดความชุนลดลงเมื่อ pH เพิ่มขึ้นจาก 8 เป็น 9 คือ ร้อยละ 87.66 และ 81.23 ตามลำดับ แต่ประสิทธิภาพการบำบัดความชุนเพิ่มขึ้นเมื่อ pH เพิ่มเป็น 10 คือ ร้อยละ 90.75



ภาพที่ 4.16 ประสิทธิภาพการบำบัดความชุนเมื่อใช้ FeCl_3 ความเข้มข้น 700 มิลลิกรัมต่อลิตร

จากภาพที่ 4.16 พบว่าที่ความเข้มข้น 700 มิลลิกรัมต่อลิตร ประสิทธิภาพการบำบัดความชุนไม่เปลี่ยนแปลงเมื่อ pH เพิ่มขึ้นจาก 8 เป็น 9 โดยมีประสิทธิภาพการบำบัดความชุนร้อยละ 85.27, 84.25 ตามลำดับ แต่ประสิทธิภาพการบำบัดความชุนเพิ่มขึ้นเป็นร้อยละ 89.15 เมื่อค่า pH เพิ่มจาก 9 เป็น 10



ภาพที่ 4.17 เปรียบเทียบประสิทธิภาพการนำบัดความชุ่นเมื่อใช้ FeCl_3 เป็นสารรวมตะกอนที่ความเข้มข้นแตกต่างกัน

จากภาพที่ 4.17 พบร้าที่สภาวะความเข้มข้น 500 และ 700 มิลลิกรัมต่อลิตรมีประสิทธิภาพการนำบัดความชุ่นไปในทิศทางเดียวกัน กล่าวคือ มีประสิทธิภาพการนำบัดความชุ่นลดลงเมื่อ pH เพิ่มขึ้นจาก 8 เป็น 9 แต่ประสิทธิภาพจะเพิ่มขึ้นเมื่อ pH เท่ากับ 10 ส่วนที่ความเข้มข้น 300 มิลลิกรัมต่อลิตร ประสิทธิภาพการนำบัดความชุ่นไม่เปลี่ยนแปลงเมื่อ pH เพิ่มขึ้นจาก 8 เป็น 9 แต่ประสิทธิภาพการนำบัดความชุ่นลดลงเมื่อ pH เท่ากับ 10

เมื่อนำค่าความชุ่นภายหลังการนำบัดมาทดสอบทางสถิติโดยใช้ One Way Analysis of Variance เปรียบเทียบความแตกต่างของค่าความชุ่นพร้อมกันทุกกลุ่ม (Within Group) ของปัจจัย pH หรือปัจจัยความเข้มข้นของ FeCl_3 พบร้า ค่าความชุ่นภายหลังนำบัดไม่แตกต่างกันอย่างมีนัยสำคัญทางสถิติ ($P\text{-Value} > 0.05$) แต่มีแนวโน้มที่จะทำให้ค่าความชุ่นภายหลังนำบัดเปลี่ยนแปลงไป

ทั้งนี้โดยภาพรวมอธิบายได้ว่า ที่ pH 8 ความเข้มข้นของเฟอริคลอไรด์เพิ่มจาก 300 เป็น 500 และ 700 มิลลิกรัมต่อลิตร ไม่มีผลต่อประสิทธิภาพการนำบัดความชุ่น เนื่องจากความแตกต่างของประสิทธิภาพการนำบัดความชุ่นน้อยมาก ส่วนที่ pH 9 ในช่วงแรกที่ความเข้มข้น 300 เป็น 500 มิลลิกรัมต่อลิตร สันนิษฐานว่า เกิดกลไกการทำลายเสถียรภาพประจุ colloidal เพื่อให้เกิด Charge Neutralization โดยเมื่อเติมความเข้มข้นที่ 300 mg/l ทำให้ประจุบวกของ Fe^{3+} ไปเล็กไประจุลบของอนุภาค colloidal และภาวะดีดันผิวของอนุภาค ทำให้เกิดกลุ่มตะกอนแตกตะกอนได้ แต่มีเพิ่มความเข้มข้นมากขึ้นที่ 500 mg/l สันนิษฐานว่ากลไกการเกิดโคแอกูลเรซั่นยังเป็นกลไกทำลายประจุ (Destabilization Mechanism) เพียงกลไกเดียวจึง

ส่งผลให้อนุภาค colloidal มีเสถียรภาพอีกครั้ง รวมทั้งปริมาณ OH⁻ ที่ pH 9 มีมากอยู่ แล้วยังส่งผลให้เกิดแรงผลักดันระหว่างประจุลบของคอลลอยด์กับ OH⁻ ทำให้ประจุบวกจาก FeCl₃ ไปลดเสถียรภาพของคอลลอยด์ได้น้อยลง แต่เมื่อเติม FeCl₃ ที่ความเข้มข้น 700 mg/l ตันนิชฐานว่าเกิดกลไกการรวมกลุ่มตะกอน (Sweep Coagulation) กล่าวคือเมื่อความเข้มข้นของ FeCl₃ เพิ่มขึ้นเป็น 700 mg/l มีแนวโน้มที่โครงสร้างของผลិកจะเปิด (Structure Opening) จึงสามารถล้อมจับหรือห้อมคอลลอยด์เอาไว้ได้ หากตะกอนจึงตกลงมาได้มากขึ้น จึงส่งผลให้กำจัดความชื้นได้มากขึ้น แต่ที่ pH เท่ากับ 10 ประสิทธิภาพการนำบัดความชื้นกลับมีแนวโน้มสวนทางกับสภาพเดดลอนที่ pH 9 โดยความเข้มข้นของ FeCl₃ มีผลต่อประสิทธิภาพการนำบัดความชื้น กล่าวคือ เมื่อความเข้มข้นของ FeCl₃ เพิ่มขึ้นจะทำให้ Polymeric Hydroxy Complexes ซึ่งเป็นอนุมูลของเหล็กไอกอร์ไซด์ เช่น [Fe₃(OH)₄]⁺ สูงขึ้นด้วยซึ่งจะมีประจุตรงข้ามกับสารแขวนลอยในระบบของคอลลอยด์ซึ่งส่วนใหญ่จะมีประจุไฟฟ้าเป็นลบ ดังนั้น FeCl₃ ซึ่งมีประจุบวกสูงจึงมีประสิทธิภาพในการลดสารคอลลอยด์ต่างๆได้ดีและไอออนคอมเพล็กซ์ของสารประกอบเหล็กชนิดต่างๆ ยังสามารถดูดดินพิเศษของอนุภาคคอลลอยด์และทำลายประจุลบของคอลลอยด์ทำให้คอลลอยด์สูญเสียเสถียรภาพและพร้อมที่จะรวมตัวกันหล่ายๆ อนุภาคจนกลายเป็นฟลีก (มั่นสิน ตัณฑุลเวศน์, 2537: 164) เมื่อมีน้ำหนักมากขึ้นจะเกิดตะกอนแยกออกจากในที่สุด โดยจากการทดลองพบว่า ที่ความเข้มข้นของ FeCl₃ เท่ากับ 500 มิลลิกรัมต่อลิตร ให้ประสิทธิภาพการนำบัดความชื้นสูงที่สุด ซึ่งประสิทธิภาพการนำบัดความชื้นเพิ่มขึ้นอย่างชัดเจนและที่สภาพเดดลอนโดยความเข้มข้นของ FeCl₃ เท่ากับ 700 มิลลิกรัมต่อลิตร ประสิทธิภาพการนำบัดความชื้นลดลงเพียงเล็กน้อยหรืออาจกล่าวว่าแทบไม่เปลี่ยนแปลงอย่างไรก็ตามเพอริคคลอไรด์สามารถตัดตะกอนได้ดีพอๆ กันเนื่องจากเพอริคคลอไรด์ตากตะกอนได้ดีในช่วง pH 7.0 – 9.5 (วิโรจน์ ทรัพย์สัสดย์, 2544: 74)

และเมื่อกระบวนการโคลเอยู่เลชันสีน้ำตาลจะสังเกตได้ว่าค่า pH หลังนำบัดลดลงในทุกสภาพเดดลอน ทั้งนี้เกิดขึ้นจากเมื่อเติม FeCl₃ ลงในน้ำเสียจะได้ตะกอนของ เพอริคไอกอร์ไซด์ (Fe(OH)₃) และการดักควันนิกทำให้น้ำมี pH ลดลง ดังสมการ



4.2.3 ประสิทธิภาพในการบำบัดความชุ่นออกจากการตัวอย่างน้ำเสียคลองแสนแสบ (Turbidity Removal) เมื่อใช้โพลีอิเล็กโตรไอล์ฟ์ประจุบวก (Cationic Polyelectrolyte) จากบริษัท NALCO คือ OPTIMER 9916 เป็นสารรวมตะกอนภายหลังบำบัดโดยประยุกต์ใช้หลักการจาร์เกส

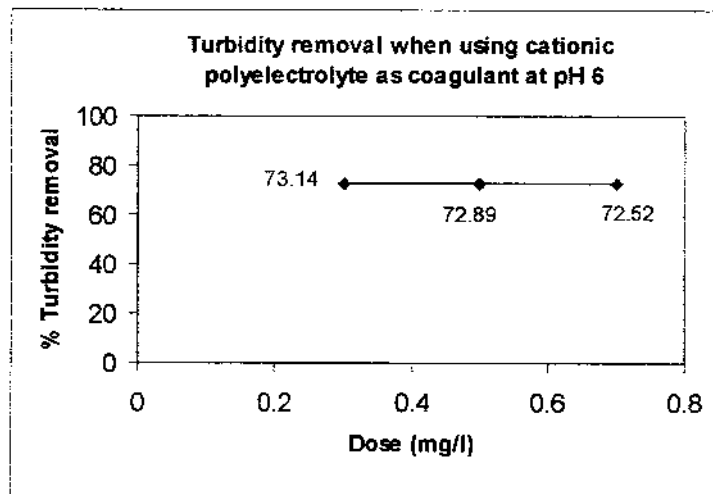
ประสิทธิภาพในการบำบัดความชุ่นออกจากการตัวอย่างน้ำเสียคลองแสนแสบ (Turbidity Removal) เมื่อใช้โพลีอิเล็กโตรไอล์ฟ์ประจุบวก (Cationic Polyelectrolyte) จากบริษัท NALCO คือ OPTIMER 9916 เป็นสารรวมตะกอนภายหลังบำบัดโดยประยุกต์ใช้หลักการจาร์เกสแสดงผลได้ดังตารางที่ 4.6

ตารางที่ 4.6 ประสิทธิภาพการบำบัดความชุ่นเมื่อใช้โพลีอิเล็กโตรไอล์ฟ์ประจุบวก (Cationic Polyelectrolyte) เป็นสารรวมตะกอนที่ปัจจัย pH แตกต่างกัน

| สารรวมตะกอน (Coagulant) | pH ทดลอง | pH หลังบำบัด | ความเข้มข้น ของสารรวม ตะกอน (Dose) (mg/l) | ความชุ่น ก่อนบำบัด (Turbidity Before Treated) (NTU) | ความชุ่น หลังบำบัด (Turbidity After Treated) (NTU) | ประสิทธิภาพ การบำบัด (Turbidity Removal) (%) |
|-----------------------------|-------------|-----------------|---|--|---|--|
| Cationic Polyelectrolyte | 6 | 6.80 | 0.3 | | 2.170 | 73.14 |
| | | 6.90 | 0.5 | 8.08 | 2.187 | 72.89 |
| | | 7.03 | 0.7 | | 2.217 | 72.52 |
| | 7 | 7.73 | 0.3 | | 1.790 | 77.85 |
| | | 7.73 | 0.5 | 8.08 | 1.670 | 79.33 |
| | | 7.83 | 0.7 | | 2.297 | 71.57 |
| | 8 | 8.37 | 0.3 | | 2.457 | 69.59 |
| | | 8.40 | 0.5 | 8.08 | 2.277 | 71.82 |
| | | 8.40 | 0.7 | | 3.060 | 62.13 |

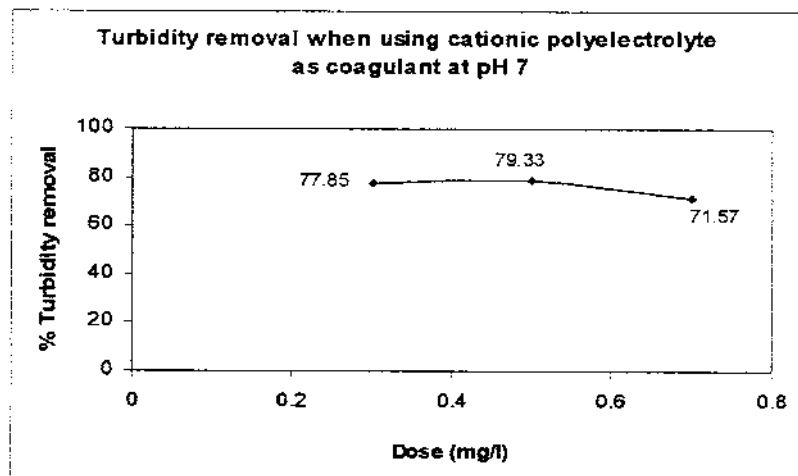
จากตารางที่ 4.6 พบว่าที่ pH 6 ความเข้มข้นของสาร Cationic Polyelectrolyte เท่ากับ 0.3 มิลลิกรัมต่อลิตร ให้ประสิทธิภาพการบำบัดความชุ่นสูงสุดเท่ากับร้อยละ 73.14 ส่วนที่ pH 7 ความเข้มข้นของ Cationic Polyelectrolyte เท่ากับ 0.5 มิลลิกรัมต่อลิตร ประสิทธิภาพการ

นำบัดความชุ่นสูงสุดเท่ากับร้อยละ 79.33 และที่ pH 8 ความเข้มข้นของ Cationic Polyelectrolyte เท่ากับ 0.5 มิลลิกรัมต่อลิตร มีประสิทธิภาพการนำบัดความชุ่นสูงสุดเท่ากับร้อยละ 71.82



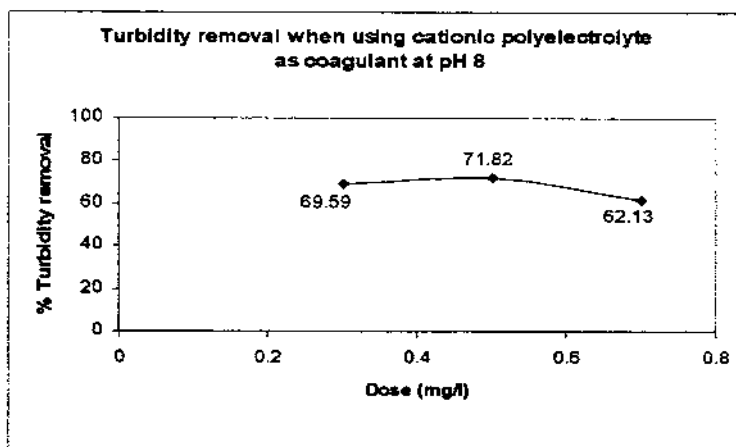
ภาพที่ 4.18 ประสิทธิภาพการนำบัดความชุ่นเมื่อใช้ Cationic Polyelectrolyte เป็นสารรวมตะกอนที่ pH 6

จากภาพที่ 4.18 พบว่าที่ pH 6 ประสิทธิภาพการนำบัดความชุ่นหลังนำบัดแทบไม่เปลี่ยนแปลงเมื่อความเข้มข้นของ Cationic Polyelectrolyte เพิ่มขึ้นจาก 0.3 เป็น 0.5 และ 0.7 มิลลิกรัมต่อลิตร ตามลำดับ โดยมีประสิทธิภาพการนำบัดความชุ่นร้อยละ 73.14, 72.89 และ 72.52 ตามลำดับ



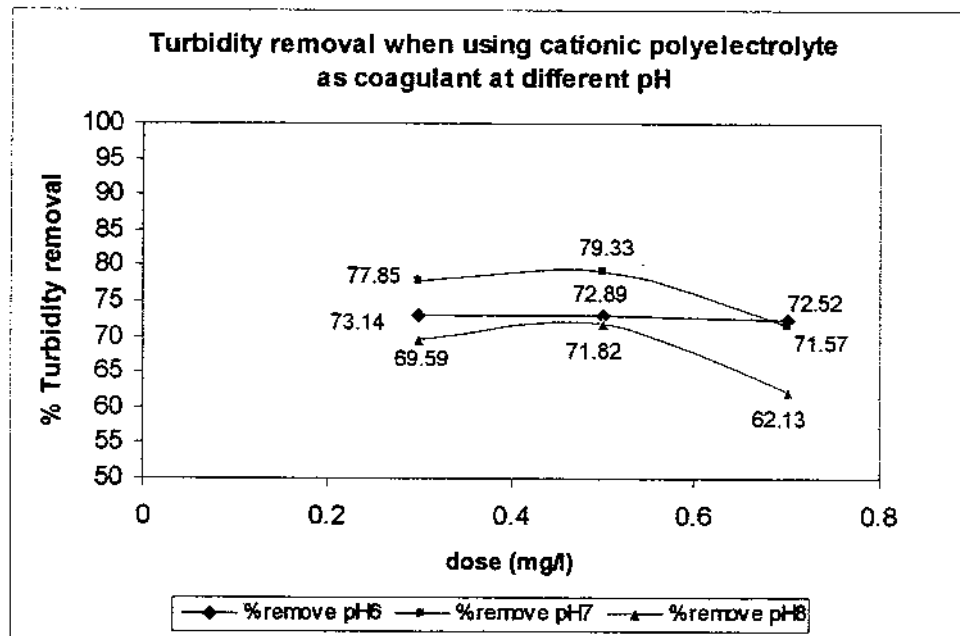
ภาพที่ 4.19 ประสิทธิภาพการนำบัดความชุ่นเมื่อใช้ Cationic Polyelectrolyte เป็นสารรวมตะกอนที่ pH 7

จากภาพที่ 4.19 พนว่าที่ pH 7 ประสิทธิภาพการนำบัดความชุ่นเพิ่มขึ้นเมื่อเพิ่มปริมาณเชิงเส้นอยู่ เมื่อความเข้มข้นของ Cationic Polyelectrolyte เพิ่มขึ้นจากเริ่มต้น 0.3 เป็น 0.5 มิลลิกรัมต่อลิตร หรืออาจกล่าวได้ว่าไม่เปลี่ยนแปลง คือ ร้อยละ 77.85 และ 79.33 ตามลำดับ แต่ประสิทธิภาพการนำบัดความชุ่นลดลงเมื่อความเข้มข้นของ Cationic Polyelectrolyte เพิ่มขึ้นเป็นร้อยละ 71.57 เมื่อความเข้มข้นเพิ่มขึ้นจาก 0.5 เป็น 0.7 มิลลิกรัมต่อลิตร ตามลำดับ



ภาพที่ 4.20 ประสิทธิภาพการนำบัดความชุ่นเมื่อใช้ Cationic Polyelectrolyte เป็นสารรวมตะกอนที่ pH 8

จากภาพที่ 4.20 พบว่าที่ pH 8 ประสิทธิภาพการบำบัดความชุนเพิ่มขึ้นเพียงเล็กน้อย หรืออาจกล่าวได้ว่าไม่เปลี่ยนแปลงเมื่อความเข้มข้นของ Cationic Polyelectrolyte เพิ่มขึ้นจากเริ่มต้น 0.3 เป็น 0.5 มิลลิกรัมต่อลิตร คือ ร้อยละ 69.59 และ 71.82 ตามลำดับ แต่ประสิทธิภาพการบำบัดความชุนลดลงเมื่อความเข้มข้นของ Cationic Polyelectrolyte เพิ่มเป็น 0.7 มิลลิกรัมต่อลิตร คือ ร้อยละ 62.13



ภาพที่ 4.21 เปรียบเทียบประสิทธิภาพการบำบัดความชุนเมื่อใช้ Cationic Polyelectrolyte เป็นสารรวมตะกอนที่ pH แตกต่างกัน

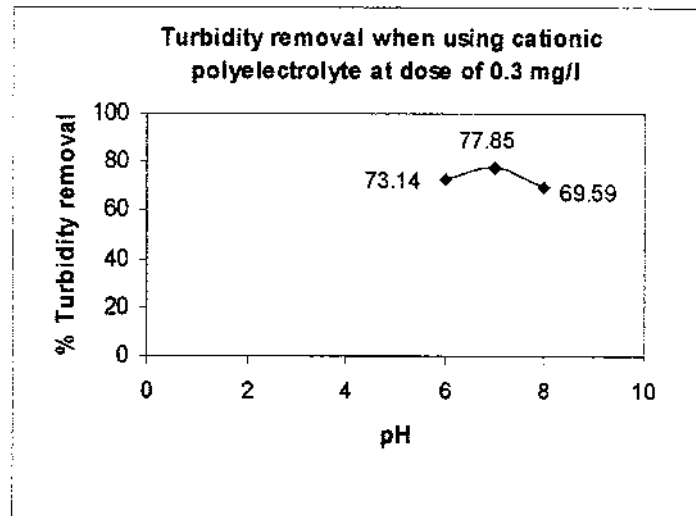
จากภาพที่ 4.21 พบว่าประสิทธิภาพในการบำบัดความชุนในตัวอย่างน้ำเสียคลองแสลงแม่น้ำมีค่าความชุนก่อนการบำบัดเท่ากับ 8.08 NTU พบว่า ที่ค่า pH 6 ประสิทธิภาพในการบำบัดความชุนไม่เปลี่ยนแปลงเมื่อความเข้มข้นของสารรวมตะกอน Cationic Polyelectrolyte เพิ่มขึ้นที่ช่วง pH 7 และ 8 ประสิทธิภาพการบำบัดความชุนมีแนวโน้มไปในทิศทางเดียวกัน กล่าวคือ ประสิทธิภาพการบำบัดความชุนไม่เปลี่ยนแปลงเมื่อความเข้มข้นของ Cationic Polyelectrolyte เพิ่มขึ้นจากความเข้มข้นเริ่มต้น 0.3 เป็น 0.5 มิลลิกรัมต่อลิตร แต่มีประสิทธิภาพในการบำบัดความชุนลดลงจากเดิมเมื่อความเข้มข้นของ Cationic Polyelectrolyte เพิ่มขึ้นจาก 0.5 เป็น 0.7 มิลลิกรัมต่อลิตร โดยประสิทธิภาพในการบำบัดความชุนที่ดีสุดคือที่ pH 7 ความเข้มข้นของ Cationic Polyelectrolyte เท่ากับ 0.5 มิลลิกรัมต่อลิตร มีประสิทธิภาพการบำบัดความชุนในตัวอย่างน้ำเสียเท่ากับ ร้อยละ 79.33

เมื่อพิจารณาประสิทธิภาพการบำบัดความชุ่นที่สภาวะความเข้มข้นแตกต่างกันเป็นดังต่อไปนี้

ตารางที่ 4.7 ประสิทธิภาพการบำบัดความชุ่นเมื่อใช้โพลีเมอร์ชินิด Cationic Polyelectrolyte เป็นสารรวมตะกอนที่ความเข้มข้นแตกต่างกัน

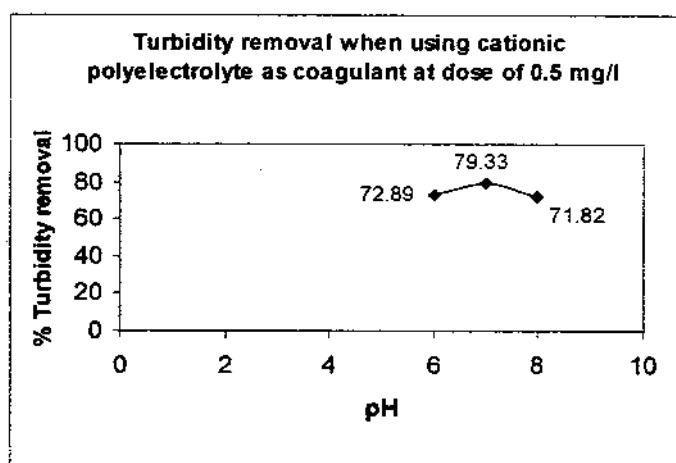
| สารรวมตะกอน (Coagulant) | ความเข้มข้น ของสารรวม ตะกอน (Dose) (mg/l) | pH ทดลอง | pH หลัง บำบัด (Treated) | ความชุ่น ก่อนบำบัด (Turbidity Before Treated) (NTU) | ความชุ่น หลังบำบัด (Turbidity After Treated) (NTU) | ประสิทธิภาพ การบำบัด (Turbidity Removal) (%) |
|-----------------------------|---|-------------|----------------------------------|--|---|--|
| Cationic Polyelectrolyte | 0.3 | 6 | 6.80 | - | 2.170 | 73.14 |
| | | 7 | 7.73 | 8.08 | 1.790 | 77.85 |
| | | 8 | 8.37 | - | 2.457 | 69.59 |
| | 0.5 | 6 | 6.90 | - | 2.187 | 72.89 |
| | | 7 | 7.73 | 8.08 | 1.670 | 79.33 |
| | | 8 | 8.40 | - | 2.277 | 71.82 |
| | 0.7 | 6 | 7.03 | - | 2.217 | 72.52 |
| | | 7 | 7.83 | 8.08 | 2.297 | 71.57 |
| | | 8 | 8.40 | - | 3.060 | 62.13 |

จากตารางที่ 4.7 พบร่วมกับ ที่ความเข้มข้นของ Cationic Polyelectrolyte เท่ากับ 0.3 มิลลิกรัมต่อลิตร ให้ประสิทธิภาพการบำบัดความชุ่นสูงสุดที่ pH 7 เท่ากับ ร้อยละ 77.85 ที่ความเข้มข้น 0.5 มิลลิกรัมต่อลิตร ให้ประสิทธิภาพการบำบัดความชุ่นสูงสุดที่ pH 7 เท่ากับ ร้อยละ 79.33 และที่ความเข้มข้น 0.7 ให้ประสิทธิภาพการบำบัดความชุ่นสูงสุดที่ pH 6 เท่ากับ ร้อยละ 72.52



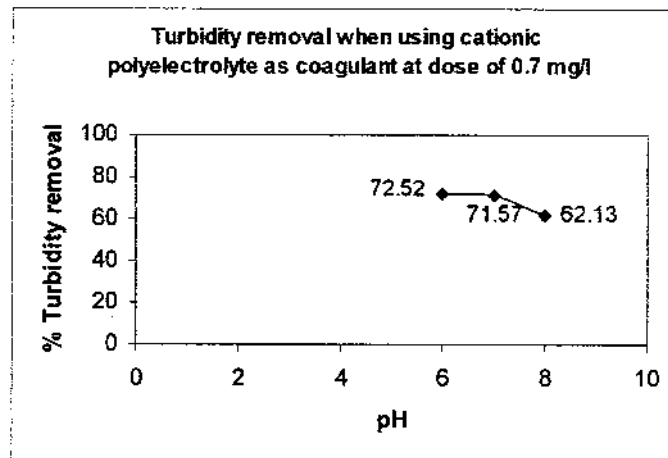
ภาพที่ 4.22 ประสิทธิภาพการบ้าบัดความชุ่นเมื่อใช้ Cationic Polyelectrolyte เป็นสารรวมตะกอนที่ความเข้มข้น 0.3 มิลลิกรัมต่อลิตร

จากภาพที่ 4.22 พบร่วมกันว่าที่ความเข้มข้นของ Cationic Polyelectrolyte เท่ากับ 0.3 มิลลิกรัมต่อลิตร ประสิทธิภาพการบ้าบัดความชุ่นจะเพิ่มขึ้นเมื่อค่า pH เพิ่มขึ้น จาก 6 เป็น 7 และประสิทธิภาพการบ้าบัดจะลดลงเมื่อค่า pH เพิ่มเป็น 8 โดยมีประสิทธิภาพการบ้าบัดความชุ่นเท่ากับ ร้อยละ 73.14, 77.85 และ 69.59 ตามลำดับ



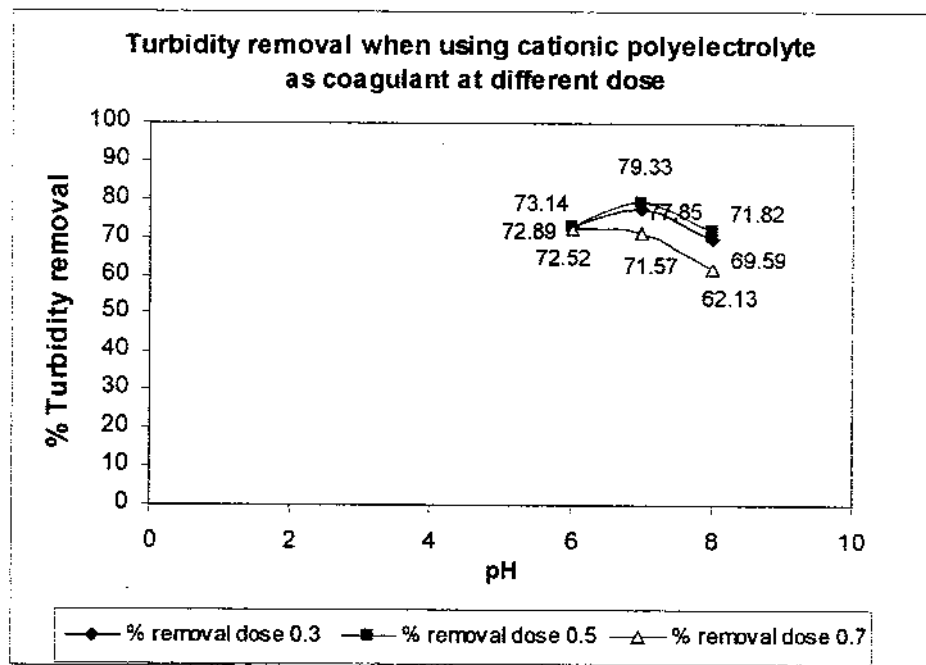
ภาพที่ 4.23 ประสิทธิภาพการบ้าบัดความชุ่นเมื่อใช้ Cationic Polyelectrolyte เป็นสารรวมตะกอนที่ความเข้มข้น 0.5 มิลลิกรัมต่อลิตร

จากภาพที่ 4.23 พบว่าที่ความเข้มข้นของ Cationic Polyelectrolyte เท่ากับ 0.5 มิลลิกรัมต่อลิตร ประสิทธิภาพการบำบัดความชุนจะเพิ่มขึ้นเมื่อค่า pH เพิ่มขึ้น จาก 6 เป็น 7 แต่ประสิทธิภาพการบำบัดจะลดลงเมื่อค่า pH เพิ่มเป็น 8 โดยมีประสิทธิภาพการบำบัดความชุนเท่ากับ ร้อยละ 72.89, 79.33 และ 71.82 ตามลำดับ



ภาพที่ 4.24 ประสิทธิภาพการบำบัดความชุนเมื่อใช้ Cationic Polyelectrolyte เป็นสารรวมตะกอนที่ความเข้มข้น 0.7 มิลลิกรัมต่อลิตร

จากภาพที่ 4.24 พบว่าที่ความเข้มข้นของ Cationic Polyelectrolyte เท่ากับ 0.7 มิลลิกรัมต่อลิตร ทำให้ประสิทธิภาพการบำบัดความชุนลดลงเล็กน้อยหรืออาจกล่าวได้ว่าไม่เปลี่ยนแปลง เมื่อค่า pH เพิ่มขึ้นจาก 6 เป็น 7 โดยมีประสิทธิภาพการบำบัดความชุนเท่ากับร้อยละ 72.52 และ 71.57 ตามลำดับ แต่ประสิทธิภาพการบำบัดความชุนลดลง เมื่อค่า pH เพิ่มจาก 7 เป็น 8 โดยประสิทธิภาพการบำบัดความชุนเท่ากับ ร้อยละ 62.13



ภาพที่ 4.25 เปรียบเทียบประสิทธิภาพการนำบัดความชุนเมื่อใช้ Cationic Polyelectrolyte เป็นสารรวมตะกอนที่ความเข้มข้นแตกต่างกัน

จากภาพที่ 4.25 พบว่า ที่ความเข้มข้น 0.3 และ 0.5 มิลลิกรัมต่อลิตร ประสิทธิภาพการนำบัดความชุนมีแนวโน้มไปในทิศทางเดียวกัน กล่าวคือ เมื่อค่า pH เพิ่มขึ้นจาก 6 เป็น 7 ประสิทธิภาพการนำบัดความชุนเพิ่มขึ้น แต่ประสิทธิภาพความชุนจะลดลงเมื่อค่า pH เพิ่มเป็น 8 ส่วนที่ความเข้มข้น 0.7 มิลลิกรัมต่อลิตร ประสิทธิภาพการนำบัดความชุนมีแนวโน้มลดลง เพียงเล็กน้อยเมื่อค่า pH เพิ่มขึ้นจาก 6 เป็น 7 และความชุนลดลงอย่างต่อเนื่องเมื่อค่า pH เพิ่มขึ้นเป็น 8

เมื่อนำค่าความชุนภายหลังการนำบัดมาทดสอบทางสถิติโดยใช้ One Way Analysis of Variance เปรียบเทียบความแตกต่างของค่าความชุนหลังนำบัดพร้อมกันทุกกลุ่ม (Within Group) ของปัจจัย pH และปัจจัยความเข้มข้นของ Cationic Polyelectrolyte พบว่า ค่าความชุนภายหลังที่ผ่านการนำบัดไม่แตกต่างกันอย่างมีนัยสำคัญทางสถิติ ($P\text{-Value} > 0.05$) แต่มีแนวโน้มที่จะทำให้ค่าความชุนภายหลังนำบัดเปลี่ยนแปลงไป

ทั้งนี้จากการทดสอบโดยภารมองชิบายได้ว่า ที่ pH 7 และ pH 8 ความเข้มข้นของสาร Cationic Polyelectrolyte (OPTIMER 9916) มีผลต่อประสิทธิภาพการนำบัดความชุน กล่าวคือ โพลีเมอร์จะสร้างโโคแอกกูแลชนให้กับน้ำชุนโดยคุณสมบัติในการเกาะจับกับอนุภาค colloidal อาจเป็นการเสริมประจุของอนุภาค colloidal ประจุลบด้วยโพลีเมอร์ที่มีประจุบวกทำให้เส้นใยรากของ colloidal หมดสื้นไปหรือโดยอาศัยสารโพลีเมอร์เป็นสะพานเชื่อมต่อระหว่างอนุภาค colloidal หลาย ๆ ตัว (Polymer Bridging) ตามทฤษฎีก็ส่วนว่า ไม่เกิดของสารโพลีเมอร์ สามารถเกาะติด

บนอนุภาคคอลลอยด์ได้หลายตัวແහນ່ງ ซึ่งการเกะดิดอาจเป็นผลเนื่องมาจากประจุที่ต่างกันของโพลีเมอร์และคอลลอยด์ รวมทั้งอนุภาคที่มีสารโพลีเมอร์เกาะติดอยู่จะมีปลายอิสระสำหรับเกาะบนอนุภาคอื่นซึ่งถือได้ว่าเป็นอนุภาคที่สูญเสียเสถียรภาพแล้ว (Destabilized Particle) โดยอนุภาคดังกล่าวที่สามารถจับตัวกับอนุภาคอื่นๆ โดยมีโพลีเมอร์เป็นสะพานเชื่อมต่อ (มั่นสิน ตันทูลเวศน์, 2537: 159) ทำให้เกิดเป็นกลุ่มฟลักซ์ขนาดใหญ่และหนักขึ้นจึงตกตะกอนลงมาในที่สุด โดยที่ความเข้มข้นของ Cationic Polyelectrolyte เท่ากับ 0.5 มิลลิกรัมต่อลิตร มีประสิทธิภาพการบำบัดความชื้นสูงสุดหรืออาจเรียกได้ว่า ที่ความเข้มข้น 0.5 มิลลิกรัมต่อลิตร คือ Oimum Dse ของ Cationic Polyelectrolyte แต่ในบางสภาวะการทดลองพบว่า เมื่อความเข้มข้นของ Cationic Polyelectrolyte เพิ่มเป็น 0.7 มิลลิกรัมต่อลิตร ประสิทธิภาพการบำบัดความชื้นลดลง ทั้งนี้ สันนิษฐานได้ว่า การเกาะหรือจับตัวกันของอนุภาคโดยมีสารโพลีเมอร์เป็นสะพานเชื่อมจะเกิดขึ้นได้ราบร้าเท่าที่มีสารโพลีเมอร์และตัวແහນ່ງว่างบนผิวของอนุภาค ถ้าปลายอิสระของโพลีเมอร์ไม่มีที่จะเกาะจับบนอนุภาคอื่นๆ ปลายอิสระก็จะเกาะจับบนอนุภาคเดิม ทำให้มีปลายอิสระไว้จับอนุภาคอื่นและมีตัวແහນ່ງว่างบนอนุภาคสำหรับยึดเกาะน้อยลง ซึ่งอนุภาคคอลลอยด์ที่ถูกสารโพลีเมอร์ยึดเกาะหลายตัวແහນ່งจนไม่มีปลายอิสระและไม่มีที่ว่างจะอยู่ในสภาวะที่มีเสถียรภาพกลับคืนมาใหม่หรือที่เรียกว่า สภาวะ Restabilized Particle (มั่นสิน ตันทูลเวศน์, 2537: 161) ดังนั้นการใช้สาร Cationic Polyelectrolyte ที่มากเกินไปหรือที่เรียกว่า Over Optimum Dose จึงทำให้การตกตะกอนของฟลักซ์เกิดขึ้นได้น้อยลง

ส่วนที่ pH 6 ความเข้มข้นของ Cationic Polyelectrolyte มีผลต่อประสิทธิภาพการบำบัดความชื้น กล่าวคือ เมื่อความเข้มข้นของ Cationic Polyelectrolyte เพิ่มขึ้น ประสิทธิภาพการบำบัดความชื้นลดลงอย่างต่อเนื่องแต่ลดลงในช่วงแรกๆ หรืออาจกล่าวได้ว่าไม่แตกต่างกัน สันนิษฐานได้ว่า ที่ pH เท่ากับ 6 เกิดสภาวะการแข็งขันของไฮโดรเจนไอออนกับ Cationic Polyelectrolyte และยังทำให้ผิวของคอลลอยด์บางส่วนมีประจุบวกด้วยจึงทำให้ Cationic Polyelectrolyte จับกับอนุภาคคอลลอยด์ได้น้อยลง

นอกจากนี้จากการทดลองพบว่า pH หลังบำบัดตัวอย่างน้ำเสียเพิ่มขึ้นในทุกสภาวะการทดลอง เมื่อเติม Cationic Polyelectrolyte ทั้งนี้สันนิษฐานได้ว่า โพลีอิเล็กโตรໄල์ทประจุบวกที่ใช้มีส่วนประกอบของ Acrylamide Co-Polymer ซึ่งในโครงสร้างโมเลกุลตั้งกล่าวประกอบไปด้วยหมู่ Primary Amine (NH_2) ที่แขนของโพลีเมอร์ เมื่อเติมสารโพลีอิเล็กโตรໄල์ทประจุบวกลงในด้วอย่างน้ำเสียที่ pH ค่าต่างๆ จะเกิดการแตกตัวของหมู่ Primary Amine (NH_2) และการแตกตัวออกมานี้จะตึง H^+ ออกจากน้ำแล้วรวมตัวกันเป็น NH_3 ทำให้เหลือหมู่ OH^- ส่งผลให้ค่า pH หลังกระบวนการโดยอกฤทธิ์ซึ่งมีค่าเพิ่มขึ้นตามความเข้มข้นของหรือปริมาณของโพลีอิเล็กโตรໄල์ทประจุบวก

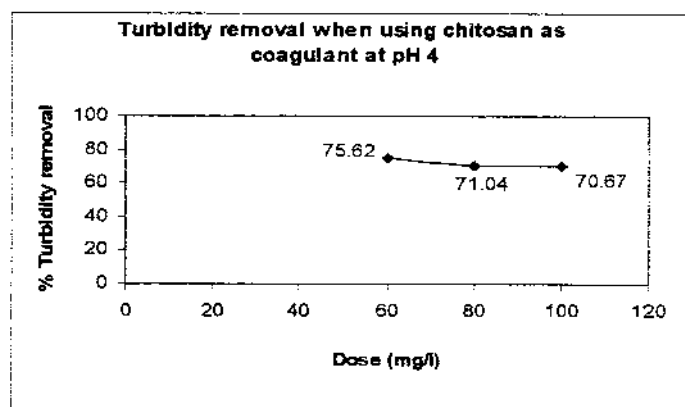
4.2.4 ประสิทธิภาพในการบាบัดความชุ่นออกจากด้วยย่างนำ้เสียคลองแส้นແسب (Turbidity Removal) เมื่อใช้ Micronized Chitosan จากบริษัท ELAND Corporation จำกัด เป็นสารรวมตะกอน ภายหลังบាบัดโดยประยุกต์ใช้หลักการ Jarvis เทส

ประสิทธิภาพในการบាบัดความชุ่นออกจากด้วยย่างนำ้เสียคลองแส้นແسب (Turbidity Removal) เมื่อใช้ Micronized Chitosan เป็นสารรวมตะกอนภายหลังบាบัดโดยประยุกต์ใช้หลักการ Jarvis เทส แสดงผลได้ดัง ตารางที่ 4.8

ตารางที่ 4.8 ประสิทธิภาพการบាบัดความชุ่นเมื่อใช้ Micronized Chitosan เป็นสารรวมตะกอนที่ปัจจัย pH แตกต่างกัน

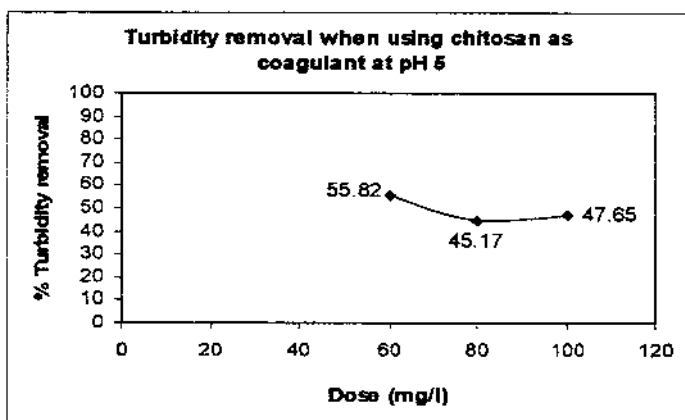
| สารรวม ตะกอน (Coagulant) | pH ทดลอง | pH หลัง บាบัด | ความเข้มข้น ของสารรวม (Dose) (mg/l) | ความชุ่น ก่อนบាบัด (Turbidity before treated) (NTU) | ความชุ่น หลังบाบัด (Turbidity after treated) (NTU) | ประสิทธิภาพ การบाบัด (Turbidity Removal) (%) |
|--------------------------------|-------------|---------------------|--|--|---|--|
| Micronized Chitosan | 4 | 4.33 | 60 | | 1.973 | 75.62 |
| | | 4.30 | 80 | 8.08 | 2.343 | 71.04 |
| | | 4.33 | 100 | | 2.370 | 70.67 |
| | 5 | 4.60 | 60 | | 3.567 | 55.82 |
| | | 4.67 | 80 | 8.08 | 4.433 | 45.17 |
| | | 4.67 | 100 | | 4.233 | 47.65 |
| | 6 | 6.33 | 60 | | 1.267 | 84.28 |
| | | 5.97 | 80 | 8.08 | 2.100 | 74.00 |
| | | 6.00 | 100 | | 3.333 | 58.79 |

จากตารางที่ 4.8 พบว่าที่ pH 4 ความเข้มข้นของ Micronized Chitosan เท่ากับ 60 มิลลิกรัมต่อลิตร มีประสิทธิภาพการบាบัดความชุ่นสูงสุดเท่ากับร้อยละ 75.62 ส่วนที่ pH 5 มีประสิทธิภาพการบាบัดความชุ่นสูงสุดเท่ากับร้อยละ 55.82 โดยความเข้มข้นของ Micronized Chitosan เท่ากับ 60 มิลลิกรัมต่อลิตร และที่ pH 6 ความเข้มข้น 60 มิลลิกรัมต่อลิตร มีประสิทธิภาพการบាบัดสูงสุดเท่ากับร้อยละ 84.28



ภาพที่ 4.26 ประสิทธิภาพการบำบัดความชุ่นเมื่อใช้ Micronized Chitosan เป็นสารรวมตะกอนที่ pH เท่ากับ 4

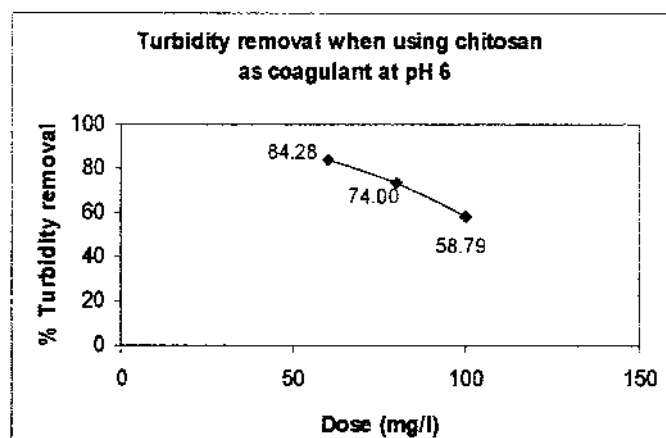
จากภาพที่ 4.26 พบว่า ที่ pH 4 ประสิทธิภาพการบำบัดความชุ่นลดลงเมื่อความเข้มข้นของ Micronized Chitosan เพิ่มขึ้นจากเริ่มต้น 60 เป็น 80 โดยมีประสิทธิภาพการบำบัดความชุ่นเท่ากับ ร้อยละ 75.62, 71.04 ตามลำดับ และประสิทธิภาพการบำบัดความชุ่นไม่เปลี่ยนแปลงเมื่อความเข้มข้นเพิ่มจาก 80 เป็น 100 มิลลิกรัมต่อลิตร คือ ร้อยละ 70.67



ภาพที่ 4.27 ประสิทธิภาพการบำบัดความชุ่นเมื่อใช้ Micronized Chitosan เป็นสารรวมตะกอนที่ pH เท่ากับ 5

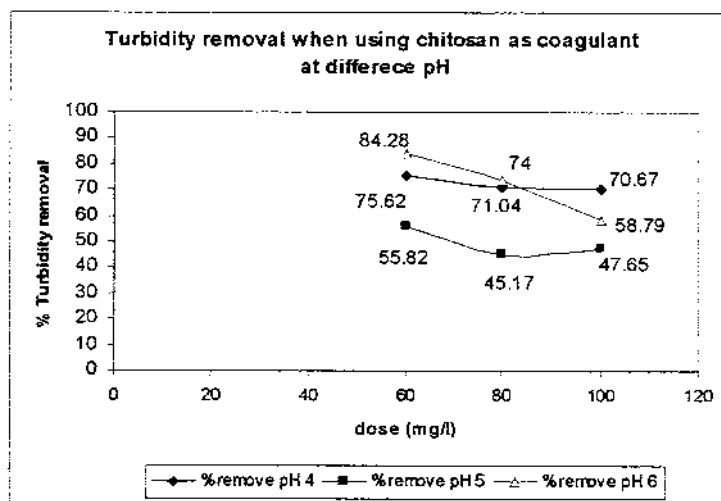
จากภาพที่ 4.27 พบว่า ที่ pH 5 ประสิทธิภาพการบำบัดความชุ่นลดลงเมื่อบริมาณหรือความเข้มข้นของ Micronized Chitosan เพิ่มขึ้นจาก 60 เป็น 80 มิลลิกรัมต่อลิตร โดยมีประสิทธิภาพการบำบัดความชุ่นเท่ากับ ร้อยละ 55.82 และ 45.16 ตามลำดับ แต่ประสิทธิภาพการบำบัดความชุ่นสูงขึ้นเพียงเล็กน้อยหรืออาจกล่าวได้ว่าไม่แตกต่างเมื่อความเข้มข้นของ

Micronized Chitosan เพิ่มจาก 80 เป็น 100 มิลลิกรัมต่อลิตร โดยมีประสิทธิภาพการบ้าบัดความชุ่นเท่ากับ ร้อยละ 47.65



ภาพที่ 4.28 ประสิทธิภาพการบ้าบัดความชุ่นเมื่อใช้ Micronized Chitosan เป็นสารรวมตะกอนที่ pH เท่ากับ 6

จากรูป 4.28 พบว่าที่ pH 6 ประสิทธิภาพการบ้านดความชุ่นลดลงอย่างต่อเนื่องเมื่อความเข้มข้นของ Micronized Chitosan เพิ่มขึ้นจากเริ่มต้น 60 เป็น 80 และ 100 มิลลิกรัมต่อลิตร ตามลำดับ โดยมีประสิทธิภาพการบ้านดความชุ่นเท่ากับ ร้อยละ 84.28, 74.00 และ 58.79 ตามลำดับ



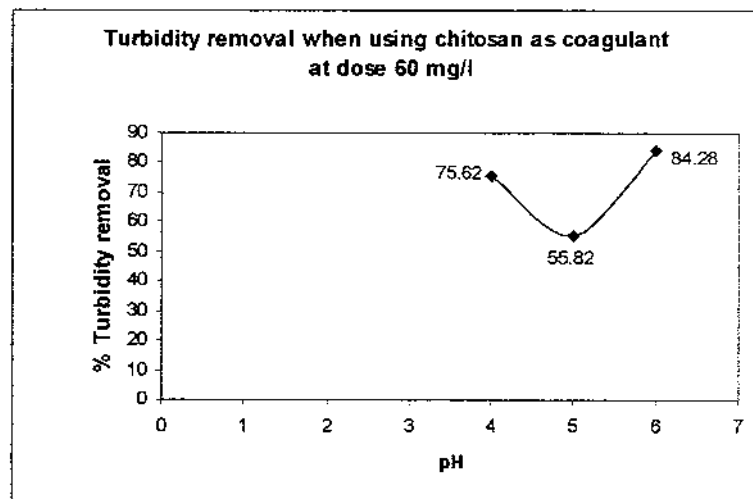
ภาพที่ 4.29 เปรียบเทียบประสิทธิภาพการบำบัดความชุ่นเมื่อใช้ Micronized Chitosan เป็นสารรวมตะกอนที่ pH แตกต่างกัน

จากภาพที่ 4.29 เมื่อพิจารณาประสิทธิภาพในการบำบัดความชุ่นในตัวอย่างน้ำเสีย คลองแสนแสบ ซึ่งมีค่าความชุ่นก่อนการบำบัดเท่ากับ 8.08 NTU พบร่วมกับ pH 4 ประสิทธิภาพ การบำบัดความชุ่นลดลงเมื่อความเข้มข้นของ Micronized Chitosan เพิ่มขึ้นจาก 60 เป็น 80 แต่ประสิทธิภาพการบำบัดความชุ่นเพิ่มขึ้นเพียงเล็กน้อยหรือไม่แตกต่างจากประสิทธิภาพการบำบัด ความชุ่นที่ความเข้มข้นเท่ากับ 60 มิลลิกรัมต่อลิตร เมื่อความเข้มข้นเพิ่มเป็น 100 มิลลิกรัมต่อลิตร pH 5 ประสิทธิภาพในการบำบัดความชุ่นมีแนวโน้มลดลงเมื่อความเข้มข้นของ Micronized Chitosan เพิ่มขึ้นจากเริ่มต้น 60 เป็น 80 มิลลิกรัมต่อลิตร แต่มีประสิทธิภาพการบำบัดความชุ่นเพิ่มขึ้นเพียงเล็กน้อยหรืออาจกล่าวได้ว่าไม่แตกต่างเมื่อความเข้มข้นของ Micronized Chitosan เพิ่มจาก 80 เป็น 100 มิลลิกรัมต่อลิตร ส่วนที่ pH 6 ประสิทธิภาพในการบำบัดความชุ่นมีแนวโน้ม ลดลงอย่างต่อเนื่องเมื่อปริมาณของสาร Micronized Chitosan เพิ่มขึ้น เมื่อความเข้มข้นของ Micronized Chitosan เพิ่มขึ้นจาก 60 เป็น 80 และ 100 มิลลิกรัมต่อลิตร ตามลำดับ เมื่อพิจารณาประสิทธิภาพการบำบัดความชุ่นที่ปัจจัยความเข้มข้นแตกต่างกันมีผลการ ทดลองดังนี้

ตารางที่ 4.9 ประสิทธิภาพการบำบัดความ浑浊เมื่อใช้ Micronized Chitosan เป็นสารรวมตะกอนที่ปัจจัยความเข้มข้นแตกต่างกัน

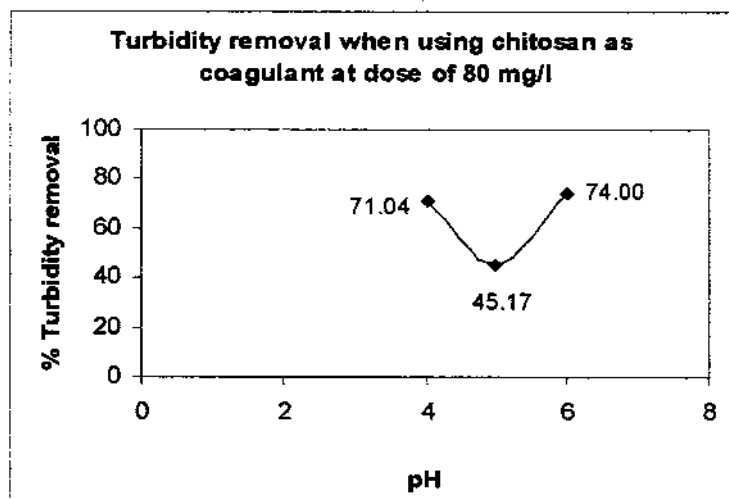
| สารรวม ตะกอน (Coagulant) | ความเข้มข้น ของสารรวม (Dose) (mg/l) | pH ทดลอง | pH หลัง บำบัด | ความ浑浊 ก่อนบำบัด (Turbidity Before Treated) (NTU) | ความ浑浊หลัง บำบัด (Turbidity After Treated) (NTU) | ประสิทธิภาพ การบำบัด (Turbidity Removal) (%) |
|--------------------------------|--|-------------|------------------|--|---|--|
| Micronized Chitosan | 60 | 4 | 4.33 | | 1.973 | 75.62 |
| | | 5 | 4.60 | 8.08 | 3.567 | 55.82 |
| | | 6 | 6.33 | | 1.267 | 84.28 |
| | 80 | 4 | 4.30 | | 2.343 | 71.04 |
| | | 5 | 4.67 | 8.08 | 4.433 | 45.17 |
| | | 6 | 5.97 | | 2.100 | 74.00 |
| | 100 | 4 | 4.33 | | 2.370 | 70.67 |
| | | 5 | 4.67 | 8.08 | 4.233 | 47.65 |
| | | 6 | 6.00 | | 3.333 | 58.79 |

จากตารางที่ 4.9 พบว่า ที่ความเข้มข้นของ Micronized Chitosan เท่ากับ 60 มิลลิกรัมต่อลิตร ให้ประสิทธิภาพการบำบัดความ浑浊สูงสุดที่ pH 6 เท่ากับ ร้อยละ 84.28 ที่ความเข้มข้นเท่ากับ 80 มิลลิกรัมต่อลิตร ให้ประสิทธิภาพการบำบัดความ浑浊สูงสุดที่ pH 6 เท่ากับ ร้อยละ 74.00 และที่ความเข้มข้นเท่ากับ 100 มิลลิกรัมต่อลิตร ให้ประสิทธิภาพการบำบัดสูงสุดที่ pH 4 เท่ากับ ร้อยละ 70.67



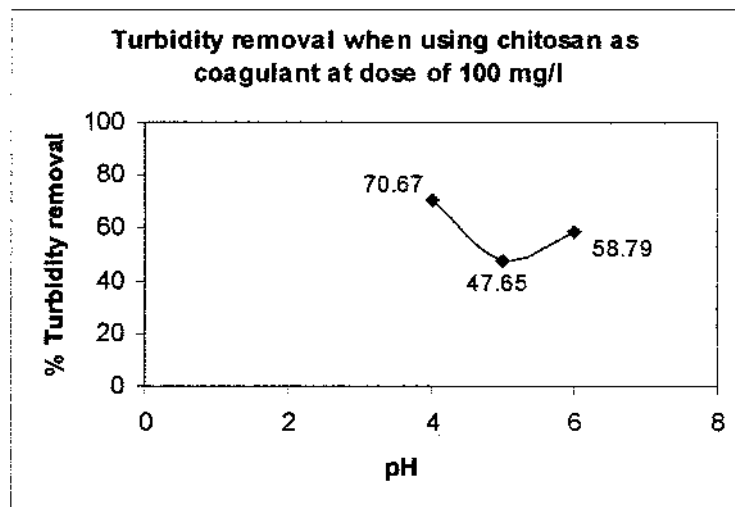
ภาพที่ 4.30 ประสิทธิภาพการบ้าดความชุ่นเมื่อใช้ Micronized Chitosan เป็นสารรวมตะกอนที่ความเข้มข้น 60 มิลลิกรัมต่อลิตร

จากภาพที่ 4.30 พบว่าที่ความเข้มข้น 60 มิลลิกรัมต่อลิตร ประสิทธิภาพการบ้าดความชุ่นลดลงเมื่อค่า pH เพิ่มขึ้นจาก 4 เป็น 5 แต่มีค่า pH เพิ่มเป็น 6 ประสิทธิภาพการบ้าดความชุ่นเพิ่มขึ้นสูงมาก โดยประสิทธิภาพการบ้าดความชุ่นของแต่ละ pH เท่ากับ ร้อยละ 75.62, 55.82 และ 84.28 ตามลำดับ



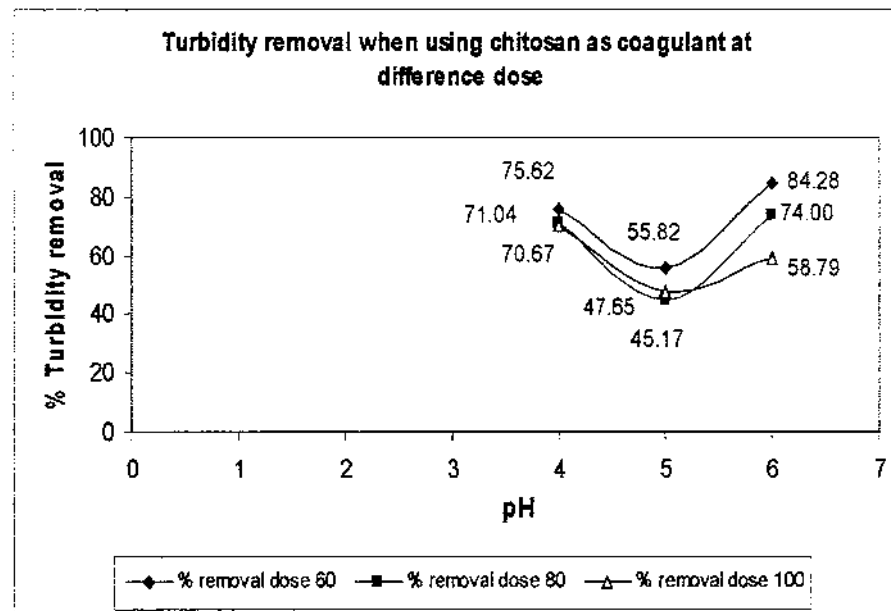
ภาพที่ 4.31 ประสิทธิภาพการบ้าดความชุ่นเมื่อใช้ Micronized Chitosan เป็นสารรวมตะกอนที่ความเข้มข้นเท่ากับ 80 มิลลิกรัมต่อลิตร

จากภาพที่ 4.31 พบว่าที่ความเข้มข้น 80 มิลลิกรัมต่อลิตร ประสิทธิภาพการบាบัดความชุ่นลดลงมากเมื่อค่า pH เพิ่มขึ้นจาก 4 เป็น 5 แต่เมื่อค่า pH เพิ่มเป็น 6 ประสิทธิภาพการบាบัดความชุ่นกลับเพิ่มขึ้นสูงมาก โดยประสิทธิภาพการบាบัดความชุ่นของแต่ละ pH เท่ากับ ร้อยละ 71.04, 45.17 และ 74.00 ตามลำดับ



ภาพที่ 4.32 ประสิทธิภาพการบាบัดความชุ่นเมื่อใช้ Micronized Chitosan เป็นสารรวมตะกอน ความเข้มข้นเท่ากับ 100 มิลลิกรัมต่อลิตร

จากภาพที่ 4.32 พบว่าที่ความเข้มข้น 100 มิลลิกรัมต่อลิตร ประสิทธิภาพการบាบัดความชุ่นลดลงเมื่อค่า pH เพิ่มขึ้นจาก 4 เป็น 5 แต่เมื่อค่า pH เพิ่มเป็น 6 ประสิทธิภาพการบាบัดความชุ่นเพิ่มขึ้น โดยประสิทธิภาพการบाบัดความชุ่นของแต่ละ pH เท่ากับ ร้อยละ 70.67, 47.65 และ 58.79 ตามลำดับ



ภาพที่ 4.33 เปรียบเทียบประสิทธิภาพการบ้าดความชุ่นเมื่อใช้ Micronized Chitosan เป็นสารรวมตะกอนที่ความเข้มข้นแตกต่างกัน

จากภาพที่ 4.33 พบว่าทุกๆ ปัจจัยความเข้มข้น มีประสิทธิภาพการบ้าดความชุ่นไปในทิศทางเดียวกัน กล่าวคือ ประสิทธิภาพการบ้าดความชุ่นมีแนวโน้มลดลง เมื่อค่า pH เพิ่มขึ้น จากเริ่มต้น 4 เป็น 5 แต่ประสิทธิภาพการบ้าดความชุ่นมีแนวโน้มเพิ่มสูงขึ้นเมื่อค่า pH เพิ่มเป็น 6 ตามลำดับ

เมื่อนำค่าความชุ่นนายหลังบ้าดมาทดสอบทางสถิติโดยใช้ One Way Analysis of Variance มาทดสอบเปรียบเทียบความแตกต่างของค่าความชุ่นนายหลังบ้าดพร้อมกันทุกกลุ่ม (Within Group) ของปัจจัย pH หรือปัจจัยความเข้มข้นของ Micronized Chitosan พบว่า ที่ปัจจัย pH ค่าความชุ่นนายหลังบ้าดแตกต่างกันอย่างมีนัยสำคัญทางสถิติ ($P\text{-Value} < 0.05$) ส่วน ปัจจัยความเข้มข้นของค่าความชุ่นนายหลังบ้าดไม่แตกต่างกันอย่างมีนัยสำคัญทางสถิติ ($P\text{-Value} > 0.05$) แต่มีแนวโน้มที่จะทำให้ค่าความชุ่นนายหลังบ้าดเปลี่ยนแปลง

ทั้งนี้จากการทดลองโดยภารวณอธินายได้ว่า ทฤษฎีกลไกระบวนการโคแยกุเลเซ่นที่เกิดจากการใช้ Micronized Chitosan เป็นสารรวมตะกอนมีสองขั้นคือ ในขั้นตอนแรก Micronized Chitosan ซึ่งเป็นสารโพลีเมอร์ประจุบวกจะเกาะติดกับอนุภาคสารหรือคลอลอยด์ที่มีประจุลบซึ่งถือว่าเป็นอนุภาคที่สูญเสียเสียงร้าวภาพแล้ว ขั้นตอนต่อมาคือ อนุภาคที่สูญเสียเสียงร้าวภาพแล้วสามารถจับเกาะกับอนุภาคอื่นๆ ได้โดยเชื่อมโยงเป็นสะพานเชื่อมต่ออนุภาค (Polymer-Bridging) ซึ่งสามารถยึดติดผิวอนุภาคของผลสารได้ เพราะ Micronized Chitosan เป็นโพลีเมอร์ที่มีขนาดใหญ่สามารถใช้เป็นสะพานเชื่อมต่อระหว่างอนุภาคของผลสาร

หรือ colloidal ได้ รวมทั้งสีพานน์ยังมีความแข็งแรงและสามารถต้านทานการแรงผลักระหว่างอนุภาคและความปั่นป่วนที่เกิดขึ้นจากการกวนน้ำได้ด้วย นอกจากนั้นค่า pH ยังมีอิทธิพลที่สำคัญกับความหนาแน่นของประจุ Micronized Chitosan ด้วย

จากการทดลองของอิบราหิมายได้ว่า ทุกๆปัจจัยความเข้มข้นของ Micronized Chitosan ค่า pH มีผลต่อประสิทธิภาพการบับัดความชื้น กล่าวคือ ประสิทธิภาพการเกิดฟลักซ์ของการเกิดโคอกูเลชันของ Micronized Chitosan มีความไวต่อการเปลี่ยนแปลงค่า pH เมื่อ pH มีค่าเพิ่มมากขึ้น จาก 4 เป็น 5 ซึ่งสอดคล้องกับผลงานวิจัยของ El-Mananoni และคณะ (1998) ที่ทำการศึกษาประสิทธิภาพการบับัดความชื้นของ Micronized Chitosan พบว่า ประสิทธิภาพการบับัดความชื้นของ Micronized Chitosan ลดลงอย่างเห็นได้ชัดจาก ร้อยละ 95 เป็น ร้อยละ 72 เมื่อ pH เพิ่มขึ้นจาก 5 เป็น 7 แต่ในบางสภาวะการทดลองนี้ พบว่าเมื่อ pH สูงขึ้นจาก 5 เป็น 6 ประสิทธิภาพการบับัดความชื้นกลับเพิ่มสูงขึ้นในทุกๆ ปัจจัยความเข้มข้น ทั้งนี้ในสภาวะที่เป็นกรด (Low pH) จำนวนโปรตอนของหมู่เอมีน (Amine Group) ของ Micronized Chitosan จะเพิ่มจำนวนมากขึ้น ดังนั้นที่ pH 5 ซึ่งมีจำนวนโปรตอนของหมู่เอมีนมากอยู่แล้ว เมื่อเติมความเข้มข้นของ Micronized Chitosan ลงไปจึงส่งผลให้การเกิด Charge Neutralization ลดลง หรือประจุลบของคอลลอยด์จับกับประจุบวกได้น้อยลง จึงทำให้ประสิทธิภาพการบับัดความชื้นลดลง แต่เมื่อเพิ่ม pH เป็น 6 บริมาณ OH⁻ สูงขึ้นจึงสนับสนุนให้ร่าง OH⁻ และอนุภาคคอลลอยด์สามารถเกาะจับ หรือดูดติดกับประจุบวกของ Micronized Chitosan และยึดเกาะบนเสียบโพลีเมอร์ได้มากขึ้น จึงเกิดการรวมตัวเป็นฟลักซ์ขนาดใหญ่ขึ้น และการจับตะกอนจนตกลงมากได้ดี ส่งผลให้ประสิทธิภาพการบับัดสูงขึ้น

4.3 อัตราเร็วในการตกรตะกอน

ผลการศึกษาอัตราเร็วการตกรตะกอนพิจารณาจากการพล็อกกราฟระหว่างความสูงของлага (h) จากค่านิ่งสุดของระบบอุ่นห้องหรือระยะที่ตะกอนเคลื่อนที่ไป (s) ณ เวลาต่างๆ (t) ที่ใช้ในการตกรตะกอนและพิจารณาประสิทธิภาพอัตราเร็วการตกรตะกอนจากอัตราเร็วในการตกรตะกอนสูงสุดของสารรวมตะกอนแต่ละชนิดและหาอัตราเร็วเฉลี่ยได้จากการซั่นของกราฟหรือจากสูตร

$$v = \frac{\Delta s}{\Delta t} = \frac{s_2 - s_1}{t_2 - t_1}$$

ตัวอย่างการหาอัตราเร็วการตกรตะกอนเฉลี่ยแสดงในภาคผนวก ๑ โดยผลการทดลองหาอัตราเร็วการตกรตะกอนเป็นดังต่อไปนี้

หรือ colloidal ได้ รวมทั้งสีพานน์ยังมีความแข็งแรงและสามารถต้านทานทางแรงผลักระหว่างอนุภาคและความปั่นป่วนที่เกิดขึ้นจากการกวนน้ำได้ด้วย นอกจากนั้นค่า pH ยังมีอิทธิพลที่สำคัญกับความหนาแน่นของประจุ Micronized Chitosan ด้วย

จากการทดลองของอิบราหิมายได้ว่า ทุกๆปัจจัยความเข้มข้นของ Micronized Chitosan ค่า pH มีผลต่อประสิทธิภาพการบับบัดความชื้น กล่าวคือ ประสิทธิภาพการเกิดฟลักซ์ของการเกิดโคลอกูลชั้นของ Micronized Chitosan มีความไวต่อการเปลี่ยนแปลงค่า pH เมื่อ pH มีค่าเพิ่มมากขึ้น จาก 4 เป็น 5 ซึ่งสอดคล้องกับผลงานวิจัยของ El-Mananoni และคณะ (1998) ที่ทำการศึกษาประสิทธิภาพการบับบัดความชื้นของ Micronized Chitosan พบว่า ประสิทธิภาพการบับบัดความชื้นของ Micronized Chitosan ลดลงอย่างเห็นได้ชัดจาก ร้อยละ 95 เป็น ร้อยละ 72 เมื่อ pH เพิ่มขึ้นจาก 5 เป็น 7 แต่ในบางสภาวะการทดลองนี้ พบว่าเมื่อ pH สูงขึ้นจาก 5 เป็น 6 ประสิทธิภาพการบับบัดความชื้นกลับเพิ่มสูงขึ้นในทุกๆ ปัจจัยความเข้มข้น ทั้งนี้ในสภาวะที่เป็นกรด (Low pH) จำนวนโปรตอนของหมู่เอมีน (Amine Group) ของ Micronized Chitosan จะเพิ่มจำนวนมากขึ้น ดังนั้นที่ pH 5 ซึ่งมีจำนวนโปรตอนของหมู่เอมีนมากอยู่แล้ว เมื่อเติมความเข้มข้นของ Micronized Chitosan ลงไปปึงส่งผลให้การเกิด Charge Neutralization ลดลง หรือประจุลบของคอลลอยด์จับกับประจุบวกได้น้อยลง จึงทำให้ประสิทธิภาพการบับบัดความชื้นลดลง แต่เมื่อเพิ่ม pH เป็น 6 บริมาณ OH⁻ สูงขึ้นจึงสนับสนุนให้ร่าง OH⁻ และอนุภาคคอลลอยด์สามารถเกาะจับ หรือดูดติดกับประจุบวกของ Micronized Chitosan และยึดเกาะบนเสียบโพลีเมอร์ได้มากขึ้น จึงเกิดการรวมตัวเป็นฟลักซ์ขนาดใหญ่ขึ้น และการจับตะกอนจนตกกลงมาได้ดี ส่งผลให้ประสิทธิภาพการบับบัดสูงขึ้น

4.3 อัตราเร็วในการตกรตะกอน

ผลการศึกษาอัตราเร็วการตกรตะกอนพิจารณาจากการพล็อกกราฟระหว่างความสูงของ กาก (h) จากค่านิ่งสุดของระบบอุ่นห้องหรือระยะที่ตะกอนเคลื่อนที่ไป (s) ณ เวลาต่างๆ (t) ที่ใช้ในการตกรตะกอนและพิจารณาประสิทธิภาพอัตราเร็วการตกรตะกอนจากอัตราเร็วในการตกรตะกอนสูงสุดของสารรวมตะกอนแต่ละชนิดและหาอัตราเร็วเฉลี่ยได้จากการซั่นของกราฟหรือจากสูตร

$$v = \frac{\Delta s}{\Delta t} = \frac{s_2 - s_1}{t_2 - t_1}$$

ตัวอย่างการหาอัตราเร็วการตกรตะกอนเฉลี่ยแสดงในภาคผนวก ๑ โดยผลการทดลองหาอัตราเร็วการตกรตะกอนเป็นดังต่อไปนี้

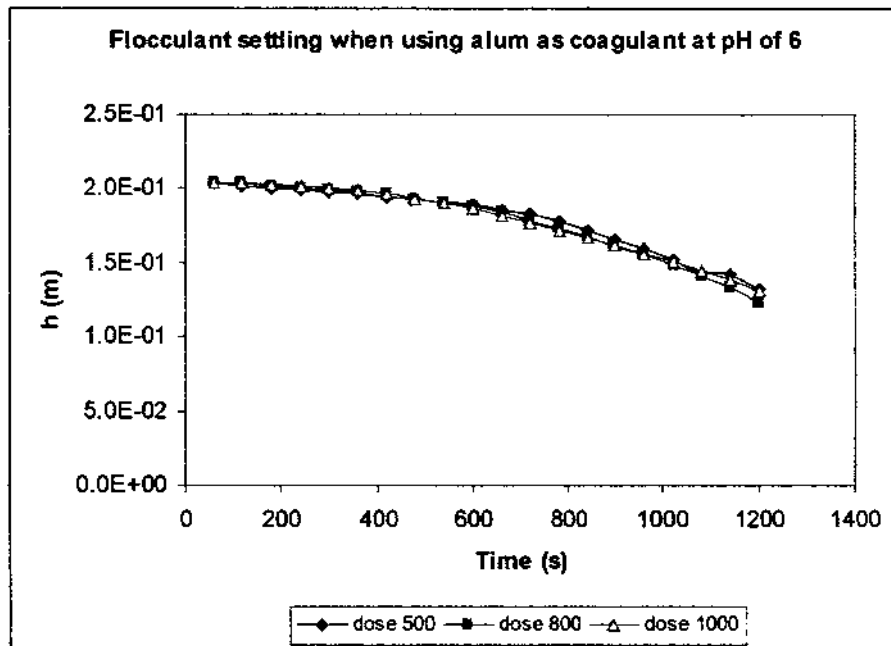
4.3.1 การหาอัตราเร็วการตกตะกอนเมื่อใช้สารสัม (Alum) เป็นสารรวมตะกอน

การหาอัตราเร็วการตกตะกอนเมื่อใช้สารสัม (Alum) เป็นสารรวมตะกอนแสดงได้ดังตารางที่ 4.10 และแนวโน้มหรือทิศทางในการตกตะกอนของ Flocculant แสดงได้ ดังภาพที่ 4.34 ถึงภาพที่ 4.36

ตารางที่ 4.10 อัตราเร็วเฉลี่ยการตกตะกอนเมื่อใช้สารสัมเป็นสารรวมตะกอน

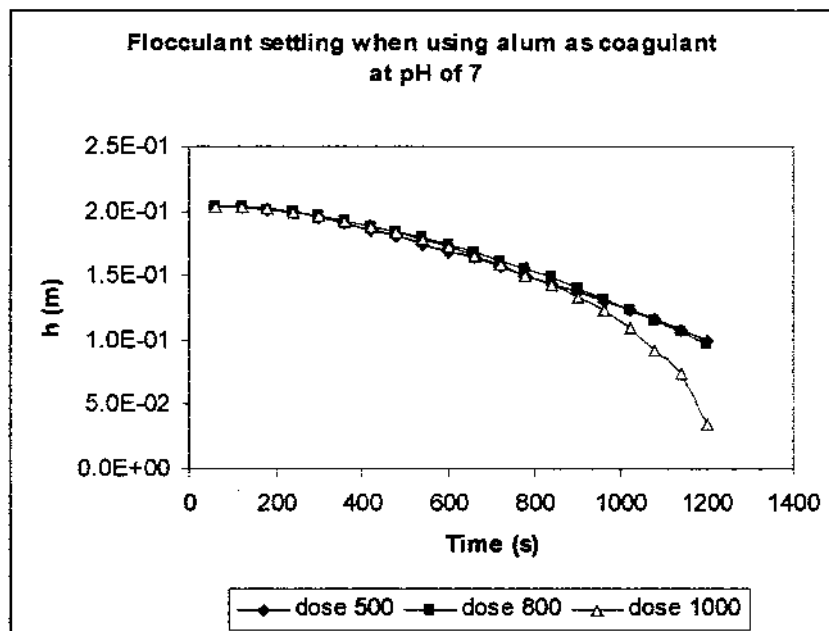
อัตราเร็วการตกตะกอนเฉลี่ยตัวอย่างน้ำเสียคลองแสนแสบเมื่อใช้สารสัมเป็นสารรวมตะกอน ($\times 10^4$ m/s)

| pH | Dose (mg/l) | | |
|----|-------------|------|------|
| | 500 | 800 | 1000 |
| 6 | 0.60 | 0.69 | 0.65 |
| 7 | 0.94 | 0.95 | 1.27 |
| 8 | 1.56 | 1.32 | 1.25 |



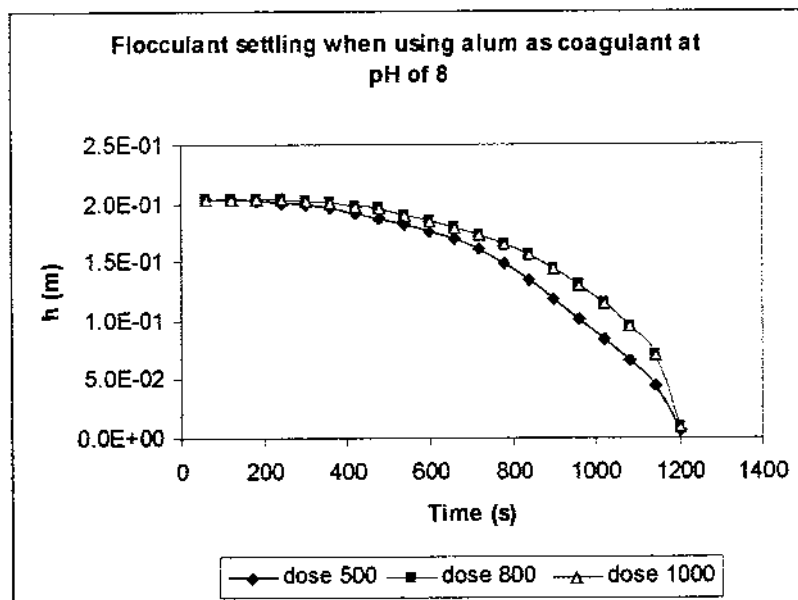
ภาพที่ 4.34 ทิศทางและอัตราเร็วการตกตะกอนเมื่อใช้สารสัมเป็นสารรวมตะกอนที่ pH เท่ากับ 6

จากภาพที่ 4.34 พบว่าการตกลงของฟลีโคลมีวิธีโคงง โดยที่สภาวะทดลอง pH เท่ากับ 6 อัตราเร็วการตกลงของฟลีโคลมีวิธีโคงงกันมากหรือไม่แตกต่างกันคือ 0.60×10^{-4} 0.65×10^{-4} และ 0.60×10^{-4} เมตรต่อวินาที ตามลำดับ ที่ความเข้มข้นเท่ากับ 800 1,000 และ 500 มิลลิกรัมต่อลิตร ตามลำดับ



ภาพที่ 4.35 ทิศทางและอัตราเร็วการตกลงของฟลีโคลมีวิธีโคงงเมื่อใช้สารสัมเป็นสารรวมตกลงที่ pH 7

จากภาพที่ 4.35 พบว่าการตกลงของฟลีโคลมีวิธีโคงง โดยที่สภาวะทดลอง pH เท่ากับ 7 อัตราเร็วการตกลงสูงสุดเกิดขึ้นที่ความเข้มข้นเท่ากับ 1,000 มิลลิกรัมต่อลิตร คือ 1.27×10^{-4} เมตรต่อวินาที รองลงมาคือที่ความเข้มข้นเท่ากับ 800 และ 500 มิลลิกรัมต่อลิตร โดยมีค่าอัตราเร็วการตกลงของฟลีโคลมีวิธีโคงงกันมากหรือไม่แตกต่าง เท่ากับ 0.95×10^{-4} และ 0.94×10^{-4} เมตรต่อวินาที ตามลำดับ



ภาพที่ 4.36 ทิศทางและอัตราเร็วการตกลงตะกอนเมื่อใช้สารสัมเป็นสารรวมตะกอนที่ pH 8

จากภาพที่ 4.36 พบว่าการตกลงตะกอนของฟลีโคลมิวิทีโคล์ลิง โดยที่สภาวะทดลอง pH เท่ากับ 8 อัตราเร็วการตกลงตะกอนสูงสุดเกิดขึ้นที่ความเข้มข้นเท่ากับ 500 มิลลิกรัมต่อลิตร รองลงมาคือที่ความเข้มข้นเท่ากับ 800 และ 1,000 มิลลิกรัมต่อลิตร ตามลำดับ โดยมีอัตราเร็วเฉลี่ยการตกลงตะกอนเท่ากับ 1.56×10^{-4} , 1.32×10^{-4} และ 1.25×10^{-4} เมตรต่อวินาที ตามลำดับ

เมื่อนำค่าอัตราเร็วการตกลงตะกอนเฉลี่ยมาวิเคราะห์ทางสถิติ โดยวิธี One Way ANOVA เพื่อหาความแตกต่างของอัตราเร็วการตกลงตะกอนเฉลี่ยในแต่ละปัจจัย pH และปัจจัยความเข้มข้น พบว่า อัตราเร็วการตกลงตะกอนเฉลี่ยที่เกิดขึ้นจากปัจจัย pH แตกต่างกันอย่างมีนัยสำคัญทางสถิติ ($P\text{-Value} < 0.05$) แต่ที่ปัจจัยความเข้มข้นอัตราเร็วการตกลงตะกอนไม่แตกต่างกันอย่างมีนัยสำคัญทางสถิติ ($P\text{-Value} > 0.05$) แต่มีแนวโน้มที่จะทำให้อัตราเร็วการตกลงตะกอนเฉลี่ยเปลี่ยนแปลง

ทั้งนี้จากการทดลองอธิบายได้ว่า การตกลงตะกอนของฟลีโคลมิวิทีโคล์ลิงที่เกิดจากการใช้สารสัมเป็นสารรวมตะกอนทำให่อนุภาคหรือคอมพลอยด์ที่กระจัดกระจายในด้วยอย่างน้ำเสียรวมตัวกันโดยการทำลายเสถียรภาพของคอมพลอยด์ สารสัมสามารถทำลายเสถียรภาพของคอมพลอยด์จนเกิดขบวนการโคแยกกุเลชั่นได้ด้วยกลไกหลัก สองประการ ซึ่งขึ้นอยู่กับปริมาณของสารรวมตะกอน (Dose) และ pH ของน้ำ กลไกดังกล่าวคือ กลไกแบบดูดติดผิวและทำลายประจุ และกลไกแบบห่อหุ้มน้ำเสียคอมพลอยด์ด้วยฟลีกหรือ Sweep Coagulation นี่ในการทำโคแยกกุเลชั่นด้วยสารสัมของน้ำเสียชาดิส่วนใหญ่มักมีกลไกแบบ Sweep Coagulation เป็นกลไกหลัก โดยอาจมีกลไกแบบดูดติดผิวและทำลายประจุเป็นกลไกร่วมซึ่งมีบทบาทด้อยกว่า (มั่นสิน ตัณฑุลเวศ์, 2537: 163) โดยสารสัมสร้างกลไกแบบห่อหุ้มน้ำเสียด้วยฟลีกหรือ

Sweep Coagulation โดยการสร้างฟลีก Al(OH)_3 ซึ่งมีลักษณะคล้ายเป็นปุยและเมื่ออนุภาค colloidal ซึ่งมีสัมผัสกับฟลีก Al(OH)_3 ก็จะเกาะตัวจับอยู่บนฟลีกนั้นเมื่อเกิดการเกาะกันมากขึ้น เรื่อยๆ จะได้ฟลีกขนาดใหญ่ที่ตกลงกันได้ง่าย ผลการทดลองโดยใช้สารสัมเป็นสารรวมตัวกอนตกลงกันตัวอย่างน้ำเสียคลองแสตนและทำให้ฟลีกที่เกิดขึ้นมีลักษณะเป็นปุยสีขาวขุ่น ดังภาพที่ 4.46 ซึ่งระหว่างการตกลงกันฟลีกจะมีขนาดใหญ่บ้างเล็กบ้างโดยฟลีกที่มีขนาดใหญ่จะตกลงกันลงมากก่อนในช่วงแรกของการตกลงกัน (1-5 นาทีแรก) และเมื่อเวลาผ่านไปในช่วงกลางถึงช่วงสุดท้าย ($5 - 20$ นาที) ตกลงกันขนาดเล็กที่ลอยตัวอยู่ในน้ำตัวอย่างจะชนกันและเกาะตัวกันเพิ่มมากขึ้นจนตกลงกันลงมาที่ด้านล่างกระบอกตัวให้มองเห็นน้ำใสที่อยู่ส่วนบนแยกกับชั้นกากะกอนด้านล่างชัดเจนมากขึ้น ซึ่งการเคลื่อนตัวของฟลีกในระบบออกตัวจะมีลักษณะการเคลื่อนตัวที่ค่อนข้างช้าทั้งนี้อาจเนื่องมาจากฟลีกมีลักษณะเป็นปุยขนาดเล็กและบางทำให้มีน้ำหนักเบามากจึงตกลงกันหรือเคลื่อนที่ได้ช้า

เมื่อพิจารณาภาพรวมของอัตราเร็วการตกลงกัน (Flocculant Settling) โดยใช้สารสัมเป็นสารรวมตัวกอนพบว่าที่ $\text{pH} 8$ ความเข้มข้นของสารสัมเท่ากับ $500 \text{ มิลลิกรัมต่อลิตร}$ มีอัตราเร็วการตกลงกันเฉลี่ยของฟลีกเร็วที่สุดเท่ากับ $1.56 \times 10^{-4} \text{ เมตรต่อวินาที}$ ดังแสดงในตารางที่ 4.10 รองลงมาคือที่ $\text{pH} 8$ เช่นเดียวกัน ที่ความเข้มข้น $800 \text{ มิลลิกรัมต่อลิตร}$ มีอัตราเร็วเฉลี่ยเท่ากับ $1.32 \times 10^{-4} \text{ เมตรต่อวินาที}$ ส่วนอัตราเร็วในการตกลงกันต่ำสุดเกิดขึ้นที่ $\text{pH} 6$ ความเข้มข้นของสารสัมเท่ากับ $500 \text{ มิลลิกรัมต่อลิตร}$ โดยมีอัตราเร็วการตกลงกันเฉลี่ยเท่ากับ $0.60 \times 10^{-4} \text{ เมตรต่อวินาที}$ ซึ่งอัตราเร็วการตกลงกันเกิดจากความสัมพันธ์ระหว่างเวลา (t) และความสูงของกากในแต่ละช่วงเวลา (h) หรือระยะที่ตกลงกันเคลื่อนที่ไป (s) นอกจากนี้ลักษณะการตกลงกันของฟลีกจะมีพิเศษทางด้านล่างกระบอกตัวตามแรงโน้มถ่วงของโลก ดังนั้น กราฟการตกลงกันของแต่ละสภาวะทดลองจึงมีวิธีโค้งลงดังภาพที่ 4.34 ถึง 4.36

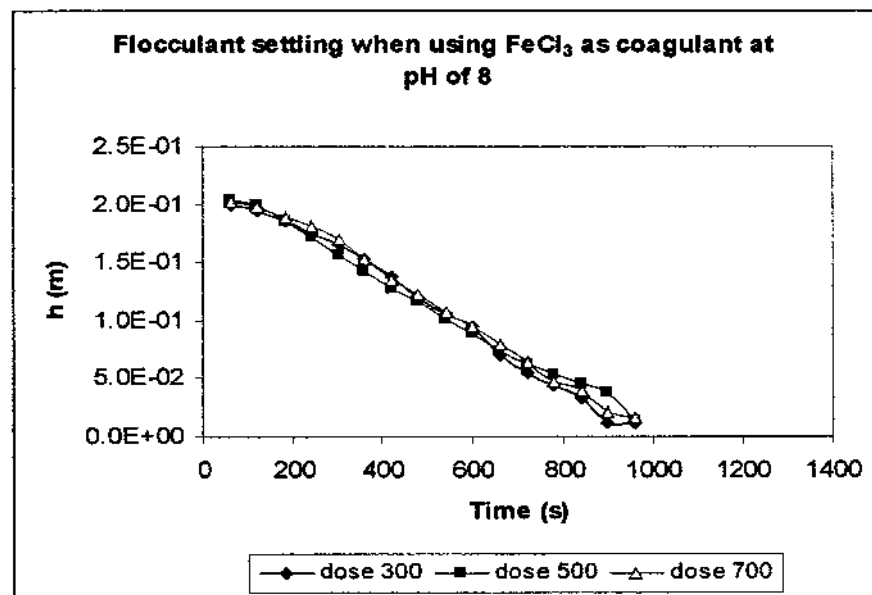
อย่างไรก็ตามนักวิจัยเชื่อว่าการตกลงกันอาจเกิดขึ้นในอัตราข้ามกันเมื่อใช้สารสัมน้อยเนื่องจากไม่มีสารซักนำ ดังนั้นในทางปฏิบัติจะต้องมีสารสัมไม่น้อยกว่า $30 \text{ มิลลิกรัมต่อลิตร}$ หรือสารสัมที่ใช้ต้องมีปริมาณสูงพอโดยเฉพาะอย่างยิ่งน้ำเสียที่มีค่าความกรุ่นต่ำจะมีโอกาสสัมผัสถกันน้อย ดังนั้นแม้ว่าการทำลายเสถียรภาพจะเกิดขึ้นแล้วแต่โภคภูมิ เช่นอาจไม่เกิดดีเท่าที่ควรทำให้ต้องใช้ปริมาณสารสัมในปริมาณสูงเพื่อสร้างเป้าสัมผัสให้เกิดมากขึ้นนอกจากนี้ pH ของน้ำควรอยู่ในช่วง $6 - 7.5$ จึงจะได้ผลดีที่สุด (มั่นสิน ตันตุลเวศ์, 2537: 159 – 165) ซึ่งจากผลการทดลองจึงสอดคล้องกับทฤษฎีดังกล่าว คือ ลักษณะของฟลีกมีลักษณะคล้ายเป็นปุยจากฟลีก Al(OH)_3 และคอลloidจะเกาะบนฟลีกนั้นจนเกิดฟลีกที่มีขนาดใหญ่ขึ้นและตกลงกันได้ง่ายขึ้นการเกิดการตกลงกันได้ดีที่สุดในการทดลองนี้คือที่ pH เท่ากับ 8 ซึ่งใกล้เคียงกับช่วง pH ที่เหมาะสมและใช้ปริมาณสารสัมมากกว่าตามที่ทฤษฎีกล่าวไว้คือควรต้องมากกว่า $30 \text{ มิลลิกรัมต่อลิตร}$ และความเข้มข้นของสารสัมที่เหมาะสมเพื่อให้ได้อัตราเร็วการตกลงกันสูงสุด

จากการทดลอง คือ 500 มิลลิกรัมต่อลิตร เนื่องจากน้ำเสียมีค่าความชุ่นต่ำจึงต้องการสร้างเป็นสัมผัสให้มากที่สุด

4.3.2 การทดลองหาอัตราเร็วการตกตะกอนเมื่อใช้เพอร์คลอไรด์เป็นสารรวมตะกอน
การทดลองหาอัตราเร็วการตกตะกอนเมื่อใช้เพอร์คลอไรด์เป็นสารรวมตะกอน ผลการทดลองแสดงได้ดังตารางที่ 4.11 และทิศทางในการตกตะกอน ดังภาพที่ 4.37 ถึง 4.39

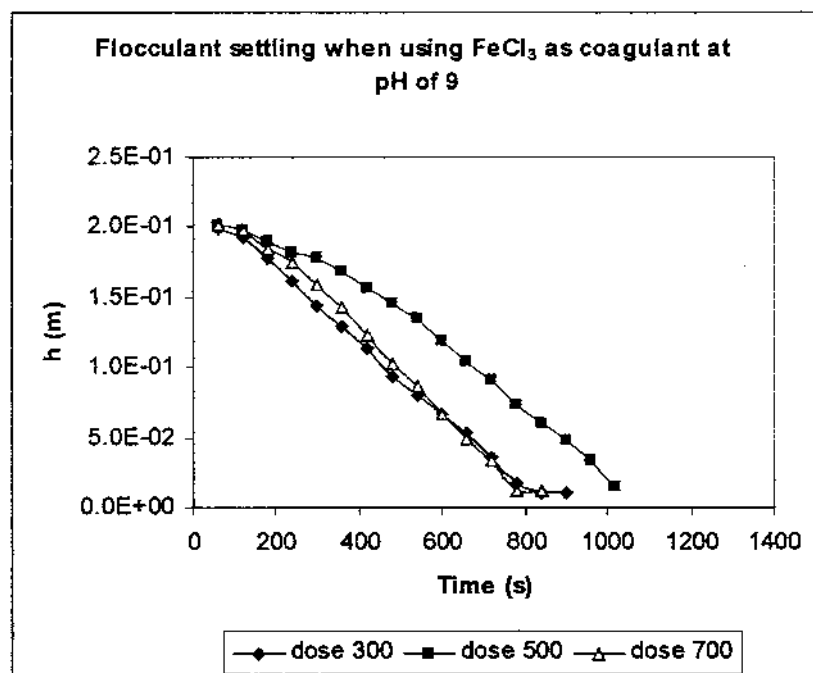
ตารางที่ 4.11 อัตราเร็วเฉลี่ยการตกตะกอนเมื่อใช้ FeCl_3 เป็นสารรวมตะกอน

| อัตราเร็วเฉลี่ยการตกตะกอนตัวอย่างน้ำเสียทดลองแสนแบบเมื่อใช้ FeCl_3 เป็นสารรวมตะกอน ($\times 10^{-4} \text{ m/s}$) | | | |
|--|-------------|------|------|
| pH | Dose (mg/l) | | |
| | 300 | 500 | 700 |
| 8 | 2.30 | 2.12 | 2.21 |
| 9 | 2.55 | 2.00 | 2.71 |
| 10 | 2.40 | 2.17 | 2.23 |



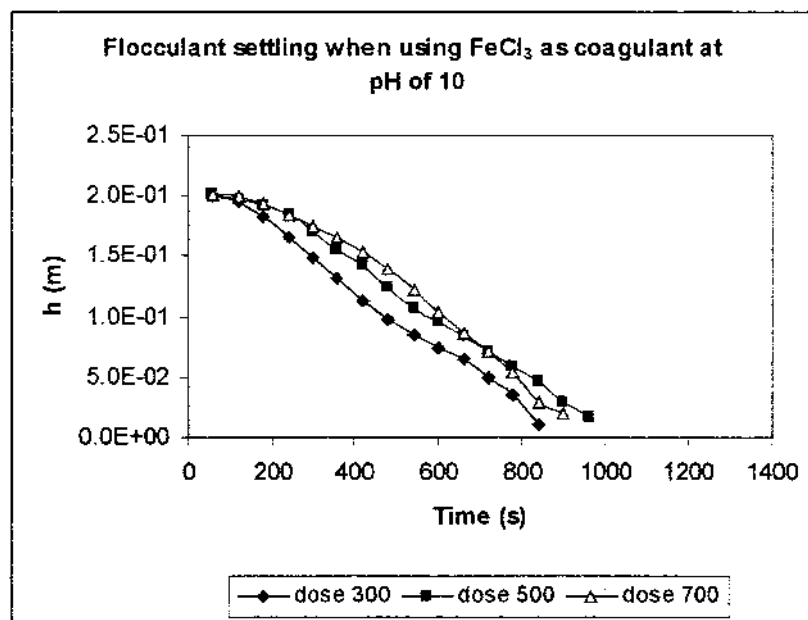
ภาพที่ 4.37 ทิศทางและอัตราเร็วการตกตะกอนเมื่อใช้ FeCl_3 เป็นสารรวมตะกอนที่ pH 8

จากภาพที่ 4.37 พบว่าการตกตะกอนของฟลีโอมีวิส์โคลั่งและจากตารางที่ 4.11 ที่ สภาวะทดลอง pH เท่ากับ 8 อัตราเร็วการตกตะกอนสูงสุดเกิดขึ้นที่ความเข้มข้นเท่ากับ 300 มิลลิกรัมต่อลิตร รองลงมาคือที่ความเข้มข้นเท่ากับ 700 และ 300 มิลลิกรัมต่อลิตร ตามลำดับ โดยมีอัตราเร็วเฉลี่ยการตกตะกอนเท่ากับ 2.30×10^{-4} , 2.21×10^{-4} และ 2.12×10^{-4} เมตร ต่อวินาที ตามลำดับ



ภาพที่ 4.38 หิศทางและอัตราเร็วการตกตะกอนเมื่อใช้ FeCl_3 เป็นสารรวมตะกอนที่ pH 9

จากภาพที่ 4.38 พบว่าการตกตะกอนของฟลีโอมีวิส์โคลั่งและจากตารางที่ 4.11 ที่ สภาวะทดลอง pH เท่ากับ 9 อัตราเร็วการตกตะกอนสูงสุดเกิดขึ้นที่ความเข้มข้นเท่ากับ 700 มิลลิกรัมต่อลิตร รองลงมาคือที่ความเข้มข้นเท่ากับ 300 และ 500 มิลลิกรัมต่อลิตร ตามลำดับ โดยมีอัตราเร็วเฉลี่ยการตกตะกอนเท่ากับ 2.71×10^{-4} , 2.55×10^{-4} และ 2.00×10^{-4} เมตรต่อวินาที ตามลำดับ



ภาพที่ 4.39 ทิศทางและอัตราเร็วการตกลงตะกอนเมื่อใช้ FeCl_3 เป็นสารรวมตะกอนที่ pH 10

จากภาพที่ 4.39 และตารางที่ 4.11 พบว่าการตกลงตะกอนของฟลีโคล์มีรีส์โกลิง โดยที่สภาวะทดลอง pH เท่ากับ 10 อัตราเร็วการตกลงตะกอนสูงสุดเกิดขึ้นที่ความเข้มข้นเท่ากับ 300 มิลลิกรัมต่อลิตร รองลงมาคือที่ความเข้มข้นเท่ากับ 700 และ 500 มิลลิกรัมต่อลิตร ตามลำดับ โดยอัตราเร็วเฉลี่ยการตกลงตะกอนเท่ากับ 2.40×10^{-4} , 2.23×10^{-4} และ 2.17×10^{-4} เมตรต่อวินาที ตามลำดับ

เมื่อนำค่าอัตราเร็วการตกลงตะกอนเฉลี่ยมาวิเคราะห์ทางสถิติ โดยวิธี One Way ANOVA เพื่อหาความแตกต่างของอัตราเร็วการตกลงตะกอนเฉลี่ยในแต่ละปัจจัย pH และปัจจัยความเข้มข้น พบว่า อัตราเร็วการตกลงตะกอนเฉลี่ยทั้งปัจจัย pH และปัจจัยความเข้มข้นไม่แตกต่างกันอย่างมีนัยสำคัญทางสถิติ ($P\text{-Value} > 0.05$) แต่มีแนวโน้มที่จะทำให้อัตราเร็วการตกลงตะกอนเฉลี่ยเปลี่ยนแปลง

ทั้งนี้จากการทดลองอธิบายได้ว่า การตกลงตะกอนของฟลีโคล์ที่เกิดจากการใช้ FeCl_3 เป็นสารรวมตะกอนหรือสารรวมตะกอนจะทำใหอนุภาคหรือกลุ่มอนุภาคซึ่งตัวกันโดย FeCl_3 เป็นสารประกอบเหล็กที่มีประจุบวกเมื่อเกิดการแยกตัวจึงส่งผลให้เกิดการรวมกลุ่มของตะกอน โดย FeCl_3 จะจับกับอนุภาคสารหรือกลุ่มอนุภาคที่มีประจุลบในน้ำได้ตัวกันของเพอร์ออกไซด์ Fe(OH)_3 ทั้งนี้จากการทดลองพบว่าพฤติกรรมการตกลงตะกอนของฟลีโคล์ในตัวอย่างน้ำเสียเมื่อใช้ FeCl_3 เป็นสารรวมตะกอนแบ่งได้ 2 แบบ กล่าวคือ ในช่วงแรกของการตกลงตะกอน (1-5 นาทีแรก) การตกลงตะกอนจะมีลักษณะเป็นแบบรวมกลุ่มกันเป็นฟลีโคล์และช่วงกลางและช่วงสุดท้าย (5 - 20 นาที) จะมีลักษณะการตกลงตะกอนแบบ

แบบสะสมเป็นชั้นๆ (Accumulation) โดยแยกชั้นของกากตะกอนกับน้ำใสอย่างชัดเจนและการใช้สารประกอบเหล็กหรือเพอร์วิคอลอไรต์เป็นสารรวมตะกอนแตกตะกอนตัวอย่างน้ำเสียคลองแสนแสบทำให้ลักษณะของฟลีโอดที่เกิดขึ้นมีลักษณะเป็นเต็น้ำตาลแดง ดังภาพที่ 4.55

จากการทดลองพบว่าการตกตะกอนของฟลีโอดที่เกิดขึ้นค่อนข้างเร็วเมื่อเทียบกับการใช้สารสัมเป็นสารรวมตะกอน ทั้งนี้สันนิษฐานได้ว่าเกิดจากฟลีโอดที่เกิดขึ้นมีลักษณะค่อนข้างกลม (Spheres Shape) เมื่อมองด้วยตาเปล่า จึงอาจส่งผลให้เกิดแรงดึงด้านแรงเสียดทานในน้ำดำรวมทั้งฟลีโอดมีขนาดใหญ่จึงทำให้มีน้ำหนักมากและตกตะกอนได้เร็วเมื่อเทียบกับฟลีโอดที่ตกตะกอนโดยใช้สารสัมเป็นสารรวมตะกอน

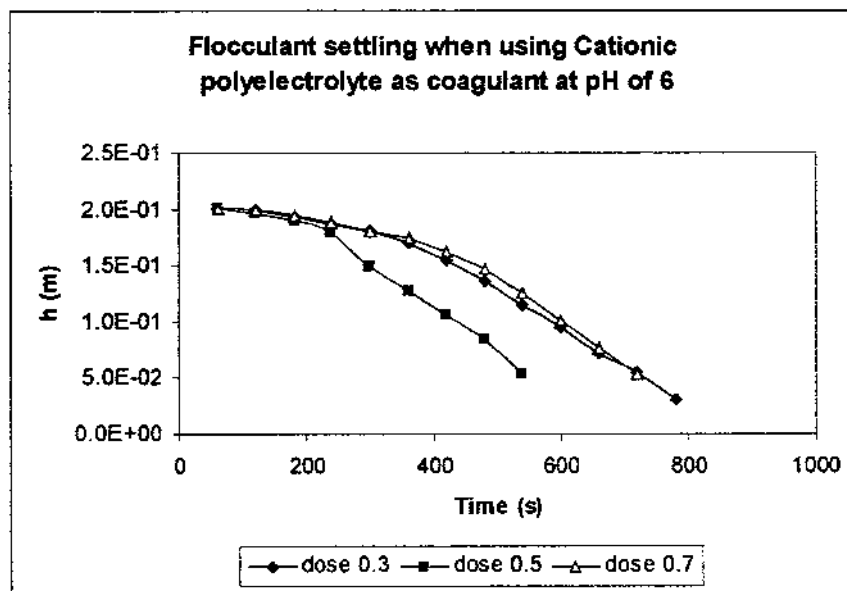
เมื่อพิจารณาอัตราเร็วการตกตะกอน (Flocculant Settling) โดยใช้เพอร์วิคอลอไรต์ (FeCl_3) เป็นสารรวมตะกอนพบว่าที่ $\text{pH} 9$ ปริมาณของเพอร์วิคอลอไรต์เท่ากับ 700 มิลลิกรัมต่อลิตร มีอัตราเร็วการตกตะกอนของฟลีโอดเร็วที่สุดโดยมีอัตราเร็วเฉลี่ยเท่ากับ 2.71×10^{-4} เมตรต่อวินาที ดังตารางที่ 4.12 รองลงมาคือที่ $\text{pH} 9$ เช่นเดียวกัน ที่ความเข้มข้น 300 มิลลิกรัมต่อลิตร มีอัตราเร็วเฉลี่ยเท่ากับ 2.55×10^{-4} เมตรต่อวินาที ส่วนอัตราเร็วต่ำสุดเกิดก็ขึ้นที่สภาวะ pH เท่ากับ 9 โดยมีความเข้มข้นเท่ากับ 500 มิลลิกรัมต่อลิตร จากผลการทดลองในตารางที่ 4.11 จะพบว่าในทุกสภาวะ pH อัตราเร็วการตกตะกอนเฉลี่ยจะลดลงเมื่อความเข้มข้นของสารสัมเพิ่มขึ้นจาก 300 เป็น 500 มิลลิกรัมต่อลิตร และอัตราเร็วเฉลี่ยจะเพิ่มสูงขึ้นเมื่อความเข้มข้นเพิ่มเป็น 700 มิลลิกรัมต่อลิตร ทั้งนี้อัตราเร็วการตกตะกอนเกิดจากความสัมพันธ์ระหว่างเวลา (t) และความสูงของกาก (h) หรือระยะที่ตะกอนเคลื่อนที่ไป (s) ทำให้ทราบว่าอนุภาคนั้นเคลื่อนที่ไปที่ระยะความลึกเท่าไหร่ที่เวลาต่างๆ ภายใต้แรงโน้มถ่วงของโลกดังนั้นการฟiltration จึงมีวิธีโครงสร้าง ดังภาพที่ 4.37-4.39

4.3.3 การทดลองหาอัตราเร็วการตกตะกอนเมื่อใช้ Cationic Polyelectrolyte เป็นสารรวมตะกอน

การทดลองหาอัตราเร็วการตกตะกอนเมื่อใช้ Cationic Polyelectrolyte (Optimer 9916) เป็นสารรวมตะกอน ผลการทดลองแสดงได้ดังตารางที่ 4.12 และภาพที่ 4.40 ถึง 4.42

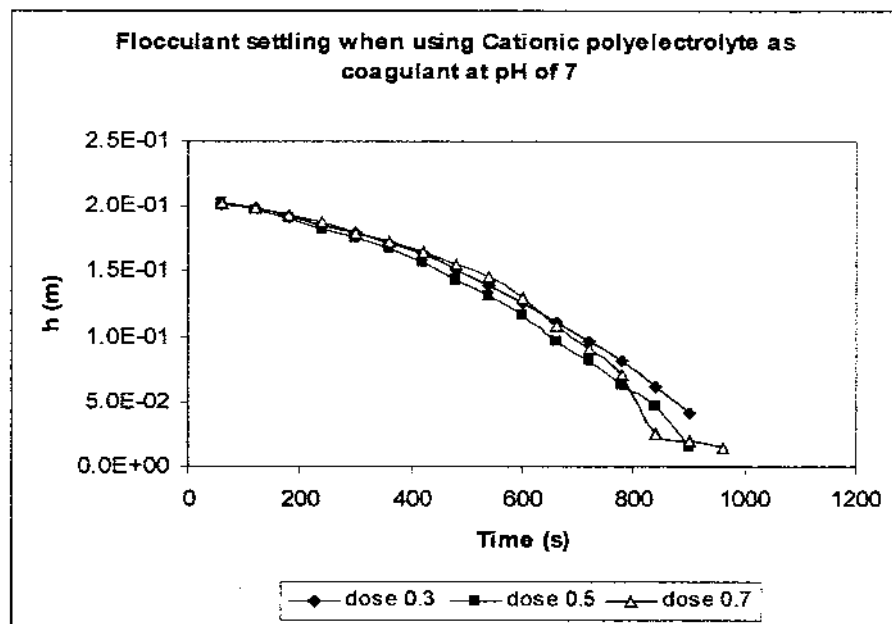
ตารางที่ 4.12 อัตราเร็วเฉลี่ยการตกรดกอนเมื่อใช้ Cationic Polyelectrolyte เป็นสารรวมตกรดกอน

| อัตราเร็วการตกรดกอนเฉลี่ยด้วยด้วอย่างน้ำเสียคล่องแสนแสบเมื่อใช้ Cationic Polyelectrolyte เป็นสารรวมตกรดกอน ($\times 10^{-4}$ m/s) | | | |
|--|-------------|------|------|
| pH | Dose (mg/l) | | |
| | 0.3 | 0.5 | 0.7 |
| 6 | 2.45 | 3.38 | 2.22 |
| 7 | 1.89 | 2.17 | 2.24 |
| 8 | 1.84 | 1.85 | 2.30 |



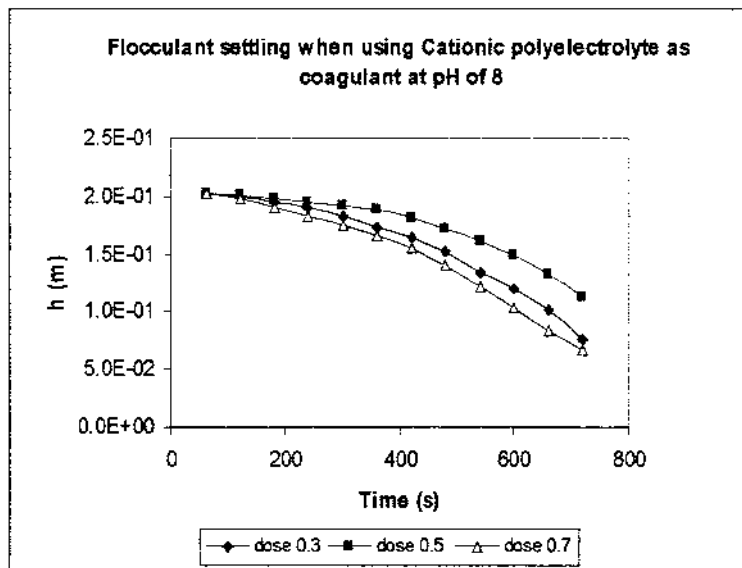
ภาพที่ 4.40 รีศทางและอัตราเร็วการตกรดกอนเมื่อใช้ Cationic Polyelectrolyte เป็นสารรวมตกรดกอนที่ pH เท่ากับ 6

จากภาพที่ 4.40 และตารางที่ 4.12 พบร่วมกันว่าการตกรดกอนของฟลูอิคเมอร์ที่ต้องการลดลง pH เท่ากับ 6 อัตราเร็วการตกรดกอนสูงสุดเกิดขึ้นที่ความเข้มข้นเท่ากับ 0.5 มิลลิกรัมต่อลิตร รองลงมาคือที่ความเข้มข้นเท่ากับ 0.3 และ 0.7 มิลลิกรัมต่อลิตร ตามลำดับ โดยมีอัตราเร็วเฉลี่ยการตกรดกอนเท่ากับ 3.38×10^{-4} , 2.45×10^{-4} , 2.22×10^{-4} เมตรต่อวินาที ตามลำดับ



ภาพที่ 4.41 ทิศทางและอัตราเร็วการตกตะกอนเมื่อใช้ Cationic Polyelectrolyte เป็นสารรวมตะกอนที่ pH เท่ากับ 7

จากภาพที่ 4.41 และตารางที่ 4.12 พบร่วมกันของการตกตะกอนของฟลีโอมีรีโนคังลง โดยที่สภาวะทดลอง pH เท่ากับ 7 อัตราเร็วการตกตะกอนสูงสุดเกิดขึ้นที่ความเข้มข้นเท่ากับ 0.7 มิลลิกรัมต่อลิตร รองลงมาคือที่ความเข้มข้นเท่ากับ 0.5 และ 0.3 มิลลิกรัมต่อลิตร ตามลำดับ โดยมีอัตราเร็วเฉลี่ยการตกตะกอนเท่ากับ 2.24×10^{-4} , 2.17×10^{-4} , 1.89×10^{-4} เมตรต่อวินาที ตามลำดับ



ภาพที่ 4.42 ทิศทางและอัตราเร็วการตกลงตะกอนเมื่อใช้ Cationic Polyelectrolyte เป็นสารรวมตะกอนที่ pH เท่ากับ 8

จากภาพที่ 4.42 และตารางที่ 4.12 พบร่วมกันว่าการตกลงตะกอนของฟลีโคมีวิถีโค้งลง โดยที่สภาวะทดลอง pH เท่ากับ 8 อัตราเร็วการตกลงตะกอนสูงสุดเกิดขึ้นที่ความเข้มข้นเท่ากับ 0.7 มิลลิกรัมต่อลิตร รองลงมาคือที่ความเข้มข้นเท่ากับ 0.5 และ 0.3 มิลลิกรัมต่อลิตร โดยที่ความเข้มข้น 0.5 และ 0.3 มิลลิกรัมต่อลิตร มีอัตราเร็วการตกลงตะกอนใกล้เคียงกันหรือไม่แตกต่างโดยอัตราเร็วนี้ลี่การตกลงตะกอนที่ความเข้มข้น 0.7, 0.5 และ 0.3 มิลลิกรัมต่อลิตร เท่ากับ 2.30×10^{-4} , 1.85×10^{-4} , 1.84×10^{-4} เมตรต่อวินาที ตามลำดับ

เมื่อนำค่าอัตราเร็วการตกลงตะกอนแล้วไปวิเคราะห์ทางสถิติ โดยวิธีโดยวิธี One Way ANOVA เพื่อหาความแตกต่างของอัตราเร็วการตกลงตะกอนแล้วในแต่ละปัจจัย pH และปัจจัยความเข้มข้น พบร่วมกันว่าอัตราเร็วการตกลงตะกอนเหล่านี้ไม่แตกต่างกันอย่างมีนัยสำคัญทางสถิติ ($P\text{-Value} > 0.05$) แต่มีแนวโน้มที่จะทำให้อัตราเร็วการตกลงตะกอนเปลี่ยนแปลง

ทั้งนี้จากการทดลองอธิบายได้ว่า การตกลงตะกอนโดยใช้สารโพลีเมอร์เป็นสารรวมตะกอนในกระบวนการโโคแอกซิเจชัน – ฟลีโคคูเลชัน เกิดขึ้นในลักษณะ Polymer Bridging กล่าวคือ อาศัยสารโพลีเมอร์เป็นสะพานเชื่อมต่อระหว่างอนุภาคคลอสโซร์หลายๆ ตัว ที่ถูกทำลายเสียรากผลด้วยโพลีเมอร์ประจุบวกนั่นเอง จึงทำให้ได้ฟลีโคที่แน่นและยึดเหนี่ยว กันได้ดี โดยจากการสังเกตระหัวว่างการตกลงตะกอนฟลีโคจะมีขนาดค่อนข้างเล็กและมีปริมาณฟลีโคค่อนข้างน้อย ทั้งนี้อาจเนื่องมาจากการปริมาณโพลีเมอร์ที่เติมมีปริมาณต่ำ ($0.3 - 0.7$ มิลลิกรัมต่อลิตร) และลักษณะของฟลีโคที่เกิดขึ้นมีลักษณะค่อนข้างกลมมากกว่าเมื่อเทียบกับฟลีโคที่เกิดจากการใช้สารสัมเป็นสารรวมตะกอน จากการสังเกตในการทดลองพบว่า การตกลงตะกอนโดยใช้

Cationic Polyelectrolyte เป็นสารรวมตะกอนจะเกิดขึ้นได้เร็วมาก โดยจะตกร่อนได้เกือบหมดภายในช่วงเวลา 10 นาที ซึ่งสันนิษฐานได้ว่า Cationic Polyelectrolyte OPTIMER-9916 มีสายโพลีเมอร์ที่ยาวจึงสามารถ吸附กากตะกอนหรือคลอสอยด์ให้มาเกาะรวมตัวกันได้มากและแน่นจึงตกร่อนได้ดี รวมทั้งปริมาณหรือความเข้มข้นที่เดิมมีปริมาณต่ำ ($0.3 - 0.5$ มิลลิกรัมต่อลิตร) จึงไม่ได้ทำให้ความหนืดในน้ำเพิ่มขึ้น ส่งผลให้ไม่มีการเพิ่มแรงดันการตกร่อนของฟลีโคในตัวอย่างน้ำเสีย จึงทำให้ฟลีโคนสามารถตกร่อนได้ดีและเร็ว

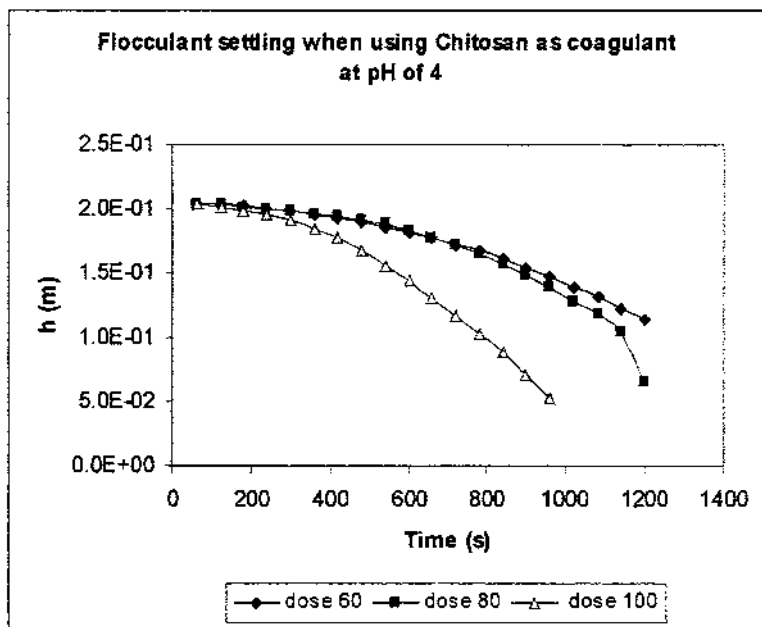
เมื่อพิจารณาอัตราเร็วการตกร่อน (Flocculant Settling) โดยภาพรวม เมื่อใช้ Cationic Polyelectrolyte เป็นสารรวมตะกอนที่ทุกสภาวะการทดลอง พบว่า ที่ pH 6 ความเข้มข้น 0.5 มิลลิกรัมต่อลิตร มีอัตราเร็วการตกร่อนเฉลี่ยสูงที่สุด เท่ากับ 3.38×10^{-4} เมตรต่อวินาที รองลงมาคือที่ pH 6 ความเข้มข้น 0.3 มิลลิกรัมต่อลิตร มีอัตราเร็วการตกร่อนเฉลี่ยเท่ากับ 2.45×10^{-4} เมตรต่อวินาที ส่วนอัตราเร็วการตกร่อนเฉลี่ยต่ำสุดเกิดขึ้นที่ pH 8 ความเข้มข้น 0.3 มิลลิกรัมต่อลิตร โดยมีอัตราเร็วเฉลี่ยเท่ากับ 1.84×10^{-4} เมตรต่อวินาที จากผลการทดลองดังกล่าวเป็นที่น่าสังเกตว่า pH มีผลต่ออัตราเร็วการตกร่อนเมื่อใช้ Cationic Polyelectrolyte เป็นสารรวมตะกอน กล่าวคือ ฟลีโคจะตกร่อนได้ดีและเร็วในช่วง pH ต่ำ (Acidic pH Range)

4.3.4 ผลการทดลองหาอัตราเร็วการตกร่อนเมื่อใช้ Micronized Chitosan เป็นสารรวมตะกอน

การทดลองหาอัตราเร็วการตกร่อนเมื่อใช้ Micronized Chitosan เป็นสารรวมตะกอนผลการทดลองแสดงได้ดังตารางที่ 4.13 และ ภาพที่ 4.43 ถึง 4.45

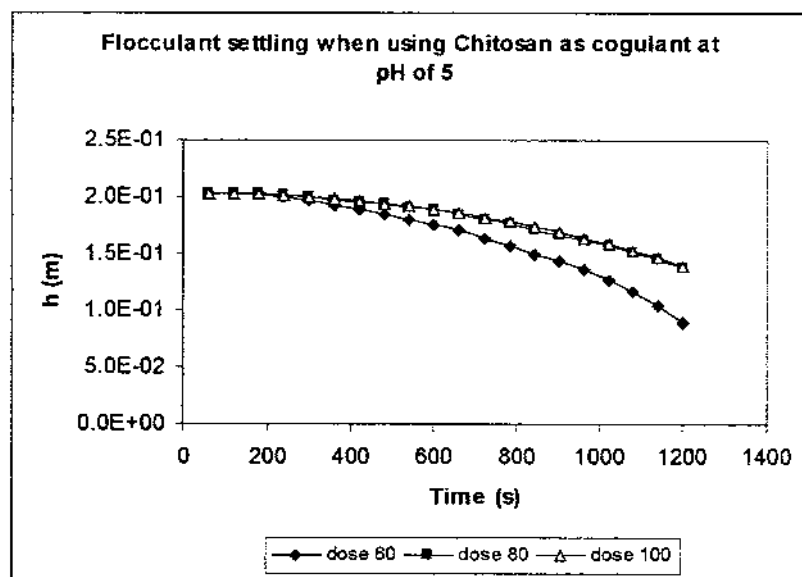
ตารางที่ 4.13 อัตราเร็วเฉลี่ยการตกร่อนเมื่อใช้ Micronized Chitosan เป็นสารรวมตะกอน

| อัตราเร็วเฉลี่ยการตกร่อนตัวอย่างน้ำเสียคลองแสตนเลสเมื่อใช้ Micronized Chitosan เป็นสารรวมตะกอน ($\times 10^{-4}$ m/s) | | | |
|---|------|------|------|
| pH | 60 | 80 | 100 |
| 4 | 0.79 | 1.01 | 1.70 |
| 5 | 0.96 | 0.58 | 0.55 |
| 6 | 0.57 | 0.55 | 0.53 |



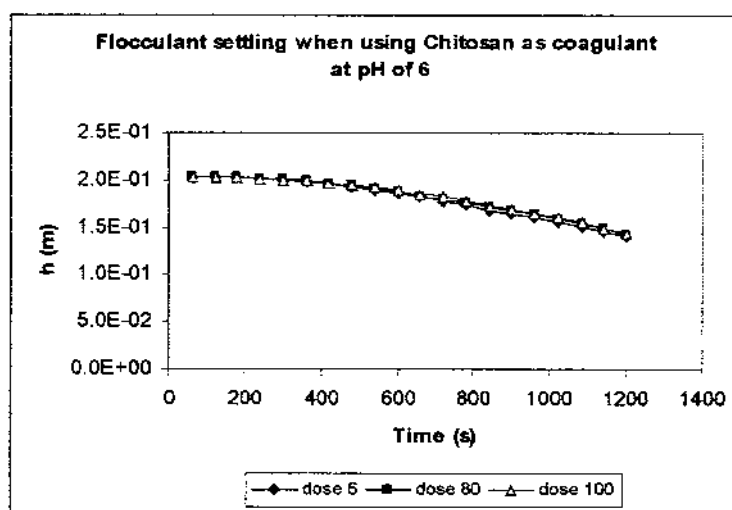
ภาพที่ 4.43 ทิศทางและอัตราเร็วการตกตะกอนเมื่อใช้ Micronized Chitosan เป็นสารรวมตะกอนที่ pH เท่ากับ 4

จากภาพที่ 4.43 และตารางที่ 4.13 พบร่วมกันของการตกตะกอนของฟล็อกซ์มีวิธีโคงง โดยที่สภาวะทดลอง pH เท่ากับ 4 อัตราเร็วการตกตะกอนสูงสุดเกิดขึ้นที่ความเข้มข้นเท่ากับ 100 มิลลิกรัมต่อลิตร รองลงมาคือที่ความเข้มข้นเท่ากับ 80 และ 60 มิลลิกรัมต่อลิตร ตามลำดับ โดยมีอัตราเร็วเฉลี่ยการตกตะกอนเท่ากับ 1.70×10^{-4} , 1.01×10^{-4} , 0.79×10^{-4} เมตรต่อวินาที ตามลำดับ



ภาพที่ 4.44 ทิศทางและอัตราเร็วการตกตะกอนเมื่อใช้ Micronized Chitosan เป็นสารรวมตัวก่อนที่ pH เท่ากับ 5

จากภาพที่ 4.44 และตารางที่ 4.13 พบว่าการตกตะกอนของฟลีโคมีริบิโค้งลง โดยที่สภาวะทดลอง pH เท่ากับ 5 อัตราเร็วการตกตะกอนสูงสุดเกิดขึ้นที่ความเข้มข้นเท่ากับ 60 มิลลิกรัมต่อลิตร รองลงมาคือที่ความเข้มข้นเท่ากับ 80 และ 100 มิลลิกรัมต่อลิตร ตามลำดับ โดยมีอัตราเร็วเฉลี่ยการตกตะกอนเท่ากับ 0.96×10^{-4} , 0.58×10^{-4} , 0.55×10^{-4} เมตรต่อวินาที ตามลำดับ



ภาพที่ 4.45 ทิศทางและอัตราเร็วการตกลงตะกอนเมื่อใช้ Micronized Chitosan เป็นสารรวมตะกอนที่ pH เท่ากับ 6

จากภาพที่ 4.45 และตารางที่ 4.13 พบร่วมกันการตกลงตะกอนของฟลีโคลีวิสต์ได้รับโดยที่ สภาวะทดลอง pH เท่ากับ 6 อัตราเร็วการตกลงตะกอนเฉลี่ยไม่แตกต่างกันทุกๆ ความเข้มข้น คือ มีอัตราเร็วการตกลงตะกอนเฉลี่ย เท่ากับ 0.57×10^{-4} , 0.55×10^{-4} , 0.53×10^{-4} เมตรต่อวินาที ตามลำดับ

เมื่อนำค่าอัตราเร็วการตกลงตะกอนเฉลี่ยมาวิเคราะห์ทางสถิติ โดยวิธี One Way ANOVA เพื่อหาความแตกต่างของอัตราเร็วการตกลงตะกอนเฉลี่ยในแต่ละปัจจัย pH และปัจจัยความเข้มข้น พบว่า อัตราเร็วการตกลงตะกอนเฉลี่ยไม่แตกต่างกันอย่างมีนัยสำคัญทางสถิติ ($P\text{-Value} > 0.05$) แต่มีแนวโน้มที่จะทำให้อัตราเร็วการตกลงตะกอนเฉลี่ยเปลี่ยนแปลง

ทั้งนี้จากการทดลองของพิษัยได้รับ การสร้างตะกอนและตกลงตะกอนของฟลีโคลีวิสต์เมื่อใช้ Micronized Chitosan เป็นสารรวมตะกอน เกิดขึ้นในลักษณะเดียวกันกับการใช้โพลีอะลูมิโนไอลิท คือ ใช้สารโพลีเมอร์เป็นสะพานเชื่อมตอกันของอนุภาคคอมพลอยด์ที่สูญเสียเส้นใยรากจาก การทำลายประจุคอมพลอยด์ด้วยประจุบวกของโพลีเมอร์ เพราะ Micronized Chitosan คือ เป็นสารประกอบโพลีเมอร์ชนิดหนึ่ง จากการสังเกตุการตกลงตะกอนของฟลีโคลีวิสต์ หัวใจของการ ทดลองพบว่า ฟลีโคลีวิสต์ของ Micronized Chitosan มีขนาดเล็กและมีปริมาณของฟลีโคลีวิสต์ค่อนข้างน้อย เมื่อเทียบกับการใช้สารสัมและเพอร์คูลอไรด์เป็นสารรวมตะกอนแต่จะมีปริมาณฟลีโคลีวิสต์ที่เกิดขึ้นมากกว่าการใช้โพลีเมอร์ชนิด Cationic Polyelectrolyte เป็นสารรวมตะกอนเล็กน้อย

จากการสังเกตอัตราเร็วระหว่างการตกลงตะกอนของฟลีโคลีวิสต์โดยใช้ Micronized Chitosan เป็นสารรวมตะกอนพบว่าการเคลื่อนที่ของฟลีโคลีวิสต์จากระดับผิวน้ำมายังด้านล่างกระบวนการที่ใช้ ทดลองเป็นไปอย่างช้าๆ เมื่อเทียบกับการใช้ Cationic Polyelectrolyte เป็นสารรวมตะกอน ทั้ง

นี้สันนิษฐานได้ว่า ปริมาณหรือความเข้มข้นของ Micronized Chitosan ที่เดิมลงไปในด้วยน้ำเสียคลองแสบมีปริมาณสูง (60 – 100 มิลลิกรัมต่อลิตร) ซึ่งมีปริมาณหรือความเข้มข้นมากกว่าความเข้มข้นของ Cationic Polyelectrolyte ประมาณ 140 - 200 เท่า จึงอาจส่งผลให้น้ำมีความหนืดสูงขึ้นจึงทำให้ Micronized Chitosan ตกตะกอนได้ช้ากว่าการใช้ Cationic Polyelectrolyte เป็นสารรวมตะกอน ซึ่งสอดคล้องกับการทดลองของ Y.Q Zhao (2002: บกคดยอ) กล่าวไว้ว่า พฤติกรรมการตกตะกอนของ ฟลักสามารถควบคุมได้โดยลักษณะของการเชื่อมต่อโครงสร้างของโพลีเมอร์ที่สัมพันธ์กับปริมาณของโพลีเมอร์ที่เดิมลงในด้วยน้ำ กล่าวคือ เมื่อความเข้มข้นของโพลีเมอร์ในน้ำสูงขึ้นจะทำให้น้ำมีความหนืดสูงขึ้นหรือเป็นการเพิ่มแรงเสียดทาน (Drag Force) เพื่อต้านทานการตกตะกอน นอกจานนี้ยังเกิด Wall Effect ใน การเชื่อมต่อโครงสร้างภายในของโพลีเมอร์ด้วยจึงทำให้อัตราเร็วการตกตะกอนของฟลักลดลง

เมื่อพิจารณาอัตราเร็วการตกตะกอน (Flocculant Settling) ในภาพรวมจากการใช้สาร Micronized Chitosan เป็นสารรวมตะกอนที่ทุกสภาวะการการทดลอง พบว่า ที่ pH 4 ความเข้มข้นเท่ากับ 100 มิลลิกรัมต่อลิตร มีอัตราเร็วการตกตะกอนเฉลี่ยสูงสุดเท่ากับ 1.70×10^{-4} เมตรต่อวินาที รองลงมาคือ ที่ pH เท่ากับ 4 ความเข้มข้นเท่ากับ 80 มิลลิกรัมต่อลิตร มีอัตราเร็วการตกตะกอนเฉลี่ยเท่ากับ 1.01×10^{-4} เมตรต่อวินาที ส่วนที่ pH 6 ความเข้มข้น 100 มิลลิกรัมต่อลิตร มีอัตราเร็วการตกตะกอนต่ำสุดเฉลี่ย 0.53×10^{-4} เมตรต่อวินาที จากผลการทดลอง เป็นที่น่าสังเกตว่าเมื่อใช้สาร Micronized Chitosan เป็นสารรวมตะกอน ฟลักจะตกตะกอนได้ดีและเร็วที่ pH ต่ำ (Acidic Region) ซึ่งเป็นไปในทิศทางเดียวกันกับการใช้ Cationic Polyelectrolyte เป็นสารรวมตะกอนโดยสรุป อัตราเร็วการตกตะกอนเฉลี่ยสูงสุดของแต่ละสารรวมตะกอนแสดงได้ดังตารางที่ 4.14

ตารางที่ 4.14 อัตราเร็วการตกตะกอนเฉลี่ยสูงสุดของแต่ละสารรวมตะกอน

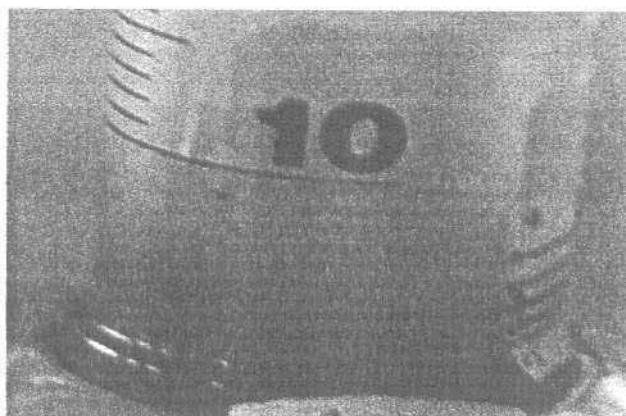
| Coagulants | อัตราเร็ว การตกตะกอนเฉลี่ย (v) $\times 10^{-4}$ m/s) | pH,Dose (mg/l) |
|--|--|----------------|
| 1. สารสัม (Alum) | 1.56 | 8,500 |
| 2. เพอริคคลอไรด์ ($FeCl_3$) | 2.71 | 9,700 |
| 3. โพลีเมอร์ประจุบวก (Cationic Polyelectrolyte) | 3.38 | 6,0.5 |
| 4. Micronized Chitosan | 1.70 | 4,100 |

4.4 ปริมาณกากตะกอนคงเหลือภายหลังตักตะกอนโดยกระบวนการโคแอกกูเลชัน

การวัดปริมาณกากตะกอนคงเหลือ จะทำการอ่านจากค่าปริมาณตะกอนเปียก (Wet Sludge Volume) ในระบบทองตัวงวด 100 ml เมื่อปล่อยให้ตักตะกอนที่เวลา 60 นาที โดยนำเสอน้ำในรูปของปริมาณกากตะกอน ml ต่อ ปริมาตรตัวอย่างน้ำเสีย 1 ลิตร ซึ่งผลการทดลองเป็นดังนี้

4.4.1 ปริมาณกากตะกอน (Wet Sludge Volume) คงเหลือภายหลังการเกิดปฏิกิริยาโคแอกกูเลชันโดยใช้สารสัมเป็นสารรวมตะกอน

ปริมาณกากตะกอน (Wet Sludge Volume) คงเหลือภายหลังการเกิดปฏิกิริยาโคแอกกูเลชันโดยใช้สารสัมเป็นสารรวมตะกอนโดยมีลักษณะตัวอย่างกากตะกอนสารสัมแสดงได้ดังภาพที่ 4.46 และปริมาณกากตะกอนของสารสัมภายหลังโคแอกกูเลชัน ดังตารางที่ 4.15

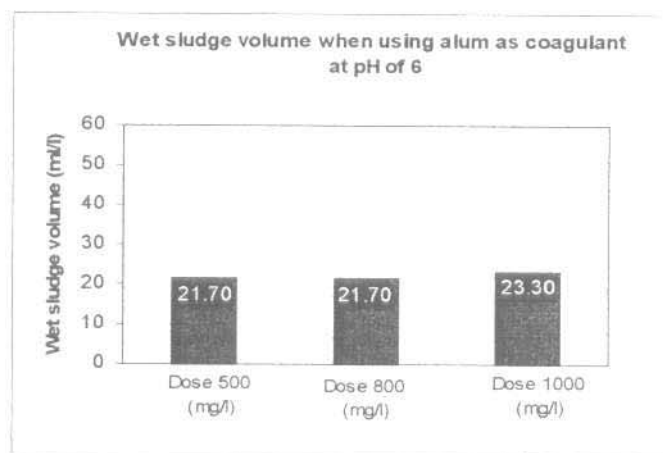


ภาพที่ 4.46 กากตะกอนที่เกิดขึ้น ณ เวลา 60 นาทีจากการใช้สารสัมเป็นสารรวมตะกอน

ตารางที่ 4.15 ปริมาณกากตะกอน (Wet Sludge Volume) ที่เวลา 60 นาทีเมื่อใช้สารสัมเป็นสารรวมตะกอนที่ pH แตกต่างกัน

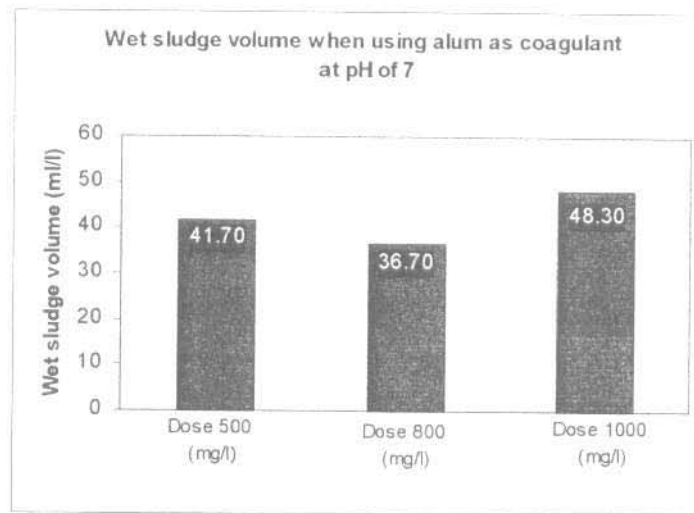
| ปริมาณกากตะกอนคงเหลือเมื่อใช้ Alum เป็นสารรวมตะกอน (ml/l) | | | |
|---|-------|-------|-------|
| Dose (mg/l) | pH 6 | pH 7 | pH 8 |
| 500 | 21.70 | 41.70 | 21.70 |
| 800 | 21.70 | 36.70 | 35.00 |
| 1,000 | 23.30 | 48.30 | 46.70 |

จากตารางที่ 4.15 พบว่าที่ pH 6 มีปริมาณกากตะกอนคงเหลือในระบบอกรดต่ำสุดเท่ากับ 21.70 มิลลิลิตรต่อลิตร ที่ความเข้มข้นของสารสัมเท่ากับ 500 และ 800 มิลลิกรัมต่อลิตร ที่ pH 7 ปริมาณกากตะกอนต่ำสุดคือ 36.70 มิลลิลิตรต่อลิตร ที่ความเข้มข้นของสารสัมเท่ากับ 800 มิลลิกรัมต่อลิตร ส่วนที่ pH 8 ปริมาณกากตะกอนต่ำสุดคงเหลือเท่ากับปริมาณตะกอนสุดท้ายที่ pH 6 คือ 21.70 มิลลิลิตรต่อลิตร ที่ความเข้มข้นของสารสัมเท่ากับ 500 มิลลิลิตรต่อลิตร



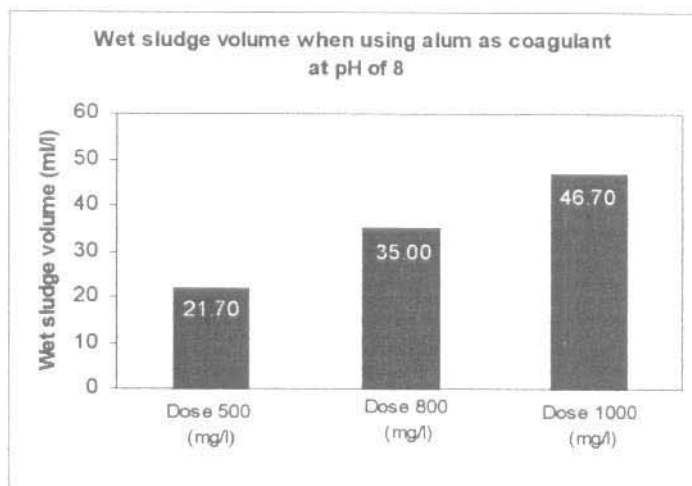
ภาพที่ 4.47 ปริมาณกากตะกอนเมื่อใช้สารสัมความเข้มข้นต่างๆ ที่ pH เท่ากับ 6

จากภาพที่ 4.47 พบว่า ที่สภาวะ pH เท่ากับ 6 ปริมาณกากตะกอนสุดท้ายในระบบอกรด เมื่อทิ้งให้ตกละกอนเป็นเวลา 60 นาที เท่ากับ 21.70 มิลลิลิตรต่อลิตร ที่ความเข้มข้น 500 และ 800 มิลลิกรัมต่อลิตร ส่วนที่ความเข้มข้นของสารสัมเท่ากับ 1,000 มิลลิกรัมต่อลิตร มีปริมาณกากตะกอนสุดท้ายในระบบอกรดเท่ากับ 23.30 มิลลิลิตรต่อลิตร



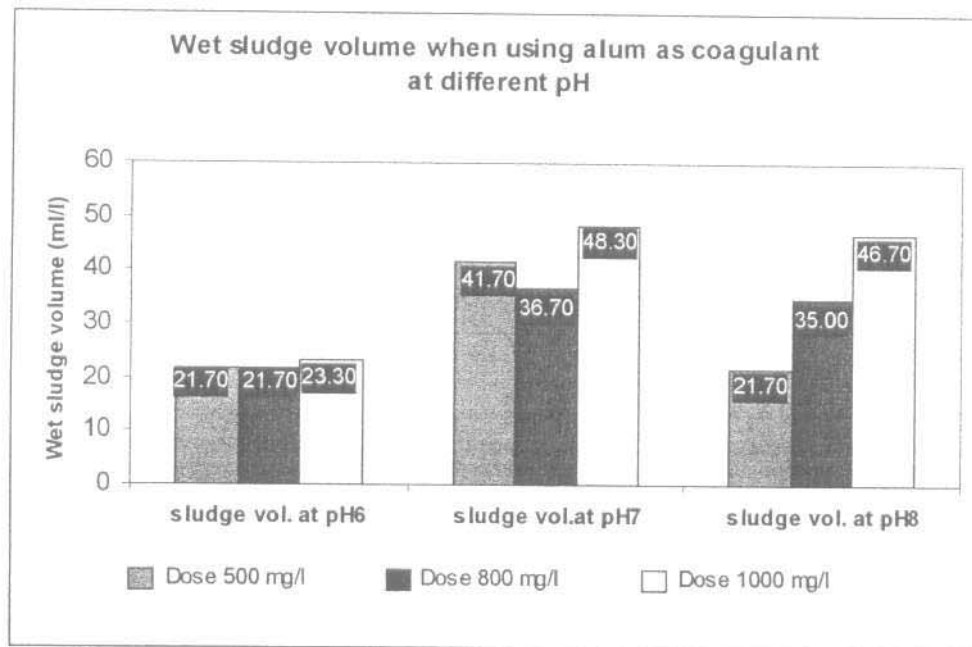
ภาพที่ 4.48 ปริมาณการ加กตะกอนเมื่อใช้สารสัมความเข้มข้นต่างๆ ที่ pH เท่ากับ 7

จากภาพที่ 4.48 พบว่า ที่สภาวะ pH เท่ากับ 7 ปริมาณการ加กตะกอนสุดท้ายในระบบอุตสาหกรรม เมื่อทึ่งให้ตกลงกอนเป็นเวลา 60 นาที เท่ากับ 41.70 ที่ความเข้มข้นเท่ากับ 500 มิลลิกรัมต่อลิตร ที่ความเข้มข้นของสารสัมเท่ากับ 800 มิลลิกรัมต่อลิตร มีปริมาณการ加กตะกอนเท่ากับ 36.70 มิลลิลิตรต่อลิตร ส่วนที่ความเข้มข้นของสารสัมเท่ากับ 1,000 มิลลิกรัมต่อลิตร มีปริมาณการ加กตะกอนสุดท้ายในระบบอุตสาหกรรมเท่ากับ 48.30 มิลลิลิตรต่อลิตร



ภาพที่ 4.49 ปริมาณการ加กตะกอนเมื่อใช้สารสัมความเข้มข้นต่างๆ ที่ pH เท่ากับ 8

จากภาพที่ 4.49 พบว่า ที่สภาวะ pH เท่ากับ 8 ปริมาณกากรตะกอนสุดท้ายในระบบอกรดง เมื่อทึบให้ตกลงตะกอนเป็นเวลา 60 นาที เท่ากับ 21.70 ที่ความเข้มข้นเท่ากับ 500 มิลลิกรัมต่อลิตร ที่ความเข้มข้นของสารสัมเมท่ากับ 800 มิลลิกรัมต่อลิตร มีปริมาณกากรตะกอนเท่ากับ 35.00 มิลลิกรัมต่อลิตร ส่วนที่ความเข้มข้นของสารสัมเมท่ากับ 1,000 มิลลิกรัมต่อลิตร มีปริมาณกากรตะกอนสุดท้ายในระบบอกรดงเท่ากับ 46.70 มิลลิกรัมต่อลิตร



ภาพที่ 4.50 ปริมาณกากรตะกอนเมื่อใช้สารสัมความเข้มข้นต่างๆ ที่ pH แตกต่างกัน

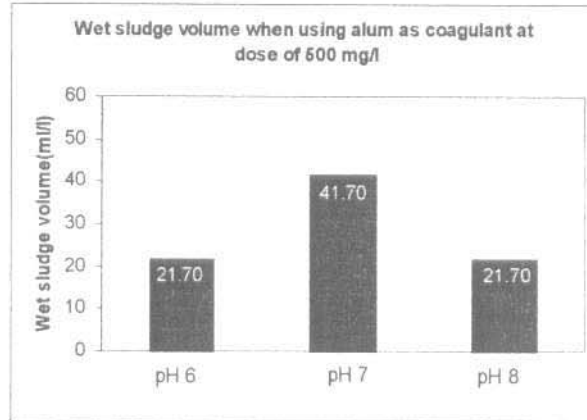
จากภาพที่ 4.50 พบว่า ทุกสภาวะ pH ปริมาณกากรตะกอนมีแนวโน้มสูงขึ้นเมื่อปริมาณความเข้มข้นของสารรวมตะกอนหรือสารสัมเพิ่มขึ้น จาก 500 เป็น 800 และ 1,000 มิลลิกรัมต่อลิตร ตามลำดับ ยกเว้นที่ pH 7 ปริมาณกากรตะกอนลดลงเมื่อความเข้มข้นของสารสัมเพิ่มจาก 500 เป็น 800 มิลลิกรัมต่อลิตร แต่ปริมาณกากรตะกอนจะเพิ่มมากขึ้นเมื่อปริมาณสารสัมเพิ่มเป็น 1,000 มิลลิกรัมต่อลิตร

เมื่อพิจารณาปริมาณกากรตะกอน (Wet Sludge Volume) ที่ปัจจัยความเข้มข้น ผลการทดลองเป็นดังนี้

ตารางที่ 4.16 ปริมาณกากรตะกอน (Wet Sludge Volume) ที่เวลา 60 นาทีเมื่อใช้สารสัมเป็นสารรวมตะกอนที่ความเข้มข้นแตกต่างกัน

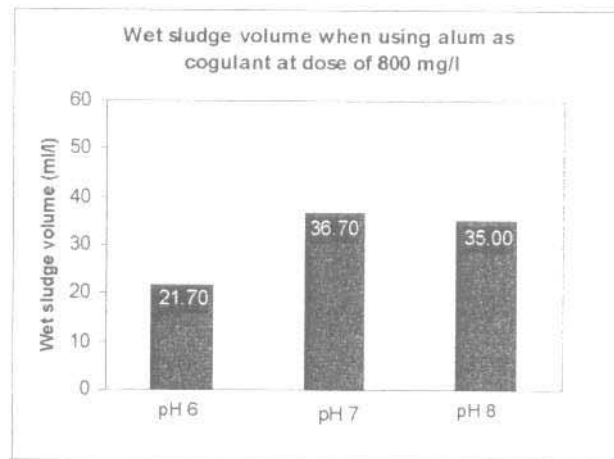
| ปริมาณกากรตะกอนคงเหลือเมื่อใช้ Alum เป็นสารรวมตะกอน (ml/l) | | | |
|--|---------------|---------------|----------------|
| PH | Dose 500 mg/l | Dose 800 mg/l | Dose 1000 mg/l |
| 6 | 21.70 | 21.70 | 23.30 |
| 7 | 41.70 | 36.70 | 48.30 |
| 8 | 21.70 | 35.00 | 46.70 |

จากตารางที่ 4.16 พบว่าที่ความเข้มข้นของสารสัม 500 มิลลิกรัมต่อลิตร ปริมาณกากรตะกอนคงเหลือในระบบทองตัวสุดเท่ากับ 21.70 มิลลิลิตรต่อลิตร ที่ pH ของสารสัมเท่ากับ 6 และ 8 ที่ความเข้มข้นของสารสัม 800 มิลลิกรัมต่อลิตร ปริมาณกากรตะกอนต่ำสุดคือ 21.70 มิลลิลิตรต่อลิตร ที่ pH ของสารสัมเท่ากับ 6 ส่วนความเข้มข้น 1,000 มิลลิกรัมต่อลิตร ปริมาณกากรตะกอนต่ำสุดคงเหลือเท่ากับ 23.30 มิลลิลิตรต่อลิตร ที่ pH ของสารสัมเท่ากับ 6



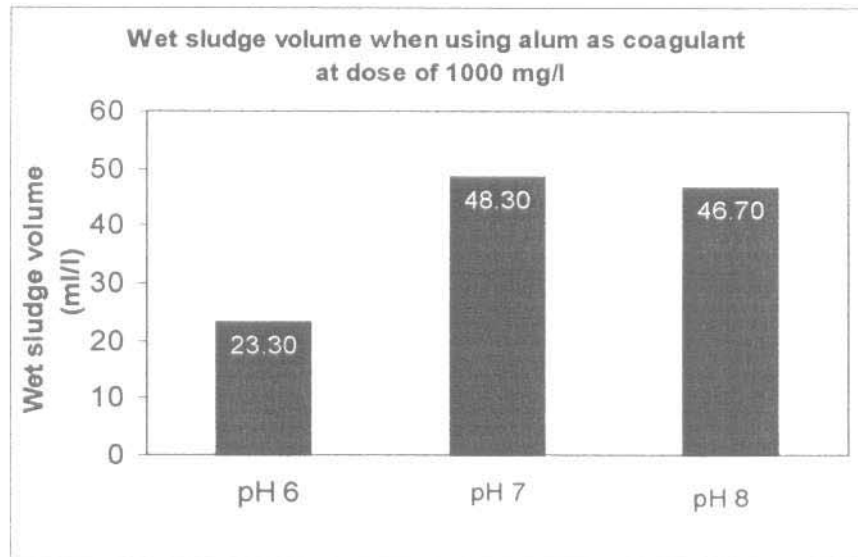
ภาพที่ 4.51 ปริมาณกากรตะกอนที่สภาวะ pH ต่างๆ ที่ความเข้มข้นของสารสัมเท่ากับ 500 มิลลิกรัมต่อลิตร

จากภาพที่ 4.51 เมื่อพิจารณาที่ความเข้มข้นของสารสัมเท่ากับ 500 มิลลิกรัมต่อลิตร พบว่าเมื่อค่า pH เพิ่มขึ้นจาก 6 เป็น 7 ปริมาณกากรตะกอนเพิ่มขึ้นจาก 21.70 มิลลิลิตรต่อลิตร เป็นสูงสุด 41.70 มิลลิลิตรต่อลิตร และเมื่อ pH เพิ่มขึ้นเป็น 8 ปริมาณกากรตะกอนลดลงเหลือ 21.70 มิลลิลิตรต่อลิตร



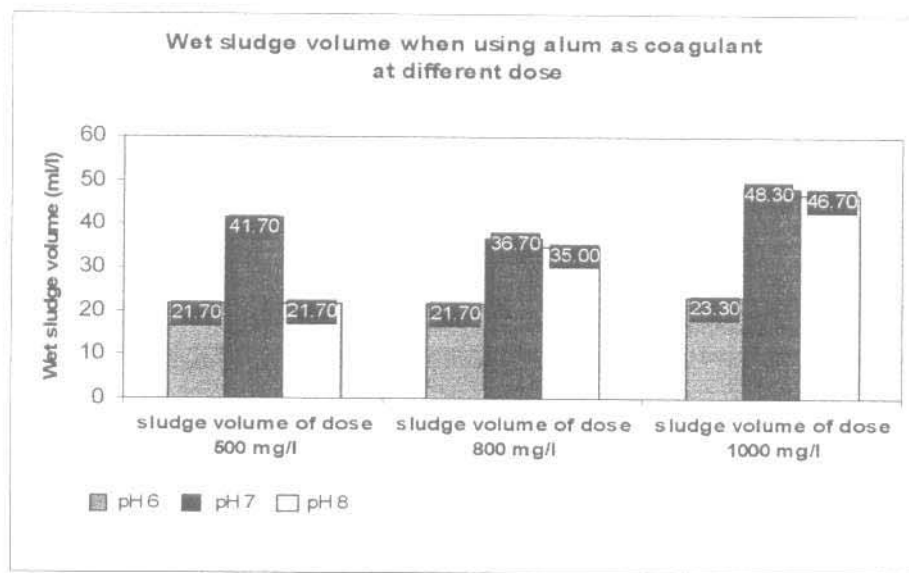
ภาพที่ 4.52 ปริมาณการก่อตัวที่สภาวะ pH ต่างๆ ที่ความเข้มข้นของสารสัมเท่ากับ 800 มิลลิกรัมต่อลิตร

จากภาพที่ 4.52 เมื่อพิจารณาที่ความเข้มข้นของสารสัมเท่ากับ 800 มิลลิกรัมต่อลิตร พบว่าเมื่อ pH เพิ่มขึ้นจาก 6 เป็น 7 ปริมาณการก่อตัวเพิ่มขึ้นจาก 21.70 มิลลิลิตรต่อลิตร เป็นสูงสุด 36.70 มิลลิลิตรต่อลิตร และเมื่อ pH เพิ่มขึ้นเป็น 8 ปริมาณการก่อตัวลดลงเหลืออยู่เพียง 35.00 มิลลิลิตรต่อลิตร



ภาพที่ 4.53 ปริมาณการก่อตัวที่สภาวะ pH ต่างๆ ที่ความเข้มข้นของสารสัมเท่ากับ 1,000 มิลลิกรัมต่อลิตร

จากภาพที่ 4.53 เมื่อพิจารณาที่ความเข้มข้นของสารสัมเท่ากับ 1,000 มิลลิกรัมต่อลิตร พบว่าเมื่อ pH เพิ่มขึ้นจาก 6 เป็น 7 ปริมาณการตะกอนเพิ่มขึ้นจาก 23.30 มิลลิลิตรต่อลิตร เป็นสูงสุด 48.30 มิลลิลิตรต่อลิตร และเมื่อ pH เพิ่มขึ้นเป็น 8 ปริมาณการตะกอนสูดทำယอลดลง เล็กน้อยคงเหลือ 46.70 มิลลิลิตรต่อลิตร



ภาพที่ 4.54 ปริมาณการตะกอนที่สภาวะ pH ต่างๆ เมื่อใช้สารสัมเป็นสารรวมตะกอน ที่ความเข้มข้นแตกต่างกัน

จากภาพที่ 4.54 พบว่า ที่ทุกสภาวะความเข้มข้นของสารสัม ปริมาณการตะกอนภายหลัง การบำบัด โดยกระบวนการโดยแยกย่อยแล้วมีแนวโน้มไปในทิศทางเดียวกัน กล่าวคือ ทุกๆ ความเข้มข้น เมื่อ pH ของตัวอย่างน้ำเสียเพิ่มขึ้นจาก 6 เป็น 7 ปริมาณการตะกอนจะเพิ่มสูงขึ้น แต่เมื่อ pH ของตัวอย่างน้ำเสียเพิ่มเป็น 8 ปริมาณการตะกอนจะลดลงโดยเห็นได้ชัดที่สภาวะความเข้มข้น เท่ากับ 500 มิลลิกรัมต่อลิตร แต่ที่สภาวะความเข้มข้น 800 และ 1,000 มิลลิกรัมต่อลิตร ปริมาณ การตะกอนลดลงเพียงเล็กน้อยเมื่อ pH เพิ่มจาก 7 เป็น 8

จากการวิเคราะห์ทางสถิติโดยใช้ Friedman Test For Several Related Sample (K Related Sample) เปรียบเทียบความแตกต่างของปริมาณการตะกอนเมื่อใช้สารสัมเป็นสารรวมตะกอนโดยพิจารณาที่ปัจจัย pH และปัจจัยความเข้มข้น พบว่า ปริมาณการตะกอนที่เกิดขึ้นในแต่ละปัจจัย pH และปัจจัยความเข้มข้นไม่แตกต่างกันอย่างมีนัยสำคัญทางสถิติ ($P\text{-Value} > 0.05$) แสดงว่ามีแนวโน้มที่จะทำให้ปริมาณการตะกอนเฉลี่ยเปลี่ยนแปลง

ทั้งนี้จากการทดลองหาปริมาณการตะกอน (Wet Sludge Volume) โดยภาคร่วม เมื่อใช้สารสัมเป็นสารรวมตะกอน พบว่าลักษณะของตะกอนสารสัมจะมีลักษณะเป็นปุยสีขาวขุ่น

ดังภาพที่ 4.46 และเมื่อความเข้มข้นของสารสัมเพิมมากขึ้นส่งผลให้ปริมาณการตะกอนมีแนวโน้มสูงขึ้นในทุกสภาพ pH ซึ่งจากการศึกษาสอดคล้องกับทฤษฎีที่กล่าวไว้ว่า ปริมาณการตะกอนที่เกิดจากกระบวนการบ่มบัดน้ำเสียทางเคมีภysis เกิดขึ้นเนื่องจากปริมาณของสารอินทรีย์และปริมาณของแข็งแ/web ลอยหงหงดถูกบ่มบัดและจากการรวมตัวกันจากการใช้สารรวมตะกอนชนิดต่างๆ โดยปริมาณตะกอนและลักษณะของการตะกอนที่เกิดขึ้นระหว่างกระบวนการ โคลาเกะถูลเช็น – ฟลีอคคูลเช็น จะขึ้นอยู่กับประเภทหรือชนิดของสารรวมตะกอนที่ใช้และสภาพการทดลอง Aguilar และคณะ (2001: 6) เช่น ที่ pH และที่ความเข้มข้นของสารรวมตะกอนแตกต่าง เป็นต้น ซึ่งผลการทดลองชุดนี้ กลับว่า ที่ pH 6 กับ 7 มีผลต่อการเกิดปริมาณการตะกอนที่แตกต่างกัน เมื่อความเข้มข้นเพิ่มขึ้นจาก 500 เป็น 800 และ 1,000 มิลลิกรัมต่อลิตร ตามลำดับ

ที่ pH 6 7 และ 8 ปริมาณการตะกอนมีแนวลดลงเมื่อความเข้มข้นหรือปริมาณของสารสัมลดลงจาก 1,000 เป็น 800 และ 500 มิลลิกรัมต่อลิตรตามลำดับ และที่ pH 6 ความเข้มข้น 500 และ 800 มิลลิกรัมต่อลิตร มีปริมาณการตะกอนต่ำสุดคือ 21.70 มิลลิลิตรต่อลิตร และที่ความเข้มข้น 1,000 มิลลิกรัมต่อลิตร ถึงแม้จะมีปริมาณการตะกอนเพิ่มขึ้นแต่เพิ่มขึ้นเพียงเล็กน้อย ไม่แตกต่างกันมากนัก ทั้งนี้สันนิษฐานได้ว่าที่สภาพ pH เท่ากับ 6 การเกิดการรวมตัวของฟลีอค จะเกิดได้และมีน้ำหนักมากจนตกรางตะกอนได้ตามลำพัง เนื่องจาก pH ที่เหมาะสมสำหรับสารสัมในกระบวนการโคลาเกะถูลเช็นจะอยู่ในช่วงใกล้ความเป็นกลางทำให้ฟลีอครวมตัวกันได้ นอกจากนั้น เมื่อวัดด้วยสายตา (Visible Inspection) พบว่าฟลีอคที่เกิดจากการใช้สารสัมเป็นสารรวมตะกอน มีขนาดเล็กแต่เป็นปุยบางๆ เมื่อเปรียบเทียบกับฟลีอคที่เกิดจากการใช้ FeCl_3 เป็นสารรวมตะกอน จึงส่งผลให้เกิดปริมาณการตะกอนมากกว่าหากตะกอนของ FeCl_3 เนื่องจากหากตะกอนที่ตกลงมาไม่แน่น (Less Compaction) แต่ก็มีปริมาณต่างกันเพียงเล็กน้อยหรืออาจกล่าวได้ว่าแบบจะไม่แตกต่างเมื่อพิจารณาที่ปริมาณการตะกอน (Wet Sludge Volume) คงเหลือต่ำสุด

4.4.2 ปริมาณการตะกอน (Wet Sludge Volume) คงเหลือภายหลังโคลาเกะถูลเช็นโดยใช้ FeCl_3 เป็นสารรวมตะกอน

ปริมาณการตะกอน (Wet Sludge Volume) คงเหลือภายหลังโคลาเกะถูลเช็นโดยใช้ FeCl_3 เป็นสารรวมตะกอน โดยลักษณะทางกายภาพของดื้อย่างการตะกอน FeCl_3 แสดงได้ ดังภาพที่ 4.55

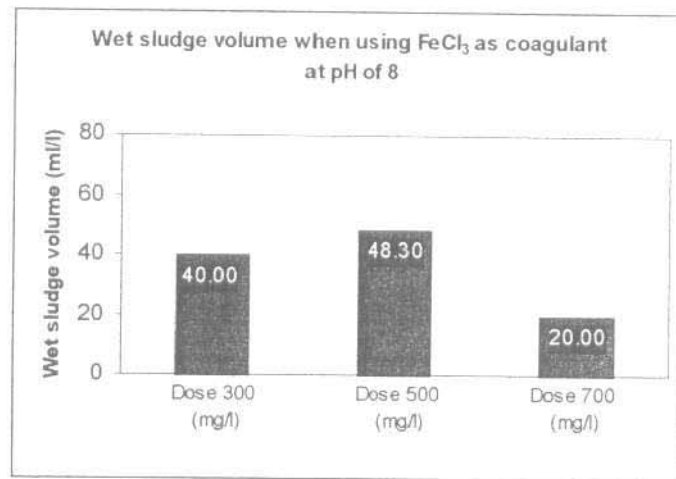


ภาพที่ 4.55 ลักษณะากตะกอนเมื่อใช้ FeCl_3 เป็นสารรวมตะกอน

ตารางที่ 4.17 ปริมาณากตะกอน (Wet Sludge Volume) ที่เวลา 60 นาทีเมื่อใช้ FeCl_3 เป็นสารรวมตะกอนที่ pH แตกต่างกัน

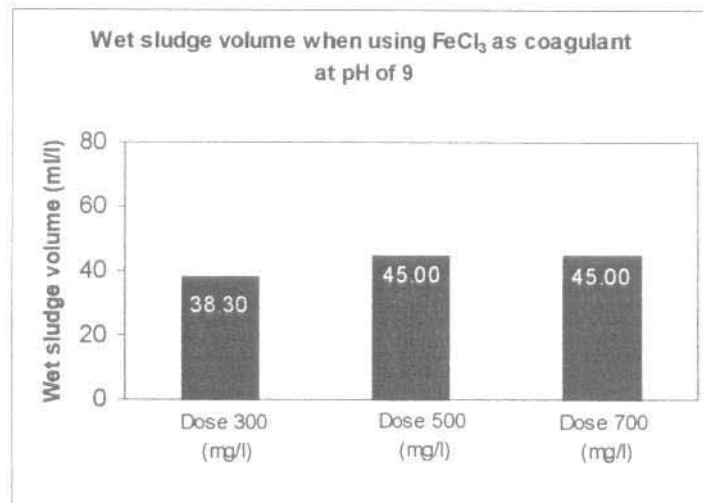
| ปริมาณากตะกอนคงเหลือเมื่อใช้ FeCl_3 เป็นสารรวมตะกอน (ml/l) | | | |
|---|-------|-------|-------|
| Dose (mg/l) | pH 8 | pH 9 | pH 10 |
| 300 | 40.00 | 38.30 | 43.30 |
| 500 | 48.30 | 45.00 | 58.30 |
| 700 | 20.00 | 45.00 | 73.30 |

จากตารางที่ 4.17 พบร่วมที่ pH 8 มีปริมาณากตะกอนคงเหลือในระบบอยู่ต่ำสุดเท่ากับ 20 มิลลิลิตรต่อลิตร ที่ความเข้มข้นของสารสัมเท่ากับ 700 มิลลิกรัมต่อลิตร ที่ pH 9 ปริมาณากตะกอนค่าสูดคือ 38.30 มิลลิลิตรต่อลิตร ที่ความเข้มข้นของสารสัมเท่ากับ 300 มิลลิกรัมต่อลิตร ส่วนที่ pH 10 ปริมาณากตะกอนค่าสูดคงเหลือเท่ากับ 43.3 มิลลิลิตรต่อลิตร ที่ความเข้มข้นของสารสัมเท่ากับ 300 มิลลิลิตรต่อลิตร



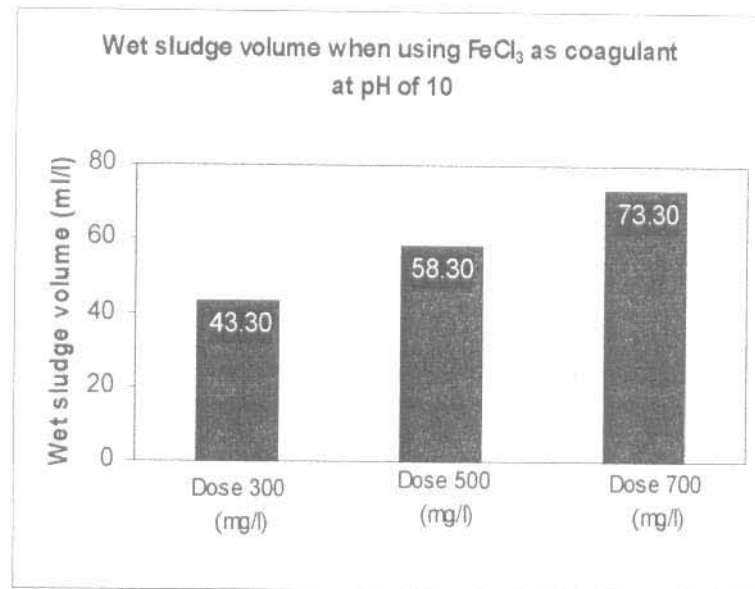
ภาพที่ 4.56 ปริมาณการตะกอนเมื่อใช้ FeCl_3 ที่ความเข้มข้นต่าง ๆ ที่ pH เท่ากับ 8

จากภาพที่ 4.56 พบว่าที่ pH เท่ากับ 8 ปริมาณการตะกอนเพิ่มขึ้นจาก 40 มิลลิลิตรต่อลิตร เป็น 48.3 มิลลิลิตรต่อลิตร เมื่อความเข้มข้นของ FeCl_3 เพิ่มขึ้นจาก 300 เป็น 500 มิลลิกรัมต่อลิตร แต่ปริมาณการตะกอนลดลงเหลือ 20 มิลลิลิตรต่อลิตร เมื่อความเข้มข้นหรือปริมาณของ FeCl_3 เพิ่มมากขึ้นเป็น 700 มิลลิกรัมต่อลิตร



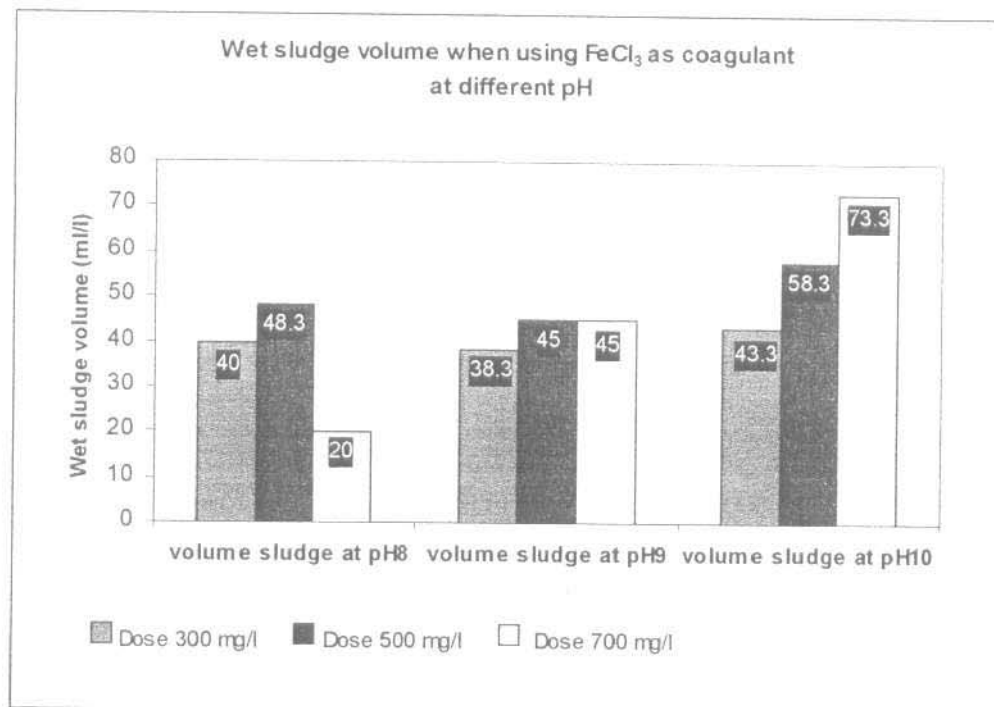
ภาพที่ 4.57 ปริมาณการตะกอนเมื่อใช้ FeCl_3 ที่ความเข้มข้นต่าง ๆ pH เท่ากับ 9

จากภาพที่ 4.57 พบว่าที่ pH เท่ากับ 9 ปริมาณกากรตะกอนเพิ่มขึ้นจาก 38.3 มิลลิลิตรต่อลิตรเป็น 45 มิลลิลิตรต่อลิตร เมื่อความเข้มข้นของ FeCl_3 เพิ่มขึ้นจาก 300 เป็น 500 และ 700 มิลลิกรัมต่อลิตร ตามลำดับ



ภาพที่ 4.58 ปริมาณกากรตะกอนเมื่อใช้ FeCl_3 ที่ความเข้มข้นต่างๆ pH เท่ากับ 10

จากภาพที่ 4.58 พบว่าที่ pH เท่ากับ 10 ปริมาณกากรตะกอนเพิ่มขึ้นจาก 43.3 มิลลิลิตรต่อลิตรเป็น 58.3 และ 73.3 มิลลิลิตรต่อลิตร เมื่อความเข้มข้นของ FeCl_3 เพิ่มขึ้นจาก 300 เป็น 500 และ 700 มิลลิกรัมต่อลิตร ตามลำดับ



ภาพที่ 4.59 ปริมาณการตะกอนเมื่อใช้ FeCl_3 ความเข้มข้นต่างๆ ที่ pH แตกต่างกัน

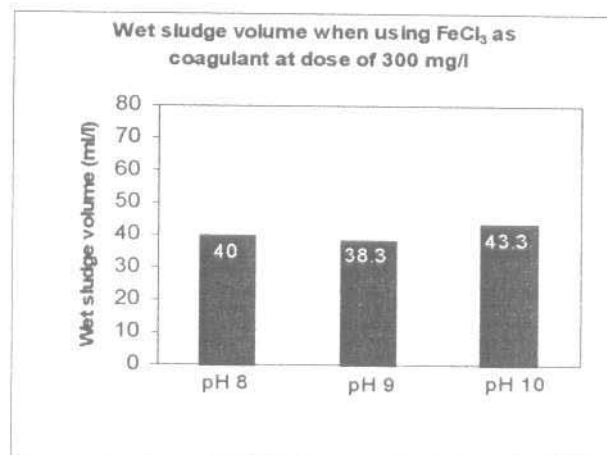
จากภาพที่ 4.59 พบว่า ที่สภาวะ pH เท่ากับ 10 ปริมาณการตะกอนมีแนวโน้มสูงขึ้น เมื่อบริมาณความเข้มข้นของสารรวมตะกอนหรือ FeCl_3 เพิ่มขึ้น จาก 300 เป็น 500 และ 700 มิลลิกรัมต่อลิตร ตามลำดับ ที่ pH 9 ปริมาณการตะกอนเพิ่มขึ้นเมื่อความเข้มข้นของ FeCl_3 เพิ่มจาก 300 เป็น 500 มิลลิกรัมต่อลิตร และปริมาณการตะกอนคงที่เมื่อความเข้มข้นเพิ่มเป็น 700 มิลลิกรัมต่อลิตร ส่วนที่ pH 8 ปริมาณการตะกอนจะเพิ่มมากขึ้นเมื่อปริมาณ FeCl_3 เพิ่มขึ้น จาก 300 เป็น 500 มิลลิกรัมต่อลิตร แต่ปริมาณการตะกอนลดลงด้วยเมื่อความเข้มข้นเพิ่มเป็น 700 มิลลิกรัมต่อลิตร

เมื่อพิจารณาปริมาณการตะกอน (Wet Sludge Volume) ที่ปัจจัยความเข้มข้นแตกต่างกัน ผลการทดลองเป็นดังนี้

ตารางที่ 4.18 ปริมาณกากตะกอน (Wet Sludge Volume) ที่เวลา 60 นาทีเมื่อใช้ FeCl_3 เป็นสารรวมตะกอนที่ความเข้มข้นแตกต่างกัน

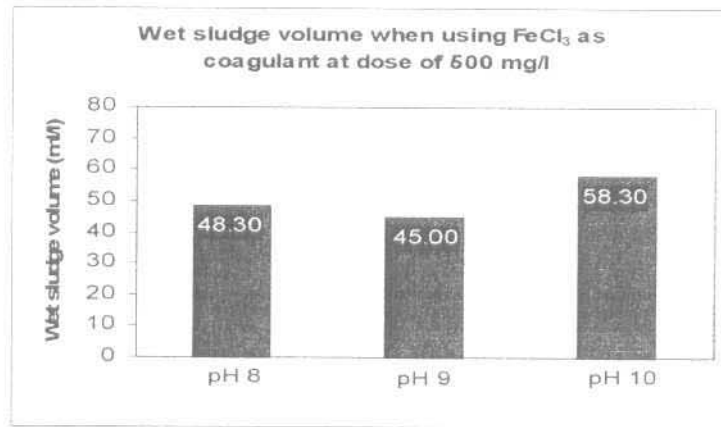
| ปริมาณกากตะกอนคงเหลือเมื่อใช้ FeCl_3 เป็นสารรวมตะกอน (ml/l) | | | |
|--|---------------|---------------|---------------|
| pH | Dose 300 mg/l | Dose 500 mg/l | Dose 700 mg/l |
| 8 | 40.00 | 48.30 | 20.00 |
| 9 | 38.30 | 45.00 | 45.00 |
| 10 | 43.30 | 58.30 | 73.30 |

จากตารางที่ 4.18 พบว่า ที่สภาวะทดลองความเข้มข้นของ FeCl_3 เท่ากับ 300 มิลลิกรัมต่อลิตร ให้ปริมาณกากตะกอนค่าสุดที่ pH 9 เท่ากับ 38.30 มิลลิลิตรต่อลิตร ที่ความเข้มข้นเท่ากับ 500 มิลลิกรัมต่อลิตร ให้ปริมาณกากตะกอนค่าสุดที่ pH 9 เท่ากับ 45.00 มิลลิลิตรต่อลิตร และที่ความเข้มข้น 700 มิลลิกรัมต่อลิตร ให้ปริมาณกากตะกอนค่าสุดที่ pH 8 เท่ากับ 20.00 มิลลิลิตรต่อลิตร



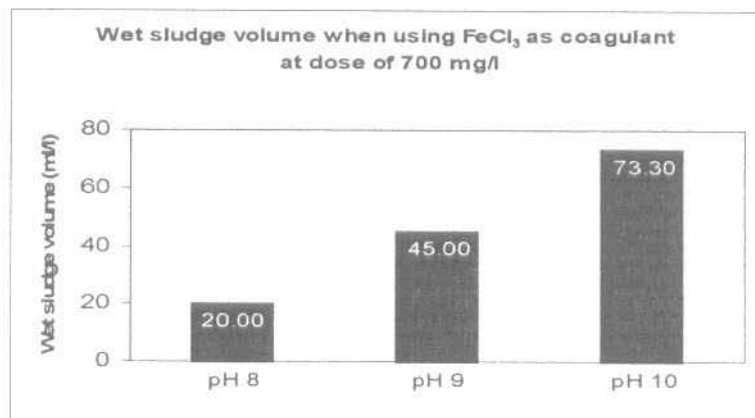
ภาพที่ 4.60 ปริมาณกากตะกอนของ FeCl_3 ที่ pH ต่างๆ ความเข้มข้น 300 มิลลิกรัมต่อลิตร

จากภาพที่ 4.60 พบว่า ที่ความเข้มข้น 300 มิลลิกรัมต่อลิตร ปริมาณกากตะกอนลดลง เมื่อ pH เพิ่มขึ้นจาก 8 เป็น 9 แต่ปริมาณกากตะกอนเพิ่มมากขึ้นเมื่อ pH เพิ่มเป็น 10 โดยมีปริมาณกากตะกอนเท่ากับ 40, 38.3 และ 43.3 มิลลิลิตรต่อลิตร ตามลำดับ



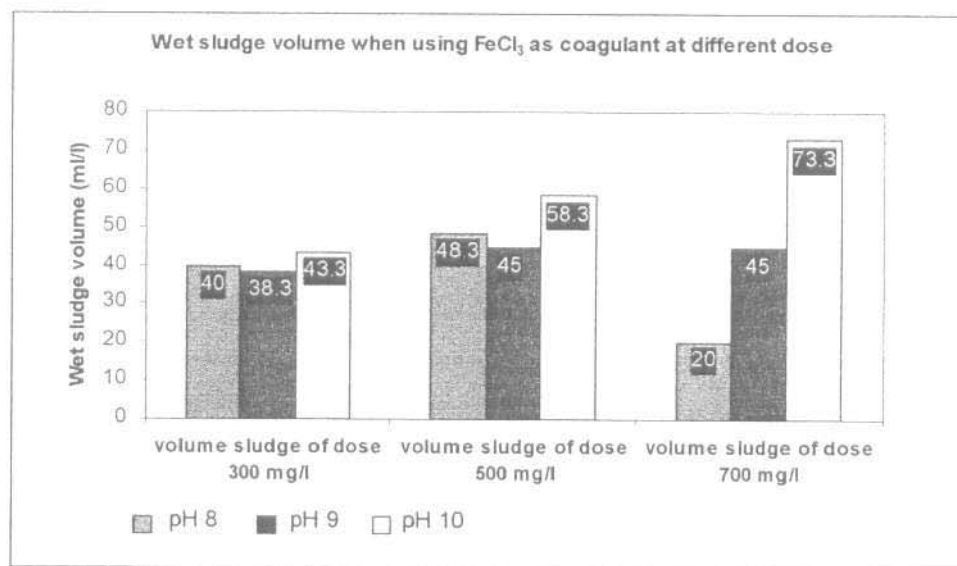
ภาพที่ 4.61 ปริมาณการตะกอนของ FeCl_3 ที่ pH ต่างๆ ความเข้มข้น 500 มิลลิกรัมต่อลิตร

จากภาพที่ 4.61 พบว่า ที่ความเข้มข้น 500 มิลลิกรัมต่อลิตร ปริมาณการตะกอนลดลง เมื่อ pH เพิ่มขึ้นจาก 8 เป็น 9 แต่ปริมาณการตะกอนเพิ่มมากขึ้นเมื่อ pH เพิ่มเป็น 10 โดยมีปริมาณการตะกอนเท่ากับ 48.3, 45 และ 58.3 มิลลิลิตรต่อลิตร ตามลำดับ



ภาพที่ 4.62 ปริมาณการตะกอนของ FeCl_3 ที่ pH ต่างๆ ความเข้มข้น 700 มิลลิกรัมต่อลิตร

จากภาพที่ 4.62 พบว่า ที่ความเข้มข้น 700 มิลลิกรัมต่อลิตร ปริมาณการตะกอนเพิ่มขึ้น เมื่อ pH เพิ่มขึ้นจาก 8 เป็น 9 และ 10 ตามลำดับ โดยมีปริมาณการตะกอนเท่ากับ 20, 45 และ 73.3 มิลลิลิตรต่อลิตร ตามลำดับ



ภาพที่ 4.63 ปริมาณการตะกอนเมื่อใช้ FeCl_3 เป็นสารรวมตะกอน ที่ความเข้มข้นแตกต่างกัน

จากภาพที่ 4.63 พบว่า ปริมาณการตะกอนภายหลังการบำบัดโดยขบวนการโคลอแกกุเลชั่น ที่ความเข้มข้น 300 และ 500 มิลลิกรัมต่อลิตร มีแนวโน้มไปในทิศทางเดียวกัน กล่าวคือ เมื่อ pH ของด้วยอย่างน้ำเสียเพิ่มขึ้นจาก 8 เป็น 9 ปริมาณการตะกอนจะลดลง แต่เมื่อ pH ของด้วยอย่างน้ำเสียเพิ่มเป็น 10 ปริมาณการตะกอนจะเพิ่มขึ้น ส่วนที่ความเข้มข้น 700 มิลลิกรัมต่อลิตร ปริมาณการตะกอนเพิ่มขึ้นอย่างต่อเนื่องเมื่อ pH เพิ่มขึ้นจาก 8 เป็น 9 และ 10 ตามลำดับ

จากการวิเคราะห์ทางสถิติโดยใช้ Friedman Test for Several Related Sample (K Related Sample) เปรียบเทียบความแตกต่างของปริมาณการตะกอนเมื่อใช้ FeCl_3 เป็นสารรวมตะกอนโดยพิจารณาที่ปัจจัย pH และปัจจัยความเข้มข้น พบว่า ปริมาณการตะกอนที่เกิดขึ้นในแต่ละปัจจัย pH และปัจจัยความเข้มข้นไม่แตกต่างกันอย่างมีนัยสำคัญทางสถิติ ($P\text{-Value} > 0.05$) แต่มีแนวโน้มที่จะทำให้ปริมาณการตะกอนเฉลี่ยเปลี่ยนแปลง

ทั้งนี้โดยภาพรวมอธิบายได้ว่า ปฏิกิริยาเคมีที่เกิดขึ้นจากการเติมเฟอริคคลอไรต์ในขบวนการโคลอแกกุเลชั่น จะได้ตะกอนของเฟอริคไไฮดรอกไซซ์ด (Fe(OH)₃) ดังสมการ $\text{FeCl}_3 + \text{H}_2\text{O} \longrightarrow (\text{Fe(OH})_3) + 3\text{H}^+ + 3\text{Cl}^-$ ซึ่ง FeCl_3 เป็นสารประกอบเหล็กที่มีประจุบวก เมื่อเกิดการแตกตัวจะเป็นผลให้เกิดการรวมกลุ่มของตะกอน FeCl_3 โดยจับกับประจุลบของอนุภาคมลสารในน้ำและจากผลการทดลองพบว่า พฤติกรรมการตกตะกอนของอนุภาคในน้ำด้วยอย่างน้ำเสียคลองแสนแสบโดยใช้ FeCl_3 เป็นสารรวมตะกอนสามารถแบ่งออกได้เป็น 2 แบบ กล่าวคือ ในช่วงแรกของการตกตะกอน ลักษณะการตกตะกอนจะมีลักษณะเป็นแบบรวมกลุ่ม (Coagulation) เป็นฟลีโคลและช่วงกลางและช่วงสุดท้ายจะมีลักษณะการตกตะกอนแบบสะสม เป็นชั้นๆ (Accumulation) โดยแยกชั้นของตะกอนกันน้ำใสอย่างชัดเจน

นอกจากนี้เมื่อพิจารณาปริมาณกากตะกอนที่เกิดขึ้นจากการใช้ FeCl_3 เป็นสารรวมตะกอนที่ pH 9 และ 10 ปริมาณกากตะกอนที่เกิดขึ้นมีแนวโน้มไปในทิศทางเดียวกันเมื่อความเข้มข้นของ FeCl_3 เพิ่มขึ้นกล่าวคือ ปริมาณกากตะกอนสุดท้ายที่ 60 นาทีมีแนวโน้มสูงขึ้น ซึ่งสันนิษฐานได้ว่า เมื่อสารประกอบเหล็กเพิ่มมากขึ้นจึงส่งผลให้เกิดการจับตัวหรือรวมตัวกับอนุภาคมลสารในน้ำตัวอย่างมากยิ่งขึ้นจึงทำให้เกิดฟลักซ์มากโดยฟลักซ์อาจจับตัวกันแบบหลวมๆ แต่บางสภาวะการทดลองที่ pH 8 พบร่วมปริมาณกากตะกอนที่สภาวะความเข้มข้นสูงคือ 700 มิลลิกรัมต่อลิตร กลับพบว่าปริมาณกากตะกอนมีปริมาณน้อยลงและเป็นปริมาณตะกอนที่น้อยที่สุด ซึ่งสันนิษฐานได้ว่าที่ pH 8 ซึ่งมีสภาวะใกล้ความเป็นกลางมากกว่า pH 9 และ 10 จึงทำให้ตะกอนของ FeCl_3 ที่แตกตัวในน้ำซึ่งเป็นประจุบวกสามารถทำให้เป็นกลางได้ง่ายขึ้นโดยใช้ประจุลบที่เกิดจากมลสารหรือของแข็งในตะกอนด้วยเหตุนี้จึงเป็นสาเหตุให้เกิดการรวมกันของตะกอนฟอร์วิคคลอไรด์ที่จะทำปฏิกิริยา กับ Bicarbonate Alkalinity ในน้ำตะกอนและเปลี่ยนรูปเป็นเหล็กไฮดรอกไซด์กับ Bicarbonate Alkalinity เพิ่มมากขึ้น จึงทำให้ฟลักซ์จับตัวกันและมีน้ำหนักมากเมื่อตกลงมาจึงอัดตัวกันแน่น (Dense and Compact)

4.4.3 ปริมาณกากตะกอน (Wet Sludge Volume) คงเหลือภายหลังโคลอแกกูเลชันโดยใช้ Cationic Polyelectrolyte เป็นสารรวมตะกอน

ปริมาณกากตะกอน (Wet Sludge Volume) คงเหลือภายหลังโคลอแกกูเลชันโดยใช้ Cationic Polyelectrolyte เป็นสารรวมตะกอนแสดงผลได้ดังตารางที่ 4.19

ตารางที่ 4.19 ปริมาณกากตะกอน (Wet Sludge Volume) ที่เวลา 60 นาที เมื่อใช้ Cationic Polyelectrolyte เป็นสารรวมตะกอน

| ปริมาณกากตะกอนคงเหลือเมื่อใช้ Cationic Polyelectrolyte เป็นสารรวมตะกอน (ml/l) | | | |
|---|-----------|-----------|-----------|
| Dose (mg/l) | pH 6 | pH 7 | pH 8 |
| 0.3 | ไม่เกิน 5 | ไม่เกิน 5 | ไม่เกิน 5 |
| 0.5 | ไม่เกิน 5 | ไม่เกิน 5 | ไม่เกิน 5 |
| 0.7 | ไม่เกิน 5 | ไม่เกิน 5 | ไม่เกิน 5 |

จากตารางที่ 4.19 พบร่วมปริมาณกากตะกอนที่เกิดขึ้นภายหลังปั๊บตัวอย่างน้ำเสียด้วยการใช้ Cationic Polyelectrolyte มีปริมาณกากตะกอนต่ำมาก คือ ไม่เกิน 5 มิลลิกรัมต่อลิตรในทุกสภาวะการทดลอง ทั้งนี้สันนิษฐานได้ว่า เกิดจากปริมาณหรือความเข้มข้นของ Cationic Polyelectrolyte ที่เพิ่มมีปริมาณต่ำมาก (0.3 - 0.7 มิลลิกรัมต่อลิตร) และฟลักซ์มีขนาดเล็กมาก

เมื่อเปรียบเทียบกับฟลีโคที่เกิดขึ้นจากการใช้สารส้มและ FeCl_3 เป็นสารรวมตะกอน รวมทั้งการรวมตะกอนโดยการเกาเป็นสายโพลีเมอร์ ซึ่งทำให้ฟลีโคที่เกิดขึ้นจึงมีโครงสร้างที่แน่นและแข็งแรงเมื่อตกรอบลงมาจึงแพ็คตัวได้ดี

4.4.4 ปริมาณกากตะกอน (Wet Sludge Volume) คงเหลือภายหลังโคแอกูเลชัน โดยใช้ Micronized Chitosan เป็นสารรวมตะกอน

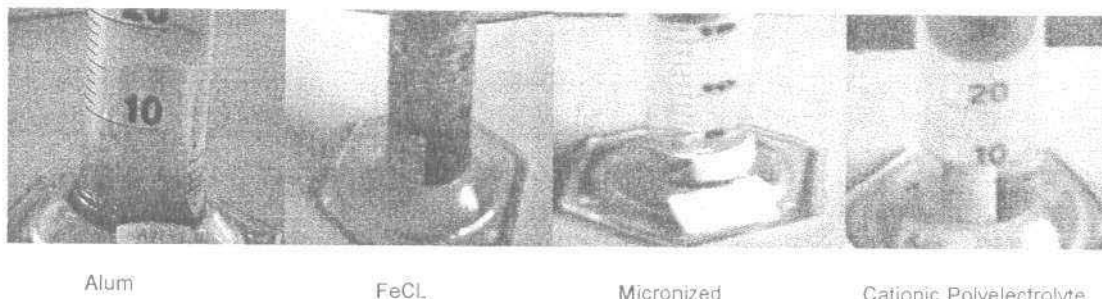
ปริมาณกากตะกอน (Wet Sludge Volume) คงเหลือภายหลังโคแอกูเลชันโดยใช้ Micronized Chitosan เป็นสารรวมตะกอนแสดงผลได้ดังตารางที่ 4.20

ตารางที่ 4.20 ปริมาณกากตะกอน (Wet Sludge Volume) ที่เวลา 60 นาที เมื่อใช้ Micronized Chitosan เป็นสารรวมตะกอน

| ปริมาณกากตะกอนคงเหลือเมื่อใช้ Micronized Chitosan เป็นสารรวมตะกอน (ml/l) | | | |
|--|---------------|---------------|---------------|
| Dose (mg/l) | pH 4 | pH 5 | pH 6 |
| 60 | ประมาณ 5 - 10 | ประมาณ 5 - 10 | ประมาณ 5 - 10 |
| 80 | ประมาณ 5 - 10 | ประมาณ 5 - 10 | ประมาณ 5 - 10 |
| 100 | ประมาณ 5 - 10 | ประมาณ 5 - 10 | ประมาณ 5 - 10 |

จากตารางที่ 4.20 พบว่าปริมาณกากตะกอนที่เกิดขึ้นภายหลังบำบัดด้วยย่างน้ำเสียด้วยการใช้ Micronized Chitosan มีปริมาณกากตะกอนต่ำ คือ ประมาณ 5 – 10 มิลลิลิตรต่อลิตร ในทุกสภาวะการทดลอง ทั้งนี้ สันนิษฐานได้ว่า เกิดจากปริมาณหรือความเข้มข้นของ Micronized Chitosan ที่เติมมีปริมาณไม่มาก (60 -100 มิลลิกรัมต่อลิตร) และฟลีโคที่เกิดขึ้นมีขนาดเล็กเมื่อเทียบกับการใช้ สารส้มและ FeCl_3 เป็นสารรวมตะกอน รวมทั้งการเกาตัวบนสารโพลีเมอร์มากและแน่นจึงทำให้ตกรอบลงมาจึงแพ็คตัวได้ดีและแน่น

โดยลักษณะทางกายภาพของด้วยน้ำเสียและปริมาณกากตะกอนเมื่อการเติมสารรวมตะกอนแต่ละชนิด แสดงໄต้ ดังภาพที่ 4.64



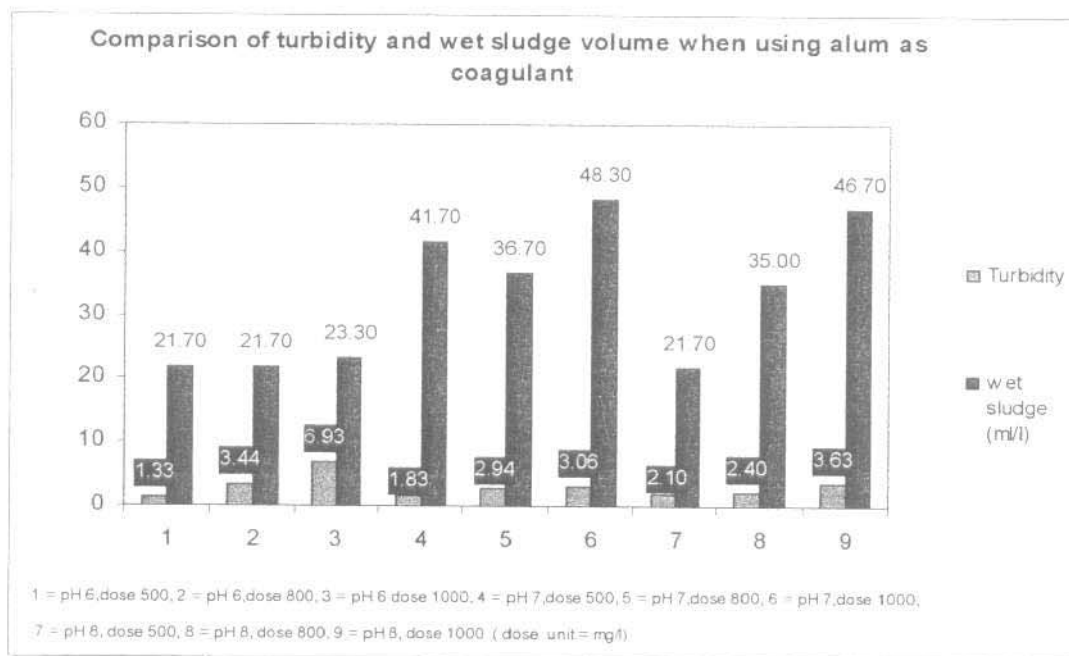
ภาพที่ 4.64 ตัวอย่างปริมาณกากระgonในระบบอุดตัวเมื่อมีการเติมสารรวมระgonแต่ละชนิด

4.5 ความสัมพันธ์ของปริมาณกากระgonและความชุนภายในหลังบำบัด

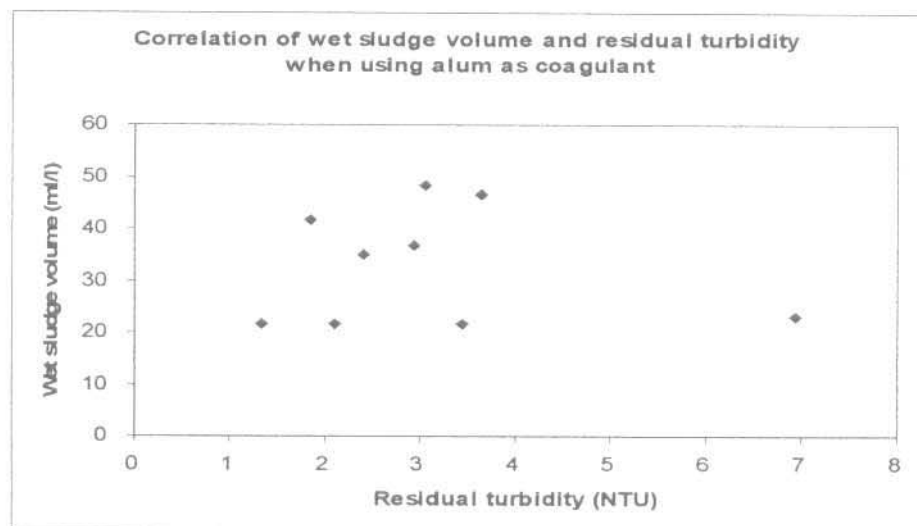
การวิเคราะห์ความสัมพันธ์ของปริมาณกากระgonและความชุนภายในหลังบำบัด จะดูได้จากการผลิตภาพระหว่างค่าความชุนภายในหลังบำบัดและปริมาณกากระgonคงเหลือ เมื่อใช้สารรวมระgonชนิดต่างๆ ในที่นี่จะแสดงผลการวิเคราะห์เฉพาะ เมื่อใช้สารสัมและสารเพอริคลอไรด์ เป็นสารรวมระgonแท่นั้น ทั้งนี้ เนื่องจากปริมาณกากระgonที่เกิดขึ้นจากการเติมสาร โพลีอะลีกโตรีไอล์ ประจุบวกและ Micronized Chitosan ให้ปริมาณกากระgonคงที่ในทุกสภาวะทดลอง

4.5.1 ความสัมพันธ์ของปริมาณกากระgonและความชุนภายในหลังบำบัดเมื่อใช้สารสัมเป็นสารรวมระgon

ความสัมพันธ์ของปริมาณกากระgonและความชุนภายในหลังบำบัดเมื่อใช้สารสัมเป็นสารรวมระgonแสดงได้ดัง ภาพที่ 4.65 และ 4.66



ภาพที่ 4.65 เปรียบเทียบปริมาณการก่อตะกอนและความชื้นหลังบำบัดเมื่อใช้สารสัมเป็นสารรวมตัวก่อน



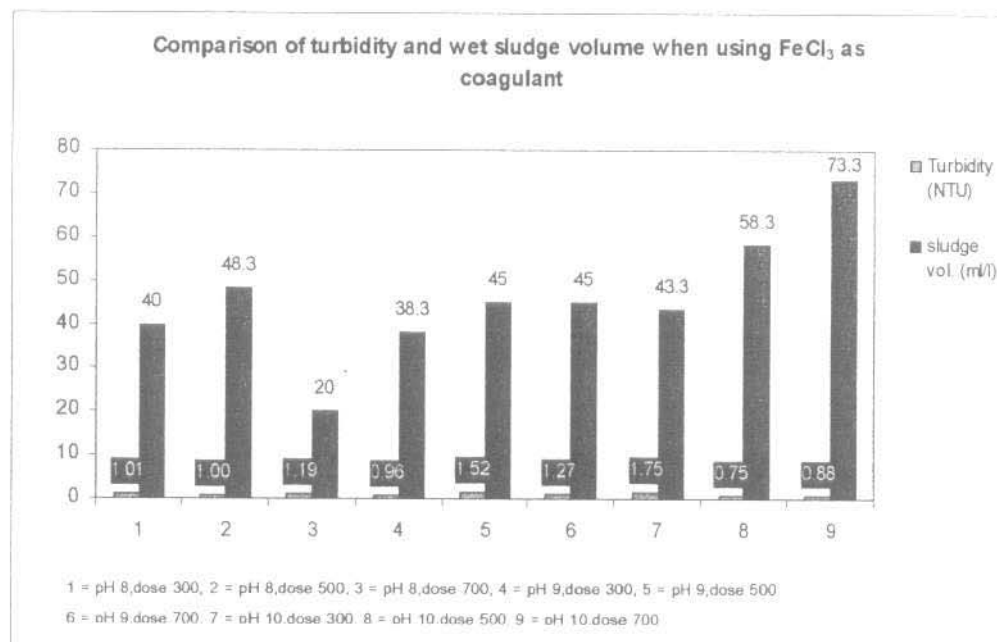
ภาพที่ 4.66 ความสัมพันธ์ระหว่างค่าความชื้นและปริมาณการก่อตะกอนภายหลังบำบัดด้วยน้ำเสียคลองแสนแสบเมื่อใช้สารสัมเป็นสารรวมตัวก่อน

จากภาพที่ 4.65 และ 4.66 เมื่อนำค่าความชื้นและปริมาณการก่อตะกอนภายหลังบำบัดด้วยน้ำเสียคลองแสนแสบด้วยวิธีการรวมตัวก่อนโดยใช้สารสัมเป็นสารรวมตัวก่อน พบร่วม

ค่าความชุ่นและปริมาณการก่อตะกรอนที่เกิดขึ้นหลังบำบัดด้วยปั่นน้ำเสียคลองแส้นแสบ ไม่มีความสัมพันธ์กันเชิงเส้น ($R^2 = 0.012$) หรืออาจกล่าวอีกนัยหนึ่งได้ว่าค่าความชุ่นหลังบำบัดไม่ขึ้นกับปริมาณการก่อตะกรอนที่เกิดขึ้นภายหลังเติมสารสัมที่สภาวะทดลอง pH และความเข้มข้นต่าง ๆ

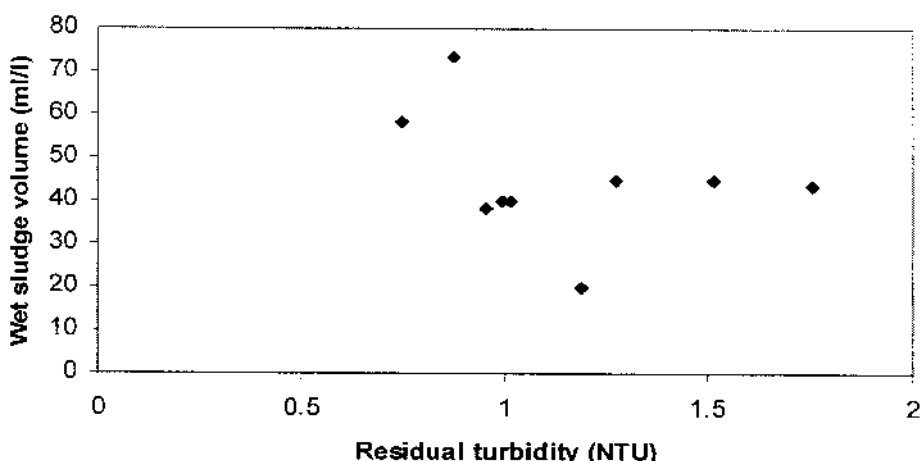
4.5.2 การวิเคราะห์ความสัมพันธ์ของปริมาณการก่อตะกรอนและความชุ่นภายหลังบำบัด เมื่อใช้เฟอริคคลอไรด์ (FeCl_3) เป็นสารรวมตะกรอน

การวิเคราะห์ความสัมพันธ์ของปริมาณการก่อตะกรอนและความชุ่นภายหลังบำบัด เมื่อใช้เฟอริคคลอไรด์ (FeCl_3) เป็นสารรวมตะกรอน แสดงดังภาพที่ 4.66



ภาพที่ 4.67 เปรียบเทียบปริมาณการก่อตะกรอนและความชุ่นหลังบำบัดเมื่อใช้ FeCl_3 เป็นสารรวมตะกรอน

Correlation between wet sludge volume and residual turbidity when using FeCl_3 as coagulant



ภาพที่ 4.68 ความสัมพันธ์ระหว่างค่าความชุ่นและปริมาณการตะกอนภายในห้องบังบัดด้วยร่องเส้นแบบ เมื่อใช้ FeCl_3 เป็นสารรวมตะกอน

จากภาพที่ 4.67 และภาพที่ 4.68 เมื่อนำค่าความชุ่นและปริมาณการตะกอนภายในห้องบังบัดด้วยร่องเส้นแบบด้วยวิธีการรวมตะกอนโดยใช้ FeCl_3 เป็นสารรวมตะกอน พบว่า ค่าความชุ่นและปริมาณการตะกอนที่เกิดขึ้นห้องบังบัดด้วยร่องเส้นแบบ “ไม่มี” ความสัมพันธ์กันเชิงเส้น ($R^2 = 0.108$) หรืออาจกล่าวอีกนัยหนึ่งได้ว่า ค่าความชุ่นหลังบังบัดไม่ขึ้นกับปริมาณการตะกอนที่เกิดขึ้นภายในห้องบังบัดเดิม FeCl_3 ที่สภาวะทดลอง pH และความเข้มข้น ต่างๆ

จากการทดลองเพื่อหารูปแบบการตะกอนคงเหลือภายในห้องบังบัดด้วยร่องเส้นแบบ พบว่า สารสัมและเพอริคลอไร์ดให้ปริมาณการตะกอนสูงกว่าการใช้ Micronized Chitosan และโพลีอิเล็กโทรไลท์ประจุบวกเป็นสารรวมตะกอน ดังนั้น เมื่อพิจารณาจากการผลิตภัณฑ์การตะกอนภายในห้องบังบัดด้วยร่องเส้น “โพลีอิเล็กโทรไลท์” จึงเหมาะสมที่จะนำไปใช้บังบัดด้วยร่องเส้นแบบ “เนื่องจากมีปริมาณการตะกอนต่ำภายในห้องบังบัด” ของการโดยแยกกุลเส้น ซึ่งจะเป็นผลต่อระบบบังบัดร่องเส้น กล่าวคือ ทำให้ประยัดพื้นที่ถังคอกะกอนและลดค่าใช้จ่ายในการรีดน้ำออกจากการตะกอนเนื่องจากตะกอนที่เกิดขึ้นจะมีน้ำเป็นองค์ประกอบน้อยเมื่อเปรียบเทียบกับการใช้สารสัมและเพอริคลอไร์ดเป็นสารสร้างตะกอน Kawamura (1976 อ้างถึงใน พรศักดิ์ สมรักษ์สุรกิจ, 2548: 15)

4.6 สรุปภาระผลการทดลอง

เมื่อนำผลการทดลองทั้งหมดจาก 3 ส่วน อันได้แก่ ประสิทธิภาพการบำบัดความชื้นอัตราเร็วการตัดก่อนและปริมาณการตัดก่อนคงเหลือ มาเปรียบเทียบเพื่อหาค่าประสิทธิภาพการบำบัดความชื้นสูงสุดและอัตราเร็วการตัดก่อนเฉลี่ยสูงสุดรวมทั้งปริมาณการตัดก่อนที่คงเหลือค่าสูด แสดงได้ดังตารางที่ 4.21

ตารางที่ 4.21 สรุปผลการหาประสิทธิภาพการบำบัดความชื้น, อัตราเร็วการตัดก่อนเฉลี่ยสูงสุดและปริมาณการตัดก่อนค่าสูดของสารรวมตัดก่อนแต่ละชนิด

| Coagulants | Highest Turbidity Removal | | Fastest Flocculant Settling | | Lowest Wet Sludge Volume | |
|-----------------------------|---------------------------|---------|--------------------------------|---------|--------------------------|---------------|
| | (%) | pH,dose | $(\times 10^{-4} \text{ m/s})$ | pH,dose | (ml/l) | pH,dose |
| | | | | | | |
| 1. Alum | 83.54 | 6,500 | 1.56 | 8,500 | 21.70 | 6,500 |
| | | | | | | 6,800 |
| | | | | | | 8,500 |
| 2. FeCl ₃ | 90.75 | 10,500 | 2.71 | 8,700 | 20.00 | 8,700 |
| 3. Cationic Polyelectrolyte | 79.33 | 7,0.5 | 3.38 | 6,0.5 | < 5 | ทุกๆ pH, dose |
| 4. Micronized Chitosan | 84.28 | 6,60 | 1.70 | 6,0.5 | 5 - 10 | ทุกๆ pH, dose |

จากตารางที่ 4.21 พบว่า FeCl₃ ให้ประสิทธิภาพการบำบัดความชื้นสูงที่สุดร้อยละ 90.75 ที่ pH 10 ความเข้มข้นเท่ากับ 500 มิลลิกรัมต่อลิตร ส่วนอัตราเร็วการตัดก่อนเฉลี่ยสูงที่สุด เท่ากับ 3.38×10^{-4} เมตรต่อวินาที เมื่อใช้โพลีอะลูมิโนไฮดรอกไซด์เป็นสารรวมตัดก่อนที่ส่วน率ของ pH เท่ากับ 6 ความเข้มข้น 0.5 มิลลิกรัมต่อลิตร และสารรวมตัดก่อนที่ให้ปริมาณการตัดก่อนคงเหลือภายนอกหลังบำบัดที่ 60 นาที ค่าที่สูด คือสารโพลีอะลูมิโนไฮดรอกไซด์ที่ pH 7 โดยให้ปริมาณการตัดก่อนคงเหลือภายนอกหลังบำบัดที่ 60 นาที ในทุกๆ สภาวะทดลอง คือ มีปริมาณการตัดก่อนค่าไม่เกิน 5 มิลลิกรัมต่อลิตร

บทที่ 5

สรุปและข้อเสนอแนะ

การศึกษาอัตราเร็วในการตกรดตะกอนและปริมาณหากตะกอนภายหลังการบำบัดด้วยปัจจัยเคมีที่มีความจำเพาะต่อตัวอย่างน้ำเสียคือองค์ประกอบที่สำคัญในการตกรดตะกอนทางเคมี โดยใช้สารรวมตะกอน 4 ชนิด ได้แก่ สารส้ม เฟอริคคลอไร์ด พลัซิโอเล็กโตรไอล์ฟะบูนวาก และ Micronized Chitosan ซึ่งในแต่ละสารรวมตะกอนที่ทำการทดลอง ได้ทดลองในห้องปฏิบัติการทางเคมี มีสภาวะการทดลองในแต่ละสารรวมตะกอนดังนี้ สารส้ม ทดลองที่ pH 6, 7 และ 8 ความเข้มข้นของสารส้มเท่ากับ 500, 800 และ 1,000 มิลลิกรัมต่อลิตร ส่วนเฟอริคคลอไร์ด ทดลองที่ pH 8, 9 และ 10 ความเข้มข้นของสารเฟอริคคลอไร์ดเท่ากับ 300, 500 และ 700 มิลลิกรัมต่อลิตร พลัซิโอเล็กโตรไอล์ฟะบูนวาก ทำการทดลองที่ pH 6, 7 และ 8 ความเข้มข้นของเท่ากับ 0.3, 0.5 และ 0.7 มิลลิกรัมต่อลิตร และ Micronized Chitosan ทดลองที่ pH 4, 5 และ 6 ความเข้มข้นของ Micronized Chitosan เท่ากับ 60, 80 และ 100 มิลลิกรัมต่อลิตร โดยการสรุปผลการทดลองแยกตามวัตถุประสงค์แบ่งได้เป็น 3 ส่วนดังนี้

- 5.1 ผลการทดลองเพื่อหาประสิทธิภาพการบำบัดความขุ่น (Turbidity Removal)
- 5.2 ผลการทดลองเพื่อหาอัตราเร็วการตกรดตะกอน (Flocculant Settling)
- 5.3 ผลการทดลองเพื่อหาปริมาณหากตะกอนคงเหลือ (Wet Sludge Volume)

ชื่อผลการทดลองข้อ 5.1, 5.2 และ 5.3 แสดงได้ดังตารางที่ 5.1 - 5.6 ดังต่อไปนี้

5.1 ផលការទទួលទៅដើម្បីវិនិយោគរបៀបគុណភាពការបំបាតគម្លៃ (Turbidity Removal)

ទារង់ 5.1 ប្រភេទការងាររបៀបគុណភាពការបំបាតគម្លៃនូវសាររាមទចនានិត

| ប្រភេទការងាររបៀបគុណភាពការបំបាតគម្លៃ (វិនិយោគ) | | | | | | | | | |
|---|-------------|-------|-------------|-------------------|-------------|-------|---------------------------|-----|-------------|
| | Alum | | | FeCl ₃ | | | Cationic -polyelectrolyte | | |
| pH | Dose (mg/l) | pH | Dose (mg/l) | pH | Dose (mg/l) | pH | Dose (mg/l) | pH | Dose (mg/l) |
| 500 | 800 | 1000 | 300 | 500 | 700 | 0.3 | 0.5 | 0.7 | 60 |
| 6 | 83.54 | 57.43 | 14.23 | 8 | 87.46 | 87.66 | 85.27 | 6 | 73.14 |
| 7 | 77.35 | 63.61 | 62.13 | 9 | 88.16 | 81.23 | 84.25 | 7 | 77.85 |
| 8 | 74.04 | 70.29 | 55.07 | 10 | 78.30 | 90.75 | 89.15 | 8 | 69.59 |

จากตารางที่ 5.1 พบว่า เมื่อใช้สารสัมเป็นสารรวมตะกอนประสิทธิภาพการบำบัดความชุนสูงสุดคือ ร้อยละ 83.54 ที่ pH เท่ากับ 6 ความเข้มข้นของสารสัมเท่ากับ 500 มิลลิกรัมต่อลิตร และเมื่อใช้เฟอริคคลอไรด์ (FeCl_3) เป็นสารรวมตะกอนให้ประสิทธิภาพการบำบัดความชุนสูงสุดเท่ากับร้อยละ 90.75 ที่ pH เท่ากับ 10 ความเข้มข้น 500 มิลลิกรัมต่อลิตร เมื่อใช้ Cationic Polyelectrolyte เป็นสารรวมตะกอน ให้ประสิทธิภาพการบำบัดความชุนสูงสุดเท่ากับร้อยละ 79.33 ที่ pH 7 ความเข้มข้นเท่ากับ 0.5 มิลลิกรัมต่อลิตร และเมื่อใช้ Micronized Chitosan เป็นสารรวมตะกอน ให้ประสิทธิภาพการบำบัดความชุนสูงสุดเท่ากับร้อยละ 84.28 ที่ pH เท่ากับ 6 ความเข้มข้นเท่ากับ 60 มิลลิกรัมต่อลิตร

เมื่อนำประสิทธิภาพการบำบัดความชุนสูงสุดของแต่ละสารรวมตะกอนมาเปรียบเทียบกัน พบว่า เฟอริคคลอไรด์ (FeCl_3) มีประสิทธิภาพการบำบัดความชุนสูงสุดเท่ากับ ร้อยละ 90.75 จากผลการทดลองพบว่าประสิทธิภาพการบำบัดความชุนของแต่ละสารรวมตะกอนโดยเลือกที่ประสิทธิภาพการบำบัดความชุนที่สูงที่สุดมาพิจารณาเปรียบเทียบประสิทธิภาพการบำบัดความชุนแสดงได้ดังตารางที่ 5.2

ตารางที่ 5.2 ประสิทธิภาพการบำบัดความชุนสูงสุดของแต่ละสารรวมตะกอนแต่ละชนิด

| Coagulants | % Turbidity Removal | pH ,Dose (mg/l) |
|--|---------------------|-----------------|
| 1. สารสัม (Alum) | 83.54 | 6,500 |
| 2. เฟอริคคลอไรด์ (FeCl_3) | 90.75 | 10,500 |
| 3. โพลีเมอร์ประจุบวก (Cationic polyelectrolyte) | 79.33 | 7,0.5 |
| 4. Micronized Chitosan | 84.28 | 6,60 |

จากตารางที่ 5.2 พบว่าประสิทธิภาพการบำบัดความชุนของแต่ละสารรวมตะกอนที่มากที่สุดเมื่อเรียงลำดับจากมากไปน้อย คือ เฟอริคคลอไรด์ Micronized Chitosan สารสัม และโพลีอิเล็กโตรไล์ท์ประจุ ตามลำดับ

5.2 ผลการทดลองเพื่อหาอัตราเร็วการตกตะกอน (Flocculant Settling)

ตารางที่ 5.3 อัตราเร็วการตกตะกอนเหลี่ยม (m/s) ของสารรวมตัวก้อนแข็งต่ำสุดนิ่ง

| | | อัตราเร็วการตกตะกอนเหลี่ยม ($\times 10^{-4}$ m/s) | | | | | | |
|----|-------------|--|-------------------|---------------------------|---------------------|------|-------------|--|
| | | Alum | FeCl ₃ | Cationic -polyelectrolyte | Micronized chitosan | | | |
| pH | Dose (mg/l) | pH | Dose (mg/l) | pH | Dose (mg/l) | pH | Dose (mg/l) | |
| 5 | 500 | 800 | 1000 | 300 | 500 | 700 | 0.3 | |
| 6 | 0.60 | 0.69 | 0.65 | 8 | 2.30 | 2.12 | 6 | |
| 7 | 0.94 | 0.95 | 1.27 | 9 | 2.55 | 2.00 | 2.71 | |
| 8 | 1.56 | 1.32 | 1.25 | 10 | 2.40 | 2.17 | 2.23 | |
| | | | | | | | 0.5 | |
| | | | | | | | 0.7 | |
| | | | | | | | 0.79 | |
| | | | | | | | 1.01 | |
| | | | | | | | 1.70 | |
| | | | | | | | 60 | |
| | | | | | | | 80 | |
| | | | | | | | 100 | |

จากการที่ 5.3 พบว่า เมื่อใช้สารสัมเป็นสารรวมตะกอน ที่ pH 8 ความเข้มข้น 500 มิลลิกรัมต่อลิตร มีอัตราเร็วการตกตะกอนเฉลี่ยสูงสุดเท่ากับ 1.56×10^{-4} เมตรต่อวินาที และเมื่อใช้ FeCl_3 เป็นสารรวมตะกอน พบว่าที่ pH 9 ความเข้มข้นเท่ากับ 700 มิลลิกรัมต่อลิตร มีอัตราเร็วการตกตะกอนเฉลี่ยสูงสุดเท่ากับ 2.71×10^{-4} เมตรต่อวินาที เมื่อใช้ Cationic Polyelectrolyte เป็นสารรวมตะกอน ที่ pH เท่ากับ 6 ความเข้มข้น 0.5 มิลลิกรัมต่อลิตร มีอัตราเร็วการตกตะกอนเฉลี่ยสูงสุดเท่ากับ 3.38×10^{-4} เมตรต่อวินาที และเมื่อใช้ Micronized Chitosan เป็นสารรวมตะกอน พบว่าที่ pH 6 ความเข้มข้นเท่ากับ 100 มิลลิกรัมต่อลิตร มีอัตราเร็วการตกตะกอนเฉลี่ยสูงสุดเท่ากับ 1.70×10^{-4} เมตรต่อวินาที

เมื่อนำอัตราเร็วการตกตะกอนเฉลี่ยสูงสุดของแต่ละสารรวมตะกอนมาเปรียบเทียบกัน พบว่า สารรวมตะกอน ได้แก่ Cationic Polyelectrolyte มีอัตราเร็วการตกตะกอนเฉลี่ยสูงสุด เท่ากับ 3.38×10^{-4} เมตรต่อวินาทีจากผลการทดลองเพื่อหาอัตราเร็วการตกตะกอนเฉลี่ยของแต่ละสารรวมตะกอนเมื่อนำเข้าอัตราเร็วการตกตะกอนเฉลี่ยสูงสุดมาพิจารณาเปรียบเทียบประสิทธิภาพ การตกตะกอนแสดงได้ดังตารางที่ 5.4

ตารางที่ 5.4 อัตราเร็วการตกตะกอนเฉลี่ยสูงสุดของสารรวมตะกอนแต่ละชนิด

| Coagulants | อัตราเร็วการ ตกตะกอนเฉลี่ย (v) , $(\times 10^{-4} \text{ m/s})$ | pH, Dose (mg/l) |
|--|---|-----------------|
| 1. สารสัม (Alum) | 1.56 | 8,500 |
| 2. เพอริคคลอไรด์ (FeCl_3) | 2.71 | 9,700 |
| 3. โพลีเมอร์ประจุบวก (Cationic Polyelectrolyte) | 3.38 | 6,0.5 |
| 4. Micronized Chitosan | 1.70 | 4,100 |

จากการที่ 5.4 อัตราเร็วการตกตะกอนเฉลี่ยของแต่ละสารรวมตะกอนที่เร็วที่สุด เรียงลำดับจากเร็วที่สุดไปช้าที่สุด คือ โพลีเมอร์ประจุบวก เพอริคคลอไรด์ Micronized Chitosan และสารสัม ตามลำดับ

5.3 ผลการทดลองเพื่อหาปริมาณการ加ตตะกอนดงเหลือ (Wet Sludge Volume)

ตารางที่ 5.5 ปริมาณการ加ตตะกอนดงเหลือ (มล/l) ของสารรวมตะกอนแยกต่ำสุดนิยม

| pH | Alum | | | FeCl ₃ | | | Cationic - Polyelectrolyte | | | Micronized Chitosan | | |
|-----|-------------|-------|-------------|-------------------|-------------|-------|----------------------------|-----|-------------|---------------------|-------------|------|
| | Dose (mg/l) | pH | Dose (mg/l) | pH | Dose (mg/l) | pH | Dose (mg/l) | pH | Dose (mg/l) | pH | Dose (mg/l) | |
| 500 | 800 | 1000 | 300 | 500 | 700 | 0.3 | 0.5 | 0.7 | 60 | 80 | 100 | |
| 6 | 21.70 | 21.70 | 23.30 | 8 | 40.00 | 48.30 | 20.00 | 6 | < 5 | < 5 | 4 | 5-10 |
| 7 | 41.70 | 36.70 | 48.30 | 9 | 38.30 | 45.00 | 45.00 | 7 | < 5 | < 5 | 5 | 5-10 |
| 8 | 21.70 | 35.00 | 46.70 | 10 | 43.30 | 58.30 | 73.30 | 8 | < 5 | < 5 | 6 | 5-10 |

จากการที่ 5.5 พบว่าเมื่อใช้สารสัมเป็นสารรวมตะกอน ให้ปริมาณกากรักษาตัวสูด หลังการบำบัดที่เวลา 60 นาที เท่ากับ 21.70 มิลลิลิตรต่อลิตร ที่ pH 6 ความเข้มข้น เท่ากับ 500 และ 800 มิลลิกรัมต่อลิตร และ ที่ pH 8 ความเข้มข้น 500 มิลลิกรัมต่อลิตร และเมื่อใช้ FeCl_3 เป็นสารรวมตะกอนให้ปริมาณกากรักษาตัวสูดหลังการบำบัดที่เวลา 60 นาที เท่ากับ 20.00 มิลลิลิตรต่อลิตร ที่ pH 8 ความเข้มข้น 700 มิลลิกรัมต่อลิตร เมื่อใช้ Cationic Polyelectrolyte เป็นสารรวมตะกอน อาจกล่าวได้ว่า มีปริมาณกากรักษาตัวสูด ภายหลัง การบำบัดที่ 60 นาที เกือบทุกที่ pH และความเข้มข้น คือ มีปริมาณกากรักษาตัวสูด ไม่เกิน 5 มิลลิลิตรต่อลิตร และ ในทันนองเดียวกัน เมื่อใช้ Micronized Chitosan เป็นสารรวม ตะกอน ภายหลังการบำบัดที่ 60 นาที มีปริมาณกากรักษาตัวสูดท้ายเกือบทุกที่ pH และความเข้มข้น คือ มีปริมาณกากรักษาตัวสูดประมาณ 5 – 10 มิลลิลิตรต่อลิตร

เมื่อนำปริมาณกากรักษาตัวสูดภายหลังการบำบัดที่ 60 นาที มาเปรียบเทียบกันในแต่ละชนิดของสารรวมตะกอน พบว่า Cationic Polyelectrolyte ให้ปริมาณกากรักษาตัวสูดท้ายหลัง การบำบัดที่ 60 นาทีต่ำสุด คือ ไม่เกิน 5 มิลลิลิตรต่อลิตร

จากการทดลองหาปริมาณกากรักษาตัวสูดที่เกิดขึ้นจากการใช้สารรวมตะกอนแต่ละชนิด เมื่อนำเอ้าปริมาณกากรักษาตัวสูดที่เกิดขึ้นต่ำสุด มาพิจารณาเปรียบเทียบประสิทธิภาพแสดงได้ดัง ตารางที่ 5.6

ตารางที่ 5.6 ปริมาณกากรักษาตัวสูดของสารรวมตะกอนแต่ละชนิด

| Coagulants | ปริมาณกากรักษาตัวสูด (ml/l) | pH, Dose(mg/l) |
|--|--------------------------------|----------------|
| 1. สารสัม (Alum) | 21.70 | 6,500 |
| | | 6,800 |
| | | 8,500 |
| 2. เพอร์คคลอไรร์ (FeCl ₃) | 20.00 | 8,700 |
| 3. โพลีเมอร์ประจุบวก (Cationic polyelectrolyte) | ไม่เกิน 5 | ทุกๆ pH, Dose |
| 4. Micronized Chitosan | ประมาณ 5 – 10 | ทุกๆ pH, Dose |

จากการที่ 5.6 ปริมาณกากรักษาตัวสูดของสารรวมตะกอนแต่ละชนิดเรียงลำดับจาก ปริมาณกากรักษาตัวสูดไปสูงที่สุดคือ โพลีเมอร์ประจุบวก Micronized Chitosan สารเพอร์คคลอไรร์ และสารสัม ตามลำดับ

5.4 การพิสูจน์สมมติฐานการศึกษา

จากสมมติฐานการศึกษา(หัวข้อ 1.5 ในบทที่ 1) ดังต่อไปนี้

5.4.1 สมมติฐานที่ 1 การบำบัดด้วยน้ำเสียคลองแสนแสบด้วยวิธีการรวมกลุ่มตะกอนทางเคมีโดยใช้สารรวมตะกอนจำพวกโพลีเมอร์ (โพลีอิเล็กโตรไอล์บะจุบากและ Micronized Chitosan) เป็นสารรวมตะกอนให้ประสิทธิภาพการบำบัดความชุน (Turbidity Removal) สูงกว่า การใช้สารรวมตะกอนประเภทเกลืออนินทรีย์ (สารสัมและเฟอริคคลอไรต์) เป็นสารรวมตะกอน

5.4.2 สมมติฐานที่ 2 การบำบัดด้วยน้ำเสียคลองแสนแสบด้วยวิธีการรวมกลุ่มตะกอนทางเคมีโดยใช้สารรวมตะกอนจำพวกโพลีเมอร์ (โพลีอิเล็กโตรไอล์บะจุบากและ Micronized Chitosan) เป็นสารรวมตะกอน มีอัตราเร็วการตกตะกอน (Flocculant Settling) เร็วกว่าการใช้สารรวมตะกอนประเภทเกลืออนินทรีย์ (สารสัมและเฟอริคคลอไรต์) เป็นสารรวมตะกอน

5.4.3 สมมติฐานที่ 3 การบำบัดด้วยน้ำเสียคลองแสนแสบด้วยวิธีการรวมกลุ่มตะกอนทางเคมีโดยใช้สารรวมตะกอนจำพวกโพลีเมอร์ (โพลีอิเล็กโตรไอล์บะจุบากและ Micronized Chitosan) เป็นสารรวมตะกอน ก่อให้เกิดกากตะกอน (Wet Sludge Volume) น้อยกว่า การใช้สารรวมตะกอนประเภทเกลืออนินทรีย์ (สารสัมและเฟอริคคลอไรต์) เป็นสารรวมตะกอน

5.4.1 การพิสูจน์สมมติฐานที่ 1

จากการทดลองหาประสิทธิภาพการบำบัดความชุน จะเลือกประสิทธิภาพการบำบัดความชุนที่สูงที่สุดของสารรวมตะกอนแต่ละชนิดมาพิจารณาเปรียบเทียบประสิทธิภาพการบำบัดความชุนแสดงได้ดังตารางที่ 5.7

ตารางที่ 5.7 เปรียบเทียบประสิทธิภาพการบำบัดความชุนสูงสุดของสารรวมตะกอนแต่ละชนิด

| Coagulants | % Turbidity Removal |
|---|---------------------|
| 1. สารสัม (Alum) | 83.54 |
| 2. เฟอริคคลอไรต์ (FeCl ₃) | 90.75 |
| 3. โพลีเมอร์ประจุบาก (Cationic Polyelectrolyte) | 79.33 |
| 4. Micronized Chitosan | 84.28 |

จากตารางที่ 5.7 เมื่อนำประสิทธิภาพการบำบัดความชุนของสารรวมตะกอนแต่ละชนิดมาเรียงลำดับจากประสิทธิภาพการบำบัดความชุนที่สูงที่สุดไปน้อยที่สุด เป็นดังนี้ $\text{FeCl}_3 > \text{Micronized Chitosan} = \text{Alum} > \text{Cationic Polyelectrolyte}$

ดังนั้น จึงสรุปได้ว่า ปฏิเสธสมมติฐานที่ 1 เนื่องจาก FeCl_3 มีประสิทธิภาพการบำบัดความชุนสูงสุดและสูงกว่า ประสิทธิภาพการบำบัดความชุนเมื่อเทียบ $\text{Micronized Chitosan}$ และ Polyelectrolyte แต่ Alum รวมทั้ง เมื่อใช้สารส้มเป็นสารรวมตะกอนให้ประสิทธิภาพการบำบัดความชุนสูงกว่า Polyelectrolyte แต่ Alum ลักษณะเดียวกัน อีกด้วย

5.4.2 การพิสูจน์สมมติฐานที่ 2

จากการทดลองหาอัตราเร็วการแตกตะกอนเฉลี่ย เมื่อนำเอาอัตราเร็วการแตกตะกอนเฉลี่ยสูงสุดของสารรวมตะกอนแต่ละชนิด มาพิจารณาเปรียบเทียบประสิทธิภาพการแตกตะกอน แสดงได้ดังตารางที่ 5.8

ตารางที่ 5.8 เปรียบเทียบอัตราเร็วการแตกตะกอนเฉลี่ยสูงสุดของสารรวมตะกอนแต่ละชนิด

| Coagulants | อัตราเร็วการแตกตะกอนเฉลี่ย (v), ($\times 10^{-4}$ m/s) |
|---|--|
| 1. สารส้ม (Alum) | 1.56 |
| 2. เฟอร์คคลอไรด์ (FeCl_3) | 2.71 |
| 3. โพลีเมอร์ประจุบวก (Cationic Polyelectrolyte) | 3.38 |
| 4. Micronized Chitosan | 1.70 |

จากตารางที่ 5.8 เมื่อนำเอาอัตราเร็วการแตกตะกอนเฉลี่ยสูงสุดของสารรวมตะกอนแต่ละชนิดมาเรียงลำดับจากอัตราเร็วการแตกตะกอนเฉลี่ยเร็วที่สุดไปช้าที่สุด เป็นดังนี้ $\text{Cationic Polyelectrolyte} > \text{FeCl}_3 > \text{Micronized Chitosan} > \text{Alum}$

ดังนั้น จึงสรุปได้ว่า ปฏิเสธสมมติฐานที่ 2 เนื่องจาก FeCl_3 มีอัตราเร็วการแตกตะกอนเฉลี่ยสูงกว่าอัตราเร็วการแตกตะกอนเฉลี่ยเมื่อใช้ $\text{Micronized Chitosan}$ เป็นสารรวมตะกอน

5.4.3 การพิสูจน์สมมติฐานที่ 3

จากผลการทดลองหาปริมาณการ加กตะกอน เมื่อนำเข้าปริมาณการ加กตะกอนต่ำสุดที่เกิดขึ้นจากการเติมสารรวมตะกอนแต่ละชนิด มาพิจารณาเปรียบเทียบประสิทธิภาพ แสดงได้ดังตารางที่ 5.9

ตารางที่ 5.9 เปรียบเทียบปริมาณการ加กตะกอนต่ำสุดที่เกิดขึ้นจากการเติมสารรวมตะกอนแต่ละชนิด

| Coagulants | ปริมาณการ加กตะกอน (mL/L) |
|---|-------------------------|
| 1. สารสัม (Alum) | 21.70 |
| 2. เพอริคคลอไรต์ (FeCl_3) | 20.00 |
| 3. โพลีเมอร์ประจุบวก (Cationic Polyelectrolyte) | ไม่เกิน 5 |
| 4. Micronized Chitosan | ประมาณ 5 - 10 |

จากตารางที่ 5.9 เมื่อนำปริมาณการ加กตะกอนที่เกิดขึ้นภายหลังปั๊บต่ำสุด ซึ่งเกิดขึ้นจากการเติมสารรวมตะกอนแต่ละชนิดมาเรียงลำดับจากปริมาณการ加กตะกอนต่ำที่สุดไปมากที่สุด เป็นดังนี้ $\text{Cationic Polyelectrolyte} < \text{Micronized Chitosan} < \text{FeCl}_3 < \text{Alum}$

ดังนั้น จึงสรุปได้ว่า ยอมรับ สมมติฐานที่ 3 เนื่องจากเมื่อใช้ โพลีอิเล็กโตรไอล์ฟ์ประจุบวก และ **Micronized Chitosan** เป็นสารรวมตะกอนทำให้เกิดปริมาณการ加กตะกอนต่ำกว่าใช้สารสัมและ เพอริคคลอไรต์เป็นสารรวมตะกอน

5.5 การคำนวณค่าใช้จ่าย

ด้วยปัจจัยการคำนวณค่าใช้จ่ายเมื่อใช้สารรวมตะกอนแต่ละชนิด ในที่นี้การเลือกปริมาณสารรวมตะกอนแต่ละชนิดจะเลือกเฉพาะชุดการทดลอง ที่ทำให้เกิดปริมาณการ加กตะกอนต่ำสุด อัตราเร็วการ加กตะกอนค่อนข้างเร็ว โดย สารสัม เลือกที่ pH 8 ความเข้มข้น 500 มิลลิกรัมต่อลิตร เพอริคคลอไรต์เลือกที่ pH 8 ความเข้มข้น 700 มิลลิกรัมต่อลิตร โพลีอิเล็กโตรไอล์ฟ์ประจุบวก เลือกที่ pH 6 ความเข้มข้น 0.5 มิลลิกรัมต่อลิตร และ **Micronized Chitosan** เลือกที่ pH 4 ความเข้มข้น 100 มิลลิกรัมต่อลิตร ผลการคำนวนแสดงได้ ดังตารางที่ 5.10

ตารางที่ 5.10 ตัวอย่างการคำนวณค่าใช้จ่ายต่อหน่วยบำบัดน้ำ 1 ลิตร

| Coagulants | ราคา (บาท/กг.) | Dose ที่เลือก (mg/l) | ปริมาณ ที่ใช้ต่อน้ำ 1 ลิตร (kg/l) | ค่าใช้จ่าย (บาท/ ลิตร) |
|--|-------------------|----------------------------|--|------------------------------|
| | (a) | (b) | (c) = $b/10^6$ | (c*a) |
| 1. สารสัม (Alum) | 5 | 500 | 5.0×10^{-4} | 2.5×10^{-3} |
| 2. เพอร์คคลอไรด์ (FeCl_3) | 15-30 | 700 | 7.0×10^{-4} | 0.02 |
| 3. โพลีเมอร์ประจุบวก (Cationic Polyelectrolyte) | 100 | 0.5 | 5.0×10^{-7} | 5.0×10^{-5} |
| 4. Micronized Chitosan | 500 - 1000 | 100 | 1.0×10^{-4} | 0.01 |

หมายเหตุ: 1 ราคาของสารรวมตะกอนเป็นราคาโดยประมาณตามห้องตลาด ใน มิถุนายน

2549

2 การคำนวณค่าใช้จ่ายคิดจากราคา/ปริมาณของสารรวมตะกอนเท่านั้น
โดยไม่ได้คิดรวมค่าใช้จ่ายของสารเคมีในการปรับ pH และเตรียมสารละลาย

5.6 การเปรียบเทียบผลการทดลองเพื่อหาชนิดของสารรวมตะกอนที่เหมาะสมในการบำบัดตัวอย่างน้ำเสียคลองแสนแสบ

เมื่อนำสารรวมตะกอนทั้ง 4 ชนิดมาพิจารณาตามผลการทดลองเพื่อหาชนิดของสารรวมตะกอนที่เหมาะสมที่สุดในการบำบัดตัวอย่างน้ำเสียคลองแสนแสบโดย พิจารณาจากอัตราเร็วการดักตะกอนสูงที่สุด ปริมาณหากะกะนคงเหลือค่าที่สุด pH หลังบำบัด ราคาก่อหนี้ว่ายบำบัดน้ำตัวอย่าง 1 ลิตร ของสารรวมตะกอนแต่ละชนิดร่วมกับประสิทธิภาพการบำบัดความชุน แสดงผลได้ดังตารางที่ 5.11

ตารางที่ 5.11 สรุปผลการทดลองเพื่อหาชนิดของสารรวมตะกอนที่เหมาะสมในการบำบัดตัวอย่างน้ำเสียด้วยเสนและ

| Coagulants | Optimum Condition | Flocculant Settling $\times 10^4$ (m/s) | Wet Sludge Volume (ml/l) | Environmental Condition | pH After Treated | Cost (Baht/ 1 L) | Turbidity Removal (%) |
|--------------------------|-------------------|---|--------------------------|-------------------------|--|------------------|-----------------------|
| pH | Dose(mg/l) | | | | Residuat Al ³⁺ | 6.77 | 0.0025 74.04 |
| Alum | 8 | 500 | 1.56 | 21.70 | | | |
| FeCl ₃ | 8 | 700 | 2.21 | 20.00 | acidic pH range | 2.43 | 0.0210 85.27 |
| Cationic Polyelectrolyte | 6 | 0.5 | 3.38 | < 5 | Ecotoxicological effects are expected to be lower ^(a) | 6.90 | 0.000005 72.89 |
| Micronized Chitosan | 4 | 100 | 1.70 | 5-10 | Acidic pH, Biopolymer | 4.33 | 0.0100 70.67 |

หมายเหตุ: a คือ ข้อมูลจำเพาะของโพลีอิเล็กโทรไลต์ในงานพัฒนา ค

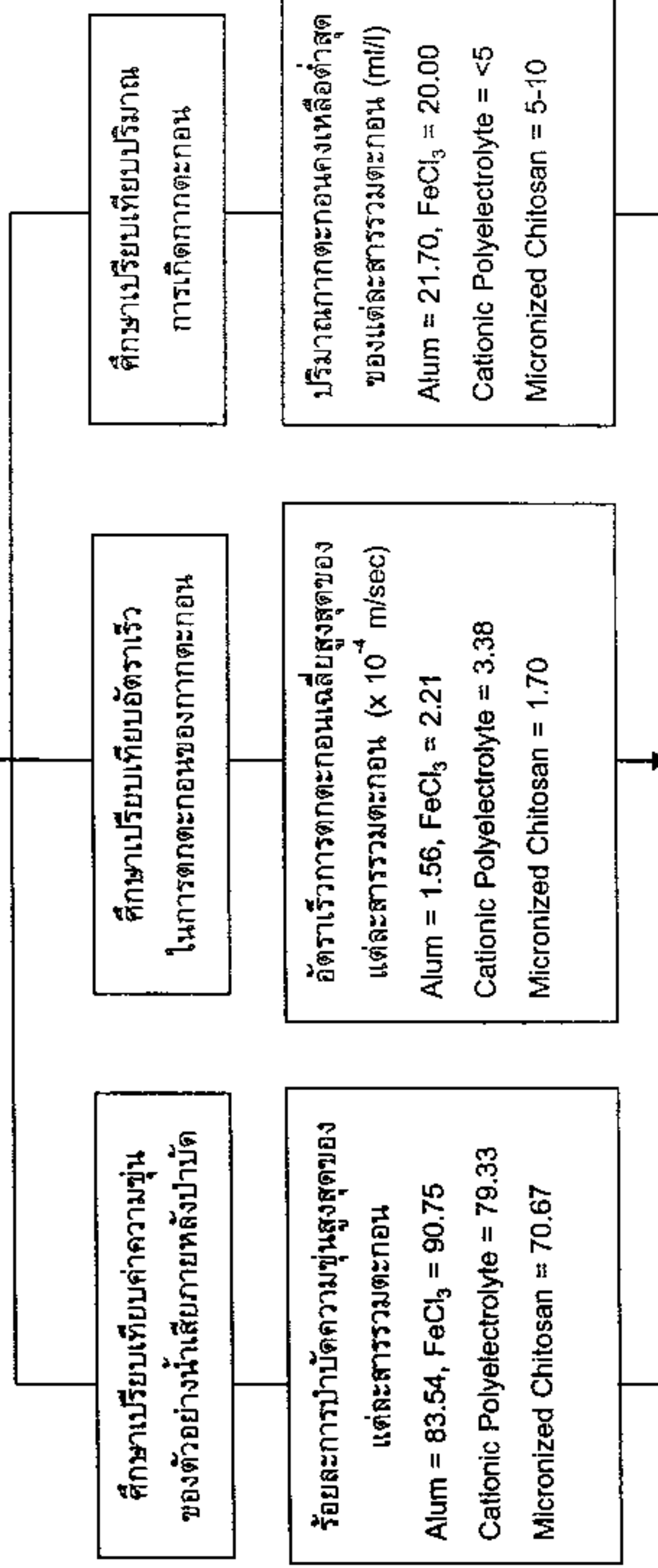
จากตารางที่ 5.11 พบว่า เฟลีอิเล็คโตรไอล์ฟประจุบวกเป็นชนิดของสารรวมตะกอนที่เหมาะสมที่สุดในการบำบัดตัวอย่างน้ำเสียคลองแสนแสบ ทั้งนี้ เพราะให้อัตราเริ่มการตกรตะกอนเฉลี่ยสูงสุดเท่ากับ 3.38×10^4 เมตรต่อวินาที ปริมาณกากรตะกอนต่ำสุด คือ ไม่เกิน 5 มิลลิลิตรต่อลิตร pH หลังบำบัดเท่ากับ 6.9 ซึ่งมีค่าใกล้เคียงความเป็นกลางและเป็นค่า pH ตามมาตรฐานคุณภาพน้ำผิวดินและอาจทำให้ไม่จำเป็นต้องทำการปรับ pH อีกรวมทั้งประสิทธิภาพการบำบัดความชุนเท่ากับ ร้อยละ 72.89 ถึงแม้ว่าจะไม่ใช่ประสิทธิภาพการบำบัดสูงสุดแต่ก็มีประสิทธิภาพการบำบัดความชุนที่ไม่ต่ำเกินไป โดยสภาวะที่เหมาะสมสำหรับการบำบัด คือ pH เท่ากับ 6 ความเข้มข้นเพียง 0.5 มิลลิกรัมต่อลิตร อีกทั้งยังใช้สารเฟลีอิเล็คโตรไอล์ฟประจุบวกในปริมาณต่ำอีกด้วย

สำหรับสารรวมตะกอนชนิดอื่นๆ นั้น เมื่อพิจารณาจากเมื่อนำไปต่างๆ ประกอบกันแล้วพบว่า pH หลังบำบัดต่ำได้แก่ FeCl_3 และ Micronized Chitosan ถึงแม้ว่าจะให้ประสิทธิภาพการบำบัดและอัตราเริ่มการตกรตะกอนค่อนข้างเร็วที่สุด ส่วนสารสัมบูรณ์มีปริมาณกากรตะกอนที่เกิดขึ้นมากกว่าสารรวมตะกอนชนิดอื่น อีกทั้งใช้ปริมาณสารสัมบูรณ์มากจึงส่งผลให้ประหยัดน้อยกว่าการใช้ไฟลีอิเล็คโตรไอล์ฟประจุบวก สำหรับผลการทดลองทั้งหมดสามารถสรุปผลได้ดังภาพที่ 5.1

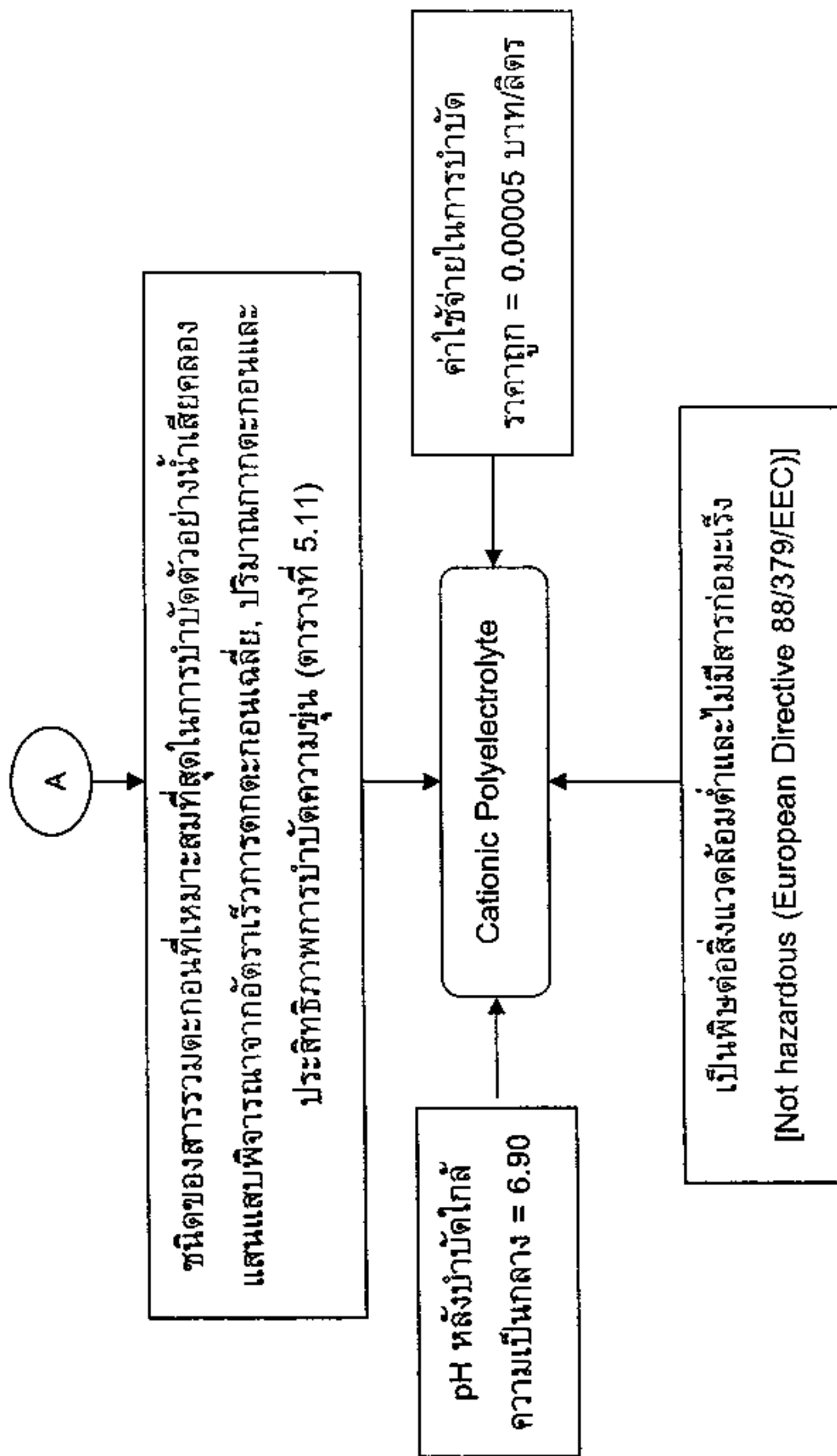
การศึกษาอัตราเรื่องในการติดต่อของสารกรานท์ตัวอย่างหน้าเสียดส่องแสงและปริมาณการติดต่อของสารกรานท์ที่มีผลต่อการร่วมกันลุ่มตะกลอนทางเคมี

วัสดุประสมค์ทั่วไป

เพื่อบรรลุเป้าหมายการบ่มต้นตัวอย่างหน้าเสียดส่องแสงและปรับตัวอย่างวิธีการร่วมกันลุ่มตะกลอนโดยใช้สารซัมเม่, เฟอร์ชิตอลไรด์, โพลิสเลโคไซด์ไฮดรอกไซด์และ Micronized Chitosan



ภาพที่ 5.1 สรุปผลการทดลองเพื่อหาสารร่วมตะกลอนที่เหมาะสมในการบ่มตัวอย่างหน้าเสีย



ການທີ 5.1 (ຕ່ວງ)

5.7 ข้อจำกัดในการทดลอง

การทดลองเรื่อง การศึกษาอัตราเร็วในการตกรดตะกอนและปริมาณกากตะกอนภายหลังจากการบำบัดด้วยน้ำเสียคลองแสนแสบด้วยวิธีการรวมกุ่มตะกอนทางเคมี พบว่ามีข้อจำกัดในการทดลองดังต่อไปนี้

5.7.1 การศึกษาครั้งนี้เป็นการเก็บตัวอย่างน้ำเสียคลองแสนแสบในระยะเวลาที่สั้นเพียง 1 วัน เท่านั้น เนื่องมาจากข้อจำกัดด้านเวลาที่ใช้ในการศึกษา แต่ในสภาพความเป็นจริง น้ำในคลอง แสนแสบจะมีความแปรปรวนจากหลายปัจจัยเนื่องจากมีหลายกิจกรรมบริเวณริมคลอง เช่น การปล่อยน้ำทึ่งจากระบบบำบัดน้ำเสียเป็นช่วงๆ การเดินเรือและการปล่อยน้ำทึ่งจากการกิจกรรมของผู้คน ที่อาศัยริมคลอง เป็นต้น ดังนั้น คุณสมบัติและปริมาณของน้ำเสียอาจมีการเปลี่ยนแปลงไปตลอดเวลา

5.7.2 ข้อจำกัดในการอ่านค่าปริมาณกากตะกอนสุดท้ายที่เวลา 60 นาที เนื่องจากปริมาณ กากตะกอนที่เกิดขึ้นมีปริมาณต่ำกว่าสเกลต่ำสุดของระบบอุ่นห้องขนาด 100 มิลลิลิตร

5.8 ข้อเสนอแนะ

5.8.1 ควรทดลองโดยใช้โพลีเมอร์ร่วมกับสารรวมตะกอนอนิโนทรีต์ต่าง ๆ เพื่อเพิ่ม ประสิทธิภาพการบำบัดน้ำเสีย

5.8.2 เพื่อสามารถอธิบายผลการทดลองที่ละเอียดมากยิ่งขึ้น ควรวัดตัวอย่าง ตัวอย่างน้ำเสียซึ่งจะทำให้ทราบว่าประจุสุทธิของด้วยน้ำเสียมีค่าเท่าใด และควรใช้สารรวม ตะกอนหรือสารโคแยกกุญแจน์ดิไดและปริมาณเท่าไรที่เหมาะสมและควรหาค่าศักย์ซึ่งด้านของ กากตะกอน ซึ่งจะทำให้ทราบถึงประจุสุทธิของกากตะกอน

5.8.3 เพื่อให้ได้ค่าปริมาณตะกอนที่เกิดขึ้นทั้งหมด โดยเฉพาะอย่างยิ่งเมื่อปริมาณ ตะกอนมีค่าต่ำมากควรหาค่าปริมาณกากตะกอนโดยน้ำหนักแห้งเปรียบเทียบกับปริมาณของ กากตะกอนเปียก (Wet Sludge)

5.8.4 เพื่อประเมินความเป็นพิษของสารรวมตะกอนแต่ละชนิดภายหลังที่ใช้ในการ บำบัดด้วยน้ำเสียอาจทำการหาปริมาณสารรวมตะกอนที่เหลือตกค้างในน้ำตัวอย่างภายหลัง ทดลอง

5.8.5 เพื่อประเมินผลกระทบจากความเร็วและเวลาในการกวนต่อขบวนการโคแยกกุญแจซึ่น อาจทำการทดลองโดยกำหนดให้เวลาในการกวนและความเร็วในการกวนเป็นตัวแปรอิสระใน การทดสอบประสิทธิภาพกระบวนการโคแยกกุญแจซึ่น

ภาคผนวก

ภาคผนวก ก
วิธีการเตรียมสารละลาย

วิธีการเตรียมสารละลายน้ำ

1. วิธีเตรียมสารละลายน้ำ (Stock Solution) ของ Cationic polyelectrolyte 0.1%

โดย 0.1% solution = 1,000 mg/l ใน stock

1. ชั่งสาร โพลีอิเล็กโทรไลท์ (Polyelectrolyte) ปริมาณ 0.125 กรัม
2. เติมลงในหลักลิ้นปริมาตร 125 ml ที่เตรียมไว้ใน บิกเกอร์
3. ผสมสารให้ละลายด้วยเครื่องผสมสาร (Stirrer)
4. การตรวจ Stock Solution ของ cationic polyelectrolyte เพื่อ ทดสอบน้ำ ทำได้ดังนี้
 - 4.1 การทดสอบ polyelectrolyte ที่ความเข้มข้น 0.3 ppm หรือ (mg/l) ปีเป็ด Stock Solution of Polyelectrolyte ปริมาตร 0.03 ml ใส่ในน้ำด้วยอย่างที่จะทดสอบปริมาตร 100 ml
 - 4.2 การทดสอบ polyelectrolyte ที่ความเข้มข้น 0.5 ppm หรือ (mg/l) ปีเป็ด Stock Solution of Polyelectrolyte ปริมาตร 0.05 ml ใส่ในน้ำด้วยอย่างที่จะทดสอบปริมาตร 100 ml
 - 4.3 การทดสอบ polyelectrolyte ที่ความเข้มข้น 0.7 ppm หรือ (mg/l) ปีเป็ด Stock Solution of Polyelectrolyte ปริมาตร 0.07 ml ใส่ในน้ำด้วยอย่างที่จะทดสอบปริมาตร 100 ml

2. การเตรียม Stock Solution ของ Micronized Chitosan

- 2.1 ชั่ง Micronized Chitosan ปริมาณ 1.25 กรัม
- 2.2 ใส่ลงในน้ำกลั่น ปริมาตร 100 ml
- 2.3 กระบวนการให้ละลายด้วยเครื่องกวนสาร (Stirrer) เป็นเวลา 15 -20 นาที ให้เกล็ด Micronized Chitosan อุ่มน้ำ
- 2.4 ใส่กรด อะซิติกเข้มข้น ปริมาตร 1 ml เพื่อละลาย Micronized Chitosan ทั้งหมด
- 2.5 เติมน้ำกลั่นส่วนที่เหลือ ปริมาตร 25 ml ผสมต่อ อีก 15 -20 นาที
- 2.6 เมื่อละลายจนหมด จะได้ Micronized Chitosan เข้มข้น ร้อยละ 1 หรือ 10,000 มิลลิกรัมต่อลิตร ในกรดอะซิติก ร้อยละ 1
- 2.8 วิธีการตรวจ Stock Solution ของ Micronized Chitosan เพื่อทำการทดสอบน้ำในแต่ละความเข้มข้นทำได้ดังนี้
 - 2.8.1 การทดสอบ Micronized Chitosan ที่ ความเข้มข้น 60 ppm หรือ mg/l ปีเปด Stock Solution ของ Micronized Chitosan ปริมาตร 0.6 ml ใส่ในน้ำด้วอย่างที่จะทดสอบ ปริมาตร 100 ml
 - 2.8.2 การทดสอบ Micronized Chitosan ที่ ความเข้มข้น 80 ppm หรือ mg/l ปีเปด Stock Solution ของ Micronized Chitosan ปริมาตร 0.8 ml ใส่ในน้ำด้วอย่างที่จะทดสอบ ปริมาตร 100 ml
 - 2.8.3 การทดสอบ Micronized Chitosan ที่ ความเข้มข้น 100 ppm หรือ mg/l ปีเปด Stock Solution ของ Micronized Chitosan ปริมาตร 1.0 ml ใส่ในน้ำด้วอย่างที่จะทดสอบ ปริมาตร 100 ml

ภาคผนวก ช
มาตรฐานคุณภาพหน้า

มาตรฐานน้ำประปา
ตามมาตรฐานการประปานครหลวง

| รายการ | เกณฑ์กำหนดสูงสุด | เกณฑ์ที่กำหนดอนุโลมให้สูงสุด |
|--|-----------------------|------------------------------|
| คุณลักษณะทางกายภาพ | | |
| สี (Colour) | 5.0 | 15.0 |
| รส (Taste) | ไม่เป็นที่น่ารังเกียจ | ไม่เป็นที่น่ารังเกียจ |
| กลิ่น (Odour) | " | " |
| ความขุ่น (Turbidity) หน่วยซิลิกา | 5.0 | 20.0 |
| ความเป็นกรด ด่าง (pH) | 6.5-8.5 | ไม่เกิน 9.2 |
| คุณลักษณะทางเคมี (หน่วย มก.กร.) | | |
| ปริมาณมวลสารทั้งหมด (Total Solids) | 500 | 1,500 |
| เหล็ก (Fe) | 0.5 | 1.0 |
| แมงกานิส (Mn) | 0.3 | 0.5 |
| เหล็กและแมงกานิส (Fe & Mn) | 0.5 | 1.0 |
| ทองแดง (Cu) | 1.0 | 1.5 |
| สังกะสี (Zn) | 5.0 | 15.0 |
| แคลเซียม (Ca) | 75 | 200 |
| แมกนีเซียม (Mg) | 50 | 150 |
| ซัลเฟต (SO_4) | 200 | 250 |
| คลอไรด์ (Cl) | 250 | 600 |
| ฟลูออยด์ (F) | 0.7 | 1.0 |
| ไนเตรต (NO_3) | 45 | 45 |
| อัลกิโนเบนซิลโพเนท (ABS) | 0.5 | 1.0 |
| ฟโนเลกซันสแตนซ์ (Phenol) | 0.001 | 0.002 |

มาตรฐานห้าประปา
ตามมาตรฐานการประเมินครุนลวง (ต่อ)

| รายการ | เกณฑ์กำหนดสูงสุด มิลลิกรัมต่อลูกบาศก์เดซิเมตร |
|---|--|
| คุณลักษณะทางด้านสารเป็นพิษ | |
| ปรอท (Hg) | 0.001 |
| ตะกั่ว (Pb) | 0.05 |
| อาร์เซนิค (As) | 0.05 |
| เชลเลเนียม (Se) | 0.01 |
| โครเมี่ยม (Cr Hexavalent) | 0.05 |
| ไซยาไนต์ (Cn) | 0.2 |
| แมกโนเดียม (Cd) | 0.01 |
| บาร์เทียม (Ba) | 1.0 |
| ค่าคุณภาพทางชีววิทยา | |
| แบนค็อกเรียทั้งหมด (โคลีนีมิลลิกรัม) | 500 |
| เอ็มพีเอ็น (โคลิฟอร์มออร์แกนิกซัม ต่อ 100 ลูกบาศก์เซนติเมตร) | น้อยกว่า 2.2 |
| อี.โค.ไล (E. coli) | ไม่มี |

มาตรฐานแห่งน้ำเพื่อการประปา

| พารามิเตอร์ | หน่วย | เกณฑ์มาตรฐานคุณภาพแห่งน้ำเพื่อการประปา |
|--|-----------------------|---|
| ความเป็นกรด-ด่าง (pH) | - | 5-9 |
| สี (Colour) | (แพลตตินัม โคลบอัลฟ์) | 300 |
| ความกระด้าง (Hardness) | (มก./ล.) | 500 |
| ปริมาณของแข็งที่ละลายได้ (DS) | (มก./ล.) | 1,500 |
| เหล็ก (Fe) | (มก./ล.) | 50 |
| แมงกานีส (Mn) | (มก./ล.) | 5 |
| ทองแดง (Cu) | (มก./ล.) | 1.5 |
| สังกะสี (Zn) | (มก./ล.) | 1.5 |
| ตะกั่ว (Pb) | (มก./ล.) | 0.05 |
| โครเมียม (Cr) | (มก./ล.) | 0.05 ^{***} |
| แคดเมียม (Cd) | (มก./ล.) | 0.005 [*] , 0.05 ^{**} |
| ฟลูออไรด์ (F ⁻) | (มก./ล.) | 1.5 |
| ไนเตรต (NO_3^- as N) | (มก./ล.) | 10 |
| บีโอด (BOD) | (มก./ล.) | 6 |
| โคลิฟอร์มแบคทีเรีย (Total Coliform Bacteria) | (เอ็มพีเอ็น/100 มล.) | - |
| ฟีดัลโคลิฟอร์มแบคทีเรีย (Faecal Coliform Bacteria) | (เอ็มพีเอ็น/100 มล.) | - |

หมายเหตุ

- = น้ำที่มีความกระด้างไม่เกิน 100 มิลลิกรัม/ลิตร ในรูป CaCO_3
- ** = น้ำที่มีความกระด้างเกิน 100 มิลลิกรัม/ลิตร ในรูป CaCO_3
- *** = โครเมียม (Cr hexavalent) ค่าสูงสุดที่ยอมให้มีไม่เกิน 0.05 มิลลิกรัม/ลิตร

มาตรฐานและเกณฑ์ทดสอบพัฒนาชีวภาพ

**ประเภท
และเกณฑ์
การใช้ประโยชน์**

ประเภทที่ 1

ได้แก่ แหล่งน้ำที่คุณภาพน้ำมีสภาพตามธรรมชาติโดยปราศจากน้ำทิ้งจากการกิจกรรมทุกประเภทและสามารถเป็นประโยชน์เพื่อ

- (1) การอุปโภคและบริโภคโดยต้องผ่านการนำเข้าโดยตามปกติgon
- (2) การขยายพันธุ์ตามธรรมชาติของสิ่งมีชีวิตระดับพื้นฐาน
- (3) การอนุรักษ์ระบบนิเวศน์ของแหล่งน้ำ

ประเภทที่ 2

ได้แก่ แหล่งน้ำที่ได้รับน้ำทิ้งจากการกิจกรรมบางประเภท และสามารถเป็นประโยชน์เพื่อ

- (1) การอุปโภคและบริโภคโดยต้องผ่านการนำเข้าโดยตามปกติและผ่านกระบวนการปรับปรุงคุณภาพน้ำทั่วไปก่อน
- (2) การอนุรักษ์สัตว์น้ำ
- (3) การประมง
- (4) การว่ายน้ำและกีฬาทางน้ำ

ประเภทที่ 3

ได้แก่ แหล่งน้ำที่ได้รับน้ำทิ้งจากการกิจกรรมบางประเภท และสามารถเป็นประโยชน์เพื่อ

- (1) การอุปโภคและบริโภคโดยต้องผ่านการนำเข้าโดยตามปกติและผ่านกระบวนการปรับปรุงคุณภาพน้ำทั่วไปก่อน
- (2) การเกษตร

ประเภทที่ 4

ได้แก่ แหล่งน้ำที่ได้รับน้ำทิ้งจากการกิจกรรมบางประเภท และสามารถเป็นประโยชน์เพื่อ

- (1) การอุปโภคและบริโภคโดยต้องผ่านการนำเข้าโดยตามปกติและผ่านกระบวนการปรับปรุงคุณภาพน้ำเป็นพิเศษก่อน
- (2) การอุตสาหกรรม

ประเภทที่ 5

ได้แก่ แหล่งน้ำที่ได้รับน้ำทิ้งจากการกิจกรรมบางประเภท และสามารถเป็นประโยชน์

| ตัวชี้คุณภาพที่ ^๑ | หน่วย | ค่าทาง สมมติ | เกณฑ์กำหนดสูงสุด ^๒ ตามการแบ่ง | | | | | วิธีการตรวจสอบ |
|---|------------------------|-----------------|--|---------|---------|---------|---------|--|
| | | | ประยุกต์คุณภาพพนักงานการใช้ประโยชน์ | ประเภท1 | ประเภท2 | ประเภท3 | ประเภท4 | |
| 1.สี กลิ่นและรส (Colour, Odour and Taste) | - | - | B | B | B | B | B | - |
| 2.อุณหภูมิ (Temperature) | °C | - | C | C | C | C | C | เครื่องวัดอุณหภูมิ (Thermometer) วัดขณะทำการ เก็บตัวอย่าง |
| 3.ความเป็นกรดและด่าง (pH) | - | - | C | 5-9 | 5-9 | 5-9 | - | เครื่องวัดความเป็นกรดและด่าง ของน้ำ (pH meter) ตามวิธีทางค่า แบบ Electrometric |
| 4.ออกซิเจนละลายน้ำ (DO) ^๒ | มก./ล. | P20 | C | 6.0 | 4.0 | 2.0 | - | Azide Modification |
| 5.บีโอดี (BOD) | มก./ล. | P80 | C | 1.5 | 2.0 | 4.0 | - | Azide Modification ที่อุณหภูมิ 20 องศาเซลเซียสเป็นเวลา 5 วัน คิดต่อตัวอย่าง |
| 6.แบคทีเรียกลุ่มโคลิฟอร์มทั้งหมด (Total Coliform Bacteria) | เอ็ม.พ.เพ็ท/100 มล. | P80 | C | 5,000 | 20,000 | - | - | Multiple Tube Fermentation Technique |
| 7.แบคทีเรียกลุ่มพีโคลิโคลิฟอร์ม (Fecal Coliform Bacteria) | เอ็ม.พ.เพ็ท/100 มล. | P80 | C | 1,000 | 4,000 | - | - | Multiple Tube Fermentation Technique |
| 8. cadmium (Cd) | มก./ล. | - | C | - | 5.0 | - | - | Cadmium Reduction |
| 9.แอมโมเนียน (NH3) ในน้ำเสีย ในโครงการ | มก./ล. | - | C | - | 0.5 | - | - | Distillation Nesslerization |
| 10.ฟีโนอล (Phenols) | มก./ล. | - | C | - | 0.005 | - | - | Distillation, 4-Amino antipyrene Atomic Absorption -Direct Aspiration |
| 11.ทองแดง (Cu) | มก./ล. | - | C | - | 0.1 | - | - | Atomic Absorption -Direct Aspiration |
| 12.nickel (Ni) | มก./ล. | - | C | - | 0.1 | - | - | Atomic Absorption -Direct Aspiration |
| 13.แมงกานีส (Mn) | มก./ล. | - | C | - | 1.0 | - | - | Atomic Absorption -Direct Aspiration |
| 14.สังกะสี (Zn) | มก./ล. | - | C | - | 1.0 | - | - | Atomic Absorption -Direct Aspiration |
| 15.แมกนีเซียม (Mg) | มก./ล. | - | C | - | 0.005* | - | - | Atomic Absorption -Direct Aspiration |
| | | | | - | 0.05** | - | - | |

แหล่งที่มา : ประกาศคณะกรรมการสิ่งแวดล้อมแห่งชาติ ฉบับที่ 8 (พ.ศ. 2537) ออกตามความในพระราชบัญญัติสิ่งแวดล้อมและรักษากลางป่า
สิ่งแวดล้อมแห่งชาติ พ.ศ. 2535 เรื่อง กำหนดมาตรฐานคุณภาพน้ำในแหล่งน้ำมีวัตถุ คือพิมพ์ในราชกิจจานุเบกษา เล่ม 111 ตอนที่ 16 ง ลง
วันที่ 24 กุมภาพันธ์ 2537

**ภาคผนวก C
ข้อมูลจำเพาะของ
โพลีอิเล็กโตรไโลท์และ Micronized Chitosan**

ข้อมูลจำเพาะของ Micronized Chitosan



PLASMED
CORPORATION LTD.
TEL. 5332269, 5316256 FAX. 5316257
TELEX. 61118 KWKECO TH
ATTN: JARONG
142/58-67 TIVANONON RD. TASA AREA,
AMPHEWANG MONTABURI 11000 THAILAND
142/58-67 ถนนติวนันน์ หมู่บ้านท่าฯ ถนนท่าวัง ตำบลท่าวัง อำเภอเมือง จังหวัดปทุมธานี 11000

Micronized Chitosan

Specification Sheet

Product : Fine grade chitosan made from fresh shrimp / crab shells.

Specification :

| | |
|-----------------------------------|-----------------------------------|
| Appearance | off white powder |
| Micronized powder | 100 mesh sieve |
| Odor | odorless |
| Deacetylation degree | 90 % ± 5 |
| Solubility | Soluble in organic acid |
| Moisture | 10 % max |
| Viscosity (1% solution / 1% acid) | 50 cps |
| Ash content | 2 % max (with calcium supplement) |
| Heavy metals | 10 ppm max |
| Total plate count | less than 10.00 / g |
| E. Coli | Absent |
| Coliform bacteria | Absent |
| Salmonella | Absent |

ข้อมูลจำเพาะของโพลีอิเล็กโทรไอล์ประจุบวก

OPTIMER® 9916

Dry Cationic Flocculant



Product Bulletin

PRODUCT DESCRIPTION AND APPLICATION

OPTIMER 9916 is a high charge, cationic, dry flocculant designed as industrial, municipal, recycle and CPI and refining sludge dewatering applications. OPTIMER 9916 can be used as a settling aid in primary clarification. This product functions well with all types of equipment including twin-belt presses, screw presses, dissolved air flotation/induced air flotation, plate-and-frame presses, vacuum filter presses, as well as high shear applications.

PHYSICAL & CHEMICAL PROPERTIES

| | |
|---------------------|----------|
| Form | Powder |
| Color | White |
| Odor | None |
| Solubility In Water | Complete |

ACTIVE CONSTITUENTS

- Acrylamide co-polymer, high cationic charge.

REGULATORY APPROVALS

Please refer to the Material Safety Data Sheet (MSDS) for the most recent approval information.

MATERIALS OF COMPATIBILITY

| Compatible | Not Compatible |
|---------------|----------------|
| 304 SS | Mild Steel |
| 316 SS | Aluminum |
| Plasite 6000 | Brass |
| Plasite 4005 | Nickel |
| Plasite 7122 | Neoprene |
| Polyethylene | Vinyl |
| PVC | Polyurethane |
| Viton | |
| Teflon | |
| Buna-N | |
| Hypalon | |
| Polypropylene | |

DOSAGE AND FEEDING

The proper make-up of dry polymer products requires a four-step process: feeding, wetting, mixing and aging. All steps are required to provide a homogeneous solution of maximum activity. Dry polymer is fed into a high energy wetting device that provides maximum dispersion. Following this process, the solution is fed into a tank and receives a gentle mix cycle to achieve maximum activity. The mixed solution is then fed to a holding tank for a period of aging, generally 30 minutes or greater. This product should not be made up at concentrations greater than 1.3%. Polymer solutions that have been properly made up and aged can be fed using either gear or diaphragm pumps. As with all pumps, and especially with high viscosity products, flooded suction is strongly recommended. The quality of water used to make up the polymer is important. Avoid using plant recycle water or other sources high in suspended solids, mineral salts and iron with a pH below 6.5 or above 7.8. A dilution aging tank is recommended.

ENVIRONMENTAL AND TOXICITY DATA

Refer to the Material Safety Data Sheet (MSDS), SECTIONS 11 and 12, for the most current data.

SAFETY AND HANDLING

As with any chemical, OPTIMER 9916 should be handled with responsible care. When considering the use of OPTIMER 9916 in a particular application, the Material Safety Data Sheet must be reviewed to assure that the intended use can be accomplished safely. All precautions described in the MSDS should be strictly followed when handling OPTIMER 9916.



MATERIAL SAFETY DATA SHEET

PRODUCT

OPTIMER 9916

1. CHEMICAL PRODUCT AND COMPANY IDENTIFICATION

PRODUCT NAME OPTIMER 9916

APPLICATION : FLOCCULANT

Date issued : 22/12/2003

COMPANY IDENTIFICATION

| | | | |
|------------------|--------------------------------|----------------------|----------------------|
| CHINA: | ONDEO NALCO (SUZHOU) CO. LTD | TEL: 86-512-68255001 | FAX: 86-512-68250130 |
| INDIA: | ONDEO NALCO INDIA LIMITED | TEL: 91-33-22172066 | FAX: 91-33-22296858 |
| INDONESIA: | PT ONDEO NALCO INDONESIA | TEL: 62-21-8753175 | FAX: 62-21-8753167 |
| KOREA: | ONDEO NALCO KOREA LIMITED | TEL: 82-2-789-6961 | FAX: 82-2-786-3140 |
| MALAYSIA: | ONDEO NALCO (MALAYSIA) SDN BHD | TEL: 603-5569 4118 | FAX: 603-5569 5955 |
| THE PHILIPPINES: | ONDEO NALCO PHILIPPINES INC | TEL: 63-49-5451550 | FAX: 63-49-5453442 |
| SINGAPORE: | ONDEO NALCO PACIFIC PTE LTD | TEL: 65-6861-4011 | FAX: 65-6862 0850 |
| THAILAND: | ONDEO NALCO THAILAND LIMITED | TEL: 66-38-955-160 | FAX: 66-38-955-166 |

See Section 16 for address information.

EMERGENCY TELEPHONE NUMBER(S) : See section 16, for Emergency Telephone Numbers.

2. COMPOSITION/INFORMATION ON INGREDIENTS

CHEMICAL DESCRIPTION : Cationic high molecular weight acrylamide copolymer

Based on our hazard evaluation, none of the substances in this product are hazardous.

| CHEMICAL NAME | CAS NO | % (w/w) |
|--|--------|---------|
| Ingredients determined not to be hazardous | : | 100 |

3. HAZARDS IDENTIFICATION

HUMAN HEALTH HAZARDS - ACUTE

EYE CONTACT

Can cause mild irritation.

SKIN CONTACT

May cause irritation with prolonged contact.

INGESTION

Not a likely route of exposure. If swallowed a jelly mass may form which in digestion may cause blockage.

INHALATION

Not a likely route of exposure. Repeated or prolonged exposure may irritate the respiratory tract.

HUMAN HEALTH HAZARDS - CHRONIC

No adverse effects expected other than those mentioned above.

4. FIRST AID MEASURES

EYE CONTACT

**MATERIAL SAFETY DATA SHEET****PRODUCT****OPTIMER 9916**

Brush off excess powder. Immediately flush eye with water for at least 15 minutes while holding eyelids open. If symptoms develop, seek medical advice.

SKIN CONTACT

Brush off excess powder. Remove contaminated clothing. Wash off affected area immediately with plenty of water. If symptoms develop, seek medical advice.

INGESTION

Do not induce vomiting without medical advice. If conscious, washout mouth and give water to drink. If reflexive vomiting occurs, rinse mouth and repeat administration of water. Get medical attention.

INHALATION

Remove to fresh air, treat symptomatically. If symptoms develop, seek medical advice.

NOTE TO PHYSICIAN

Based on the individual reactions of the patient, the physician's judgement should be used to control symptoms and clinical condition.

5. FIRE FIGHTING MEASURES**FLASH POINT :**

Not flammable

EXTINGUISHING MEDIA

Foam, carbon dioxide, dry powder, other extinguishing agent suitable for Class B fires. For large fires, use water spray or fog, thoroughly drenching the burning material. Water mist may be used to cool closed containers.

UNSUITABLE EXTINGUISHING MEDIA

Do not use water unless flooding amounts are available.

FIRE AND EXPLOSION HAZARD

May evolve oxides of carbon (COx) under fire conditions. May evolve oxides of nitrogen (NOx) under fire conditions. May evolve ammonia (NH4) under fire conditions.

SPECIAL PROTECTIVE EQUIPMENT FOR FIRE FIGHTING

In case of fire, wear a full face positive-pressure self contained breathing apparatus and protective suit.

6. ACCIDENTAL RELEASE MEASURES**PERSONAL PRECAUTIONS**

Restrict access to area as appropriate until clean-up operations are complete. Use personal protective equipment recommended in Section 8 (Exposure Controls/Personal Protection). Stop or reduce any leaks if it is safe to do so. Ventilate spill area if possible. Have emergency equipment (for fires, spills, leaks, etc.) readily available. Spill may be slippery.

METHODS FOR CLEANING UP

Sweep up and shovel. Redrain into recovery or salvage drums. Wash site of spillage thoroughly with water. Contact an approved waste hauler for disposal of contaminated recovered material. Dispose of material in compliance with regulations indicated in Section 13 (Disposal Considerations).

ENVIRONMENTAL PRECAUTIONS

This product may pose a risk to the aquatic-ecosystem if released. Prevent material from entering sewers or waterways.

7. HANDLING AND STORAGE



MATERIAL SAFETY DATA SHEET

PRODUCT

OPTIMER 9916

HANDLING

Do not get in eyes, on skin, or clothing. Do not take internally. Use with adequate ventilation. Avoid generating dusts. Keep the containers closed when not in use. Ensure all containers are labelled.

STORAGE CONDITIONS

Store in suitable labelled containers. Store the containers tightly closed. Store separately from oxidizers. Keep in dry place.

SENSITIVITY TO STATIC DISCHARGE

Dusts in sufficient concentration may be ignitable by static discharge.

8. EXPOSURE CONTROLS/PERSONAL PROTECTION

OCCUPATIONAL EXPOSURE LIMITS

Exposure guidelines have not been established for this product. Available exposure limits for the substance(s) are shown below.

| | | TWA mg/m ³ | STEL mg/m ³ |
|-------------|---|--------------------------|---------------------------|
| ACGIH/TLV | RESPIRABLE NUISANCE PARTICULATES | 3 | |
| | INHALABLE (TOTAL) NUISANCE PARTICULATES | 10 | |
| China | PARTICLES NOT OTHERWISE REGULATED | 8 | 10 |
| Hong Kong | PARTICLES NOT OTHERWISE CLASSIFIED | 10 | |
| Malaysia | RESPIRABLE PARTICULATES | 3 | |
| OSHA/PEL | RESPIRABLE NUISANCE PARTICULATES | 5 | |
| | INHALABLE (TOTAL) NUISANCE PARTICULATES | 15 (total dust) | |
| Philippines | INERT OR NUISANCE PARTICULATES, RESPIRABLE FRACTION | 5 | |
| | INERT OR NUISANCE PARTICULATES, TOTAL DUST | 15 | |
| Thailand | INERT OR NUISANCE DUST, RESPIRABLE | 5 | |
| | INERT OR NUISANCE DUST, TOTAL | 15 | |

ENGINEERING MEASURES

General ventilation is recommended. Local exhaust ventilation may be necessary when dusts or mists are generated.

PERSONAL PROTECTION

GENERAL ADVICE

The use and choice of personal protection equipment is related to the hazard of the product, the workplace and the way the product is handled. In general, we recommend as a minimum precaution that safety glasses with side-shields and workclothes protecting arms, legs and body be used. In addition any person visiting an area where this product is handled should at least wear safety glasses with side-shields.

RESPIRATORY PROTECTION

Respiratory protection is not normally needed. If dusts are generated, use an approved air-purifying respirator. A dust respirator may be used. If respiratory protection is required, institute a complete respiratory protection program including selection, fit testing, training, maintenance and inspection.

HAND PROTECTION

Rubber gloves, nitrile gloves, butyl gloves, cloth gloves, neoprene gloves, PVC gloves.

SKIN PROTECTION

Wear standard protective clothing.



MATERIAL SAFETY DATA SHEET

PRODUCT

OPTIMER 9916

EYE PROTECTION
Wear chemical splash goggles.

HYGIENE RECOMMENDATIONS

Use good work and personal hygiene practices to avoid exposure. Keep an eye wash fountain available. Keep a safety shower available. If clothing is contaminated, remove clothing and thoroughly wash the affected area. Launder contaminated clothing before reuse. Always wash thoroughly after handling chemicals. When handling this product never eat, drink or smoke.

9. PHYSICAL AND CHEMICAL PROPERTIES

| | |
|---------------------|-----------------------|
| PHYSICAL STATE | Powder |
| APPEARANCE | White |
| ODOR | Ammoniacal |
| FLASH POINT | Not flammable |
| SOLUBILITY IN WATER | Complete |
| VISCOSITY | 3.2 - 3.8 cPs @ 25 °C |

Note: These physical properties are typical values for this product and are subject to change.

10. STABILITY AND REACTIVITY

STABILITY

Stable under normal conditions.

HAZARDOUS POLYMERIZATION

Hazardous polymerization will not occur.

CONDITIONS TO AVOID
Moisture,

MATERIALS TO AVOID

Contact with strong oxidizers (e.g. chlorine, peroxides, chromates, nitric acid, perchlorate, concentrated oxygen, permanganate) may generate heat, fires, explosions and/or toxic vapors. Contact with strong alkalies (e.g. ammonia and its solutions, carbonates, sodium hydroxide (caustic), potassium hydroxide, calcium hydroxide (lime), cyanide, sulfide, hypochlorites, chlorites) may generate heat, splattering or boiling and toxic vapors.

HAZARDOUS DECOMPOSITION PRODUCTS

Under fire conditions:

Oxides of carbon
Oxides of nitrogen
Ammonia

11. TOXICOLOGICAL INFORMATION

ACUTE TOXICITY DATA :

The following results are for the product.

ACUTE ORAL TOXICITY :

| Species | LD50 | Tested Substance |
|---------|--------------|------------------|
| Rat | > 5000 mg/kg | Product |

SENSITIZATION :

This product is not expected to be a sensitizer.

CARCINOGENICITY :



MATERIAL SAFETY DATA SHEET

PRODUCT

OPTIMER 9916

None of the substances in this product are listed as carcinogens by the International Agency for Research on Cancer (IARC), the National Toxicology Program (NTP) or the American Conference of Governmental Industrial Hygienists (ACGIH).

12. ECOLOGICAL INFORMATION

ECOTOXICOLOGICAL EFFECTS :

The tests for representative polymers were performed in environmentally relevant water with dissolved organic carbon (DOC: 4.5 mg/L). The effects on the aquatic organisms are due to external (non-systemic) mode of action, e.g., suffocation or immobilization. In the presence of suspended material, e.g., DOC, the polymers are bound to suspended material and the bioavailability is substantially reduced. As a result, the effects are expected to be lower.

ACUTE FISH RESULTS :

| Species | Exposure | LC50 | Test Descriptor |
|-------------|----------|-------------|--|
| Zebra danio | 96 hrs | 1 - 10 mg/L | Representative polymers tested in water with DOC |

ACUTE INVERTEBRATE RESULTS :

| Species | Exposure | LC50 | Test Descriptor |
|---------------|----------|---------------|--|
| Daphnia magna | 48 hrs | 10 - 100 mg/L | Representative polymers tested in water with DOC |

ADDITIONAL ECOLOGICAL DATA :

NOEC on earthworm: > 1000 mg/L (representative polymers)

MOBILITY :

The product is eliminated from aqueous phase via abiotic process (adsorption on suspended material) to a large extent (> 95 %).

BIOACCUMULATION POTENTIAL :

No bioaccumulation will occur. The large size of the polymer is incompatible with transport across the cellular membranes.

Note: The European hazard classification for ecotoxicity for this product (section 15) is based on the "dirty water" test results, consistent with European guidelines.

13. DISPOSAL CONSIDERATIONS

Dispose of wastes in an approved incinerator or waste treatment/disposal site, in accordance with all applicable regulations. Do not dispose of wastes in local sewer or with normal garbage.

Empty drums should be taken for recycling, recovery, or disposal through a suitably qualified or licensed contractor.

NATIONAL REGULATIONS, CHINA

Comply with local regulations.

NATIONAL REGULATIONS, INDIA

Dispose of unused product in accordance with the "Hazardous Wastes (Management and Handling) Rules 1989" and local and State legislation, as applicable.

NATIONAL REGULATIONS, INDONESIA

Dispose of unused product in accordance with "Government Regulation No.19/1994 On the Treatment of Dangerous And Toxic Waste" (and amendments) as applicable.



MATERIAL SAFETY DATA SHEET

PRODUCT

OPTIMER 9916

NATIONAL REGULATIONS, KOREA

Waste disposal should comply with the Waste Control Act.

NATIONAL REGULATIONS, MALAYSIA

Dispose of in accordance with the Environmental Quality (Scheduled Wastes) Regulation 1989 and other guidelines issued by DOE and/or local authorities.

NATIONAL REGULATIONS, PHILIPPINES

Dispose of in accordance with Presidential Decree No. 984-1976 ("The Pollution Control Law"); DENR Department Administrative Order No.29-92 ("The Implementing Rules or Regulations of RA6969") and Presidential Decree No.825.

NATIONAL REGULATIONS, SINGAPORE

Dispose of waste in accordance with the Environmental Health Act (Chapter 95, Rg 11), Environmental Public Health (Toxic Industrial Waste) Regulations 1990 Ed.

NATIONAL REGULATIONS, THAILAND

Dispose of hazardous waste in accordance with the "The Notification of the Ministry of Industry No. 68.E. 2450, subject : Disposal of Wastes or Unusable Materials ", "The Notification of the Ministry of Industry No. 1B.E. 2451, subject : Disposal of Wastes or Unusable Materials".

14. TRANSPORT INFORMATION

The information in this section is for reference only and should not take the place of a shipping paper (bill of lading) specific to an order. Please note that the proper Shipping Name / Hazard Class may vary by packaging, properties, and mode of transportation. Typical Proper Shipping Names for this product are as follows.:

LAND TRANSPORT

Proper Shipping Name

PRODUCT IS NOT REGULATED DURING TRANSPORTATION

NATIONAL REGULATIONS, CHINA

Comply with local regulations.

NATIONAL REGULATIONS, INDIA

Transport in accordance with the Central Motor Vehicles Rules 1989.

NATIONAL REGULATIONS, INDONESIA

Transport in accordance with all government regulations, including "Regulation of the Minister of Health No.453/Men.Kes/PER/XI/1983".

NATIONAL REGULATIONS, KOREA

Land transport should comply with the Ministerial Decree of Toxic Chemicals Control Law and the Regulations Regarding the Fire Fighting Techniques Standards, as applicable.

NATIONAL REGULATIONS, MALAYSIA

There are no regulations specifically governing the transport of chemicals. Use best practice.

NATIONAL REGULATIONS, PHILIPPINES

Transport in accordance with the following legislation (as applicable): Presidential Decree No. 1185, 1977 ("Fire Code of the Philippines") and implementing rules and regulations; Presidential Decree No. 856, 1975 ("Code of Sanitation"); Republic Act No 6969, 1990 ("Toxic Substances and Hazardous and Nuclear Wastes Control Act") and implementing rules and regulations.

NATIONAL REGULATIONS, SINGAPORE



MATERIAL SAFETY DATA SHEET

PRODUCT

OPTIMER 9916

Land Transport complies with the Environmental Pollution Control (Hazardous Substances) Regulations 1999, which follows the "Specification for Caution Labelling for Hazardous Substances" - Singapore Standard 286 (1984).

NATIONAL REGULATIONS, THAILAND

The product should be transported in accordance with "Hazardous Substances Acts B.E.2535", "Notification of Ministry of Public Health Re: Label and Level of Toxicity of Dangerous Articles Which are Under the Responsibility of Food and Drug Administration 2534 (if applicable)" and "Notification of Land Transportation Department, Subject : Label of truck which contain hazardous material, Notification date : 14 November B.E.2543 (14 November 2000)".

AIR TRANSPORT (ICAO/IATA)

| | |
|----------------------|--|
| Proper Shipping Name | PRODUCT IS NOT REGULATED DURING TRANSPORTATION |
|----------------------|--|

MARINE TRANSPORT (IMDG/IMO)

| | |
|----------------------|--|
| Proper Shipping Name | PRODUCT IS NOT REGULATED DURING TRANSPORTATION |
|----------------------|--|

15. REGULATORY INFORMATION

NATIONAL REGULATIONS, EUROPE AND MALAYSIA

European:

CLASSIFICATION: This product is not classified as hazardous (European Directive 88/379/EEC).

Malaysian:

CLASSIFICATION: This product is not classified as hazardous, however, we recommend the following safety instructions:

SAFETY PHRASES:

- S22 Do not breathe dust.
- S24/25 Avoid contact with skin and eyes.
- S37/39 Wear suitable gloves and eye/face protection.
- S45 In case of accident or if you feel unwell, seek medical advice immediately (show the label where possible).

INTERNATIONAL REGULATIONS

NFPA RATING :

HEALTH : 1 FLAMMABILITY : 1 REACTIVITY : 0 OTHER : -
0 = Insignificant 1 = Slight 2 = Moderate 3 = High 4 = Extreme

INTERNATIONAL CHEMICAL CONTROL LAWS

TOXIC SUBSTANCES CONTROL ACT (TSCA)

The substances in this preparation are included on or exempted from the TSCA 8(b) Inventory (40 CFR 710).

EUROPE

The substances in this preparation have been reviewed for compliance with the EINECS or ELINCS inventories.

AUSTRALIA

All substances in this product comply with the National Industrial Chemicals Notification & Assessment Scheme (NICNAS) and are listed on the Australian Inventory of Chemical Substances (AICS).

ภาคผนวก ง
การทดสอบทางสถิติโดยใช้โปรแกรม
สำเร็จรูป SPSS Version 13

การทดสอบทางสถิติโดยใช้โปรแกรมสำเร็จรูป SPSS Version 13

1. การนำบัดความชุ่น (Turbidity Removal)

1.1 การทดสอบทางสถิติในการนำบัดความชุ่นเมื่อใช้สารสัมเป็นสารรวมตะกอน

Test of Homogeneity of Variances

turbidity of Alum

| Levene Statistic | df1 | df2 | Sig. |
|------------------|-----|-----|------|
| 3.141 | 2 | 6 | .117 |

ANOVA

turbidity of Alum

| | Sum of Squares | df | Mean Square | F | Sig. |
|----------------|----------------|----|-------------|------|------|
| Between Groups | 3.098 | 2 | 1.549 | .509 | .625 |
| Within Groups | 18.242 | 6 | 3.040 | | |
| Total | 21.340 | 8 | | | |

Multiple Comparisons

Dependent Variable: turbidity of Alum

LSD

| (I) pH | (J) pH | Mean Difference (I-J) | Std. Error | Sig. | 95% Confidence Interval | |
|--------|--------|--------------------------|------------|------|-------------------------|-------------|
| | | | | | Lower Bound | Upper Bound |
| 6 | 7 | 1.292000 | 1.423685 | .399 | -2.19163 | 4.77563 |
| | 8 | 1.191000 | 1.423685 | .435 | -2.29263 | 4.67463 |
| 7 | 6 | -1.292000 | 1.423685 | .399 | -4.77563 | 2.19163 |
| | 8 | -.101000 | 1.423685 | .946 | -3.58463 | 3.38263 |
| 8 | 6 | -1.191000 | 1.423685 | .435 | -4.67463 | 2.29263 |
| | 7 | .101000 | 1.423685 | .946 | -3.38263 | 3.58463 |

Test of Homogeneity of Variances

turbidity of Alum

| Levene Statistic | df1 | df2 | Sig. |
|------------------|-----|-----|------|
| 7.271 | 2 | 6 | .025 |

Robust Tests of Equality of Means

turbidity of Alum

| | Statistic ^a | df1 | df2 | Sig. |
|----------------|------------------------|-----|-------|------|
| Brown-Forsythe | 3.684 | 2 | 2.390 | .186 |

a. Asymptotically F distributed.

Multiple Comparisons

Dependent Variable: turbidity of Alum

Dunnett T3

| (I) dose (mg/l) | (J) dose (mg/l) | Mean Difference (I-J) | Std. Error | Sig. | 95% Confidence Interval | |
|-----------------|-----------------|--------------------------|------------|------|-------------------------|-------------|
| | | | | | Lower Bound | Upper Bound |
| 500 | 800 | -1.174333 | .373849 | .093 | -2.63078 | .28211 |
| | 1000 | -2.788667 | 1.227474 | .288 | -10.03570 | 4.45837 |
| 800 | 500 | 1.174333 | .373849 | .093 | -.28211 | 2.63078 |
| | 1000 | -1.614333 | 1.243476 | .579 | -8.60297 | 5.37430 |
| 1000 | 500 | 2.788667 | 1.227474 | .288 | -4.45837 | 10.03570 |
| | 800 | 1.614333 | 1.243476 | .579 | -5.37430 | 8.60297 |

1.2 การทดสอบทางสถิติการนำดความชุนเมื่อใช้ FeCl_3 เป็นสารรวมตะกอน

Test of Homogeneity of Variancesturbidity of FeCl₃

| Levene Statistic | df1 | df2 | Sig. |
|------------------|-----|-----|------|
| 4.363 | 2 | 6 | .068 |

Multiple ComparisonsDependent Variable: turbidity of FeCl₃

LSD

| (I) pH | (J) pH | Mean Difference (I-J) | Std. Error | Sig. | 95% Confidence Interval | |
|--------|--------|--------------------------|------------|------|-------------------------|-------------|
| | | | | | Lower Bound | Upper Bound |
| 8 | 9 | -.182333 | .294275 | .558 | -.90240 | .53773 |
| | 10 | -.059000 | .294275 | .848 | -.77906 | .66106 |
| 9 | 8 | .182333 | .294275 | .558 | -.53773 | .90240 |
| | 10 | .123333 | .294275 | .690 | -.59673 | .84340 |
| 10 | 8 | .059000 | .294275 | .848 | -.66106 | .77906 |
| | 9 | -.123333 | .294275 | .690 | -.84340 | .59673 |

Test of Homogeneity of Variancesturbidity of FeCl₃

| Levene Statistic | df1 | df2 | Sig. |
|------------------|-----|-----|------|
| 1.335 | 2 | 6 | .331 |

ANOVAturbidity of FeCl₃

| | Sum of Squares | df | Mean Square | F | Sig. |
|----------------|----------------|----|-------------|------|------|
| Between Groups | .041 | 2 | .020 | .154 | .860 |
| Within Groups | .791 | 6 | .132 | | |
| Total | .831 | 8 | | | |

Multiple ComparisonsDependent Variable: turbidity of FeCl₃

LSD

| (I) dose (mg/l) | (J) dose (mg/l) | Mean Difference (I-J) | Std. Error | Sig. | 95% Confidence Interval | |
|-----------------|-----------------|-----------------------|------------|------|-------------------------|-------------|
| | | | | | Lower Bound | Upper Bound |
| 300 | 500 | .154000 | .296387 | .622 | -.57123 | .87923 |
| | 700 | .127667 | .296387 | .682 | -.59757 | .85290 |
| 500 | 300 | -.154000 | .296387 | .622 | -.87923 | .57123 |
| | 700 | -.026333 | .296387 | .932 | -.75157 | .69890 |
| 700 | 300 | -.127667 | .296387 | .682 | -.85290 | .59757 |
| | 500 | .026333 | .296387 | .932 | -.69890 | .75157 |

1.3 การทดสอบทางสถิติการบันบัดความชุ่นเมื่อใช้ Cationic Polyelectrolyte เป็นสารรวมตะกอน

Test of Homogeneity of Variances

turbidity of poly

| Levene Statistic | df1 | df2 | Sig. |
|------------------|-----|-----|------|
| 5.168 | 2 | 6 | .050 |

Robust Tests of Equality of Means

turbidity of poly

| | Statistic ^a | df1 | df2 | Sig. |
|----------------|------------------------|-----|-------|------|
| Brown-Forsythe | 3.758 | 2 | 3.851 | .124 |

a. Asymptotically F distributed.

Multiple Comparisons

Dependent Variable: turbidity of poly

Dunnett T3

| (I) pH | (J) pH | Mean Difference (I-J) | Std. Error | Sig. | 95% Confidence Interval | |
|--------|--------|--------------------------|------------|------|-------------------------|-------------|
| | | | | | Lower Bound | Upper Bound |
| 6 | 7 | .272222 | .192524 | .540 | -.93492 | 1.47937 |
| | 8 | -.406667 | .237274 | .436 | -1.90006 | 1.08672 |
| 7 | 6 | -.272222 | .192524 | .540 | -1.47937 | .93492 |
| | 8 | -.678889 | .304945 | .216 | -1.84513 | .48735 |
| 8 | 6 | .406667 | .237274 | .436 | -1.08672 | 1.90006 |
| | 7 | .678889 | .304945 | .216 | -.48735 | 1.84513 |

Test of Homogeneity of Variances

turbidity of poly

| Levene Statistic | df1 | df2 | Sig. |
|------------------|-----|-----|------|
| .586 | 2 | 6 | .585 |

ANOVA

turbidity of poly

| | Sum of Squares | df | Mean Square | F | Sig. |
|----------------|----------------|----|-------------|-------|------|
| Between Groups | .388 | 2 | .194 | 1.336 | .331 |
| Within Groups | .871 | 6 | .145 | | |
| Total | 1.259 | 8 | | | |

Multiple Comparisons

Dependent Variable: turbidity of poly

LSD

| (I) dose (mg/l) | (J) dose (mg/l) | Mean Difference (I-J) | Std. Error | Sig. | 95% Confidence Interval | |
|-----------------|-----------------|--------------------------|------------|------|-------------------------|-------------|
| | | | | | Lower Bound | Upper Bound |
| .3 | .5 | .094444 | .311175 | .772 | -.66697 | .85586 |
| | .7 | -.385556 | | | | |
| .5 | .3 | -.094444 | .311175 | .772 | -.85586 | .66697 |
| | .7 | -.480000 | | | | |
| .7 | .3 | .385556 | .311175 | .262 | -.37586 | 1.14697 |
| | .5 | .480000 | | | | |

1.4 การทดสอบทางสถิติประสิทธิภาพการนำบัดความชื้นเมื่อใช้ไคโตซานเป็นสารร่วมตระกอน

Test of Homogeneity of Variances

turbidity of chitosan

| Levene Statistic | df1 | df2 | Sig. |
|------------------|-----|-----|------|
| 2.406 | 2 | 6 | .171 |

ANOVA

turbidity of chitosan

| | Sum of Squares | df | Mean Square | F | Sig. |
|----------------|----------------|----|-------------|-------|------|
| Between Groups | 6.820 | 2 | 3.410 | 7.656 | .022 |
| Within Groups | 2.672 | 6 | .445 | | |
| Total | 9.493 | 8 | | | |

Multiple Comparisons

Dependent Variable: turbidity of chitosan

LSD

| (I) pH | (J) pH | Mean Difference (I-J) | Std. Error | Sig. | 95% Confidence Interval | |
|--------|--------|--------------------------|------------|------|-------------------------|-------------|
| | | | | | Lower Bound | Upper Bound |
| 4 | 5 | -1.848889* | .544915 | .015 | -3.18225 | -.51553 |
| | 6 | -.004444 | .544915 | .994 | -1.33780 | 1.32891 |
| 5 | 4 | 1.848889* | .544915 | .015 | .51553 | 3.18225 |
| | 6 | 1.844444* | .544915 | .015 | .51109 | 3.17780 |
| 6 | 4 | .004444 | .544915 | .994 | -1.32891 | 1.33780 |
| | 5 | -1.844444* | .544915 | .015 | -3.17780 | -.51109 |

* The mean difference is significant at the .05 level.

Test of Homogeneity of Variances

turbidity of chitosan

| Levene Statistic | df1 | df2 | Sig. |
|------------------|-----|-----|------|
| .398 | 2 | 6 | .688 |

ANOVA

turbidity of chitosan

| | Sum of Squares | df | Mean Square | F | Sig. |
|----------------|----------------|----|-------------|------|------|
| Between Groups | 1.689 | 2 | .845 | .650 | .555 |
| Within Groups | 7.803 | 6 | 1.301 | | |
| Total | 9.493 | 8 | | | |

Multiple Comparisons

Dependent Variable: turbidity of chitosan

LSD

| (I) dose (mg/l) | (J) dose (mg/l) | Mean Difference (I-J) | Std. Error | Sig. | 95% Confidence Interval | |
|-----------------|-----------------|--------------------------|------------|------|-------------------------|-------------|
| | | | | | Lower Bound | Upper Bound |
| 60 | 80 | -.690000 | .931146 | .487 | -2.96843 | 1.58843 |
| | 100 | -1.043333 | .931146 | .305 | -3.32176 | 1.23510 |
| 80 | 60 | .690000 | .931146 | .487 | -1.58843 | 2.96843 |
| | 100 | -.353333 | .931146 | .717 | -2.63176 | 1.92510 |
| 100 | 60 | 1.043333 | .931146 | .305 | -1.23510 | 3.32176 |
| | 80 | .353333 | .931146 | .717 | -1.92510 | 2.63176 |

2. การทดสอบทางสถิติอัตราเร็วการตกลงตะกอนเฉลี่ย (Flocculant Settling)

2.1 การทดสอบทางสถิติของอัตราเร็วการตกลงตะกอนเฉลี่ยเมื่อใช้สารสัมเป็นสารรวมตะกอน

Test of Homogeneity of Variances

settling of alum

| Levene Statistic | df1 | df2 | Sig. |
|------------------|-----|-----|------|
| 3.799 | 2 | 6 | .086 |

ANOVA

settling of alum

| | Sum of Squares | df | Mean Square | F | Sig. |
|----------------|----------------|----|-------------|--------|------|
| Between Groups | .000 | 2 | .000 | 18.905 | .003 |
| Within Groups | .000 | 6 | .000 | | |
| Total | .000 | 8 | | | |

Multiple Comparisons

Dependent Variable: settling of alum

LSD

| (I) pH of alum | (J) pH of alum | Mean Difference (I-J) | Std. Error | Sig. | 95% Confidence Interval | |
|----------------|----------------|--------------------------|------------|------|-------------------------|-------------|
| | | | | | Lower Bound | Upper Bound |
| 6 | 7 | -.00004067* | ***** | .014 | -.000069779 | -.000011554 |
| | 8 | -.00007300* | ***** | .001 | -.000102113 | -.000043887 |
| 7 | 6 | ***** | ***** | .014 | .000011554 | .000069779 |
| | 8 | -.00003233* | ***** | .035 | -.000061446 | -.000003221 |
| 8 | 6 | ***** | ***** | .001 | .000043887 | .000102113 |
| | 7 | ***** | ***** | .035 | .000003221 | .000061446 |

* The mean difference is significant at the .05 level.

Test of Homogeneity of Variances

settling of alum

| Levene Statistic | df1 | df2 | Sig. |
|------------------|-----|-----|------|
| .414 | 2 | 6 | .679 |

ANOVA

settling of alum

| | Sum of Squares | df | Mean Square | F | Sig. |
|----------------|----------------|----|-------------|------|------|
| Between Groups | .000 | 2 | .000 | .025 | .976 |
| Within Groups | .000 | 6 | .000 | | |
| Total | .000 | 8 | | | |

Multiple Comparisons

Dependent Variable: settling of alum

LSD

| (I) dose of alum | (J) dose of alum | Mean Difference (I-J) | Std. Error | Sig. | 95% Confidence Interval | |
|------------------|------------------|--------------------------|------------|------|-------------------------|-------------|
| | | | | | Lower Bound | Upper Bound |
| 500 | 800 | ***** | ***** | .889 | -.000073677 | .000083010 |
| | 1000 | -.00000233 | ***** | .944 | -.000080677 | .000076010 |
| 800 | 500 | -.00000467 | ***** | .889 | -.000083010 | .000073677 |
| | 1000 | -.00000700 | ***** | .834 | -.000085344 | .000071344 |
| 1000 | 500 | ***** | ***** | .944 | -.000076010 | .000080677 |
| | 800 | ***** | ***** | .834 | -.000071344 | .000085344 |

2.2 การทดสอบทางสถิติของอัตราเร็วการตกลงตะกอนเฉลี่ยเมื่อใช้เพอริคลอไรต์เป็นสารรวมตะกอน

Test of Homogeneity of Variances

settling of fecl3

| Levene Statistic | df1 | df2 | Sig. |
|------------------|-----|-----|------|
| 4.913 | 2 | 6 | .054 |

ANOVA

settling of fecl3

| | Sum of Squares | df | Mean Square | F | Sig. |
|----------------|----------------|----|-------------|------|------|
| Between Groups | .000 | 2 | .000 | .660 | .551 |
| Within Groups | .000 | 6 | .000 | | |
| Total | .000 | 8 | | | |

Multiple Comparisons

Dependent Variable: settling of fecl3

LSD

| (I) pH of fecl3 | (J) pH of fecl3 | Mean Difference (I-J) | Std. Error | Sig. | 95% Confidence Interval | |
|-----------------|-----------------|--------------------------|------------|------|-------------------------|-------------|
| | | | | | Lower Bound | Upper Bound |
| 8 | 9 | -.00002100 | ***** | .309 | -.00006729 | .00002529 |
| | 10 | -.00000567 | ***** | .775 | -.00005195 | .00004062 |
| 9 | 8 | .000021000 | ***** | .309 | -.00002529 | .00006729 |
| | 10 | .000015333 | ***** | .449 | -.00003095 | .00006162 |
| 10 | 8 | .000005667 | ***** | .775 | -.00004062 | .00005195 |
| | 9 | -.00001533 | ***** | .449 | -.00006162 | .00003095 |

Test of Homogeneity of Variances

settling of fecl3

| Levene Statistic | df1 | df2 | Sig. |
|------------------|-----|-----|------|
| 4.248 | 2 | 6 | .071 |

ANOVA

settling of fecl3

| | Sum of Squares | df | Mean Square | F | Sig. |
|----------------|----------------|----|-------------|-------|------|
| Between Groups | .000 | 2 | .000 | 2.689 | .147 |
| Within Groups | .000 | 6 | .000 | | |
| Total | .000 | 8 | | | |

Multiple Comparisons

Dependent Variable: settling of fecl3

LSD

| (I) dose of fecl3 | (J) dose of fecl3 | Mean Difference (I-J) | Std. Error | Sig. | 95% Confidence Interval | |
|-------------------|-------------------|--------------------------|------------|------|-------------------------|-------------|
| | | | | | Lower Bound | Upper Bound |
| 300 | 500 | .000032000 | ***** | .079 | -.00000513 | .00006913 |
| | 700 | .000003333 | ***** | .833 | -.00003379 | .00004046 |
| 500 | 300 | -.00003200 | ***** | .079 | -.00006913 | .00000513 |
| | 700 | -.00002867 | ***** | .108 | -.00006579 | .00000846 |
| 700 | 300 | -.00000333 | ***** | .833 | -.00004046 | .00003379 |
| | 500 | .000028667 | ***** | .108 | -.00000846 | .00006579 |

2.3 การทดสอบทางสถิติของอัตราเร็วการตกลงกอนเฉลี่ยเมื่อใช้โพลีเมอร์ประจำวันเป็นสารรวมตกลงกอน

Test of Homogeneity of Variances

settling of poly

| Levene Statistic | df1 | df2 | Sig. |
|------------------|-----|-----|------|
| 4.027 | 2 | 6 | .078 |

ANOVA

settling of poly

| | Sum of Squares | df | Mean Square | F | Sig. |
|----------------|----------------|----|-------------|-------|------|
| Between Groups | .000 | 2 | .000 | 2.567 | .156 |
| Within Groups | .000 | 6 | .000 | | |
| Total | .000 | 8 | | | |

Multiple Comparisons

Dependent Variable: settling of poly

LSD

| (I) pH of poly | (J) pH of poly | Mean Difference (I-J) | Std. Error | Sig. | 95% Confidence Interval | |
|----------------|----------------|--------------------------|------------|------|-------------------------|-------------|
| | | | | | Lower Bound | Upper Bound |
| 6 | 7 | .000058333 | ***** | .125 | -.00002163 | .00013830 |
| | 8 | .000068667 | ***** | .080 | -.00001130 | .00014863 |
| 7 | 6 | -.00005833 | ***** | .125 | -.00013830 | .00002163 |
| | 8 | .000010333 | ***** | .763 | -.00006963 | .00009030 |
| 8 | 6 | -.00006867 | ***** | .080 | -.00014863 | .00001130 |
| | 7 | -.00001033 | ***** | .763 | -.00009030 | .00006963 |

Test of Homogeneity of Variances

settling of poly

| Levene Statistic | df1 | df2 | Sig. |
|------------------|-----|-----|------|
| 7.010 | 2 | 6 | .027 |

Robust Tests of Equality of Means

settling of poly

| | Statistic ^a | df1 | df2 | Sig. |
|----------------|------------------------|-----|-------|------|
| Brown-Forsythe | .485 | 2 | 2.695 | .661 |

a. Asymptotically F distributed.

Multiple Comparisons

Dependent Variable: settling of poly

Dunnett T3

| (I) dose of poly | (J) dose of poly | Mean Difference (I-J) | Std. Error | Sig. | 95% Confidence Interval | |
|------------------|------------------|--------------------------|------------|------|-------------------------|-------------|
| | | | | | Lower Bound | Upper Bound |
| 0.3 | 0.5 | -0.00004067 | ***** | .811 | -.00028364 | .00020230 |
| | 0.7 | -0.00001933 | ***** | .729 | -.00014023 | .00010157 |
| 0.5 | 0.3 | 0.000040667 | ***** | .811 | -.00020230 | .00028364 |
| | 0.7 | 0.000021333 | ***** | .949 | -.00027273 | .00031540 |
| 0.7 | 0.3 | 0.000019333 | ***** | .729 | -.00010157 | .00014023 |
| | 0.5 | -0.00002133 | ***** | .949 | -.00031540 | .00027273 |

2.4 การทดสอบทางสถิติของอัตราเร็วการตกลงกอนเฉลี่ยเมื่อใช้ไคโตราน เป็นสารรวมตະกອນ

Test of Homogeneity of Variances

settling of chitosan

| Levene Statistic | df1 | df2 | Sig. |
|------------------|-----|-----|------|
| 6.289 | 2 | 6 | .034 |

Robust Tests of Equality of Means

settling of chitosan

| | Statistic ^a | df1 | df2 | Sig. |
|----------------|------------------------|-----|-------|------|
| Brown-Forsythe | 3.359 | 2 | 2.888 | .176 |

a. Asymptotically F distributed.

Multiple Comparisons

Dependent Variable: settling of chitosan

Dunnett T3

| (I) pH of chitosar | (J) pH of chitosal | Mean Difference (I-J) | Std. Error | Sig. | 95% Confidence Interval | |
|--------------------|--------------------|--------------------------|------------|------|-------------------------|-------------|
| | | | | | Lower Bound | Upper Bound |
| 4 | 5 | .000047000 | ***** | .456 | -.00009171 | .00018571 |
| | 6 | .000061667 | ***** | .303 | -.00011161 | .00023494 |
| 5 | 4 | -.00004700 | ***** | .456 | -.00018571 | .00009171 |
| | 6 | .000014667 | ***** | .671 | -.00006792 | .00009725 |
| 6 | 4 | -.00006167 | ***** | .303 | -.00023494 | .00011161 |
| | 5 | .00001467 | ***** | .671 | -.00009725 | .00006792 |

Test of Homogeneity of Variances

settling of chitosan

| Levene Statistic | df1 | df2 | Sig. |
|------------------|-----|-----|------|
| 5.485 | 2 | 6 | .044 |

Robust Tests of Equality of Means

settling of chitosan

| | Statistic ^a | df1 | df2 | Sig. |
|----------------|------------------------|-----|-------|------|
| Brown-Forsythe | .197 | 2 | 2.954 | .831 |

a. Asymptotically F distributed.

Multiple Comparisons

Dependent Variable: settling of chitosan

Dunnett T3

| (I) dose of chitosan | (J) dose of chitosan | Mean Difference (I-J) | Std. Error | Sig. | 95% Confidence Interval | |
|----------------------|----------------------|--------------------------|------------|------|-------------------------|-------------|
| | | | | | Lower Bound | Upper Bound |
| 60 | 80 | .00006000 | ***** | .982 | -.00006640 | .00007840 |
| | 100 | .00001533 | ***** | .969 | -.00023318 | .00020251 |
| 80 | 60 | .00000600 | ***** | .982 | -.00007840 | .00006640 |
| | 100 | .00002133 | ***** | .933 | -.00022706 | .00018440 |
| 100 | 60 | .00015333 | ***** | .969 | -.00020251 | .00023318 |
| | 80 | .00002133 | ***** | .933 | -.00018440 | .00022706 |

3. การทดสอบทางสถิติของปริมาณกากตะกอน (Wet Sludge Volume)

3.1 การทดสอบทางสถิติของปริมาณกากตะกอนเมื่อใช้สารสัมเป็นสารรวมตะกอน

Descriptive Statistics

| | N | Mean | Std. Deviation | Minimum | Maximum |
|--------------------|---|----------|----------------|---------|---------|
| wet sludge of pH 6 | 3 | 22.23333 | .923760 | 21.700 | 23.300 |
| wet sludge of pH 7 | 3 | 42.23333 | 5.818362 | 36.700 | 48.300 |
| wet sludge of pH8 | 3 | 34.46667 | 12.508530 | 21.700 | 46.700 |

Ranks

| | Mean Rank |
|--------------------|-----------|
| wet sludge of pH 6 | 1.17 |
| wet sludge of pH 7 | 3.00 |
| wet sludge of pH8 | 1.83 |

Test Statistics^a

| | |
|-------------|-------|
| N | 3 |
| Chi-Square | 5.636 |
| df | 2 |
| Asymp. Sig. | .060 |

a. Friedman Test

Ranks

| | Mean Rank |
|-------------------------|-----------|
| wet sludge of dose 500 | 1.50 |
| wet sludge of dose 800 | 1.50 |
| wet sludge of dose 1000 | 3.00 |

Test Statistics^a

| | |
|-------------|-------|
| N | 3 |
| Chi-Square | 4.909 |
| df | 2 |
| Asymp. Sig. | .086 |

a. Friedman Test

3.2 การทดสอบทางสถิติของปริมาณการตะกอนเมื่อใช้เฟอริคคลอไรด์เป็นสารรวมตะกอน**Descriptive Statistics**

| | N | Mean | Std. Deviation | Minimum | Maximum |
|---------------------|---|---------|----------------|---------|---------|
| wet sludge of ph 8 | 3 | 36.1000 | 14.54751 | 20.00 | 48.30 |
| wet sludge of ph 9 | 3 | 42.7667 | 3.86825 | 38.30 | 45.00 |
| wet sludge of ph 10 | 3 | 58.3000 | 15.00000 | 43.30 | 73.30 |

Ranks

| | Mean Rank |
|---------------------|-----------|
| wet sludge of ph 8 | 1.67 |
| wet sludge of ph 9 | 1.33 |
| wet sludge of ph 10 | 3.00 |

Test Statistics^a

| | |
|-------------|-------|
| N | 3 |
| Chi-Square | 4.667 |
| df | 2 |
| Asymp. Sig. | .097 |

a. Friedman Test

Descriptive Statistics

| | N | Mean | Std. Deviation | Minimum | Maximum |
|------------------------|---|---------|----------------|---------|---------|
| wet sludge of dose 300 | 3 | 40.5333 | 2.54231 | 38.30 | 43.30 |
| wet sludge of dose 500 | 3 | 50.5333 | 6.92556 | 45.00 | 58.30 |
| wet sludge of dose 700 | 3 | 46.1000 | 26.66702 | 20.00 | 73.30 |

Ranks

| | Mean Rank |
|------------------------|-----------|
| wet sludge of dose 300 | 1.33 |
| wet sludge of dose 500 | 2.50 |
| wet sludge of dose 700 | 2.17 |

Test Statistics^a

| | |
|-------------|-------|
| N | 3 |
| Chi-Square | 2.364 |
| df | 2 |
| Asymp. Sig. | .307 |

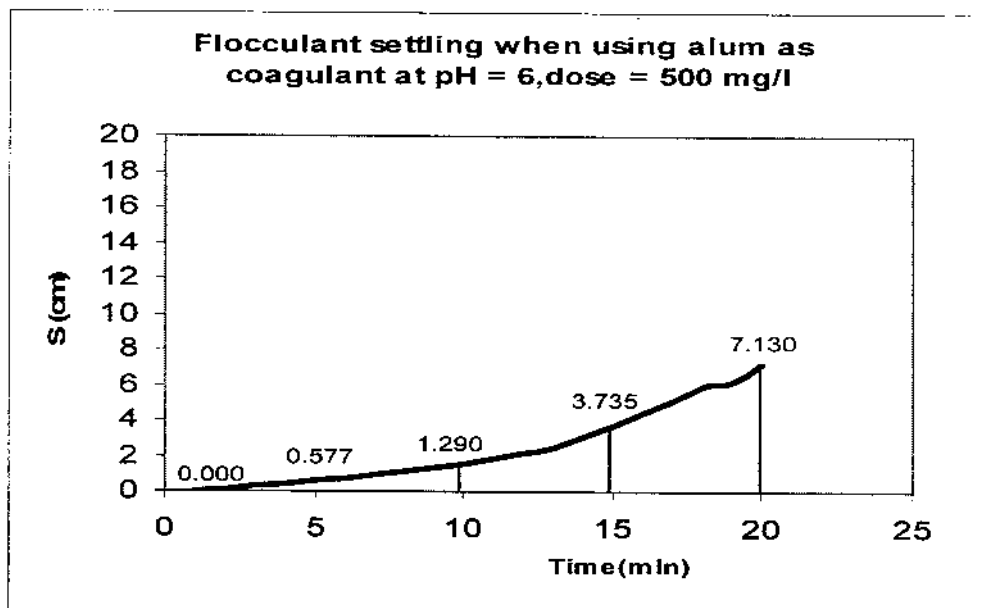
a. Friedman Test

ภาคผนวก จ
ตัวอย่างการคำนวณหาอัตราเร็วการตกตะกอนเฉลี่ย

ตัวอย่างการคำนวณหาอัตราเร็วการตกตะกอนเฉลี่ย

การคำนวณอัตราเร็วการตกตะกอนเฉลี่ย สามารถคำนวณได้จากความชันของกราฟหรือได้จากสูตร

$$\text{อัตราเร็ว}(v) = \frac{\Delta h}{\Delta t} = \frac{\Delta s}{\Delta t} = \frac{s_2 - s_1}{t_2 - t_1}$$



ที่ช่วงเวลา 1 – 5 นาที ; $v = \frac{s_2 - s_1}{t_2 - t_1} = (0.577 - 0.000) / (5 - 1) = 0.144$

ที่ช่วงเวลา 5 – 10 นาที ; $v = \frac{s_2 - s_1}{t_2 - t_1} = (1.290 - 0.577) / (10 - 5) = 0.143$

ที่ช่วงเวลา 10 – 15 นาที ; $v = \frac{s_2 - s_1}{t_2 - t_1} = (3.735 - 1.290) / (15 - 10) = 0.489$

ที่ช่วงเวลา 15 -20 นาที ; $v = \frac{s_2 - s_1}{t_2 - t_1} = (7.130 - 3.735) / (20 - 15) = 0.679$

ตั้งนั้น อัตราเร็วการตกตะกอนเฉลี่ย (v) = $\frac{0.14 + 0.14 + 0.49 + 0.68}{4} = 0.362$ เมตรเมตรต่อนาที
 $v = 0.60 \times 10^{-4}$ เมตรต่อวินาที

บรรณาธิการ

กรมควบคุมมลพิษ. 2548. การบำบัดน้ำเสีย. คันวันที่ 15 ธันวาคม 2548 จาก

http://www.pcd.go.th/Info_serv/water_wt.html#s3

กรมโรงงานอุตสาหกรรม กระทรวงอุตสาหกรรม และสมาคมวิศวกรรมสิ่งแวดล้อมแห่งประเทศไทย.

2545. สำาระบบบำบัดมลพิษน้ำ. กรุงเทพฯ: สมาคมวิศวกรรมสิ่งแวดล้อมแห่งประเทศไทย.

กรมส่งเสริมคุณภาพสิ่งแวดล้อม. 2535. พระราชบัญญัติส่งเสริมและรักษาคุณภาพสิ่งแวดล้อมแห่งชาติ พ.ศ. 2535 และกฎหมายที่เกี่ยวข้อง. กรุงเทพฯ: กรมส่งเสริมคุณภาพสิ่งแวดล้อม.

ขวัญฤทธิ์ โชคชนาทวงศ์. 2545. สำาระบบบำบัดมลพิษน้ำ. กรุงเทพฯ: สมาคมวิศวกรรมสิ่งแวดล้อมแห่งประเทศไทย.

ชลทิศ แก้วลี. 2547. การกำจัดโลหะหนักโดยใช้ตะกอนสารสัมจากการผลิตน้ำประปา. วิทยานิพนธ์ปริญญามหาบัณฑิต มหาวิทยาลัยขอนแก่น.

ชัยวัฒน์ บัญญัติศรีสกุล. 2547. การกำจัดทองแดงและnickelออกจากน้ำเสียโดยกระบวนการสร้างและการรวมตะกอนด้วยสารรวมตะกอนชนิดต่างๆ.

วิทยานิพนธ์ปริญญามหาบัณฑิต มหาวิทยาลัยเชียงใหม่.

ชาญวิทย์ ศรีแก้ว. 2544. การกำจัดลิกนิจากน้ำเสียโรงงานผลิตเยื่อกระดาษด้วยไคโตแซน. วิทยานิพนธ์ปริญญามหาบัณฑิต มหาวิทยาลัยขอนแก่น.

ชุดภัค เกษมช่วงโชค. 2547. การศึกษาอิทธิพลของปัจจัยสิ่งแวดล้อมและลักษณะเฉพาะของไคโตซานต่อการจับตัวของไคโตซานกับสารแขวนลอยจุลินทรีย์.

วิทยานิพนธ์ปริญญามหาบัณฑิต สถาบันเทคโนโลยีพระจอมเกล้าพระนครเหนือ.

ณรงค์ วุฒิเสถียร. 2543. การปรับสภาพน้ำสำหรับอุตสาหกรรม. พิมพ์ครั้งที่ 3. กรุงเทพฯ: สำนักพิมพ์สมาคมส่งเสริมเทคโนโลยี (ไทย-ญี่ปุ่น).

ณัฐพล เอี่ยมอัน. 2549. การบำบัดน้ำเสียด้วยน้ำสกัดชีวภาพจากการส่านเหล้าหมัก: กรณีศึกษาการตัวอย่างจากคลองแสนแสบ. วิทยานิพนธ์ปริญญามหาบัณฑิต สถาบันบัณฑิตพัฒนบริหารศาสตร์

ทิตยา นันหมื่น. 2548. การบำบัดน้ำเสียจากคลองแสนแสบโดยใช้วิธีการรวมกลุ่มทางออกทางเคมี. วิทยานิพนธ์ปริญญามหาบัณฑิต สถาบันบัณฑิตพัฒนบริหารศาสตร์.

- ราชชัย วิเชียรเครือ. 2544. การบำบัดน้ำซัมูลฝอยจากสถานที่ผังกลบของเทศบาลนครอุดรธานีด้วยสารโพลีเพอร์ฟิลชัลเฟต. วิทยานิพนธ์ปริญญามหาบัณฑิต มหาวิทยาลัยขอนแก่น.
- นาภา วัฒนยง. 2544. การกำจัดฟองสหัสในน้ำทึบชุมชนที่ผ่านการบำบัดขั้นที่ 2 โดยกระบวนการโคแอกกูเลชันด้วยสารสัมร่วมกับไคโตแซน. วิทยานิพนธ์ปริญญามหาบัณฑิต มหาวิทยาลัยเกษตรศาสตร์.
- ประภัสสร สุรัวฒนาวรรณ. 2549. ไคติน - ไคโตซา�. ค้นวันที่ 3 สิงหาคม 2549 จาก <http://www.gpo.or.th/rdi/html/chitin.html>
- ประยูร เพียดทะเนน. 2544. การใช้อินทรีย์วัสดุเหลือใช้บางชนิดเป็นปุ๋ยในโครงการเจนสำหรับฟรังที่ปลูกในชุดดินกำแพงแสน. วิทยานิพนธ์ปริญญามหาบัณฑิต มหาวิทยาลัยเกษตรศาสตร์.
- ปาริชาติ จุลพันธุ์. 2544. การบำบัดน้ำซัมูลฝอยโดยวิธีการตกตะกอนด้วยเบโนโน๊ต. วิทยานิพนธ์ปริญญามหาบัณฑิต มหาวิทยาลัยเกษตรศาสตร์.
- พรศักดิ์ สมรไกรสกิจ. 2548. กระบวนการโคแอกกูเลชัน (Coagulation) และฟล็อกคูเลชัน (Flocculation). กองจัดการสิ่งแวดล้อมและมลพิษ. ค้นวันที่ 2 กรกฎาคม 2549 จาก <http://www.mwa.co.th/download/etc01/coagulation.pdf>
- มั่นสิน ตันตระเวตน์. 2537. วิศวกรรมการประปา เล่ม 1. กรุงเทพฯ : สำนักพิมพ์ จุฬาลงกรณ์มหาวิทยาลัย
- วิชัย รุปข้าดีและคณะ. 2542. คุณภาพชีวิตของประชาชนในชุมชนริมคลองแสนแสบกับการเปลี่ยนแปลงทางกายภาพของคลอง. กรุงเทพฯ: สถาบันบัณฑิต พัฒนบริหารศาสตร์.
- วีโรจน์ ทรัพย์สัตย์. 2544. การศึกษาการกำจัดความชื้นของแม่น้ำแม่กลองบริเวณหนึ่งเชื่อมระหว่างกรุงเทพฯ โดยกระบวนการตกตะกอนทางเคมี. วิทยานิพนธ์ปริญญามหาบัณฑิต มหาวิทยาลัยเกษตรศาสตร์.
- วิสาขा ภู่จินดา. 2548. เทคโนโลยีการจัดการสิ่งแวดล้อม. กรุงเทพฯ: คณะพัฒนาสังคม และสิ่งแวดล้อม สถาบันบัณฑิตพัฒนบริหารศาสตร์.
- สมชาย เลาหมูตร. 2535. การออกแบบและพัฒนาเครื่องกรองตะกอนของถังตกตะกอนในระบบบำบัดน้ำเสีย. วิทยานิพนธ์ปริญญามหาบัณฑิต มหาวิทยาลัยเทคโนโลยีพระจอมเกล้าพระนครเหนือ.
- สำนักงานจัดการคุณภาพน้ำ กรุงเทพมหานคร. 2548. คุณภาพน้ำค่าส่องในกรุงเทพมหานคร พ.ศ. 2547-2548. ค้นวันที่ 2 กรกฎาคม 2549 จาก http://service.nso.go.th/nso/data/data23/stat_23/toc_22/22.7-2.xls

- สุจิตรา บุณยรัตพันธุ์. 2537. การศึกษาผลกระทบจากการเดินเรือโดยสารของกรุงเทพมหานคร. กรุงเทพฯ: สำนักวิจัย สถาบันบัณฑิตพัฒนบริหารศาสตร์.
- สุชา ขาวเขียว. 2545. ตัวราระบบบำบัดมลพิษน้ำ. กรุงเทพฯ: สมาคมวิศวกรรมสิ่งแวดล้อมแห่งประเทศไทย.
- อัครเดช จันทรพิพัฒน์. 2549. การแยกโลหะนิเกิล จากน้ำเสียโรงงานอุตสาหกรรมผลิตอาหาร โดยวิธีการตกตะกอนทางเคมี: กรณีศึกษา บริษัท ดูโอโนไฟน์ เคมีคัลล์ อินดัสตรี (ประเทศไทย) จำกัด. ภาคนิพนธ์คณะพัฒนาสังคมและการจัดการสิ่งแวดล้อม สถาบันบัณฑิตพัฒนบริหารศาสตร์
- Aboulhassan, MA. et al. 2005. Treatment of Textile Wastewater Using a Natural Flocculant. **Environ Technol.** 26(6): 705-711. Retrieved July 4, 2006 from NCBI-PubMed.
- Aguilar, MI et al. 2002. Nutrient Removal and Sludge Production in the Coagulation-Flocculation Process. **Water Research.** 36(June): 2910-2919. Retrieved July 3, 2006 from ScienceDirect.
- Ahmad, A.L., Sumathi, S. and Hameed, . B.H. 2005. Coagulation of Residue Oil and Suspended Solid in Palm Oil Mill Effluent by Chitosan, Alum and PAC. **Chemical Engineering Journal.** 118 (May 1): 99-105. Retrieved April 27, 2006 from ScienceDirect.
- AL-Mutairi, N.Z., Hamoda, M.F. and Al-Ghusain, I. 2004. Coagulant Selection and Sludge Conditioning in a Slaughterhouse Wastewater Treatment Plant. **Bioresource Technology.** 95(November): 115-119. Retrieved July 12, 2006 from ScienceDirect.
- Bolto, Brian et al. 1999. Experimental Evaluation of Cationic Polyelectrolyte for Removing Natural Organic Matter from Water. **Water Science and Technology.** 40(November): 71-79. Retrieved April 4, 2006 from ScienceDirect.
- Copolymer of Acrylamide for Retention & Strength.** 2006. Retrieved August 13, 2006 from <http://www4.ncsu.edu/~hubbe/copl.htm>
- Fisherie Department. 2006. **Wastewater Treatment in the Fishery Industry.** Retrieved April 5, 2006 from <http://www.fao.org/DOCREP/003/V9922EA/V9922E06.htm>

- Lafleur. 2005. **Jar Testing.** Retrieved November 20, 2005 from
<http://www.rpi.edu/dept/chem-eng/BioTechEnviron/Environmental/WATER/jar.html>
- Lenntech. 2006. **Reagents.** Retrieved August 12, 2006 from
<http://www.lenntech.com/reagents.htm>
- Ma, Kungsong and Pierre, Alain C. 1999. Colloidal Behaviour of Montmorillonite in
Presence of Fe³⁺ ions. **Colloids and Surfaces A : Physicochemical and
Engineering Aspects.** 155(September): 359-372. Retrieved June 27, 2006
from ScienceDirect.
- Ming, Jiang. et al 2005. The Chitosan Flocculant Behaviors and Its Effect Combined
with Inorganic Flocculant. **International Conference on Energy,
Environment and Disasters-INCEED2005.** Retrieved July 6, 2006 from
www.iseg.giees.uncc.edu/INCEED2005/Abstracts/Abstract_ID_482.pdf
- North Carolina State University. 2006. **Copolymers of Acrylamide for Retention and
Strength.** Mini-Encyclopedia of Papermaking Wet-End Chemistry. Retrieved
August 13, 2006 from <http://www.4.ncsu.edu/~hubbe/COPL.htm>
- Roussy, Chastellan, Vooren and Guibal. 2005. **Treatment of Ink-Containing Wastewater
by Coagulation/Flocculation Using Biopolymers.** Retrieved July 5, 2006
from <http://www.wrc.org.za>
- Zhao, Y.Q. 2002. Settling Behaviour of Polymer Flocculated Water-Treatment Sludge I:
Analyses of Settling Curves. **Separation and Purification Technology.**
35(February): 71-80. Retrieved May 10, 2006 from ScienceDirect.

ประวัติผู้เขียน

ชื่อ – นามสกุล
ประวัติการศึกษา

นางสาวภัตราวดี ภูมิภักดี
วิศวกรรมศาสตรบัณฑิต
สาขาวิชาวิศวกรรมสิ่งแวดล้อม
สำนักวิชาวิศวกรรมศาสตร์
มหาวิทยาลัยเทคโนโลยีสุรนารี
ปีการศึกษา 2541